



การพัฒนาหัวเ夸วสุดพิรุณแบบเป็นขั้นด้วยเชือเพลิงผสม

นายพีระพงษ์ โตกิจ

วิทยานิพนธ์นี้เป็นส่วนหนึ่งของการศึกษาตามหลักสูตร  
ปริญญาวิศวกรรมศาสตรมหาบัณฑิต สาขาวิชาชีวกรรมเครื่องกล  
คณะวิศวกรรมศาสตร์  
มหาวิทยาลัยเทคโนโลยีพระจอมเกล้าธนบุรี  
พ.ศ. 2554

# การพัฒนาหัวเพร้าสคุพรุนแบบเป็นขั้นด้วยเชือเพลิงผสม

นายพิระพงษ์ โตขลิน วศ.บ. (วิศวกรรมเครื่องกล)

วิทยานิพนธ์นี้เป็นส่วนหนึ่งของการศึกษาตามหลักสูตร  
ปริญญาวิศวกรรมศาสตรมหาบัณฑิต สาขาวิชาวิศวกรรมเครื่องกล  
คณะวิศวกรรมศาสตร์  
มหาวิทยาลัยเทคโนโลยีพระจอมเกล้าชั้นนำ  
พ.ศ. 2554

คณะกรรมการสอบวิทยานิพนธ์

..... ประธานกรรมการสอบวิทยานิพนธ์  
(รศ.ดร.สุวิทย์ เตี๋ยป)

..... กรรมการและอาจารย์ที่ปรึกษาวิทยานิพนธ์  
(ศ.ดร.สำเริง จักรใจ)

..... กรรมการ  
(รศ.ดร.สมชาย จันทร์หวาน)

..... กรรมการ  
(ดร.บัณฑิต กฤตากม)

ลิขสิทธิ์ของมหาวิทยาลัยเทคโนโลยีพระจอมเกล้าชั้นนำ

หัวข้อวิทยานิพนธ์	การพัฒนาหัวเผาวัสดุพูนแบบเป็นขั้นค้าง เชื้อเพลิงผสม
หน่วยกิต	12
ผู้เขียน	นายพีระพงษ์ โตขลิน
อาจารย์ที่ปรึกษา	ศ.ดร. สำเริง จักรใจ
หลักสูตร	วิศวกรรมศาสตรมหาบัณฑิต
สาขาวิชา	วิศวกรรมเครื่องกล
ภาควิชา	วิศวกรรมเครื่องกล
คณะ	วิศวกรรมศาสตร์
พ.ศ.	2554

### บทคัดย่อ

งานวิจัยนี้ เป็นการศึกษาเชิงทดลองของหัวเผา 2 รูปแบบ คือหัวเผาวัสดุพูน และหัวเผาแบบเบลาไฟ อิสระ(ไม่มีตัวแพร่งสีวัสดุพูน) ซึ่งแต่ละรูปแบบสามารถเผาไหม้เชื้อเพลิงได้ 3 ชนิด คือเชื้อเพลิงแก๊ส เชื้อเพลิงเหลว และเชื้อเพลิงผสม โดยมีลักษณะพิเศษคือสามารถควบคุมให้หัวเผาเกิดการเผาไหม้ให้ได้เบลาไฟสองลักษณะ ได้แก่ ชนิดผสมมาก่อน (premixed flame) และชนิดแพร่ (diffusion flame) โดยอาศัยการควบคุมรูปแบบของการจ่ายอากาศ คือ การจ่ายอากาศแบบหมุนวน (swirling flow) และแบบวงแหวน (annular flow) ที่ทำให้อากาศมีลักษณะเป็นวงแหวนทึบรอบเชื้อเพลิงที่ถูกปล่อยตามแนวแกน ส่วนผลให้ได้เบลาไฟชนิดผสมมาก่อนและเบลาไฟชนิดแพร่ตามลำดับ รูปแบบการเผาไหม้แบบหัวเผาที่ใช้ในการทดลองประกอบด้วยวัสดุพูนสองส่วน คือหัวเผาวัสดุพูน (PB) ทำจากตาข่ายสแตนเลสช้อนกัน เพื่อกระจายเชื้อเพลิงให้เต็มหน้าตัด ก่อนผสมกับอากาศและเกิดการเผาไหม้ในวัสดุพูน และตัวแพร่งสีวัสดุพูน (PE) เป็นกลุ่มเม็ดหินบรรจุในต่อทรงกระบอก โดยตัวแบปรีสำหรับแก๊ส ของการเกิดการเผาไหม้แบบเป็นขั้นตอน (staged combustion) คือระยะห่างระหว่าง PB กับตำแหน่งจ่ายอากาศ ( $X_{PB}$ ) รวมถึง ค่าอัตราส่วนสมมูล (equivalence ratio) และอัตราการป้อนเชื้อเพลิง (firing rate) ที่มีผลต่อประสิทธิภาพการแพร่งสีความร้อน โครงสร้างความร้อน และการปลดปล่อยมลพิษ ( $\text{CO}$ ,  $\text{NO}_x$ ) ของเชื้อเพลิงทั้ง 3 ชนิด โดยผลการทดลองในหัวเผาแบบเบลาไฟอิสระยืนยันได้ว่าหัวเผาสามารถเผาไหม้ให้ได้เบลาไฟทั้งแบบผสมมาก่อน ( $X_{PB} = -20 \text{ มม.}$ ) และแบบแพร่ ( $X_{PB} = 0 \text{ มม.}$ ) จริง ซึ่งการเผาในเบลาไฟชนิดแพร่จะสามารถช่วยเพิ่มความปลดปล่อยมากขึ้น ขณะที่หัวเผาวัสดุพูน ซึ่งคาดว่าสามารถควบคุมให้เกิดการเผาไหม้ 2 ชนิดเข่นกัน โดยที่ผลจากการปรับเปลี่ยนระยะ  $X_{PB}$  จาก  $-20 \text{ มม.}$  เป็น  $0 \text{ มม.}$  พบร่วงประสิทธิภาพการแพร่งสีความร้อนเพิ่มขึ้นสูงสุดถึงร้อยละ 34 % ขณะเดียวกันลดการปลดปล่อยมลพิษ  $\text{CO}$  ลดลงได้สูงสุด 1.8 เท่าทั้งนี้สาเหตุเกิดจากการเกิดการหมุนวนของไออดีในแนวรัศมีเพิ่มมากขึ้น ขณะที่  $\text{NO}_x$  ลดลงได้สูงสุด 2 เท่า สาเหตุคาดว่าน่าจะเกิดจากการขับตำแหน่งของเบลาไฟไปด้านท้ายน้ำมากขึ้นและรวมถึงอาจจะเกิดการเผาไหม้แบบเป็นขั้นร่วมด้วย คำสำคัญ: หัวเผาวัสดุพูน/เบลาไฟ/ชนิดผสมมาก่อน/เบลาไฟชนิดแพร่/การเผาไหม้แบบเป็นขั้น

Thesis Title	Development of Staged Combustion Porous Burner for Mixed Fuels
Thesis Credits	12
Candidate	Mr. Pheeraphong Toklib
Thesis Advisor	Prof. Dr. Sumrerng Jugjai
Program	Master of Engineering
Field of Study	Mechanical Engineering
Department	Mechanical Engineering
Faculty	Engineering
B.E.	2554

### Abstract

This research is an experimental study of two burner types, i.e. a porous burner and a free flame burner. The important characteristic is they are able to be operated with 3 types of fuel, gas fuel, liquid fuel, and the mixed fuel. In which both premixed flame and diffusion flame modes can be stabilized depended on feeding air configurations. In the premixed mode, swirling air and fuel mix within opened mixing chamber. On the other hand, in the diffusion mode, completely closed mixing chamber cause annular flow of feeding air covering around axial flow of fuel. The porous burner consists of two porous components. The first one is a porous burner (PB), which made from packed of stainless wire, use for fuel distribution causing uniform flow. Then, combustion of mixed air and fuel occur within the second porous called porous emitter (PE), which is a packed bed of rock. The other key parameters which control the flame mode are gap between PB and PE ( $X_{PB}$ ), equivalence ratio ( $\Phi$ ) and firing rate, which also influent on temperature profiles, emission (CO, NO<sub>x</sub>) and radiation efficiency. Temperature contours as occurred in the free flame burner can be used to confirm that both premixed and diffusion flames are taking place. While in the porous burner as decreasing  $X_{PB}$  from -20 to 0 mm, the radiation efficiency increase up to 34% and CO emission decrease about 1.8 times because stronger swirling flow is occurred. Moreover, at  $X_{PB} = 0$ , NO<sub>x</sub> emissions decrease about 2 times of that of  $X_{PB} = -20$ . It might be due to the flame front moves to more downstream location and a staged combustion might be occurred.

**Keyword:** porous burner, premixed flame, diffusion flame, staged combustion.

## กิตติกรรมประกาศ

งานวิจัยนี้สำเร็จด้วยดี ผู้วิจัยได้รับความอนุเคราะห์จากบุคคลหลายฝ่าย รวมทั้งเอกสาร ตำราที่ใช้ประกอบการศึกษาค้นคว้าอ้างอิงจนทำให้เกิดแนวคิดในการวิจัย ผู้วิจัยขอกราบขอบพระคุณ พ.ดร. สำเริง จักรใจ ซึ่งเป็นอาจารย์ที่ปรึกษางานวิจัยที่ได้สละเวลาให้คำแนะนำจนทำให้งานวิจัยสำเร็จตามวัตถุประสงค์และขอบเขตของ การศึกษา พร้อมกันนี้ขอกราบขอบพระคุณ คณะกรรมการสอบวิทยานิพนธ์ ประกอบด้วย รศ.ดร. สมชาย จันทร์ชารนา และ รศ.ดร. สุวิทย์ เตียง ดร. บัณฑิต กฤตาคม มหาวิทยาลัยเทคโนโลยีพระจอมเกล้าธนบุรีที่ได้ชี้แนะข้อบกพร่องตลอดงานเสนอแนะแนวทางในการแก้ไขเพื่อให้งานวิจัยสมบูรณ์ยิ่งขึ้น

ขอขอบคุณ เพื่อนๆ พี่ๆ นักศึกษาปริญญาโทและนักศึกษาปริญญาเอกห้องปฏิบัติการวิจัยเครื่องยนต์ และการเผาไหม้ทุกท่าน รวมถึงช่างเทคนิคภาควิชากรรมเครื่องกลที่ให้ความช่วยเหลืออ่อนงาน สำเร็จลุล่วงไปได้ด้วยดี และสุดท้ายขอกราบขอบพระคุณ คุณพ่อและคุณแม่ที่เป็นกำลังใจและให้การสนับสนุนด้านการศึกษามาโดยตลอด

## สารบัญ

หน้า

บทคัดย่อภาษาไทย	๑
บทคัดย่อภาษาอังกฤษ	๒
กิตติกรรมประกาศ	๓
สารบัญ	๔
รายการตาราง	๕
รายการรูปประกอบ	๖
รายการสัญลักษณ์	๗
ประมวลศัพท์และคำย่อ	๘

### บทที่

<b>1. บทนำ</b>	<b>1</b>
1.1 ที่มาและความสำคัญ	1
1.2 วัตถุประสงค์ของการวิจัย	2
1.3 ขอบเขตของการวิจัย	2
1.4 ประโยชน์ที่คาดว่าจะได้รับ	3
<b>2. ผลงานวิจัยที่ผ่านมา</b>	<b>4</b>
<b>3. หลักการและทฤษฎี</b>	<b>17</b>
3.1 การเผาไหม้เปลวไฟแบบผสมมาก่อน (premixed flame)	17
3.2 การเผาไหม้เปลวไฟแบบแพร่ (diffusion flame)	18
3.3 หลักการเผาไหม้ที่มีการหมุนเวียนความร้อน	19
3.4 การหมุนเวียนความร้อนจากการเผาไหม้ในวัสดุพูน	20
3.5 แนวคิดการเผาไหม้เชือเพลิงเหลวแบบไม้อาศัยการสเปรย์โดยวัสดุพูน	22
3.6 เทคนิคการเผาไหม้แบบแบ่งเป็นขั้นตอน	23

<b>4. อุปกรณ์และวิธีการทดลอง</b>	<b>24</b>
4.1 อุปกรณ์การทดลองสำหรับการเผาไหหม้อนแบบเปลวไฟอิสระ	24
4.2 อุปกรณ์การทดลองสำหรับการเผาไหหม้อนแบบหัวเผาวัสดุพูน	25
4.3 เครื่องมือและอุปกรณ์เพิ่มเติมที่ใช้ในการทดลอง	27
4.4 ความหมายของอิทธิพลที่ใช้ศึกษา	29
4.5 แผนการทดลอง	30
4.6 ขั้นตอนการทดลอง	31
4.7 เมื่อนำไปการทดลอง	34
<b>5. ผลการศึกษา</b>	<b>36</b>
5.1 ผลการศึกษาการเผาไหหม้อนร้อน Free Flame (กรณ์ไม่ติดตั้ง Porous Emitter, PE)	36
5.1.1 อิทธิพลของระยะ Xpb ต่อเชื้อเพลิง LPG	36
5.1.2 อิทธิพลของระยะ Xpb ต่อเชื้อเพลิง Kerosene	41
5.1.3 อิทธิพลของระยะ Xpb ต่อเชื้อเพลิงผสมระหว่าง LPG กับ Kerosene	45
5.2. ผลการศึกษาการเผาไหหม้อนร้อน PM Flame (กรณ์ติดตั้ง Porous Emitter, PE)	49
5.2.1 เชื้อเพลิง LPG	49
5.2.1.1 อิทธิพลของระยะ Xpb	49
5.2.1.2 อิทธิพลของ $\Phi$	55
5.2.1.3 อิทธิพลของ Firing Rate	60
5.2.2 เชื้อเพลิง Kerosene	64
5.2.2.1 อิทธิพลของระยะ Xpb	64
5.2.2.2 อิทธิพลของ $\Phi$	69
5.2.2.3 อิทธิพลของ Firing Rate	73
5.2.3 เชื้อเพลิงผสมระหว่าง LPG กับ Kerosene	76
5.2.3.1 อิทธิพลของ Xpb	76
5.2.3.2 อิทธิพลของ $\Phi$	81
<b>6. สรุปและข้อเสนอแนะ</b>	<b>85</b>
6.1 สรุปผลการศึกษา	85
6.2 ข้อเสนอแนะ	86

**เอกสารอ้างอิง****87**

<b>ภาคผนวก</b>	<b>90</b>
ก รูปเครื่องมือและอุปกรณ์ที่ใช้ในการทดลอง	90
ข ตารางข้อมูลการทดลอง	99
ค กราฟผลการทดลอง	126
ง การคำนวณค่าที่ใช้ในการทดลอง	136
<b>ประวัติผู้วิจัย</b>	<b>154</b>

## รายการตาราง

ตาราง	หน้า
๑.๑ เรื่องที่การทดลอง	34
๑.๑.๑ การทดลองเพื่อศึกษาอิทธิพลของ $X_{PB}$ ที่มีผลต่อ Temperature	101
๑.๑.๒ ข้อมูลการทดลองเพื่อศึกษาอิทธิพลของ $X_{PB}$ ที่มีผลต่อ Emission	102
๑.๑.๓ ข้อมูลการทดลองเพื่อศึกษาอิทธิพลของ $X_{PB}$ ที่มีผลต่อ	104
๑.๑.๕ ข้อมูลการทดลองเพื่อศึกษาอิทธิพลของ $X_{PB}$ ที่มีผลต่อ Temperature	105
๑.๑.๖ ข้อมูลการทดลองเพื่อศึกษาอิทธิพลของ $X_{PB}$ ที่มีผลต่อ Emission	106
๑.๑.๗ ข้อมูลการทดลองเพื่อศึกษาอิทธิพลของ $\Phi$ ที่มีผลต่อ Temperature	107
๑.๑.๘ ข้อมูลการทดลองเพื่อศึกษาอิทธิพลของ $\Phi$ ที่มีผลต่อ Emission	108
๑.๑.๙ ข้อมูลการทดลองเพื่อศึกษาอิทธิพลของ FR ที่มีผลต่อ Temperature	109
๑.๑.๘ ข้อมูลการทดลองเพื่อศึกษาอิทธิพลของอัตราการป้อนเชื้อเพลิงที่มีผลต่อ Emission	110
๑.๒.๑ ข้อมูลการทดลองเพื่อศึกษาอิทธิพลของ $X_{PB}$ ที่มีผลต่อ Temperature	111
๑.๒.๒ ข้อมูลการทดลองเพื่อศึกษาอิทธิพลของ $X_{PB}$ ที่มีผลต่อ Emission	112
๑.๒.๓ ข้อมูลการทดลองเพื่อศึกษาอิทธิพลของ $\Phi$ ที่มีผลต่อ Emission	113
๑.๒.๔ ข้อมูลการทดลองเพื่อศึกษาอิทธิพลของ $\Phi$ ที่มีผลต่อ Emission	114
๑.๒.๕ ข้อมูลการทดลองเพื่อศึกษาอิทธิพลของ FR ที่มีผลต่อ Temperature	115
๑.๒.๖ ข้อมูลการทดลองเพื่อศึกษาอิทธิพลของ FR ที่มีผลต่อ Emission	116
๑.๒.๗ ข้อมูลการทดลองเพื่อศึกษาอิทธิพลของ $X_{PB}$ ที่มีผลต่อ Temperature	117
๑.๒.๘ ข้อมูลการทดลองเพื่อศึกษาอิทธิพลของ $X_{PB}$ ที่มีผลต่อ Emission	118
๑.๒.๙ ข้อมูลการทดลองเพื่อศึกษาอิทธิพลของ $\Phi$ ที่มีผลต่อ Temperature	119
๑.๒.๑๑ ข้อมูลการทดลองเพื่อศึกษาอิทธิพลของ FR ที่มีผลต่อ Temperature	120
๑.๒.๑๒ ข้อมูลการทดลองเพื่อศึกษาอิทธิพลของ FR ที่มีผลต่อ Emission	121
๑.๒.๑๓ ข้อมูลการทดลองเพื่อศึกษาอิทธิพลของ $X_{PB}$ ที่มีผลต่อ Temperature	122
๑.๒.๑๔ ข้อมูลการทดลองเพื่อศึกษาอิทธิพลของ $X_{PB}$ ที่มีผลต่อ Emission	123
๑.๒.๑๕ ข้อมูลการทดลองเพื่อศึกษาอิทธิพลของ $\Phi$ ที่มีผลต่อ Temperature	124
๑.๒.๑๖ ข้อมูลการทดลองเพื่อศึกษาอิทธิพลของ $\Phi$ ที่มีผลต่อ Emission	125
๑.๔ ตัวอย่างค่าที่ได้จากการคำนวณ	143

## รายการรูปประกอบ

รูป	หน้า
2.1 แสดงอุปกรณ์การทดลองของ Viskanta และ Mital [3]	4
2.2 แสดงอุปกรณ์การทดลองของ A.I. Bakry [4]	5
2.3 Porous Ceramic และอุปกรณ์การทดลองของ Kaplan และ Hall [5]	6
2.4 อุปกรณ์การทดลองของ Tseng และ Howell [6]	7
2.5 แนวคิดการเผาไหม้ละอองเชื้อเพลิงเหลวของ Tseng และ Howell [6]	8
2.6 อุปกรณ์การทดลองของ Takami และคณะ [7]	9
2.7 อุปกรณ์การทดลองของ Jugjai และ Polmat [9]	10
2.8 อุปกรณ์การทดลองของ ชุติเดช ผ่องไส [12]	11
2.9 อุปกรณ์การทดลองของ กิตติศักดิ์ สุวรรณวิจิต [15]	12
2.10 อุปกรณ์การทดลองหัวเผาน้ำมันของ mgr[14]	13
2.11 อุปกรณ์การทดลองของ Olaf Pickenacker และคณะ[10]	14
2.12 อุปกรณ์การทดลองของพีรยุทธ ทองเต็ม[15]	15
3.1 แสดงอุณหภูมิ และอัตราการปลดปล่อยความร้อนในรูปแบบเปลวไฟสมมาก่อน[19]	17
3.2 โครงสร้างเปลวไฟแบบแพร่[19]	18
3.3 เปรียบเทียบระบบการเผาไหม้ระหว่างที่มี และ ไม่มีการหมุนเวียนความร้อน [22]	19
3.4 แสดงการถ่ายเทความร้อนจากการเผาไหม้ ที่เกิดขึ้นในชั้นวัสดุพูน	20
3.5 แนวคิดการเผาไหม้เชื้อเพลิงเหลวแบบไม้อาศัยการสเปรย์โดยวัสดุพูน[24]	21
3.7 เทคนิคการเผาไหม้แบบแบ่งเป็นชั้นตอน[16]	22
4.1. แสดงภาพอุปกรณ์แบบเปลวไฟอิสระ	
4.2 ภาพแสดงอุปกรณ์การทดลองแบบหัวเผาวัสดุพูน	
4.3 แสดงระยะ $X_{PB}$	
4.4 ภาพเปรียบเทียบการไอลของอากาศทั้งสองแบบภายใน Combustor Block	
5.1 แสดงอิทธิพลของระยะ $X_{PB}$ ต่อ การกระจายอุณหภูมิ	37
5.2 แสดงอิทธิพลของระยะ $X_{PB}$ ต่อ โครงสร้างอุณหภูมิการเผาไหม้	38
5.3 แสดงอิทธิพลของระยะ $X_{PB}$ ต่อการปลดปล่อยมลพิษ	39
5.4 แสดงอิทธิพลของระยะ $X_{PB}$ ต่ออุณหภูมิการอุ่นอากาศ	40
5.5 แสดงอิทธิพลของระยะ $X_{PB}$ ต่อการกระจายอุณหภูมิ	41

5.6 แสดงอิทธิพลของระยะ $X_{PB}$ ต่อ โครงสร้างอุณหภูมิในห้องเผาไหม้	42
5.8 แสดงอิทธิพลของระยะ $X_{PB}$ ต่อ อุณหภูมิการอุ่นอากาศ	44
5.9 แสดงอิทธิพลของระยะ $X_{PB}$ ต่อ temperature contour	45
5.10 แสดงอิทธิพลของระยะ $X_{PB}$ ต่อ โครงสร้างอุณหภูมิในห้องเผาไหม้	46
5.11 แสดงอิทธิพลของระยะ $X_{PB}$ ต่อ การปลดปล่อยมลพิษ	47
5.12 แสดงอิทธิพลของระยะ $X_{PB}$ ต่อ อุณหภูมิการอุ่นอากาศ	48
5.2.1 แสดงอิทธิพลของระยะ $X_{PB}$ ของ อุณหภูมิในห้องเผาไหม้	50
5.2.2 แสดงอิทธิพลของระยะ $X_{PB}$ ที่มีต่อ ประสิทธิภาพในการแผ่รังสีความร้อน	51
5.2.3 แสดงอิทธิพลของ $X_{PB}$ ของการปลดปล่อย CO และ NO <sub>x</sub>	52
5.2.4 แสดงอิทธิพลของระยะ $X_{PB}$ ของ อุณหภูมิการอุ่นอากาศ	53
5.2.5 แสดงอิทธิพลของระยะ $X_{PB}$ ของ ความดัน ในห้องเผาไหม้	54
5.2.6 แสดงอิทธิพล $\Phi$ ของ อุณหภูมิในห้องเผาไหม้	55
5.2.6 แสดงอิทธิพล $\Phi$ ของ อุณหภูมิในห้องเผาไหม้	56
5.2.8 แสดงอิทธิพล $\Phi$ ของการปลดปล่อยมลพิษที่	57
5.2.9 แสดงอิทธิพลของค่า $\Phi$ ของ อุณหภูมิการอุ่นอากาศ	58
5.2.10 แสดงอิทธิพลของค่า $\Phi$ ของ ความดัน ในห้องเผา	59
5.2.11 แสดงอิทธิพลของค่า Firing rate ของ โครงสร้างอุณหภูมิการเผาไหม้	60
5.2.12 แสดงอิทธิพลของค่า Firing rate ของ การปลดปล่อย	61
5.2.13 แสดงอิทธิพลของค่า Firing rate ของ อุณหภูมิการอุ่นอากาศ	62
5.2.14 แสดงอิทธิพลของค่า Firing rate ของ ความดัน ในห้องเผาไหม้	63
5.2.15 แสดงอิทธิพลของระยะ $X_{PB}$ ของ โครงสร้างอุณหภูมิในห้องเผาไหม้	64
5.2.15 แสดงอิทธิพลของระยะ $X_{PB}$ ที่มี ของ ประสิทธิภาพในการแผ่รังสีความ	65
5.2.16 แสดงอิทธิพลของ $X_{PB}$ ของการปลดปล่อย CO และ NO <sub>x</sub>	66
5.2.18 แสดงอิทธิพลของระยะ $X_{PB}$ ของ อุณหภูมิการอุ่นอากาศ	67
5.2.19 แสดงอิทธิพลของระยะ $X_{PB}$ ของ ความดัน ในห้องเผาไหม้	68
5.2.20 แสดงอิทธิพล $\Phi$ ของ อุณหภูมิในห้องเผาไหม้	69
5.2.21 แสดงอิทธิพล $\Phi$ ของการปลดปล่อยมลพิษ	70
5.2.22 แสดงอิทธิพลของค่า $\Phi$ ต่อ อุณหภูมิการอุ่นอากาศ	71
5.2.23 แสดงอิทธิพลของค่า $\Phi$ ของ ความดัน ในห้องเผาไหม้	72
6.24 แสดงอิทธิพลของ Firing rate ของ โครงสร้างอุณหภูมิในห้องเผาไหม้	73
5.2.25 แสดงอิทธิพลของค่า Firing rate ของ การปลดปล่อยมลพิษ	74

5.2.26 แสดงอิทธิพลของค่า Firing rate ต่อความดันในห้องเผาไหม้	75
5.2.27 แสดงอิทธิพลของระยะ $X_{PB}$ ของอุณหภูมิในห้องเผาไหม้	76
5.2.28 แสดงอิทธิพลของ $X_{PB}$ ของการปลดปล่อยมลพิษ	77
5.2.29 แสดงอิทธิพลของระยะ $X_{PB}$ ที่มีของประสีทวิภาคในการแพร่รังสีความร้อน	78
5.2.30 แสดงอิทธิพลของระยะ $X_{PB}$ ต่ออุณหภูมิการอุ่นอากาศ	79
5.2.31 แสดงอิทธิพลของค่า Firing rate ต่อความดันในห้องเผาไหม้	80
5.2.32 แสดงอิทธิพล $\Phi$ ต่ออุณหภูมิในห้องเผาไหม้	81
5.2.33 แสดงอิทธิพลของค่า $\Phi$ ของ CO และ $NO_x$	82
5.2.34 แสดงอิทธิพลของค่า $\Phi$ ของอุณหภูมิการอุ่นอากาศ	83
5.2.35 แสดงอิทธิพลของค่า $\Phi$ ของ ความดันในในห้องเผาไหม้	84
ก.1 หัวเผาเชื้อเพลิงแบบวัสดุพรุน	91
ก.2 แสดง Combustor Block และระบบการจ่ายอากาศ	91
ก.3 ตาข่ายสแตนเลสขนาด 40 mesh/inch (PB)	92
ก.4 ตาข่ายสแตนเลสขนาด 100 mesh/inch (PB)	92
ก.5 เม็ดพินวัสดุพรุน (PE)	92
ก.6 อุปกรณ์วัดอัตราการไหลดของน้ำมันเชื้อเพลิง	93
ก.7 อุปกรณ์วัดอัตราการไหลดของอากาศและแก๊ส (LPG)	93
ก.8 อุปกรณ์วัดอุณหภูมิ (Thermocouple)	94
ก.9 อุปกรณ์เก็บบันทึกค่าอุณหภูมิ (Data Logger รุ่น DT600)	94
ก.10 เครื่องวิเคราะห์แก๊สไอเสีย (Exhaust Gas Analyzer)	94
ก.11 อุปกรณ์ควบคุมความดัน (Pressure Regulator)	95
ก.12 อุปกรณ์วัดความดัน (U-Tube Manometer)	95
ก.13 อุปกรณ์จ่ายอากาศ (Compressor)	95
ก.14 ถังพักไอเสียและท่อสแตนเลส	96
ก.15 ท่อฟรอยด์อ่อน	96
ก.16 พัดลมอุตสาหกรรม	96
ก.17 แบบทางวิศวกรรมของถังพักไอเสียและท่อสแตนเลส	97
ค.1 แสดงเบลวไฟการเผาไหม้แบบ free flame	127
ค.2 แสดงเบลวไฟการเผาไหม้แบบ free flame	127
ค.3 แสดงอิทธิพลของระยะ $X_{PB}$ ต่อโครงสร้างอุณหภูมิในห้องเผาไหม้ตามแนวรัศมี	128
ค.4 แสดงอิทธิพลของระยะ $X_{PB}$ ต่อโครงสร้างอุณหภูมิในห้องเผาไหม้ตามแนวรัศมี	128
ค.5 แสดงอิทธิพลของระยะ $X_{PB}$ ต่อโครงสร้างอุณหภูมิในห้องเผาไหม้ตามแนวรัศมี	129

ค.6 แสดงอิทธิพลของระยะ $X_{PB}$ ต่อ emission	129
ค.7 แสดงอิทธิพลของระยะ $X_{PB}$ ต่อความดันในห้องเผาไหม้	130
ค.8 แสดงอิทธิพลของระยะ $X_{PB}$ ต่อความดันในห้องเผาไหม้	130
ค.9 แสดงอิทธิพลของระยะ $X_{PB}$ ต่อความดันในห้องเผาไหม้	131
ค.10 แสดงอิทธิพลของระยะ $\Phi$ ต่อโครงสร้างอุณหภูมิในห้องเผาไหม้	131
ค.11 แสดงอิทธิพลของระยะ $\Phi$ ต่อการปลดปล่อยมลพิษ	132
ค.12 แสดงอิทธิพลของระยะ $\Phi$ ต่อ อุณหภูมิการอุ่นอากาศ	132
ค.13 แสดงอิทธิพลของระยะ $X_{PB}$ ต่อความดันในห้องเผาไหม้	133
ค.14 แสดงอิทธิพลของระยะ $FR$ ต่อโครงสร้างอุณหภูมิในห้องเผาไหม้	134
ค.15 แสดงอิทธิพลของระยะ $FR$ ต่อการปลดปล่อยมลพิษ	135
ค.16 แสดงอิทธิพลของระยะ $\Phi$ ต่อ อุณหภูมิการอุ่นอากาศ	136
ค.17 แสดงอิทธิพลของระยะ $X_{PB}$ ต่อความดันในห้องเผาไหม้	137
ง.1 แบบจำลองของระบบเพื่อกำนัณฟลักซ์การแพร่รังสีความร้อน	140
ง.2 แบบจำลองของระบบเพื่อกำนัณฟลักซ์การแพร่รังสีความร้อน	143
ง.3 แบบจำลองของระบบเพื่อกำนัณฟลักซ์การแพร่รังสีความร้อน	145
ง.4 สมดุลพลังงานของ PB	147

## รายการสัญลักษณ์

$A$	=	Area, $\text{m}^2$
$A_{\text{proj}}$	=	Projected Area Per Unit Volume, $\text{m}^2/\text{m}^3$
$a$	=	Real Surface Area Per Volume Ratio, $\text{m}^2/\text{m}^3$
$CL$	=	Heat Input Rate, kW
$d_p$	=	Average Sphere Diameter of Particles, mm
$d_w$	=	Wire Diameter, mm
$E_n$	=	Exponential Integral Function
$H$	=	Dimensionless Radiative Heat Flux
$h_1$	=	Inlet Enthalpy, kJ/kg
$h_2$	=	Outlet Enthalpy, kJ/kg
$I_0$	=	Intensity of Radiation from Surrounding, $\text{W}/\text{m}^2$
$I_b$	=	Black Body Radiation Intensity, $\text{W}/\text{m}^2$
$J$	=	Dimensionless Irradiation Intensity
$L$	=	Latent Heat of Kerosene, W
$LHV$	=	Lower Heating Value of Kerosene, kJ/kg
$\dot{m}$	=	Mass Flow Rate, kg/s
$n_p$	=	Number of Density, particles/ $\text{m}^3$
$\Delta P$	=	Static Pressure, $\text{mmH}_2\text{O}$
$p$	=	Pitch, mm
$\dot{Q}$	=	Volume Flow Rate, $\text{m}^3/\text{s}$
$Q_{\text{in}}$	=	Heat Input, W
$Q_r$	=	Radiative Heat, W
$Q_{\text{out}}$	=	Heat Output, W
$q_r$	=	Radiative Heat Flux, $\text{kW}/\text{m}^2$
$T$	=	Temperature, $^\circ\text{C}$
$T_{\text{ad}}$	=	Adiabatic Flame Temperature, $^\circ\text{C}$
$T_{\text{boil}}$	=	Boiling Temperature of Kerosene, $^\circ\text{C}$
$T_\infty$	=	Ambient Temperature, $^\circ\text{C}$
$x$	=	Distance, mm
$x_{\text{PB}}$	=	Location of PB Surface, mm

$x_{PE}$	=	Location of PE Surface, mm
$x_{T_{max}}$	=	Location of Maximumn Temperature, mm
$\varepsilon$	=	Porosity
$\xi$	=	Emissivity of Solid Porous Medium
$\Phi$	=	Equivalence Ratio
$\kappa$	=	Absorption Coefficient
$\theta$	=	Burner Angle, degrees
$\theta_s$	=	Dimentionless Temperature
$\rho$	=	Density of Kerosene, kg/m <sup>3</sup>
$\tau$	=	Optical Thickness
$\eta$	=	Efficiency

### សัญลักษณ์ការកັບບນ

n	=	Net Value
+	=	Positive Direction
-	=	Negative Direction

### សัญลักษณ์ការກັບລ່າງ

PB	=	Porous Burner
PE	=	Porous Emitter
pre	=	Preheat
rad	=	Radiation

## ประมวลศัพท์และคำย่อ

CO	=	Carbon Monoxide
cm	=	Centimeter
F/A	=	Fuel Air Ratio
FV	=	Volume Fraction
kg	=	Kilogram
kJ	=	Kilojoule
lpm	=	Lite Per Minute
MJ	=	Megajoule
m	=	Meter
min	=	Minute
mm	=	Millimeter
NO <sub>x</sub>	=	Oxide of Nitrogen
Pa	=	Pascal
PB	=	Porous Burner
PE	=	Porous Emitter
ppcm	=	Pore Per Centimeter
ppm	=	Part Per Million
psig	=	Pound Per Square Inch Gauge
s	=	Second

# บทที่ 1 บทนำ

## 1.1 ที่มาและความสำคัญ

ปัจจุบันหัวเผาสุดพรุน (porous burner) กำลังได้รับความสนใจจากห้องปฏิบัติการหลายแห่งทั่วโลก และมีแนวโน้มเพิ่มสูงมากขึ้น พิสูจน์ได้จากจำนวนงานวิจัยที่ดีพิมพ์ในวารสารต่างๆ [1-11,21-23] รวมถึงนำไปประยุกต์ใช้ในครัวเรือนและอุตสาหกรรมต่างๆ ต่อเนื่อง ทั้งนี้เนื่องจากหัวเผาสุดพรุน (porous medium) มีอัตราส่วนพื้นที่ผิวต่อปริมาตรสูง ส่งเสริมการถ่ายเทความร้อน ได้ดีทั้งในแบบการพากาความร้อนและการแผ่รังสีความร้อน และสามารถหมุนเวียนความร้อนในตัวองค์จะเป็นไปได้ซึ่งช่วยให้ได้การเผาไหม้ให้ได้การเผาไหม้แบบ “excess-enthalpy flame” [2] นั่นคืออุณหภูมิการเผาไหม้ สามารถสูงกว่าอุณหภูมิการเผาไหม้ทางทฤษฎี (adiabatic flame temperature) อีกทั้งยังช่วยลดการปลดปล่อยมลพิษ ทั้ง CO เพราะอุณหภูมิการเผาไหม้โดยรวมมีค่าสูงขึ้น ขณะเดียวกันจะมีการเกิดการเผาไหม้เปลวไฟจะเกิดการถ่ายเทความร้อนอย่างรวดเร็วทำให้ลดการเกิดอุณหภูมิสูงสุด (peak temperature) ซึ่งเป็นวิธีในการกำจัด thermal NO<sub>x</sub> ดังนั้นจึงได้มีก่อตั้งนักวิจัยพยาบาลทำงานวิจัยเกี่ยวกับหัวเผาสุดพรุนเพิ่มมากขึ้น โดยเริ่มในประมาณปี พ.ศ. 2550 ที่มหาวิทยาลัยเชียงใหม่ ได้นำหัวเผาสุดพรุนมาเผาร่วมกับเชื้อเพลิงแก๊ส [3,4] ก่อน หลังจากนั้นจึงพัฒนามาเผาร่วมกับเชื้อเพลิงเหลว [5-15] ซึ่งมีปริมาณความร้อนต่ำกว่าปริมาตรสูงกว่า แต่อย่างไรก็ตามในช่วงแรกก็พบปัญหาการแตกตัวเป็นฟอยล์ของเชื้อเพลิงเหลวจึงต้องใช้หัวฉีดช่วยในการแตกตัวของเชื้อเพลิงจนมีพัฒนาจนกระทั่งในสามารถทำให้เชื้อเพลิงเหลวแตกตัวเป็นฟอยล์ของก่อนที่จะเกิดการเผาไหม้สำเร็จ โดยไม่ต้องใช้การสเปรย์ละอองเชื้อเพลิง ส่งผลให้หัวเผามีขนาดกะทัดรัด และลดการสูญเสียพลังงานจากการสเปรย์ ซึ่งทางห้องปฏิบัติการเผาไหม้และเครื่องยนต์ (Combustion and Engine Research Laboratory, CERL) มหาวิทยาลัยเทคโนโลยีพระจอมเกล้าธนบุรี ได้พัฒนาหัวเผาสุดพรุนแบบที่ไม่ต้องมีการสเปรย์ละอองต่อเนื่องกว่า 20 ปี โดยที่ผลงานวิจัยล่าสุดคือในปี ค.ศ. 2009 พีรบุษ พองเต็ม [15] ได้พัฒนาหัวเผาสุดพรุนที่สามารถเผาไหม้ได้ทั้งเชื้อเพลิงแก๊สและเชื้อเพลิงเหลว โดยที่จะศึกษาการเผาไหม้แบบเป็นขั้นซึ่งจะสามารถช่วยลดการเกิด thermal NO<sub>x</sub> ซึ่งแนวทางการทดลองจะมุ่งเน้นที่การหาขอบเขตการเผาไหม้ (flammability limit) และการหาช่วงการทำงาน (turndown ratio) โดยการศึกษาอิทธิพลของอัตราส่วนสมมูลและอัตราการป้อนเชื้อเพลิง (firing rate) จากผลการทดลอง

พบว่า หัวเผาสุดพรุนมีขอบเขตการเผาไหม้ที่กว้าง โดยที่อัตราส่วนสมมูลตั้งแต่ 0.29-0.89 และ turn down ratio ประมาณ 3 นอกจากนี้ยังมีผลการศึกษาการเผาไหม้แบบเป็นขั้น พบว่ากรณีการเผาไหม้ด้วยเชื้อเพลิงเหลวสามารถลดการปลดปล่อยมลพิษทั้ง CO และ NO<sub>x</sub> ได้พร้อมๆกันขณะที่โครงสร้างอุณหภูมิมีลักษณะแบบราบมากขึ้น อย่างไรก็ตามจากการวิจัยที่ผ่านมาการศึกษาอิทธิพลของอัตราส่วนสมมูลและอัตราการป้อนเชื้อเพลิง ยังไม่สามารถอธิบายการเกิดการเผาไหม้แบบเป็นขั้นตอนในหัวเผาสุดพรุนได้อย่างชัดเจน ซึ่งตัวแปรสำคัญที่คาดว่าจะทำให้เกิดลักษณะการเผาไหม้แบบเป็นขั้น คือ ระยะ  $X_{PB}$  ดังนั้นในงานวิจัยนี้จะทำการศึกษาระยะ  $X_{PB}$  ที่มีผลต่อการเกิดการเผาไหม้แบบเป็นขั้นอย่างละเอียด และเพิ่มการทดลองในส่วนของเชื้อเพลิงผสมระหว่างเชื้อเพลิงแก๊สกับเชื้อเพลิงเหลว ซึ่งแสดงถึงความยืดหยุ่นของหัวเผาและเป็นต้นแบบของหัวเผาเชื้อเพลิงผสม ซึ่งจะนำไปประยุกต์ใช้กับเชื้อเพลิงที่มีค่าความจุความร้อนต่ำได้ในอนาคต รวมถึงทำการทดลองเพื่อยืนยันว่าหัวเผาสามารถทำงานให้ได้ทั้งเปลวไฟชนิดผสมมาก่อน และชนิดแพร่ ซึ่งเป็นมิติใหม่ของหัวเผาสุดพรุน

## 1.2 วัตถุประสงค์

- เพื่อศึกษาระยะ โครงสร้างเปลวไฟและสมรรถนะการเผาไหม้ของหัวเผาสุดพรุนแบบเป็นขั้นตอนโดยใช้เชื้อเพลิงผสมระหว่างแก๊สกับเชื้อเพลิงเหลว
- เปรียบเทียบสมรรถนะการเผาไหม้ของหัวเผาสุดพรุนแบบเป็นขั้นกับผลงานที่มีมาก่อน

## 1.3 ขอบเขตของงานวิจัย

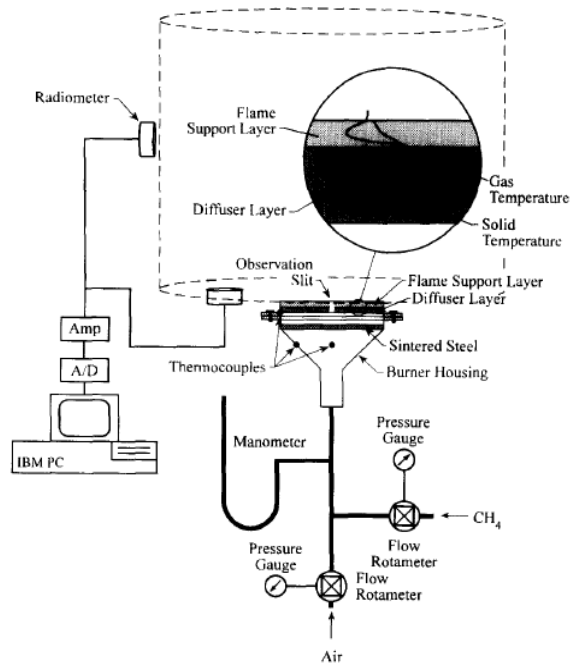
- ทำการทดลองโดยใช้เชื้อเพลิง LPG , Kerosene และเชื้อเพลิงผสมผสมระหว่าง LPG และ Kerosene เป็นเชื้อเพลิง
- ใช้ตาข่ายสแตนเลสขนาด 100 mesh/inch และขนาด 40 mesh/inch เป็นหัวเผาสุดพรุน(porous burner,PB) และ เม็ดหินเป็นวัสดุพรุนแปรรังสี(porous emitter, PE)

#### 1.4 ประโยชน์ที่คาดว่าจะได้รับ

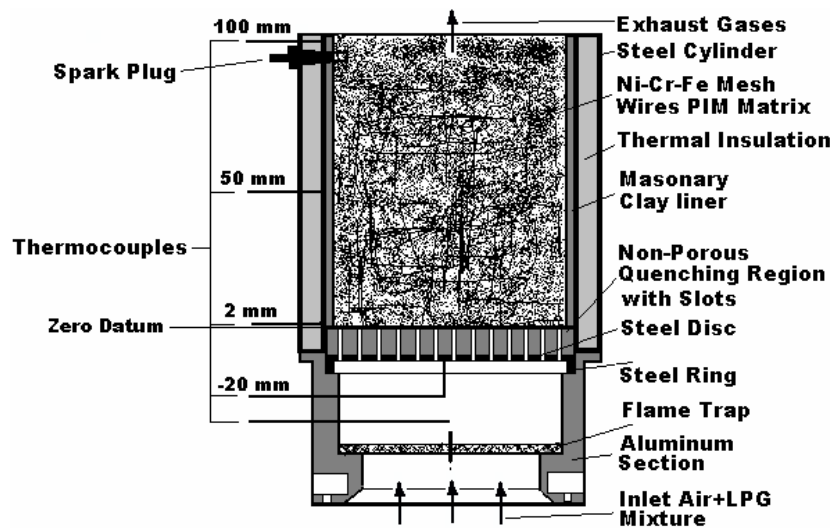
1. สามารถอธิบายถึงกลไกการเพาใหม่ของหัวเพาวัสดุพูนได้มากขึ้น
2. สามารถเพิ่มประสิทธิภาพของหัวเพาได้โดยการเพิ่มประสิทธิภาพการแพร่องสีความร้อนในขณะเดียวกันกับความสามารถควบคุมการปลดปล่อยมลพิษได้ด้วย
3. สามารถเพิ่มความยืดหยุ่นของหัวเพาได้โดยการเพาใหม่เชือเพลิงผสมได้ซึ่งอาจจะนำไปเป็นต้นแบบ ของหัวเพาเชือเพลิงผสมที่มีค่าความร้อนต่ำในอนาคต

## บทที่ 2 งานวิจัยที่ผ่านมา

ปัจจุบันหัวเผาสดพูน (porous burner) กำลังได้รับความสนใจจากห้องปฏิบัติการหลายแห่งทั่วโลก [1-11] และมีแนวโน้มเพิ่มมากขึ้น พิสูจน์ได้จากจำนวนงานวิจัยที่ตีพิมพ์ในวารสารต่างๆ ทั้งนี้เนื่องจากวัสดุพูน (porous medium) มีอัตราส่วนพื้นที่ผิวต่อปริมาตรสูง ส่งเสริมการถ่ายเทความร้อนได้ดีทั้งในแบบการพาความร้อนและการแพร่รังสีความร้อน และสามารถหมุนเวียนความร้อนในตัวเองขณะเผาไหม้ได้ช่องช่วยให้ได้การเผาไหม้ให้ได้การเผาไหม้แบบ “excess-enthalpy flame” นั่นคือ อุณหภูมิการเผาไหม้สามารถสูงกว่าอุณหภูมิการเผาไหม้ทางทฤษฎี (adiabatic flame temperature) ที่ส่วนผสมของเชื้อเพลิงในสภาพเริ่มต้นเดียวกัน[2] ทั้งนี้จะต้องพิจารณาบริเวณเปลวไฟ (the position of the reaction zone) ในหัวเผาสดพูนมีช่องผลต่ออุณหภูมิสูงสุดของการเผาไหม้ โดยที่บริเวณกึ่งกลางของหัวเผาจะให้อุณหภูมิในการเผาไหม้สูงสุด และยังช่วยลด  $\text{NO}_x$  เพราะขณะเกิดการเผาไหม้ในวัสดุพูนจะเกิดการถ่ายเทความร้อนจากเปลวไฟไปยังเนื้อวัสดุพูนอย่างทันทีทันใดทำให้ไม่เกิด Peak temperature ซึ่งเป็นสาเหตุของ Thermal  $\text{NO}_x$  [1] และยังช่วยลด CO ได้อีกด้วย เพราะอุณหภูมิการเผาไหม้โดยรวมมีค่าสูงขึ้น [2] ด้วยเหตุผลดังกล่าวจึงได้นำหลักการเผาไหม้ในวัสดุพูนมาประยุกต์ใช้กับหัวเผานิดผสมกันมาก่อน(premixed)ที่ใช้ในงานอุตสาหกรรม ซึ่งที่ผ่านมาได้มีนักวิจัยหลายกลุ่มได้นำหัวเผาสดพูนมาเผาไหม้ร่วมกับเชื้อเพลิงแก๊ส โดยเริ่มจากการเผาไหม้ในแบบการผสมมาก่อน

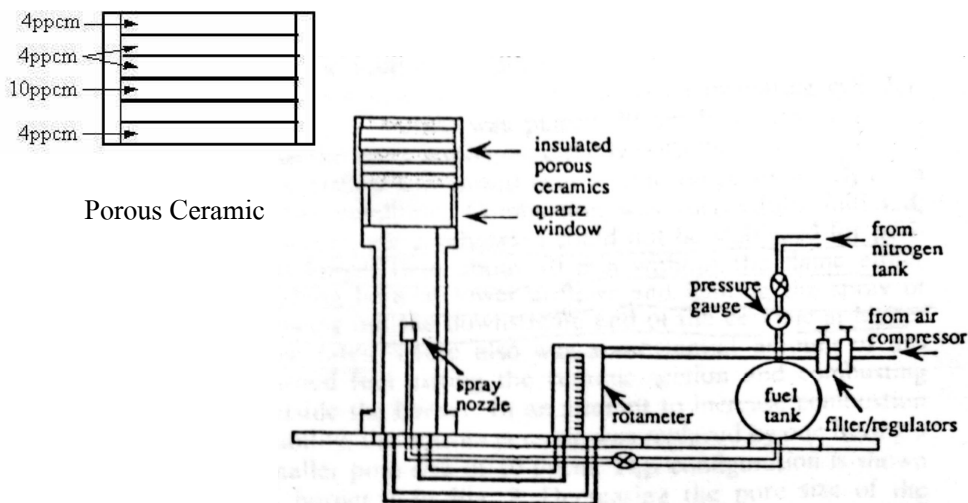


รูปที่ 2.1 แสดงคุณภาพน้ำเสียงทดลองของ Viskanta และ Mital [3]



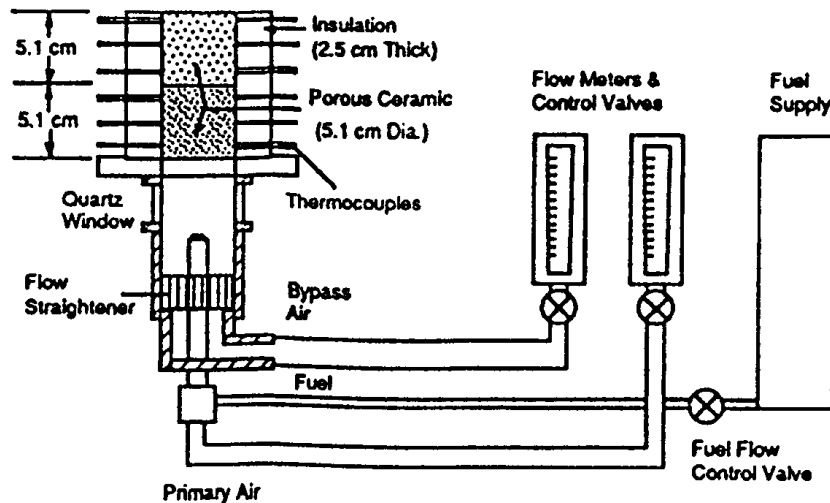
รูปที่ 2.2.แสดงอุปกรณ์การทดลองของ A.I. Bakry [4]

โดยที่ Viskanta และ Mital [3] ได้นำเชื้อเพลิงแก๊ส (methane) มาเผาใหม่ร่วมกับวัสดุพูนแบบผสมมาก่อน โดยที่หัวเผาแบ่งออกเป็นสองส่วนหลักๆ ส่วนแรก คือ flame support ทำจาก silicon-carbide ขนาด 26 ppcm และส่วนที่สอง คือ diffuser layer ซึ่งสามารถปรับเปลี่ยนความพูนได้ 4 แบบ คือ 0.7, 0.75, 0.8, 0.85 ppcm ซึ่งพบว่า เปลวไฟติดอยู่ในวัสดุพูน(submerged flame) ได้โดยยืนยันได้จาก อุณหภูมิการเผาใหม่สูงสุด หรือเป็นตัวแทนเปลวไฟอยู่ภายใต้วัสดุพูน และสามารถทำงานได้อยู่ในช่วง equivalence ratio 0.5-1 แต่หัวเผา มีข้อจำกัดให้เผาใหม่ในกรณีที่ firing rate สูงจะเกิน  $650 \text{ kW/m}^2$  จะเกิด flash back ได้ เมื่อจาก วัสดุพูนถ่ายเทความร้อนบางส่วนมากก็เก็บทางด้าน upstream ผลงานให้ flame speed สูงขึ้นตามไปด้วย A.I. Bakry [4] ได้เผาใหม่โดยใช้หัวเผาวัสดุพูนร่วมกับเชื้อเพลิงแก๊ส (LPG) ในรูปแบบผสมมาก่อนเช่นกันโดยวัสดุพูนทำจากตาข่าย มีความพูน 95% แต่พยายามลดโอกาสการเกิด flash back โดยการติดตั้ง slots พบว่า ทำงานในช่วงที่ firing rate สูงขึ้นจนถึง  $2644 \text{ kW/m}^2$  การลดปล่อยมลพิษต่ำที่สุด CO และ NOx ต่ำอยู่ในช่วง 3-30 ppm และ 3-20 ppm ตามลำดับ อย่างไรก็ตาม การใช้แก๊สเป็นเชื้อเพลิงซึ่งมีความร้อนต่อบริมาตรต่ำกว่าเชื้อเพลิงเหลว ผลงานให้ต้องใช้พื้นที่ในการรักษาขนาดใหญ่ ดังนั้นจึงมีนักวิจัยได้พยายามนำเชื้อเพลิงเหลวมาเผาใหม่ จึงมีนักวิจัยได้นำหัวเผาวัสดุพูนมาเผาใหม่ร่วมกับเชื้อเพลิงเหลวโดยที่ Kaplan และ Hall [5] ประสบความสำเร็จ เป็นต้นในการศึกษาการเผาใหม่ลักษณะเชื้อเพลิงเหลวในวัสดุพูน การทดลองใช้ n-Heptane เป็นเชื้อเพลิงสเปรย์ ด้วยอัตรา  $0.025 \text{ lpm}$  ซึ่งได้ลักษณะขนาด  $50-100 \mu\text{m}$  เข้าในห้องเผาใหม่ โดยใช้วัสดุพูน 3 ชนิด คือ magnesia-stabilized zirconia, silicon carbide และ yttrium-stabilized zirconia ลูกปืนการทดลองดังรูปที่ โดยที่วัสดุพูนเมื่อ 4 ชั้น แต่ละชั้นหนา 2.5 ซม มีห้องเผาใหม่ติดอยู่บีเวนท้ายน้ำขนาดเล็กผ่านรูกลาง 10 ซม สูง 7.5 ซม โดยที่ช่วงการทำงานที่เหมาะสมคือที่ค่า equivalence ratio อยู่ในช่วง

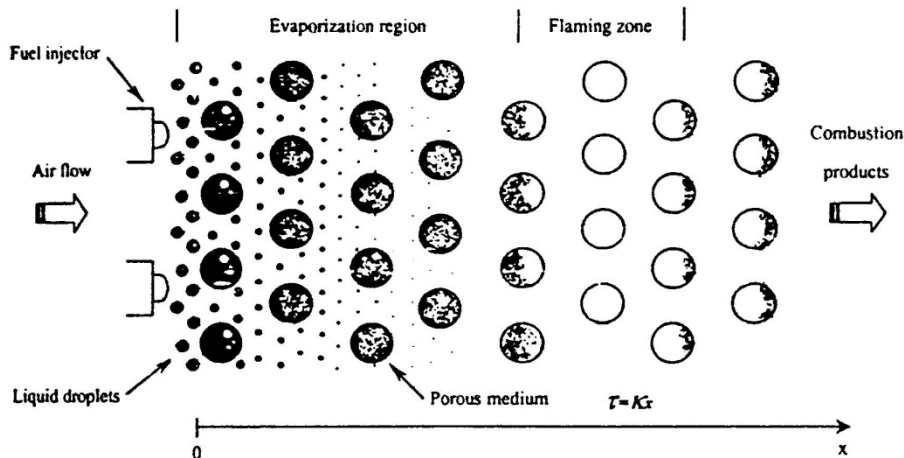


รูปที่ 2.3 Porous Ceramic และอุปกรณ์การทดลองของ Kaplan และ Hall [5]

0.57-0.67 ที่ใช้หัวเผาชนิด 4ppcm-10ppcm-4ppcm-4ppcm-10ppcm ซึ่งการปลดปล่อยมลพิษต่อชั่ว (corrected for 3% oxygen) โดยที่ CO อยู่ในช่วง 3-7 ppm และ NOx อยู่ในช่วง 15-20 ppm ต่อมาก Vijaykant และ Agrawal ได้พัฒนาต่อ โดยใช้เชื้อเพลิง Kerosene เพื่อพยายามลดการปลดปล่อยมลพิษลงทั้ง CO NOx และเข้ม่า ซึ่งเลือกใช้ Silicon carbide (SiC) ออกแบบให้วัสดุพรุนทำงานเป็นสองส่วน คือ preheat zone และ combustion zone วัสดุพรุนแต่ชั้นหนา 2.5 ซม อย่างไรก็ตามในงานวิจัยนี้ยังคงมีข้อจำกัดหลายประการด้วยกัน อันได้แก่ ความจำเป็นที่ต้องใช้หัวฉีดความดันสูงในการสเปรย์เชื้อเพลิงเหลวให้เป็นฟอยล์ของที่ละเอียดมากเสียก่อน ชนิดของวัสดุพรุนที่นำมาใช้ ลักษณะการจัดเรียงชั้นวัสดุพรุนที่เหมาะสม รวมถึงขนาดของของเชื้อเพลิงเริ่มต้นและระยะห่างระหว่างหัวฉีดกับแผ่นวัสดุพรุนเพื่อให้ได้การเผาไหม้มีเสถียรภาพอยู่ในชั้นวัสดุพรุน Tseng และ Howell [6] ทำการศึกษาทั้งการทดลองและแบบจำลองทางคณิตศาสตร์ของการเผาไหม้ กระองเชื้อเพลิงเหลว Heptane จากผลการทดลองพบว่า เป้าไฟมีเสถียรภาพและเผาไหม้ค่อนข้างสมบูรณ์ที่  $\Phi$  ประมาณ 0.3 ใช้ ความดันในการฉีดเชื้อเพลิงประมาณ 60-90 psig ให้ขนาดกระองเฉลี่ยประมาณ  $10 \mu\text{m}$  ปริมาณแก๊สไออกไซด์ CO และ  $\text{NO}_x$  มีค่าใกล้เคียงกับงานของ Kaplan และ Hall [5] ส่วนแบบจำลองทางคณิตศาสตร์ที่ให้ผลสอดคล้องกับการทดลองเป็นอย่างดี แนวคิดเกี่ยวกับการเผาไหม้กระองเชื้อเพลิงเหลวในวัสดุพรุนของ Tseng และ Howell [6] จากการศึกษาพบว่า ขนาดกระองที่เล็กกว่า  $25 \mu\text{m}$  เท่านั้นจึงจะสามารถระเหยได้หมดในบริเวณระเหย (Evaporation Region) ก่อนจะผ่านเข้าสู่เขตการเผาไหม้ (Flame Zone) การระเหยสามารถเกิดใน วัสดุพรุนซึ่งมีความหนาเพียง  $30 \text{ mm}$  จากนั้น ไออกไซด์ของ Heptane จะผสมกับอากาศและเกิดการเผาไหม้ ทั้งนี้ก็เนื่องจากอิทธิพลของวัสดุพรุนช่วยเร่งอัตราการระเหยของกระองเชื้อเพลิงเหลวผ่านกระบวนการชอนหรือสัมผัสถักกับผิววัสดุพรุนร้อน และกระบวนการดูดกลืนการแพร่รังสีความร้อน



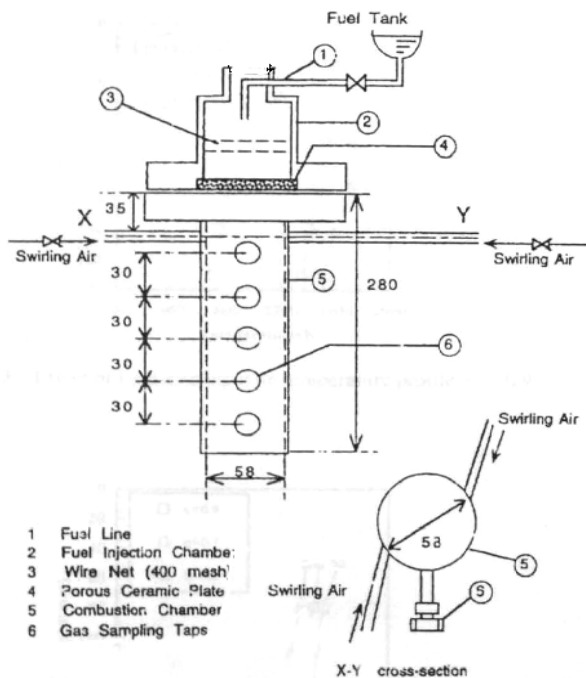
รูปที่ 2.4 อุปกรณ์การทดลองของ Tseng และ Howell [6]



รูปที่ 2.5 แนวคิดการเผาไหม้เมล็ดองเชื้อเพลิงเหลวของ Tseng และ Howell [6]

จากวัสดุพื้น นอกจากนี้ยังมีกระบวนการหมุนเวียนความร้อนจากวัสดุพื้นไปยังอากาศและไอ เชื้อเพลิงให้มีอุณหภูมิสูงขึ้นอย่างมีประสิทธิภาพแต่งานวิจัยนี้ยังมีจุดอ่อนหลายประการ เช่น ถ้านำ เชื้อเพลิงที่มีค่าความร้อนแฝงของการก่อการเป็นไอที่สูงกว่า Heptanes มาใช้หรือขนาดของเม็ดองมีขนาดใหญ่ โดยระบบดังกล่าวอาจไม่มีประสิทธิภาพเพียงพอที่จะทำให้เกิดการระเหยเป็นไอหมดในช่วง Evaporation Region และเป็นไฟที่เกิดขึ้นอาจไม่มีเสถียรภาพในชั้นวัสดุพื้นซึ่งยังไม่มีรายงานอย่างไรก็ตามการใช้เชื้อเพลิงเหลวเป็นเชื้อเพลิงในการเผาไหม้โดยทั่วไปจะต้องใช้การสเปรย์ใช้เชื้อเพลิงแตกตัวก่อนการเผาไหม้เพื่อส่งเสริมการถ่ายเทความร้อนจากแก๊สร้อน อีกทั้งยังช่วยให้อระยะผ่านคลุกเคล้ากับอากาศเป็นเนื้อเดียวกันได้ง่ายขึ้นนำไปสู่การเผาไหม้ที่มีประสิทธิภาพและสมบูรณ์ซึ่งส่งผลให้ต้องมีห้องเผาไหม้มีขนาดใหญ่เพื่อที่จะรองรับการฟุ้งกระจายของเชื้อเพลิงทั้งต้องรักษาการกระจายของอุณหภูมิกายในห้องเผาไหม้ให้สูงสม่ำเสมอเพื่อให้แน่ใจว่าจะองเชื้อเพลิงเหลว

สามารถระเหยได้หมด การระเหยและการเผาไหม้ในบางส่วนจึงเกิดขึ้นพร้อมๆ กันจึงเป็นการยากที่จะควบคุมส่วนผสมให้คลุกเคล้าเป็นเนื้อเดียวกันส่งผลต่ออุณหภูมิการเผาไหม้และการควบคุมการปลดปล่อยมลพิษ ด้วยเหตุผลดังกล่าวนักวิจัยหลายกลุ่มจึงมีความพยายามหาวิธีการเผาไหม้เชื้อเพลิงเหลวแบบใหม่ โดยการนำวัสดุพรุนมาใช้ร่วมกับการเผาไหม้เชื้อเพลิงเหลวโดยไม่ต้องใช้การสเปรย์ โดยการใช้วิธีการหยดเชื้อเพลิงเหลวลงบนวัสดุร้อนเพื่อระเหย โดยอาศัยความร้อนจากการแผ่รังสีของเปลวไฟ (Flame Radiation) ที่เผาไหม้ทางด้านล่างมาใช้ในการระเหยโดยที่ Takami และคณะ [7] ได้ประสบความสำเร็จในการเผาไหม้เชื้อเพลิงเหลวแบบใหม่โดยการหยดน้ำมันก๊าด (Kerosene) ลงบนชั้นวัสดุพรุนร้อนทำจากเซรามิกขนาดเส้นผ่าศูนย์กลาง 58 mm หนา 5 mm แทนการสเปรย์ได้อย่างมีประสิทธิภาพ ดังแสดงในรูปที่ น้ำมันก๊าดถูกหยดลงบนวัสดุพรุนร้อนและระเหยได้หมดในชั้นวัสดุพรุน เนื่องจากวัสดุพรุนมีพื้นที่ผิวต่อปริมาตรสูงจึงสามารถดูดซับการแผ่รังสีจากเปลวไฟ (Flame Radiation) ที่มีการเผาไหม้บริเวณใกล้กับผิวด้านล่างของวัสดุพรุน ณ ตำแหน่งนี้จะมีการป้อนอากาศแบบหมุนวน (Swirling Air) มาผสมกับไอที่ระเหยมาพอดี จนเกิดการติดไฟและเผาไหม้ดังกล่าวได้

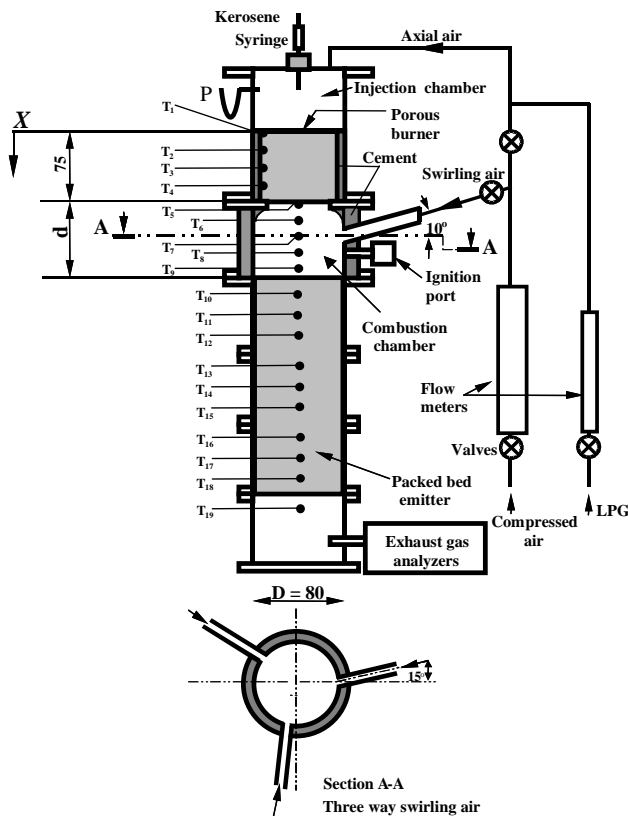


รูปที่ 2.6 อุปกรณ์การทดลองของ Takami และคณะ [7]

อุณหภูมิสูงประมาณ  $1327^{\circ}\text{C}$  ( $1600\text{K}$ ) ปริมาณความร้อนที่ให้เปลวไฟที่เสถียรมาก Flammability Limits ที่กว้างโดยมีค่า  $\Phi$  ประมาณ  $0.1 - 1.0$  ค่า Turn-down Ratio ประมาณ 5.8 ปลดปล่อยมลพิษต่ำที่สุด CO และ  $\text{NO}_x$  จากการทดลองของ Takami และคณะ [7]

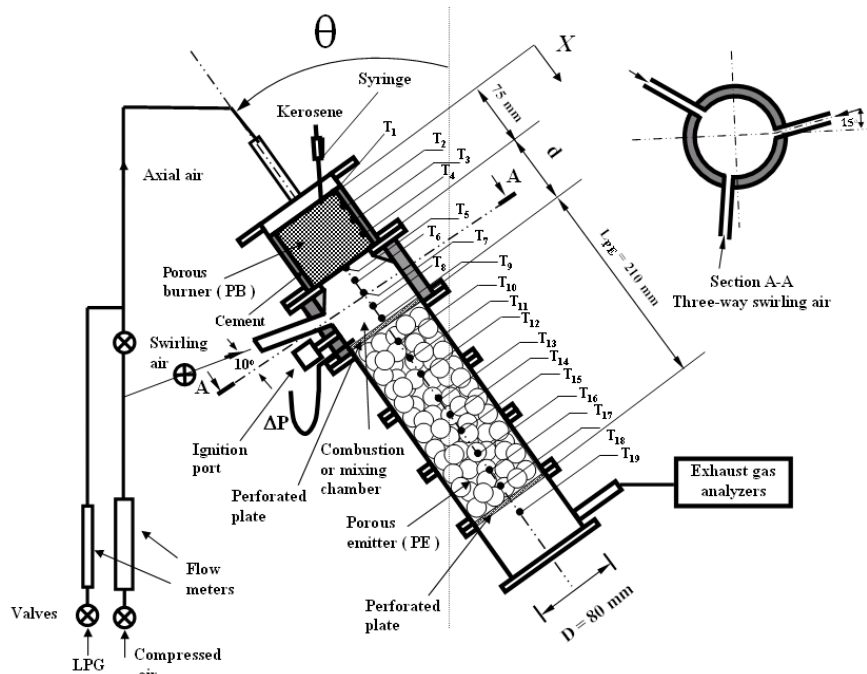
ได้วิเคราะห์ถึงค่า  $\Phi$  และอิทธิพลของอัตราการป้อนเชื้อเพลิงที่มีผลต่อโครงสร้างทางความร้อนและการปลดปล่อยมลภาวะจากการวัดอุณหภูมิเฉพาะในห้องเผาไหม์ เท่านั้น แต่ไม่ได้ทำการวัดอุณหภูมิในชั้นวัสดุพูนที่มีการระเหยเกิดขึ้น ทำให้ไม่สามารถอธิบายถึงการระเหยของเชื้อเพลิงเหลวที่เกิดขึ้นได้

Jugjai และ Polmart [9] ที่ห้องปฏิบัติการวิจัยเครื่องยนต์และการเผาไหม์ (Combustion and Engine Research Laboratory) ภาควิชาวิศวกรรมเครื่องกล มหา. ทำการวิจัยและพัฒนาการเผาไหม์เชื้อเพลิงเหลวแบบอาศัยการหยดแทนการสเปรย์ อุปกรณ์มีลักษณะคล้ายกับการทดลองของ Takami และคณะ [7] ดังรูปที่ 2.6 โดยมีการพัฒนาจากงานวิจัยก่อน[8] สามส่วนหลัก ๆ คือ ประการที่หนึ่งวัดอุณหภูมิในชั้นวัสดุพูน ตามข่ายสแตนเลสวางช้อนทับกัน (Porous Burner, PB) ที่มีการระเหยของหยดเชื้อเพลิงเหลวและอุณหภูมิตามแนวศูนย์กลางตลอดความยาวห้องเผาไหม์ ทำให้เข้าใจการระเหยของเชื้อเพลิงเหลวในชั้นวัสดุพูนมากยิ่งขึ้น และสามารถอธิบายการเผาไหม์ที่เกิดตามมาได้มากขึ้น ประการที่สองปรับปรุงลักษณะการป้อนอากาศจากงานวิจัยก่อน ๆ ที่ป้อนในลักษณะหมุนวนสัมผัสกับเส้นรอบวงห้องเผาไหม์ (Tangential Swirling Air) ที่มีการผสมดีเซลไฟเบอร์เวลขอบไอกลัดกับผนังเท่านั้น ดังนั้นการเผาไหม์ที่เกิดตามมาจึงไม่ดีเท่าที่ควร จึงเปลี่ยนเป็นการป้อนอากาศหมุนวนแบบลักษณะสามทิศทางเชื่อมศูนย์กลางห้องเผาไหม์ ส่งผลต่อการคลุกเคล้าตัวระหว่างอากาศกับไอเชื้อเพลิงที่ดีกว่าเดิมยิ่ง ไปกว่านั้นประการที่สามมีการติดตั้งวัสดุพูนตัวแพร่องสี (Porous Emitter, PE) ทางด้านท้ายน้ำ (Downstream) เพื่อคุกซับเนอนทາลปีจากแก๊สร้อนที่เผาไหม์แล้วกลับมาทางด้านต้นน้ำ (Upstream) เพื่อส่งเสริมทั้ง การระเหยและการเผาไหม์ที่เกิดขึ้น ในการทดลองของ Jugjai และ Polmart [9] ยังมีการศึกษาถึง อิทธิพลของตำแหน่งการติดตั้งวัสดุพูนตัวแพร่องสี (Porous Emitter,PE) ต่อการทำงานของหัวเผา พบว่าหากตำแหน่งการติดตั้งวัสดุพูนหันตัวแพร่องสี ไปทางด้านต้นน้ำ ขนาดที่เหมาะสมแล้วการเผาไหม์บางส่วนสามารถเข้าไปภายในชั้นวัสดุพูน (Submerged Flame) ได้แล้วจะได้การเผาไหม์ที่มีกระบวนการหมุนเวียน ความร้อนในตัวเองที่มีข้อได้เปรียบทenhene กว่าการเผาไหม์แบบปกติ (Free Flame Combustion) เป็นอย่างมาก ดังที่ได้กล่าวมาแล้วในตอนต้น ดังนั้นประเด็นนี้จึงเป็นที่มาที่สำคัญมากในการศึกษาต่อในงานวิจัยนี้ เพื่อให้เข้าใจถึงอิทธิพลของตำแหน่งการติดตั้งวัสดุพูนที่เหมาะสม อย่างไรก็ตามงานวิจัยของ Jugjai และ Polmart [9] มีการศึกษาการทำงานของหัวเผาในลักษณะเฉพาะ ไหลลง (Down-flow) เท่านั้น ซึ่งยังเป็นข้อจำกัดในการนำไปใช้งานอยู่



รูปที่ 2.7 อุปกรณ์การทดลองของ Jugjai และ Polmat [9]

ชุดเดช ผ่องไส ที่ห้องปฏิบัติการวิจัยเครื่องยนต์และการเผาไหม้ (Combustion and Engine Research Laboratory) ภาควิชาวิศวกรรมเครื่องกล มหาวิทยาลัยเชียงใหม่ ( $\Theta$ ) ต่อการเผาไหม้ เชือเพลิงเหลวโดยวัสดุพื้นฐาน เนื่องจากงานวิจัยที่ผ่านมานเน้นเฉพาะการเผาไหม้ในหัวเผา แนวดิ่ง เท่านั้น มุ่งหัวเผาในงานวิจัยนี้นิยามให้เป็นมุ่งระหว่างแนวศูนย์กลางของหัวเผากับแนวดิ่ง ( $\Theta$  เท่ากับศูนย์องศา คือลักษณะ Down-flow) อุปกรณ์การทดลองของชุดเดช ผ่องไส [] คล้ายกับงานวิจัยของ Jugjai และ Polmart [9] ก่อนหน้านี้มีส่วนแตกต่างกันสองส่วนคือ หนึ่งเลื่อนตำแหน่ง Syringe ป้อนน้ำมันทางด้านบนให้ชิดเข้าในส่วนบนของตาข่ายวัสดุพื้นฐาน Porous Burner ทำให้หัวเผามีขนาดกะทัดรัดขึ้นเพื่อรับน้ำมัน และสองคือสามารถปรับมุ่งหัวเผาตั้งแต่  $\Theta$  เท่า 0 องศา (Down-flow) จนถึง 180 องศา (Up-flow) ที่ละ 15 องศา ได้ จากผลการศึกษาพบว่า  $\Theta$  ส่งผลอย่างมากต่อการกระจายตัวของอุณหภูมิ ความดันในห้องเผาไหม้ และการปลดปล่อยปริมาณ CO และ  $\text{NO}_x$  เพราะผลของแรงลอยตัว (Buoyancy Effect) ต่อระบบไออกไซด์และผลของ

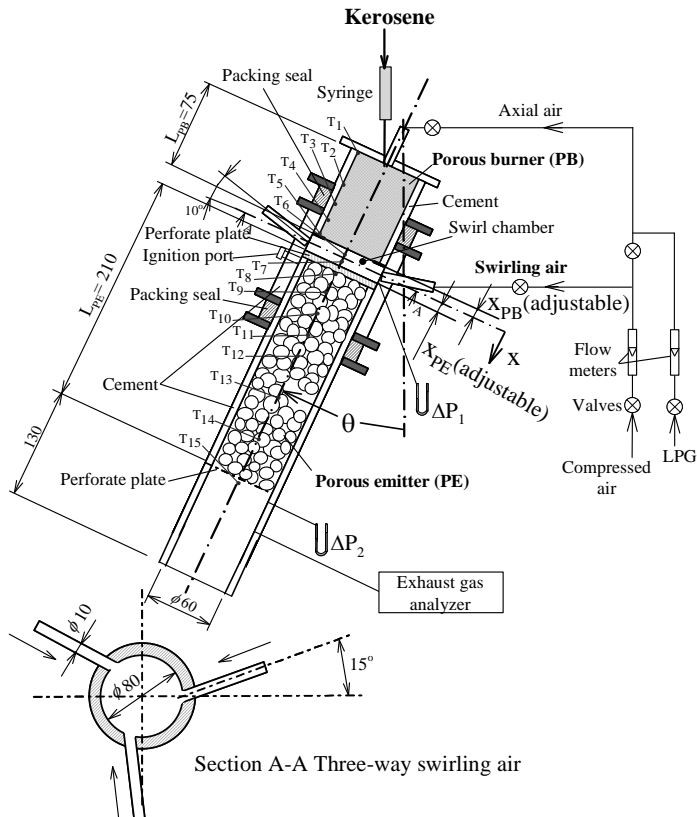


รูปที่ 2.8 อุปกรณ์การทดลองของ ชุดเดช ผ่องไส [12]

แรงโน้มถ่วง (Gravity Effect) ร่วมกับแรงดึงดูดเพื่อการกระจาย ตัวของน้ำมันในชั้นตាថ่ายวัสดุพูน Porous Burner รวมทั้งพื้นที่ในการรับรังสีเพื่อระเหย การเพิ่มความละอิจของตาก่าย สแตนเลสวัสดุพูน Porous Burner ให้ละเอียดขึ้น (จาก 60, 80 เป็น 100 mesh per inch ตามลำดับ) สามารถทำให้การกระจายตัวของน้ำมันดีสม่ำเสมอตลอดหน้าตัดและลดอิทธิพลของ  $\Theta$  ต่อการเผาไหม้ลัง ทำให้หัวเผาสามารถทำงานได้ดีทุกค่า  $\Theta$  จากผลงานวิจัยของ Juggai และ Polmart ซึ่งให้เห็นว่าตำแหน่งการติดตั้งวัสดุพูน Porous Burner และ Porous Emitter เทียบกับตำแหน่งป้อนอากาศมีผลอย่างมากในการลดกัดดันให้ตำแหน่งการเผาไหม้สามารถเข้าไปเกิดในวัสดุพูน Porous Emitter กิตติศักดิ์ สุวรรณวิจิตต์ [15] ที่ห้องปฏิบัติการวิจัยเครื่องยนต์และการเผาไหม้ (Combustion and Engine Research Laboratory) ภาควิชาวิศวกรรมเครื่องกล มหา. ได้มีความพยายามที่จะทำให้ตำแหน่งการติดตั้งวัสดุพูน PB ( $x_{PB}$ ) และตำแหน่งวัสดุพูน PE ( $x_{PE}$ )

อุปกรณ์การทดลองของ กิตติศักดิ์ สุวรรณวิจิตต์ [15] ในรูป 2.9 มีส่วนประกอบสามส่วนหลักๆ คือ ส่วนที่หนึ่งชั้นวัสดุพูน (Porous Burner, PB) ที่ทำหน้าที่ระเหยน้ำมันที่ถูกป้อนเข้ามาจากการด้านบน ส่วนที่สองวัสดุพูนตัวแพร่งสี (Porous Emitter, PE) ทำหน้าที่ดูดซับເเอกสารปีจากแก๊สร้อนมาหมุนเวียนช่วยส่งเสริมการระเหยและการเผาไหม้ โดย Porous Burner และ Porous Emitter จะถูกสวมอยู่ในห้องผสม (Swirl Chamber) ซึ่งเป็นส่วนที่สาม ทั้ง Porous Burner และ Porous Emitter นั้นถูก

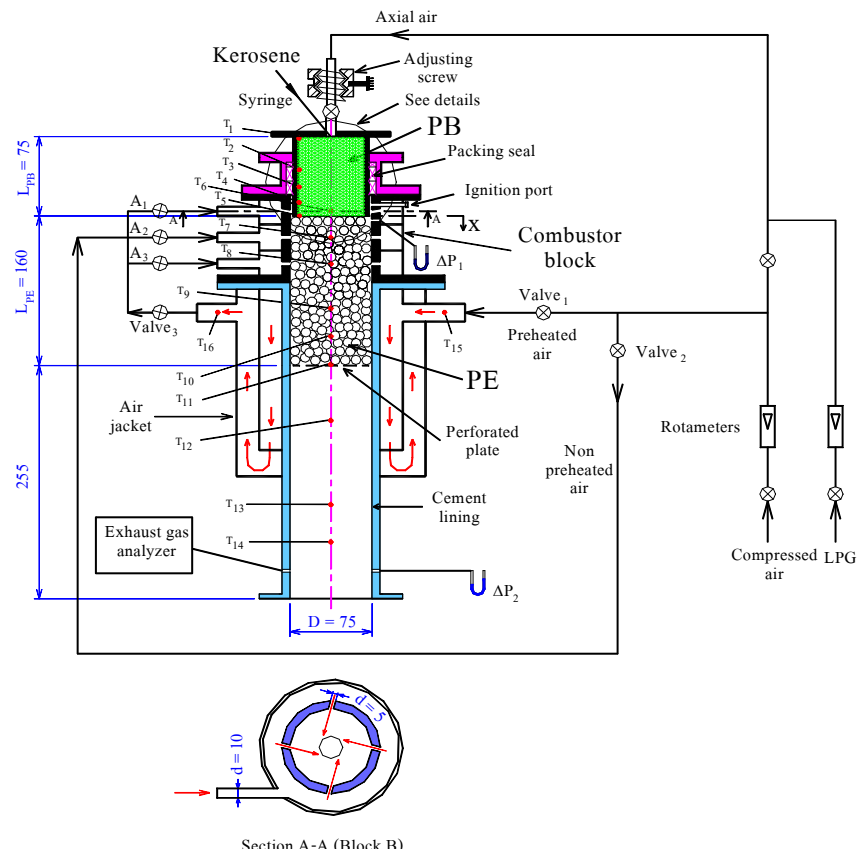
ออกแบบให้สามารถเคลื่อนที่เข้าและออกภายในห้องผสมได้ เพื่อหาตำแหน่งการติดตั้งที่เหมาะสมจากผลการศึกษาพบว่าตำแหน่งการ



รูปที่ 2.9 อปกรณ์การทดลองของ กิตติศักดิ์ สุวรรณวิจิตต์ [13]

ติดตั้งมีผลอย่างมากต่อการกระจายตัวของอุณหภูมิ ตำแหน่งการติดของเปลวไฟ และปริมาณการปลดปล่อย CO และ NO<sub>x</sub> เนื่องจากว่าเมื่อตำแหน่งการติดตั้งของวัสดุพรุนทั้งสอง เข้าใกล้กันมากขึ้น เปลวไฟจะค่อยๆเข้าไปเกิดการเผาไหม้ภายในชั้นวัสดุพรุนตัวแร้งสี (Porous Emitter, PE) มากยิ่งขึ้น ทำการหมุนเวียนความร้อนในระบบสูงขึ้น ช่วยส่งเสริมการเผาไหม้ทำให้การเผาไหม้สมบูรณ์ยิ่งขึ้น แต่ในการศึกษาของ กิตติศักดิ์ สุวรรณวิจิตต์ หัวเผาดังกล่าวยังคงต้องการซองว่างระหว่างชั้นวัสดุพรุน (Poros Burner, PB) และวัสดุพรุนตัวแร้งสี (Porous Emitter, PE) อยู่อย่างน้อย 20 mm เนื่องด้วย ข้อจำกัดของการจ่ายอากาศในห้องผสม (Swirl Chamber) จึงไม่สามารถเรียกได้ว่าเป็นการเผาไหม้ที่เกิดขึ้นในชั้นวัสดุพรุน ได้อย่างสมบูรณ์แบบ ดังนั้นเพื่อเพิ่มสมรรถนะการทำงานและเข้าใจ ทำงานและเข้าใจปรากฏการณ์การเผาไหม้ของหัวเผาดังกล่าวให้ดียิ่งขึ้น McGrath ได้ปรับปรุงการ จ่ายอากาศ ทำให้การคลุกเคล้ากันระหว่างไออกไซเจนกับอากาศได้อย่างดี สามารถปิดระยะเวลาซองว่างใน ห้องเผาไหม้ลงไปได้ ทำให้สามารถควบคุมการเผาไหม้ให้เป็นแบบ non-premixed โดยการเลื่อนวัสดุ

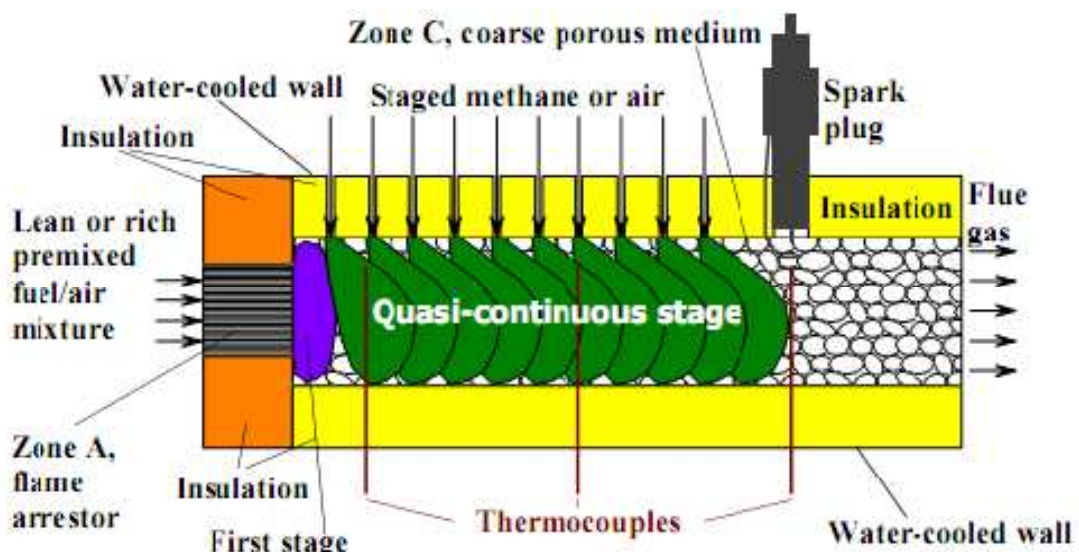
พรุนทั้งสองชนิดคิดกัน ( $X_{pb}=0\text{mm}$ ) และให้เป็นไฟอยู่ในวัสดุพรุน(submerge flame) และมีการอุ่นอากาศก่อนเข้าไปเผาใหม่ซึ่งพบว่ามีการเผาใหม่ที่เสถียร สามารถทำงานได้ที่ค่าเจือจางถึง Equivalence ratio = 0.19 ซึ่งต่ำกว่าค่าของอุณหภูมิของการเผาใหม่ที่มีการโดยระบบปกติ



รูปที่ 2.10 แสดงอุปกรณ์การทดลองหัวเผาน้ำมันของ mgr[14]

เมื่อลดระยะช่องว่างในห้องเผาใหม่จนปิดระยะช่องว่างในห้องเผาใหม่ CO และ  $\text{NO}_x$  มีแนวโน้มลดลงตามการลดระยะช่องว่างในห้องเผาใหม่ ที่ลดลงและมีค่าต่ำ เมื่อแม้ว่า อุณหภูมิจะเพิ่มขึ้นก็ตาม ที่ผ่านมาการเผาใหม่ในวัสดุพรุนส่วนใหญ่จะเป็นการเผาใหม่ในรูปแบบการผสมมาก่อน ซึ่งมีข้อจำกัดเรื่องความปลดปลั๊กในการใช้งาน โดยเฉพาะในอุตสาหกรรมเพราะอาจจะเกิดการติดไฟของส่วนผสมระหว่างเชื้อเพลิงกับอากาศก่อนที่จะมาถึงห้องเผาใหม่ซึ่งอาจจะทำให้เกิดอันตรายขึ้น ได้จึงมีการแก้ปัญหานี้โดยการให้เชื้อเพลิงกับอากาศมาผสมกันที่ห้องเผาใหม่เพื่อเพิ่มความปลดปลั๊กในการทำงานหรือเป็นการเปลี่ยนรูปแบบการเผาใหม่เป็นแบบ non-premixed ซึ่งเป็นอีกทางเลือกหนึ่งในการเพิ่มความปลดปลั๊กและประสิทธิภาพในรูปแบบการแพร่รังสีความร้อน โดยหัวเผานินเดน หมายจะสำหรับไปประยุกต์ใช้กับงานประเภทที่ต้องการความร้อนในรูปแบบการแพร่รังสี ต่อมาก็จะมีการพัฒนา

ทองเต็ม [11] ได้ศึกษาปรากฏการณ์ที่เกิดขึ้นภายในเตาเผา ที่ mgr ลักษณาทำการวิจัยผ่านมาเนื่องจาก การจ่ายอากาศที่เป็นวงแหวนรอบเชื้อเพลิงและอากาศเข้าไปตามรูประหัวง้วสคุพรุนเม็ดหิน (Packed bed emitter) ผ่านตลอดวัสดุพรุนก้อนหิน มีลักษณะคล้ายกับเผาไหหม้อแบบเป็นขั้นตอน (Staged Combustion) ซึ่งสามารถลด  $\text{NO}_x$  ที่เกิดขึ้นได้ โดยที่ Olaf Pickenacker และคณะ[8] ทำการศึกษาการเผาไหหม้อใน porous burner ร่วมกับการเผาไหหม้อแบบเป็นขั้นตอนเพื่อต้องการลด  $\text{NO}_x$  ซึ่งสามารถเผาไหหม้อแบบเป็นขั้นตอนได้ 2 แบบ คือ แบบ air staged กับแบบ methane staged โดยเชื้อเพลิงที่เข้าทางด้าน upstream เป็นแบบผสมมาก่อนโดยใช้ methane เป็นเชื้อเพลิงและ porous ทำจาก alumina fiber ขนาดเส้นผ่านศูนย์กลาง 5-10 มิลลิเมตร ซึ่งการเผาไหหม้อเป็นขั้นตอนทำโดยการจ่ายอากาศ หรือ methane ทางเข้าด้านข้างของห้องเผาไหหม้อ

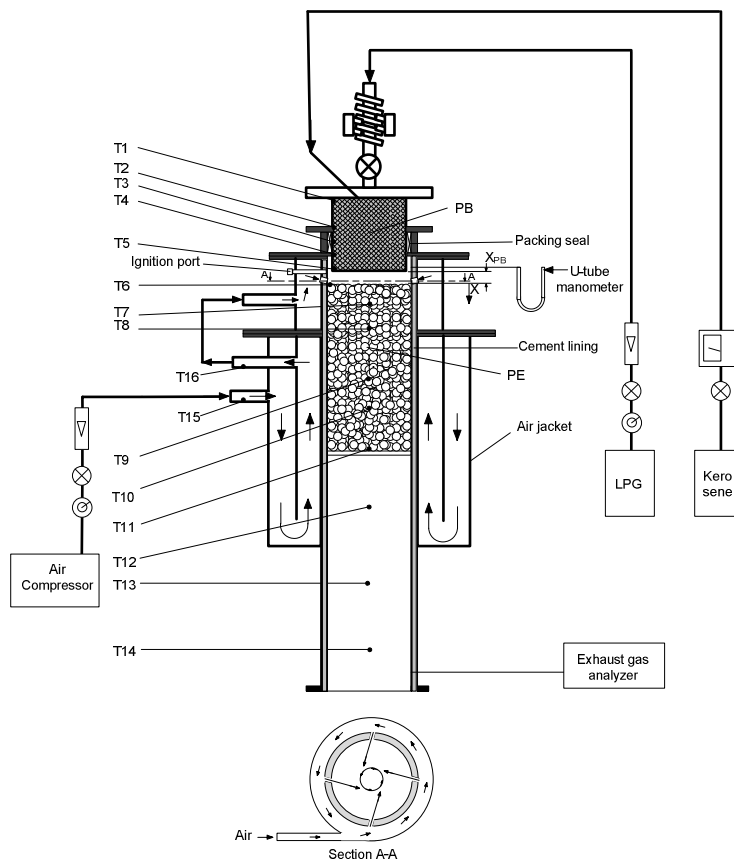


รูปที่ 2.12 แสดงอุปกรณ์การทดลองของ Olaf Pickenacker และคณะ[10]

ผลการทดลองพบว่า หัวเผา porous แบบเป็นขั้นตอนสามารถลด  $\text{NO}_x$  ได้สูงสุดถึง 30% เมื่อเปรียบเทียบกับหัวเผาที่ใช้ porous เข้ามาช่วยส่งเสริมการเผาไหหม้อเพียงอย่างเดียว โดยมีแนวคิดเบื้องต้นในการศึกษาและพัฒนา ปรับปรุงการอุ่นอากาศโดยเปลี่ยนทางเข้าอากาศให้เข้ารอบนอกของเตาเผา วนเข้าด้านในของเตาเผาเพื่อลดการสูญเสียความร้อนของตัวเตาเผาปรับปรุงเพิ่มขนาดของห้องเผาไหหม้อให้มีช่องว่างระหว่างผนังห้องเผาไหหม้อกับหัวเผาวัสดุพรุนเพื่อเพิ่มพื้นที่ในการหมุนวนอากาศมากขึ้น โดยทำการทดลองเชื้อเพลิงสองชนิด คือ เชื้อเพลิงเหลว(Kerosene) และเชื้อเพลิงแก๊ส LPG ซึ่งผลการทดลองพบว่า สามารถขยายขอบเขตการทำงานได้มากขึ้นได้ โดยทำงานได้ในช่วง 0.19-0.98

สำหรับเชื้อเพลิง LPG มี turndown ratio 2.4 การเพิ่มระยะ  $X_{PB}$  มีส่วนให้ปริมาณการปลดปล่อยมลพิษลดลง ทั้ง CO และ NO<sub>x</sub> เช่นเดียวกัน

แต่อย่างไรก็ตาม พิรุทธ ทองเต็ม ได้นำไปทางด้านด้านการหาข้อมูลเบตการเผาไหม้ ซึ่งเป็นการศึกษาอิทธิพลของ ค่า equivalence และ combustion load เป็นหลัก จะเห็นผลขั้นตอนกับการเผาไหม้โดยใช้เชื้อเพลิง Kerosene เท่านั้น ดังนี้เพื่อยืนยันผลการทดลองของ พิรุทธ ทองเต็ม[11] รวมถึงพิจารณาถึงดัว



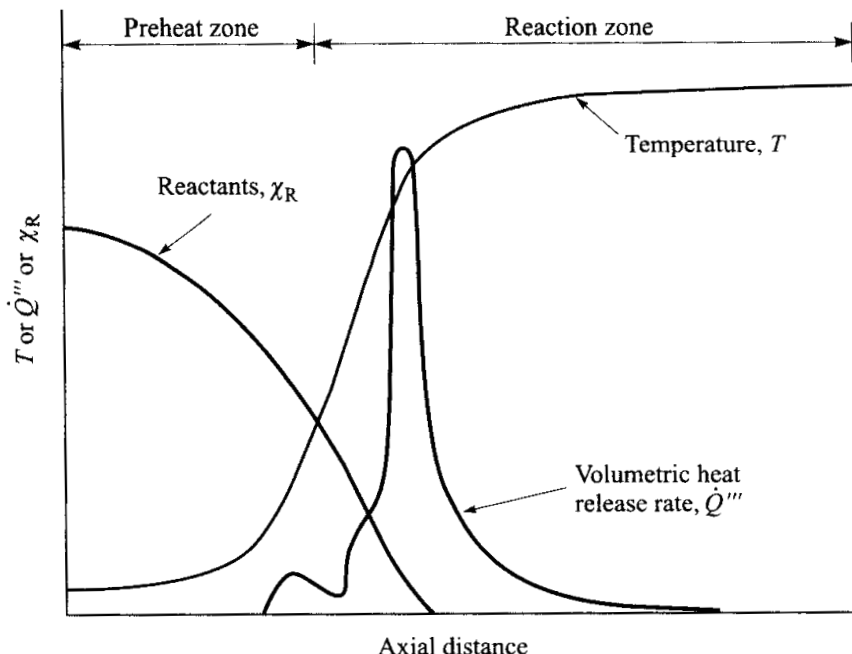
รูปที่ 2.13 แสดงอุปกรณ์การทดลองของพิรุทธ ทองเต็ม[15]

แบบสำหรับ คือ ระยะ  $X_{PB}$  อย่างละเอียด ซึ่งคาดว่าสามารถช่วยการปลดปล่อยมลพิษและควบคุมรูปแบบการเผาไหม้ให้เป็นได้ทั้งแบบ premixed และ non-premixed และแสดงถึงความยืนหยุ่นของหัวเผาที่สามารถเผาเชื้อเพลิงทั้งสามชนิดคือ Kerosene ,LPG และเชื้อเพลิงผสมระหว่าง Kerosene กับ LPG ซึ่งเป็นดัวแทนของเชื้อเพลิงเหลว แก๊ส และเชื้อเพลิงผสมตามลำดับ จึงนำมาสู่จุดประสงค์ของงานวิจัยนี้คือ หาสาเหตุที่แท้จริงของการทดลองของรุ่นก่อนของการปลดปล่อยมลพิษ ทั้ง CO และ NO<sub>x</sub> เกิดขึ้น ได้อย่างไร และหาตำแหน่งเปลวไฟที่เหมาะสมซึ่งจะช่วยให้สมรรถภาพของหัวเผาสูงกว่า

ปลดปล่อยมลพิษต่ำ รวมถึงยืนยันว่าหัวเผาวัสดุพูนนี้มีความสามารถยืนหยุ่น ที่จะสามารถเผาได้ทั้ง เชื้อเพลิงLPG และเชื้อเพลิงKerosene ซึ่งเป็นตัวแทนของเชื้อเพลิงแก๊สและเหลวตามลำดับและยังสามารถเผาไหม้เชื้อเพลิงผสมระหว่าง LPG กับ Kerosene ได้อีกด้วย โดยที่จะทำการศึกษาอิทธิพล ของระยะห่างระหว่างวัสดุพูน ( $X_{PB}$ ) อุ่นละอิบด ซึ่งเป็นตัวแทนและรูปแบบการเผาไหม้ในรูปแบบ premixed กับ non-premixed และของตำแหน่งเปลวไฟ (flame location) ในวัสดุพูนและอัตราส่วน สมมูล (equivalence ratio,  $\Phi$ ) ที่มีผลต่ออุณหภูมิการเผาไหม้ การปลดปล่อยมลพิษและประสิทธิภาพ การแพร่รังสีความร้อนเพื่อนำไปประยุกต์ใช้ต่อไปในอนาคต

## บทที่ 3 หลักการและทฤษฎี

### 3.1 การเผาไหม้เปลาไฟแบบผสมมาก่อน (premixed flame)

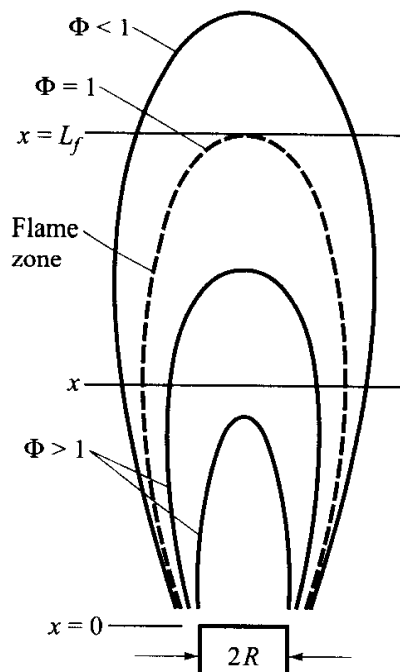


รูปที่ 3.1 แสดงอุณหภูมิ และอัตราการปลดปล่อยความร้อนและปริมาณของเชื้อเพลิงที่มีผลต่อ ระยะทางหัวเผาในรูปแบบเปลาไฟผสมมาก่อน[19]

จากราฟเป็นการจำลองหัวโดยให้เชื้อเพลิงกับอากาศมีการคลุกเคล้ากันมาก่อน ซึ่งจุดที่เปลาไฟสามารถเดินรอยย่างได้คือจุดที่ความเร็วของไอดีเท่ากับความเร็วของการ擴散ของเปลาไฟเข้ามาหาไอดี ซึ่งจุดที่เปลาไฟเดินรอยย่างได้นี้จะมีลักษณะแบบรูบ โดยการเผาไหม้แบบผสมมาก่อนสามารถแบ่งได้เป็นสองส่วนใหญ่ คือ ส่วนของบริเวณการอุ่นไอดี (preheat zone) และบริเวณการเกิดปฏิกิริยา (reaction zone) ซึ่งเปลาไฟจะเกิดในบริเวณการเกิดปฏิกิริยาเท่านั้น โดยที่ส่วนของบริเวณที่เกิดปฏิกิริยา ถ้าพิจารณาอัตราการปลดปล่อยความร้อนก็สามารถแบ่งออกเป็นสองส่วน เช่นกัน โดยที่ส่วนแรกของบริเวณปฏิกิริยาจะเกิดปฏิกิริยาขึ้นอย่างรวดเร็วเคมีเกิดขึ้นอย่างรวดเร็ว เนื่องจากมีความแตกต่างของทั้งอุณหภูมิและความเข้มข้นเชื้อเพลิงสูง ส่งผลให้เปลาไฟมีลักษณะบาง ส่วนที่สองเป็นบริเวณเกิดปฏิกิริยาช้าๆ เช่นปฏิกิริยาการเกิดครั้งบน โดยออกไซด์ จาก CO ไม่เลกูลมีการผสมของเชื้อเพลิงกับอากาศมาก่อนส่วนผสมของไอดีเข้าไปกลั่นตัวส่วนผสมมุด ซึ่งส่งผลให้เปลาไฟยึดออกไประหว่าง ซึ่งการเผาไหม้แบบผสมมาก่อนนั้นมีข้อเสียคือสามารถเกิดการ flash back ได้ และถ้าพิจารณาถึงสีของในส่วนที่เกิดปฏิกิริยาอย่างรวดเร็วจะให้เปลาไฟสีฟ้าเนื่องจากการแผ่รังสีจาก

โนเมกุลของ CH ส่วนผสมของไฮดีหนานขึ้นจะเห็นเป็นคลาไฟฟ์ฟ้า-เขียว จากโนเมกุลของ C<sub>2</sub> จากนั้น การเผาไหม้จะมีลักษณะไอหนานขึ้นเรื่อยๆจนเผาไหม้ไม่สมบูรณ์และเกิดเป็นเหมม่าตามมา ซึ่งในส่วนนี้เราจะเห็นเป็นคลาไฟฟ์เหลือง

### 3.2 การเผาไหม้เป็นคลาไฟแบบแพร์ (diffusion flame)



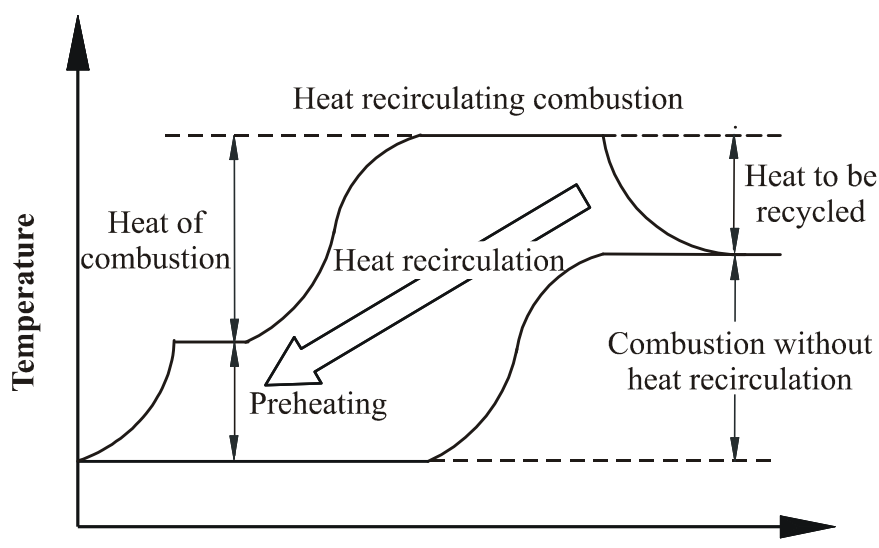
รูปที่ 3.2 โครงสร้างเป็นคลาไฟแบบแพร์[19]

เป็นคลาไฟชนิดแพร์คือการป้อนเชื้อเพลิงกับอากาศแยกกันซึ่งจากในรูปคือทำการป้อนเชื้อเพลิงด้านล่าง ส่วนอากาศได้ถูกเหนี่ยวนำเข้ามาเผาไหม้จากด้านข้าง จากรูปสามารถแบ่งออกเป็น 3 ส่วน ส่วนแรก คือบริเวณที่อัดตราส่วนสมมูลน้อยกว่า 1 คือบริเวณด้านในสุดของเป็นคลาไฟเนื่องจากบริเวณนี้อยู่ใกล้กับ หัวจ่ายเชื้อเพลิงทำให้มีความเข้มข้นสูงผสมกับการที่ปริมาณอากาศเข้ามาพอสมนัย ส่วนต่อมาคือส่วน ที่อยู่บริเวณนอกสุด เชื้อเพลิงที่เหลือจากการเผาไหม้ซึ่งมีปริมาณน้อยไปพอสมกับอากาศภายในออกทำให้ บริเวณนี้มีค่าอัดตราส่วนสมมูลน้อยกว่า 1 ส่วนสุดท้ายคือบริเวณเป็นคลาไฟ(flame zone) จะอยู่ระหว่าง สองส่วนแรก บริเวณนี้บริเวณที่อากาศเข้ามาทำปฏิกิริยาได้มากขึ้นจนส่วนผสมของเชื้อเพลิงและ อากาศทางทฤษฎีเท่ากันจึงทำให้เป็นคลาไฟสามารถเตะตีหรืออยู่ได้ ซึ่งมีสาระที่เกิดได้ 2 แบบ แบบแรก เป็นแบบ overventilated มีลักษณะคล้ายระฆังกว่า(ดังในรูปที่ 3.2) แบบที่สองจะเป็นแบบ under ventiled จะมีลักษณะคล้ายระฆังหงาย คือเป็นลักษณะที่อากาศมาคุกคามคล้ำเชื้อเพลิงซึ่งการแพร่ ของเชื้อเพลิงดังนั้นเชื้อเพลิงจะแพร่ออกไปทำปฏิกิริยาซึ่งทั้งสองชนิดเป็นคลาไฟจะมีลักษณะโถ้งไม่ เหมือนกับเป็นคลาไฟชนิดผสมมาก่อนที่จะมีลักษณะแบบรวม ส่วนสีของเป็นคลาไฟจะเป็นสีส้มหรือสี เหลือง

### 3.3 การเผาไหม้ที่มีการหมุนเวียนความร้อน

ระบบการเผาไหม้ที่มีการหมุนเวียนความร้อนคล้ายได้ว่าเป็นระบบการเผาไหม้ที่มีประสิทธิภาพสูง ส่งเสริมทั้งการเผาไหม้และการถ่ายเทความร้อน ประหดพลังงาน และปลดปล่อยมลพิษ (CO) ที่ต่ำ จึงเป็นที่นิยมใช้กันอย่างแพร่หลายในอุตสาหกรรมต่าง ๆ โดยเฉพาะระบบการเผาไหม้เชื้อเพลิงแก๊สที่ส่วนผสมของเชื้อเพลิงและอากาศมีการผสมมาก่อนหน้าแล้ว (Premixed Flame) ซึ่งระบบการเผาไหม้ที่มีการหมุนเวียนความร้อนนี้ถูกเสนอเป็นครั้งแรกโดย Winberg, J., F. [24-25] โดยในระบบดังกล่าว จะมี การหมุนเวียนความร้อนจากไอเสียไปสู่ไออดิ โดยใช้อุปกรณ์แลกเปลี่ยนความร้อนชนิดใดก็ได้ และต้องหลีกเลี่ยงให้ไม่มีการผสมกันของไอเสียและไออดิ ทั้งนี้เพื่อยกระดับอุณหภูมิของไออดิให้สูงขึ้น ก่อนการเผาไหม้ เทคนิคดังกล่าวไม่ได้เป็นสิ่งใหม่แต่ประการใด แต่ผลลัพธ์ที่เกิดขึ้นจากการนำไปประยุกต์ใช้งานนั้นมีประโยชน์อย่างมาก เพราะสามารถเพิ่มความเข้มของการเผาไหม้ เพิ่มประสิทธิภาพการเผาไหม้ เพิ่มการประหยัดพลังงาน ได้อย่างมีประสิทธิภาพ และอนุภาคานีชั้งช่วยให้สามารถเผาไหม้เชื้อเพลิงเกรดต่ำที่ไม่สามารถติดไฟได้ด้วยตัวเองได้ (Self-sustaining Combustion)

### 3.4 หลักการทำงานของการเผาไหม้ที่มีการหมุนเวียนความร้อน

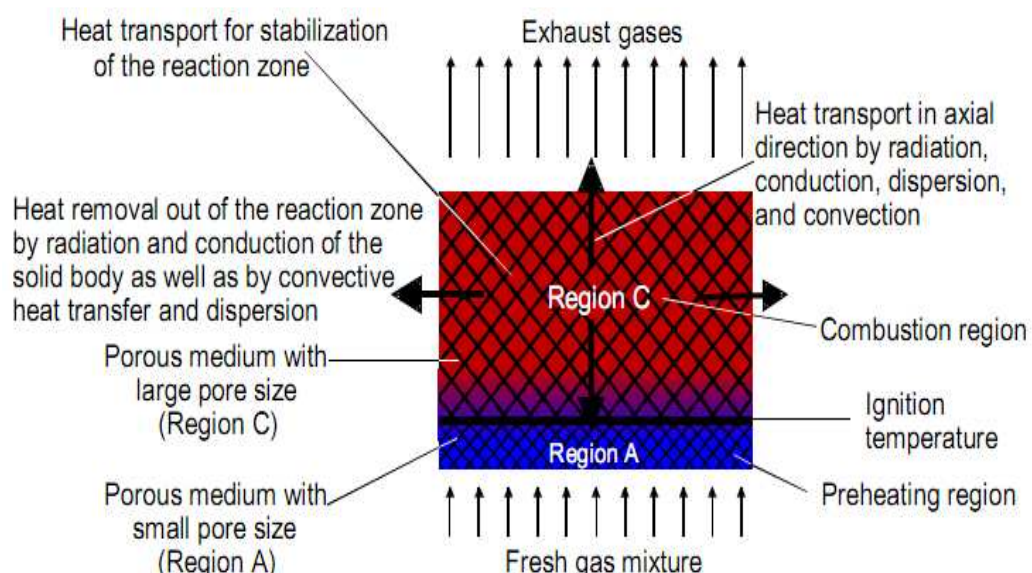


รูปที่ 3.3 เปรียบเทียบระบบการเผาไหม้ระหว่างที่มี และ ไม่มีการหมุนเวียนความร้อน [22]

รูปที่ 3.3 หลักการทำงานระหว่างระบบการเผาไหม้ที่มีและ ไม่มีการหมุนเวียนความร้อน โดยความร้อนบางส่วนในแก๊สหลังการเผาไหม้ของระบบการเผาไหม้ที่มีการหมุนเวียนความร้อนจะถูก “ซึมชั่วคราว” เพื่อหมุนเวียนไปช่วยในการอุ่นไออดิ โดยใช้อุปกรณ์แลกเปลี่ยนความร้อนชนิดใด ๆ ก็

ได้ ความร้อนส่วนนี้อาจกล่าวได้ว่าเป็น “ความร้อนหมุนเวียน” ที่เกิดจากการป้อนเชื้อเพลิงเกรดสูงเข้าสู่เตาขณะเริ่มอุ่นเตา ก่อนจะป้อนเชื้อเพลิงจริงที่ต้องการเผาไหม้ ซึ่งความร้อนหมุนเวียนนี้จะคงอยู่ในระบบไม่หายไปไหน เมื่อระบบเข้าสู่สภาวะคงที่ (Steady State) หลังป้อนเชื้อเพลิงจริงที่ต้องการเผาไหม้แล้วจะได้ว่า อุณหภูมิสุดท้ายที่ทางออกของระบบที่มีการหมุนเวียนความร้อนยังคงเท่าเดิมเหมือนกรณีการเผาไหม้ที่ไม่มีการหมุนเวียนความร้อนทุกประการ เพราะต้องคืนความร้อนหมุนเวียนกลับสู่ห้องเผาไหม้ให้แก่ไอดี อย่างต่อเนื่องผ่านอุปกรณ์แลกเปลี่ยนความร้อน อย่างไรก็ตามในระหว่างการเผาไหม้นั้น ระบบการเผาไหม้ที่มีการหมุนเวียนความร้อนจะให้อุณหภูมิการเผาไหม้สูงมากกว่าเมื่อเทียบกับระบบการเผาไหม้ที่ไม่มีการหมุนเวียนความร้อน ทั้งนี้ขึ้นอยู่กับขีดความสามารถของอุปกรณ์แลกเปลี่ยนความร้อนที่ใช้ ตลอดจนข้อจำกัดเรื่องของการจุดระเบิดก่อน (Pre-ignition) ของส่วนผสมเชื้อเพลิงกับอากาศที่ถูกอุ่นให้มีอุณหภูมิสูงขึ้นอาจเป็นอันตราย ได้ ถ้าสามารถถวบคุณเรื่องดังกล่าวได้ระบบการเผาไหม้ที่มีการหมุนเวียนความร้อนจะมีประโยชน์มากในการเผาไหม้แก๊สเชื้อเพลิงเกรดต่ำ ที่มีค่าความร้อนต่ำ ซึ่งไม่สามารถติดไฟและเผาไหม้ด้วยตัวเอง ได้อย่างมีเสถียรภาพ (Self-sustaining Combustion) เช่น แก๊สระบายน้ำจากเมืองต่านหิน ซึ่งจะเป็นส่วนผสมของมีเทนและอากาศในสภาวะที่เจือจางมาก ๆ หรือจะเป็นแก๊สสารระเหยที่ปล่อยทิ้งจากโรงงานอุตสาหกรรม (Volatile Organic Compound, VOC) เป็นต้น ทำให้สามารถนำความร้อนจากแก๊สเหล่านี้มาใช้ประโยชน์ได้อย่างมีประสิทธิภาพ ในขณะเดียวกันก็เป็นการทำลายมลพิษที่เกิดจากแก๊สเหล่านั้นไปพร้อมกัน โดยการเผาไหม้เพื่อเปลี่ยนให้เป็นไอน้ำ ( $H_2O$ ) และ  $CO_2$  ซึ่งมีอันตรายน้อย

### 3.5 การหมุนเวียนความร้อนจากการเผาไหม้ในวัสดุพูน



รูปที่ 3.4 แสดงการถ่ายเทความร้อนจากการเผาไหม้ ที่เกิดขึ้นในชั้นวัสดุพูน

การเผาไหม์ภายในวัสดุพูน สามารถเรียกได้ว่าเป็นการเผาไหม์ที่มีการหมุนเวียนความร้อนซึ่งส่วนผสมของไอดี (อากาศ + เชื้อเพลิง) จะถูกอุ่นให้ร้อน ด้วยความร้อนที่ถูก “ยึดชั่วคราว” จากไอเสียร้อนบริเวณหลังตำแหน่งเปลวไฟ (Post-Flame Zone) โดยอาศัยวัสดุพูนเป็นอุปกรณ์ในการแลกเปลี่ยนความร้อน ซึ่งกลไกการถ่ายเทความร้อนทั้งสามโหมด (การนำความร้อน การพาความร้อน และการแพร่รังสีความร้อน) ที่เกิดขึ้นในชั้nwัสดุพูน จะเป็นตัวช่วยส่งเสริมการหมุนเวียนความร้อนอย่างมีประสิทธิภาพ กล่าวคือในบริเวณหลังตำแหน่งเปลวไฟ หรือทางด้านท้ายน้ำ (Downstream) ของชัnnัสดุพูน ความร้อนจากแก๊สไอเสียจะถูกถ่ายเทให้วัสดุพูนโดยการพาความร้อน และความร้อนในส่วนนี้จะถูกถ่ายเทไปช่วยในการอุ่น (Pre-Heating) ส่วนผสมไอดี ที่ถูกป้อนเข้ามาในช่วงด้านน้ำ (Upstream or Pre-Flame Zone) โดยการนำและการแพร่รังสีความร้อนในชัnnัสดุพูน

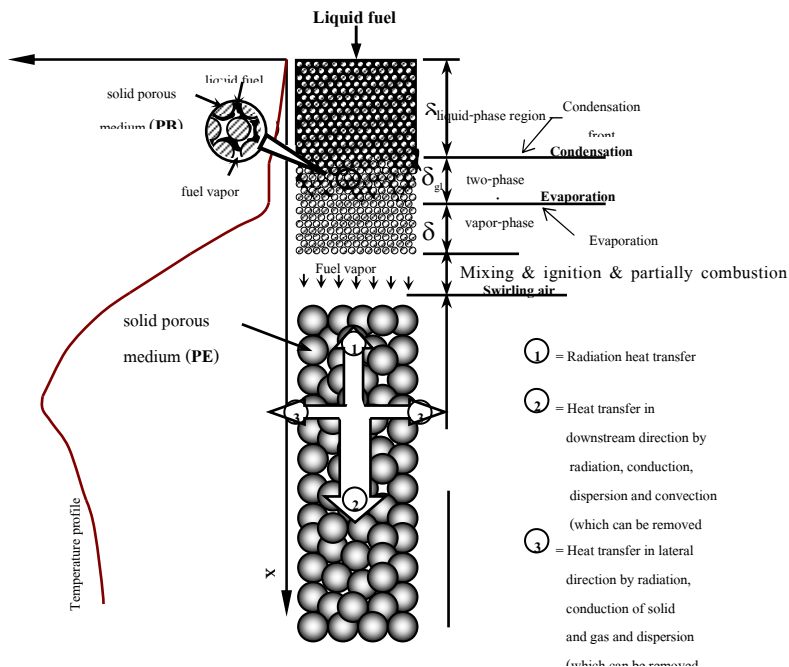
กลไกการการหมุนเวียนความร้อนที่เกิดขึ้นภายในชัnnัสดุพูนนี้จะส่งผลให้ได้การเผาไหม์ที่มีการหมุนเวียนความร้อน ซึ่งเป็นผลให้ได้อุณหภูมิการเผาไหม์ที่สูงกว่าอุณหภูมิเปลวไฟแอเดียบติก (Adiabatic Flame Temperature) เป็นผลให้การเผาไหม์ในวัสดุพูน ถูกเรียกถึงในชื่อ “การเผาไหม์แบบชูปเปอร์แอเดียบติก (Super-Adiabatic Combustion)” หรือ “Excess Enthalpy Combustion”

นอกจากนี้การเผาไหม์ในวัสดุพูนยังปลดปล่อยมลพิษ ( $\text{CO}$ ,  $\text{NO}_x$ ) ที่ต่ำกว่าการเผาไหม์แบบทั่วไป (Conventional Free Flame combustion) สำหรับในกรณีที่ต้องการอุณหภูมิการเผาไหม์เท่าเดิม การเผาไหม์ในวัสดุพูนสามารถขยายขอบเขตไปยังบริเวณส่วนผสมอ่อนจาง (Lean) ได้ เป็นผลให้มีอากาศมากเกินพอในการเผาไหม์ ทำให้การเผาไหม์สมบูรณ์  $\text{CO}$  จึงลดลง อีกทั้งที่บริเวณเปลวไฟความร้อนจากการเผาไหม์จะถูกถ่ายเทไปยังวัสดุพูน และวัสดุพูนจะแพร่รังสีความร้อนออกไปอย่างทันทีทันใด เป็นผลให้อุณหภูมิเปลวไฟถูกคงให้ต่ำลง เป็นผลให้ Thermal  $\text{NO}_x$  ลดลงได้

### 3.6 แนวคิดการเผาไหม์เชื้อเพลิงเหลวแบบไม่ออาศัยการสเปรย์โดยวัสดุพูน

รูปที่ 3.7 แสดงแนวคิดการเผาไหม์เชื้อเพลิงเหลวโดยไม้ออาศัยการสเปรย์เป็นละองและอาศัยหลักการหมุนเวียนความร้อน โดยวัสดุพูนดังกล่าวข้างต้น การหมุนเวียนความร้อนที่เกิดขึ้นจากส่วนที่มีการเผาไหม์แล้วหรือเปลวไฟสามารถดำเนินมาช่วงระยะเวลาได้เป็นอย่างดี สำหรับหลักการทำงานและปรากฏการณ์ต่างๆที่เกิดขึ้นโดยการสังเกตจากผลกระทบลดลง ผลงานวิจัยก่อนหน้าและผลการศึกษาเชิงทฤษฎีที่เกี่ยวข้องกับการระเหยในวัสดุพูนที่ได้รับพลังชักความร้อนทางด้านปลายเปิด [13] มีดังนี้คือเชื้อเพลิงเหลว (Liquid Fuel) จะถูกป้อนเข้าทางด้านบนของวัสดุพูนร้อน (Solid Porous Medium, PB) ที่ได้รับการอุ่นให้ร้อนมาก่อน (จากการอุ่นเตาโดยใช้เชื้อเพลิงแก๊สหรือ Heater ไฟฟ้าในตอนต้น) เชื้อเพลิงเหลวจะซึมผ่านตามช่องว่าง (Pore) เสือกๆในเนื้อของวัสดุพูนเนื่องจากผลของแรงตึงผิว (Surface Tension Effect) และผลของแรงโน้มถ่วง (Gravity Effect) ต่ำผลให้เชื้อเพลิงเหลวกระจายตัวไหลเดิมหน้าตัด ในขณะเดียวกันเชื้อเพลิงเหลวจะได้รับการถ่ายโอนความร้อนจากสถานะของแข็ง (Solid Porous Medium, PE) ทำให้มีอุณหภูมิสูงขึ้นในช่วง Liquid-phase Region,  $\delta_1$

จนกระทั่งมีบางส่วนอุณหภูมิสูงกว่าจุดเดือดจึงเริ่มเกิดการระเหยเป็นไอบางส่วน (ดูปฏิสัมพันธ์ของแต่ละสถานะในรูปข่ายทางด้านซ้ายมือประกอบ) ในเขตที่เรียกว่า Condensation Zone จนกระทั่งระเหยกลาຍเป็นไออกทั้งหมดผ่าน Evaporation Zone และไออก



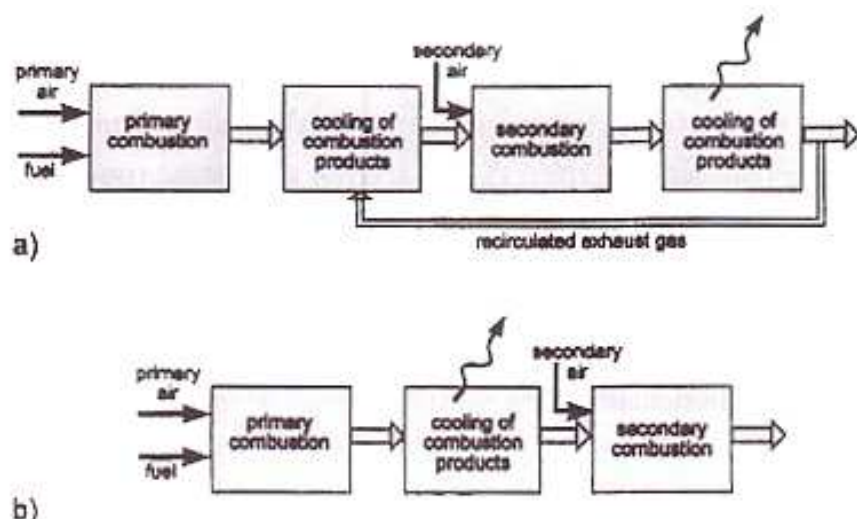
รูปที่ 3.5 แนวคิดการเผาไหม้เชื้อเพลิงเหลวแบบไม้อากาศการสเปรย์โดยวัสดุพูน[24]

เชื้อเพลิงนี้จะถูกอุ่นต่อในบริเวณ Vapor-phase Region,  $\delta_g$  จนกระทั่งไอกองเชื้อเพลิง (Fuel Vapor) ให้คล่องมาผสมกับอากาศ (Swirling Air) ที่ป้อนเข้าทางด้านข้างบริเวณช่องว่างใกล้กับผิวด้านล่างของวัสดุพูน PB แล้วจึงเกิดการติดไฟ (Ignition) และการเผาไหม้ (Combustion) ในชั้nwัสดุพูน PE ที่ติดตั้งทางด้านล่าง ความร้อนจากกระบวนการเผาไหม้ในสถานะแก๊สนี้จะมีการถ่ายเทให้กับสถานะของแข็ง (Solid Porous Medium, PE) ในทันทีทันใด โดยการถ่ายเทความร้อนออกจาก PE สามารถแบ่งออกเป็นส่วนต่างๆ ได้สามส่วนดังนี้คือ ส่วนที่หนึ่งเป็นการถ่ายเทความร้อนโดยการแผ่รังสีความร้อนจากของแข็งวัสดุพูนและแก๊สร้อนหมุนเวียนกลับไปยังวัสดุพูน PB ทางด้านบนเพื่อใช้ในการระเหยเชื้อเพลิงเหลวที่มีการป้อนเข้ามาทางด้านบนอย่างต่อเนื่องตลอดเวลา โดยที่ความร้อนในส่วนนี้เป็นทั้งส่วนที่ทำให้เกิดการระเหยเพื่อเตรียมไอก่อนการผสมและเป็นการอุ่นไอดีไปในตัว ดังนั้นจึงทำให้ระบบการเผาไหม้ที่ได้เป็นระบบที่มีการหมุนเวียนความร้อนในตัวเอง ส่งเสริมทั้งการระเหยและการเผาไหม้ไปในตัว ส่วนที่สองคือ ความร้อนที่ถ่ายเทไปทางด้านท้ายน้ำ (Downstream) จากวัสดุพูนของแข็งและแก๊สร้อนเพื่อนำไปใช้ประโยชน์ต่อ และส่วนที่สามเป็นความร้อนที่มีการถ่ายเทออก

ทางค้านข้างทั้งการแผ่รังสีและการนำความร้อนโดยของแข็งและแก๊ส ความร้อนในส่วนนี้สามารถนำไปใช้ประโยชน์ต่อได้อีกเช่นกัน

### 3.7 เทคนิคการเผาไหม้แบบแบ่งเป็นขั้นตอน

เทคนิคการเผาไหม้แบบแบ่งเป็นขั้นตอนเป็นเทคนิคการเผาไหม้ที่ขับขับการเกิด Thermal  $\text{NO}_x$  โดยควบคุมการผสมระหว่างเชื้อเพลิงและออกซิเจนในลักษณะที่ป้องกันไม่ให้เกิดการเผาไหม้ที่สภาวะสตอคิโอมิตรี ( $\Phi = 1.0$ ) การผสมจะเป็นไปในลักษณะที่ทำให้เกิดการเผาไหม้ในห้องเผาไหม้ภายในห้องเผาไหม้ภายใต้อัตราส่วนสมมูลที่แตกต่างกันหลายค่าจากไอเดียของไอลันด์กันกี ได้แต่ต้องไม่ให้เกิดการเผาไหม้ที่สตอคิโอมิตรีอย่างเด็ดขาด เพื่อให้เป็นไปตามวัตถุประสงค์ดังกล่าว จึงต้องแบ่งจ่ายอากาศเป็นหลายส่วน(หรืออีกนัยหนึ่งคือจัดการทำให้เชื้อเพลิงขาดอากาศ)แล้วป้อนเข้าสู่เตาเผาไหม้เพื่อเผาไหม้กับเชื้อเพลิงที่ตำแหน่งต่างๆ กัน จึงเกิดการเผาไหม้แบบแบ่งเป็นหลายขั้นตอนขึ้นในห้องเผาไหม้ และเพื่อให้การควบคุมการเกิด  $\text{NO}_x$  เป็นไปอย่างมีประสิทธิภาพสูงยิ่งขึ้นอาจมีการดึงความร้อนออกมากจากแก๊สร้อนที่เกิดจากการเผาไหม้ในขั้นตอนทุติกูมิ (Secondary Combustion) ดังแสดงโดยไอดีอะแกรนตามรูปที่ 3.1(b) หรือเพิ่มภาระการเผาไหม้ไปอีกเพื่อควบคุม Thermal  $\text{NO}_x$  ให้เกิดยากยิ่งขึ้น โดยการหมุนเวียนแก๊สไอลีช (Recalculated Exhaust Gas) ซึ่งส่วนใหญ่เป็น  $\text{N}_2$  และ  $\text{CO}_2$  เข้ามาพสมเพิ่มไปอีกก่อนการเผาไหม้ในขั้นตอนทุติกูมิดังแสดงในรูป 3.1(a)

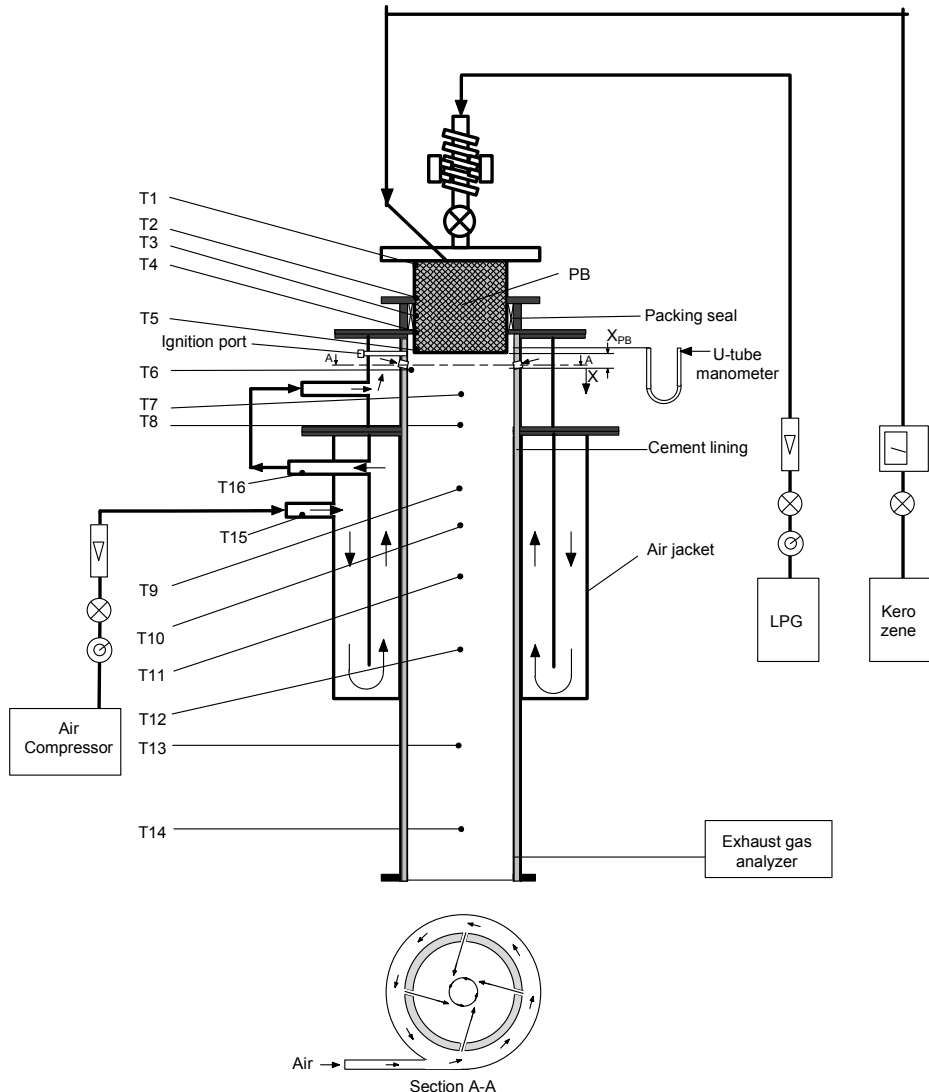


รูปที่ 3.7 เทคนิคการเผาไหม้แบบแบ่งเป็นขั้นตอน[16]

(a) อาศัยการลดอุณหภูมิและการหมุนเวียนแก๊สไอลีช (b) อาศัยการลดอุณหภูมิ[16]

## บทที่ 4 อุปกรณ์และวิธีการทดลอง

### 4.1 อุปกรณ์การทดลองสำหรับการเผาไหม้แบบเปลวไฟอิสระ(Free Flame)



รูปที่ 4.1. แสดงภาพอุปกรณ์แบบเปลวไฟอิสระ

รูปที่ 4.1 แสดงอุปกรณ์การทดลองเผาไหม้เชื้อเพลิงเหลวและเชื้อเพลิงแก๊สภายแบบเปลวไฟอิสระหัวเผาทำจากท่อสแตนเลส ประกอบด้วยสามส่วนหลัก ๆ คือ ส่วนที่หนึ่งชั้นวัสดุพูนที่ทำหน้าที่ระเหย Porous Burner, PB (ส่วนบนของ Diagram) ภายในประกอบด้วยตาข่ายสแตนเลสแผ่นกลมขนาด 100 mesh/inch จำนวน 180 แผ่นและขนาด 40 mesh/inch จำนวน 30 แผ่น วางซ้อนทับด้วยหน้าแปลนประกบกันทั้งสอง-ด้าน หน้าแปลนด้านบนมีเข็มปืนเชื้อเพลิงเหลว (Syringe) สองตัว

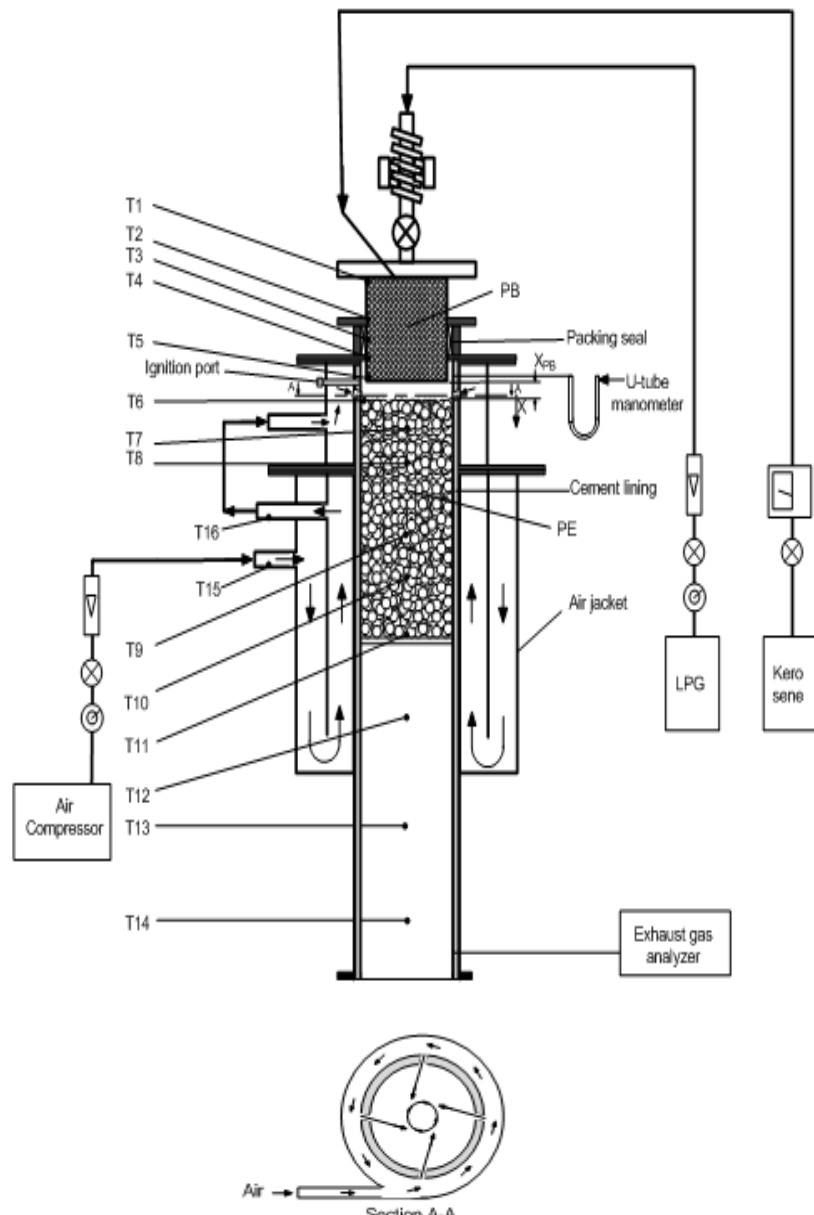
หน้าแปลนลึกเข้าไปในชั้นตาก่ำๆประมาณ 5 mm ทิศทางเฉียงกับท่อป้อนอากาศในแนวแกน และมีท่อแก๊ส LPG กับท่อป้อนอากาศในแนวแกน โดยเข็นป้อนเชื้อเพลิงจะอยู่ในลักษณะเฉียงลงเสมอ ด้านข้างใน Porous Burner(PB)จะฉาบด้วยซีเมนต์ (Cement) กันการสูญเสียความร้อนหนา 5 mm ส่วนที่สองคือห้องเผาใหม่ ผนังด้านในจะฉาบด้วยซีเมนต์ (Cement) กันความร้อนหนา 5 mm เช่นเดียวกัน มีความยาว 160 mm ที่วัสดุพูน PB จะสวมอยู่ในท่อห้องผสม (Combustor Block) ซึ่งเป็นส่วนที่สาม PB สามารถเคลื่อนที่เลื่อนเข้าเลื่อนออกภายในห้องผสมได้ในลักษณะ Telescopic เพื่อเป็นการปรับระยะห่างระหว่างวัสดุพูนทึบส่อง ในส่วนห้องผสม (Combustor Block)จะมีลักษณะการจ่ายอากาศถูกป้อนด้วยท่อขนาดเดือนฝ่าสูนย์กลาง 10 mm เอียงแนวสูนย์กลางของห้องเผาใหม่ ลักษณะหมุนวนสี่ทิศทาง (4-ways Swirling Air) สำหรับการจุดไฟ (Ignition Port) ด้วยเปลวไฟล่อ (Pilot Flame) จากหัวเชื้อมแก๊ส นอกจากนี้ยังมีส่วนของ Air Jacket เพื่อป้องกันการสูญเสียความร้อน อีกทึบยังทำหน้าที่เป็นตัวช่วยอุ่นอากาศก่อนที่จะป้อนอากาศเข้าห้องเผาใหม่ด้วย

ภายในหัวเผามีการวัดอุณหภูมิทึบหมด 16 จุด แบ่งออกเป็นในชั้นตาก่ำๆวัสดุพูน PB ใช้เทอร์โนมัติก็ปเปิล Type N จำนวน 5 จุด ( $T_1$  ถึง  $T_5$ ) และ 3 จุด ( $T_6$  ถึง  $T_8$ ) วัดในห้องผสม (Combustor Block) ด้วยเทอร์โนมัติก็ปเปิล Type B สำหรับในวัสดุพูนตัวแพร่งสี (PE) วัดอุณหภูมิทึบหมด 5 จุด ( $T_9$  ถึง  $T_{11}$ ) ด้วยเทอร์โนมัติก็ปเปิล Type B สำหรับบริเวณทางออกของไอเสียจะวัดอีก 3 จุด ( $T_{12}$  ถึง  $T_{14}$ ) ด้วยเทอร์โนมัติก็ปเปิล Type B และจะวัดอุณหภูมิก่อนและหลังการอุ่นอากาศ 2 จุด ( $T_{15}$  และ  $T_{16}$ ) ด้วยเทอร์โนมัติก็ปเปิล Type N และสำหรับตำแหน่งในการวัด ( $T_6$  และ  $T_{14}$ ) นั้นจะอยู่ในแนวสูนย์กลางของหัวเผาแยกเว้นในวัสดุพูน PB จะวัดที่ด้านข้างของ PB เพื่อไม่ให้รบกวนการไหลดของเชื้อเพลิงเหลว โดยเทอร์โนมัติก็ปเปิล ทึบหมดนี้จะต่อเข้ากับ Data Logger และคอมพิวเตอร์ตามลำดับเพื่อบันทึกค่าอุณหภูมิแบบต่อเนื่องขณะที่ทำการวัด สำหรับการวัดไอเสียจากการเผาใหม่จะวัด ณ ตำแหน่งทางออกของห้องเผาใหม่ด้วยเครื่องวิเคราะห์ไอเสีย (Exhaust Gas Analyzer) และแสดงทางคอมพิวเตอร์เช่นกัน ความดันสถิต (Static Pressure) ในหัวเผามีการวัดสองตำแหน่งคือ ที่ตำแหน่งป้อนอากาศในห้องผสม (Combustor Block) ก่อนเข้าวัสดุพูน PB และทางด้านหลังวัสดุพูน PE ด้วยมานอมิเตอร์ (U-Tube Manometer) ดังรูปหัวเผาที่ ๑.๑

## 4.2 อุปกรณ์การทดลองสำหรับการเผาใหม่แบบหัวเผาวัสดุพูน (PM Flame)

ระบบการติดตั้งอุปกรณ์การทดลองของหัวเผาเชื้อเพลิงเหลวและเชื้อเพลิงแก๊สแบบหัวเผาวัสดุพูนในงานวิจัยนี้สามารถแสดงได้ดังรูปที่ 2 ที่แสดงอุปกรณ์การทดลองเผาใหม่เชื้อเพลิงเหลวและเชื้อเพลิงแก๊สภายในหัวเผาวัสดุพูน หัวเผาทำจากท่อสแตนเลส ประกอบด้วยสามส่วนหลัก ๆ คือ เช่นเดียวกับการเผาใหม่แบบเปลวไฟอิสระทุกประการแตกต่างเพียงในส่วนที่สอง คือในส่วนของห้องเผาใหม้อิสระ จะเพิ่มวัสดุพูนตัวแพร่งสี Porous Emitter (PE) ที่ทำหน้าที่เป็นทึบห้องห้องเผาใหม่และ

ดูดซับเอนทอลปีจากแก๊สร้อน หมุนเวียนกลับมาส่งเสริมการระเหยและการเผาไหม้ ภายในห้องเผาไหม้ในส่วน PE นี้มีขนาดเท่ากับ 75 mm ภายในท่อ PE จะบรรจุด้วยเม็ดหินกลมขนาดเส้นผ่านศูนย์กลางประมาณ 10 mm ทำหน้าที่เป็นชั้นวัสดุพูนด้วยแพร์เร็ฟ (Packed-Bed) มีความยาว 160 mm รองรับด้วยแผ่นกัน (Perforated plate) ดังรูปหัวเผาที่ ก.1



รูปที่ 4.2 ภาพแสดงอุปกรณ์การทดลองแบบหัวเผาวัสดุพูน

### 4.3 เครื่องมือและอุปกรณ์เพิ่มเติมที่ใช้ในการทดลอง

#### 1. ระบบป้อนน้ำมันเชื้อเพลิง

ระบบป้อนน้ำมันเชื้อเพลิงจะใช้ถักยนต์การซึมผ่านแทนการสเปรย์โดยจะใช้สายยางและเข็มฉีด ยาทางการแพทย์เป็นตัวฉีดเชื้อเพลิงเหลวให้ซึมผ่านในชั้นตาข่ายวัสดุพูน ดังรูปที่ ก.1

#### 2. อุปกรณ์วัดอัตราการไหลของน้ำมันเชื้อเพลิง Kerosene

อุปกรณ์วัดอัตราการไหลของน้ำมันเชื้อเพลิงที่ป้อนเข้ายังหัวเผา แผนการทดลองจะใช้เครื่องวัดอัตราการไหลยี่ห้อ ABB ซึ่งเป็นเครื่องมือวัดอัตราการไหลที่แม่นยำ ดังรูปที่ ก.6

#### 3. อุปกรณ์วัดอัตราการไหลของอากาศ และแก๊ส (LPG)

อุปกรณ์วัดอัตราการไหลของอากาศ และแก๊ส (LPG) ที่เข้าไปยังห้องเผาใหม่ ในการทดลองจะใช้ Rotameter ยี่ห้อ Bailey–Fischer & Porter GmbH ซึ่งเป็นอุปกรณ์วัดอัตราการไหลที่สามารถรักษาความดันคงคล่องให้มีค่าคงที่ตลอดยานการวัด แต่จะเปลี่ยนขนาดพื้นที่ให้ของไหลในการไหลผ่านไปตามปริมาณของการไหลและยังสามารถให้ความถูกต้องที่ดีแม้อัตราการไหลมีค่าต่างๆ ดังรูปที่ ก.7

#### 4. อุปกรณ์วัดอุณหภูมิ (Thermocouple)

อุปกรณ์วัดอุณหภูมิเทอร์โมคัปเปิล (Thermocouple) ซึ่งแสดงด้วยสัญลักษณ์  $T_1$  ถึง  $T_{16}$ เทอร์โมคัปเปิลที่ใช้มี 2 ชนิดคือเทอร์โมคัปเปิล Type N ขนาดเส้นผ่าศูนย์กลาง 0.1 mm ประกอบด้วยสายบวกและสายลบ โดยสายบวกทำจากโลหะผสมระหว่างนิกเกิล 10% และโลหะเมียม 90% ส่วนสายลบทำจากโลหะผสมระหว่างนิกเกิล 95%+ 5% ของส่วนผสมระหว่างอลูминีียม แมงกานีส และซิลิโคน สามารถใช้งานในสภาพว่างที่เป็น Oxidizing หรือ Inert ได้ดี ทนอุณหภูมิสูงสุดประมาณ  $1260^{\circ}\text{C}$  ( $2300^{\circ}\text{F}$ ) และเทอร์โมคัปเปิล Type B มีขนาดเส้นผ่าศูนย์กลาง 0.5 mm สายบวกทำจากโลหะผสมระหว่างพลาสตินัม 70% และ โลหะเมียม 30% สายลบทำจากโลหะผสมพลาสตินัม 94% และ โลหะเมียม 6%. สามารถใช้งานได้ในช่วงอุณหภูมิ  $300^{\circ}\text{C}$  ถึงประมาณ  $1700^{\circ}\text{C}$  จึงเหมาะสมอย่างยิ่งสำหรับการวัดอุณหภูมิในบริเวณการเผาใหม่ ดังรูปที่ ก.8 ซึ่งในการเผาใหม่แบบเปลาไฟอิสระ ได้มีการ scan temperature contour ในห้องเผาใหม่โดยเลื่อน thermocouple ทีละ 5 mm ตามแนววาร์คเมืองหัวเผา เพื่อจะได้สามารถอธิบายกลไกการเผาใหม่ภายในหัวเผาได้ดีที่สุด

### 5. อุปกรณ์เก็บบันทึกค่าอุณหภูมิ (Temperature Recorder)

อุปกรณ์เก็บบันทึกค่าอุณหภูมิ (Temperature Recorder) ใช้ Data Logger รุ่น DT600 ในการเก็บบันทึกค่าอุณหภูมิ ณ เวลาใดๆ ซึ่งจะต่อ กับคอมพิวเตอร์ ดังรูปที่ ก.9

### 6. เครื่องวิเคราะห์แก๊สไอเสีย (Exhaust Gas Analyzer)

เครื่องวิเคราะห์แก๊สไอเสีย (Exhaust Gas Analyzer) ใช้ในการวิเคราะห์แก๊สไอเสียที่ปล่อยออกมารากการเผาไหม้โดยเครื่องเป็นของบริษัท MESSTECHNIK EHEIM รุ่น Visit-01L ใน การวัดค่า CO, CO<sub>2</sub>, O<sub>2</sub>, และ NO<sub>x</sub> ลักษณะการวิเคราะห์ไอเสียเป็นแบบแห้ง (Dry-basis) โดยวัดที่ตำแหน่งทางด้านข้าออก (Downstream) ของหัวเผาดังรูปที่ ก.10

### 7. อุปกรณ์ควบคุมความดัน (Pressure Regulator)

อุปกรณ์ควบคุมความดัน (Pressure Regulator) ยี่ห้อ Hoerbiger รุ่น SK-1/4 ใช้เพื่อควบคุม ความดันของอากาศที่มาจากการคอมเพรสเซอร์ให้คงที่ตลอดการทดลอง และดึงไอน้ำออกจากอากาศ ก่อนที่ป้อนเข้าสู่เตาเพื่อทำการเผาไหม้ ดังรูปที่ ก.11

### 8. อุปกรณ์วัดความดัน (U-Tube Manometer)

อุปกรณ์วัดความดัน (U-Tube Manometer) ใช้วัดความแตกต่างความดัน ( $\Delta P$ ) ภายในหัวเผาเทียบ กับบรรยายกาศภายนอกซึ่งแสดงในรูปความสูงของระดับน้ำ ดังรูปที่ ก.12

### 9. อุปกรณ์จ่ายอากาศ (Air-Compressor)

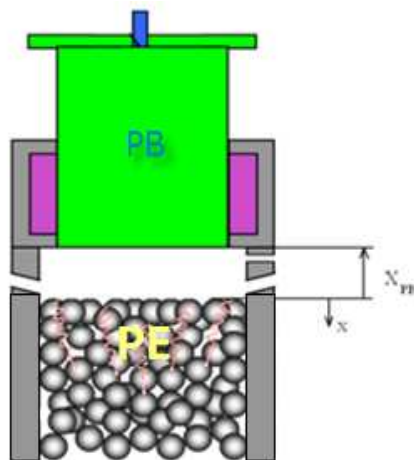
อุปกรณ์จ่ายอากาศใช้แอร์คอมเพรสเซอร์ (Air-Compressor) ในการทำงาน 2 ตัวเพื่อช่วยจ่ายอากาศให้มีปริมาณเพียงพอต่อการทำงานของระบบ ดังรูปที่ ก.13

### 10. ระบบระบายน้ำไอเสีย

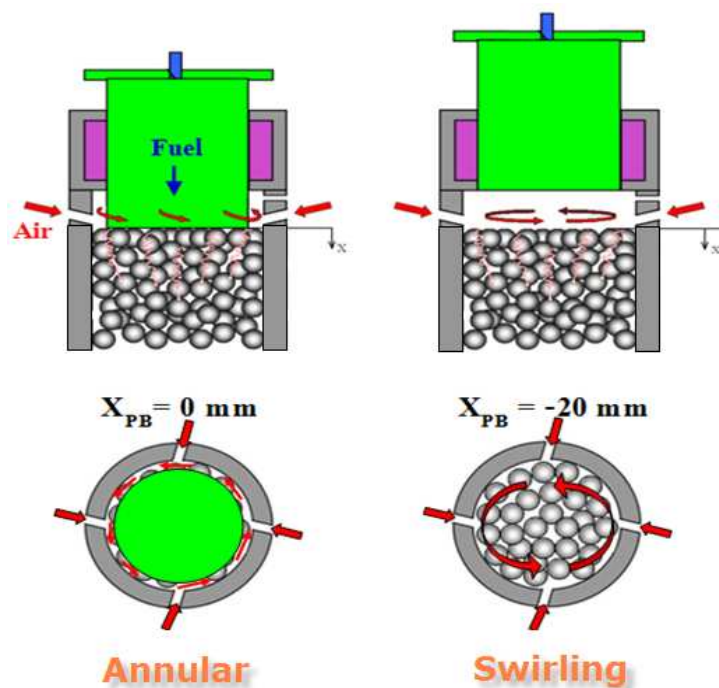
ระบบระบายน้ำไอเสียประกอบด้วยถังพักไอกลีบต่ออยู่กับท่อสแตนเลส ดังรูปที่ ก.14 ทำหน้าที่ ระบายน้ำไอเสียออกไปทิ้งนอกอาคาร โดยท่อสแตนเลสจะต่ออยู่กับท่อฟรอยอ่อน ดังรูปที่ ก.15 และระบบจะทำงานด้วยพัดลมอุตสาหกรรม ดังรูปที่ ก.16

#### 4.4 ความหมายของอิทธิพลที่ใช้ศึกษา

- ระยะช่องว่างระหว่างวัสดุพูน ( $X_{PB}$ ) กือ ระยะห่างระหว่างวัสดุพูนทั้งสองตัว ได้แก่ Porous Burner, PB (ตาข่ายสแตนเลส) และ Porous Emitter, PE (ชั้นเม็ดหิน) โดยวัดจากระยะห่างอิ่มที่เม็ดหินชั้นบนสุดหรือไดร์จ่ายอากาศชั้นแรกไปถึงตาข่ายสแตนเลสชั้นล่างสุด ดังรูป 14 ค่า  $X_{PB}$  จะมีค่าติดลบเสมอเนื่องจากทำการตั้งแกนสวนทางกับระยะ  $X$  ซึ่งหมายถึงระยะตามแนวแกน เดียว ค่า  $X_{PB}$  จะมีค่าตั้งแต่ -20 ถึง 0 mm โดยที่  $X_{PB}$  เท่ากับ -20 mm เป็นการจ่ายอากาศแบบหมุนวน (Swirling Flow) และเมื่อค่า  $X_{PB}$  ใกล้ค่า 0 mm จะเป็นการจ่ายอากาศแบบวงแหวน (Annular Flow) ดังรูป 15



รูปที่ 4.3 แสดงระยะ  $X_{PB}$



รูปที่ 4.4 ภาพเปรียบเทียบการไหลของอากาศทั้งสองแบบภายใน Combustor Block

- ค่าอัตราส่วนสมมูล (Equivalence ratio) คือ ปริมาณไร์หน่วยที่นิยมใช้ในการเผาไหม้ซึ่งเป็นตัวของให้ทราบว่าส่วนผสมระหว่างเชื้อเพลิงกับออกซิไดเซอร์(อากาศ) ห่างไกลจากค่าทฤษฎีแค่ไหน ตาม

สมการ

$$\Phi = \frac{\left(m_f / m_a\right)_{actual}}{\left(m_f / m_a\right)_{stoi}}$$

- อัตราการป้อนเชื้อเพลิง (FR) คือ ผลคูณระหว่างอัตราการไหลดเชิงมวลของเชื้อเพลิงกับค่าความร้อนของเชื้อเพลิงที่ใช้ในการทดลอง ตามสมการ

$$CL = \dot{m}_f \times LHV \quad (\text{kW})$$

#### 4.5 แผนการทดลอง

ทำการทดลองโดยใช้ตาข่ายสแตนเลส (Porous Burner) เป็นชั้นวัสดุพูนค้างบนภายในเตาขนาด 40 mesh/inch จำนวน 30 ชั้น และ 100 mesh/inch จำนวน 180 ชั้น ในส่วนชั้นวัสดุพูนตัวล่างใช้เป็นการจัดเรียงเม็ดหินขนาดเส้นผ่าศูนย์กลาง 10 mm. (Poros Emitter) มีรูปแบบการศึกษาดังนี้

ศึกษาอิทธิพลของพารามิเตอร์ต่างๆ ที่ส่งผลต่อการเผาไหม้ โดยใช้เชื้อเพลิงเหลว Kerosene, แก๊ส LPG และเชื้อเพลิงผสม (เก็บผลการทดลองตามลำดับ)

- ระยะช่องว่างระหว่างวัสดุพูน (X<sub>PB</sub>)
- ค่าอัตราส่วนสมมูล (Equivalence ratio)
- อัตราการป้อนเชื้อเพลิง (FR)

โดยผลการทดลองต้องการกราฟ Temperature Profile จากอิทธิพลของ

1. X<sub>PB</sub> โดยให้อัตราส่วนสมมูลและ FRคงที่
2. อัตราส่วนสมมูล โดยให้ FR คงที่ ที่ X<sub>PB</sub> เป็น 0
3. FR โดยให้อัตราส่วนสมมูลคงที่ ที่ X<sub>PB</sub> เป็น 0

และผลการทดลองที่ต้องการกราฟการปลดปล่อยมลพิษของ CO และ NO<sub>x</sub> จากอิทธิพลของ

1. X<sub>PB</sub> โดยให้อัตราส่วนสมมูลและ FRคงที่

2. อัตราส่วนสมมูล โดยให้ FR คงที่ ที่  $X_{PB}$  เป็น 0
3. FR โดยให้อัตราส่วนสมมูลคงที่ ที่  $X_{PB}$  เป็น 0

#### 4.6 ขั้นตอนการทดลอง

##### กรณีทดลองเชื้อเพลิงเหลว Kerosene

1. ปรับตำแหน่งการติดตั้งวัสดุพรุน PB ( $X_{PB}$ ) ให้อยู่ที่ตำแหน่ง  $X_{PB}$  เท่ากับ -20 mm (โดยวัดจากตำแหน่งขอบบนที่จะทำการติดตั้งวัสดุพรุน PE)
2. ใช้เปลวไฟล่อ (Pilot Flame) จุดทางช่อง Ignition Port (ใช้จุดเปลวไฟล่อ ก่อนการเปิดวาล์วแก๊ส LPG เสมอ)
3. เปิดวาล์วแก๊ส LPG ป้อนเข้าทาง Axial สังเกตการติดไฟจากอุณหภูมิใน Combustor Block ที่เพิ่มขึ้น จากนั้นนำเปลวไฟล่อออก ปิดช่อง Ignition Port ในขณะเดียวกันปรับปริมาณอากาศให้ปริมาณ  $O_2$  จากเครื่องวิเคราะห์ ไอเสียมีค่าอยู่ระหว่าง 10% ถึง 11% ใช้เวลาในการอุ่นเตาประมาณ 2-3 ชั่วโมงเพื่อให้แน่ใจว่า PB สามารถดูดซับความร้อนจากการแผ่รังสีจากเปลวไฟจนกระทั่งอุณหภูมิผิวน้ำ PB ( $T_s$ ) มีค่าสูงประมาณ 600 °C และหัวเผาได้เพาความชื้นภายในหิน, เศษหิน, เศษปูนอกรหด จึงทำการป้อนเชื้อเพลิงเหลว
4. ขั้นตอนการป้อนเชื้อเพลิงเหลว Kerosene โดยปรับเพิ่มปริมาณอากาศล่วงหน้า จากนั้นค่อยๆ เปิดวาล์วน้ำมันพร้อมกับค่อยๆ หรือวาล์วแก๊ส LPG จนปิดสนิท (การเพิ่มปริมาณน้ำมันและลดปริมาณแก๊ส LPG จะต้องทำในสัดส่วนที่เท่ากัน เพื่อรักษาอัตราความร้อนป้อนสู่เตาให้คงที่) จากนั้นจึงปรับเงื่อนไขการทดลองโดยทำการทดลองที่  $X_{PB} = -20$  mm เป็นจุดแรก เมื่อระบบเข้าสู่ Steady State โดยสังเกตจากอุณหภูมิที่แสดงทางหน้าจอคอมพิวเตอร์ และปริมาณแก๊ส ไอเสียจากเครื่องวิเคราะห์ ไอเสีย แล้วจึงทำการเก็บค่าอุณหภูมิที่ตำแหน่งต่างๆ ในเตาเผา ด้วยกันทั้งหมด 16 จุดผ่านคอมพิวเตอร์จาก Data Logger , ความดันจาก U-Tube Manometer , และการปลดปล่อย CO, CO<sub>2</sub>, O<sub>2</sub>, และ NO<sub>x</sub> จากเครื่องวิเคราะห์ ไอเสีย
5. หลังจากนั้นทำการลดระยะ  $X_{PB}$  ครั้งละ -3 mm แล้วทำการเก็บค่าเมื่อระบบ Steady จนถึง  $X_{PB} = 0$  mm และจึงทำการปรับเงื่อนไขการทดลองมาที่ต้องการ (FR และ Φ) โดยควบคุมจากอัตราการไอลน้ำมันและปริมาณ O<sub>2</sub> ส่วนเกินใน ไอเสียจากเครื่องวิเคราะห์ เสีย

6. ปรับจนกระทั้งได้เงื่อนไขที่ต้องการ (FRและ  $\Phi$ ) ที่จะศึกษา เมื่อระบบเข้าสู่ Steady State ก็ทำการเก็บค่าเช่นเดียวกัน

#### กรณีทดสอบเชื้อเพลิงแก๊ส LPG

1. ปรับตำแหน่งการติดตั้งวัสดุพรุน PB ( $X_{PB}$ ) ให้อยู่ที่ตำแหน่ง  $X_{PB}$  เท่ากับ -20 mm (โดยวัดจากตำแหน่งขอบบนที่จะทำการติดตั้งวัสดุพรุน PE)
2. ใช้เปลวไฟล่อ (Pilot Flame) จ่อทางช่อง Ignition Port (ให้จุดเปลวไฟล่อ ก่อนการเปิด瓦ล์วแก๊ส LPG เสมอ)
3. เปิดวาล์วแก๊ส LPG ป้อนเข้าทาง Axial สังเกตการติดไฟจากอุณหภูมิใน Combustor Block ที่เพิ่มขึ้น จากนั้นนำเปลวไฟล่อออก ปิดช่อง Ignition Port ในขณะเดียวกันปรับปริมาณอากาศให้ปริมาณ  $O_2$  จากเครื่องวิเคราะห์ ไอเสียมีค่าอยู่ระหว่าง 10% ถึง 11% ใช้เวลาในการอุ่นเตาประมาณ 2-3 ชั่วโมงเพื่อให้หัวเผาได้มาความชื้นภายในพิน, เศยหิน, เศยปูนอุกหนด
4. ปรับเงื่อนไขการทดลองโดยทำการทดลองที่  $X_{PB} = -20$  mm เป็นจุดแรก เมื่อระบบเข้าสู่ Steady State โดยสังเกตจากอุณหภูมิที่แสดงทางหน้าจอคอมพิวเตอร์ และปริมาณแก๊ส ไอเสียจากเครื่องวิเคราะห์ ไอเสีย แล้วจึงทำการเก็บค่าอุณหภูมิที่ตำแหน่งต่างๆ ในเตาเผา ด้วยกันทั้งหมด 16 จุดผ่านคอมพิวเตอร์จาก Data Logger , ความดันจาก U-Tube Manometer , และการปลดปล่อย CO, CO<sub>2</sub>, O<sub>2</sub>, และ NO<sub>x</sub> จากเครื่องวิเคราะห์ ไอเสีย
5. หลังจากนั้นทำการลดระยะ  $X_{PB}$  ครั้งละ -2 mm แล้วทำการเก็บค่าเมื่อระบบ Steady จนถึง  $X_{PB} = 0$  mm และวิธีทำการปรับเงื่อนไขการทดลองมาที่ต้องการ (FRและ  $\Phi$ ) โดยควบคุมจากอัตราการไอลแก๊สและปริมาณ O<sub>2</sub> ส่วนเกินในไอเสียจากเครื่องวิเคราะห์ เสีย
6. ปรับจนกระทั้งได้เงื่อนไขที่ต้องการ (FRและ  $\Phi$ ) ที่จะศึกษา เมื่อระบบเข้าสู่ Steady State ก็ทำการเก็บค่าเช่นเดียวกัน

### กรณีทดลองเชื้อเพลิงผสม LPG และ Kerosene

1. ปรับตำแหน่งการติดตั้งวัสดุพรุน PB ( $X_{PB}$ ) ให้อยู่ที่ตำแหน่ง  $X_{PB}$  เท่ากับ -20 mm (โดยวัดจากตำแหน่งขอบบนที่จะทำการติดตั้งวัสดุพรุน PE)
2. ใช้เปลวไฟล่อ (Pilot Flame) จุดทางช่อง Ignition Port (ให้ชุดเปลวไฟล่อ ก่อนการเปิดวาล์วแก๊ส LPG เสมอ)
3. เปิดวาล์วแก๊ส LPG ป้อนเข้าทาง Axial สังเกตการติดไฟจากอุณหภูมิใน Combustor Block ที่เพิ่มขึ้น จากนั้นนำเปลวไฟล่อออก ปิดช่อง Ignition Port ในขณะเดียวกันปรับปริมาณอากาศให้ปริมาณ  $O_2$  จากเครื่องวิเคราะห์ ไอเสียมีค่าอยู่ระหว่าง 10% ถึง 11% ใช้เวลาในการอุ่นเตาประมาณ 2-3 ชั่วโมงเพื่อให้แน่ใจว่าตัวแพร่งรังสีวัสดุพรุน (PB) สามารถดูดซับความร้อนจากการแร่รังสีจากเปลวไฟจนกระทั่งอุณหภูมิพิเศษ PB ( $T_s$ ) มีค่าสูงประมาณ  $600^{\circ}\text{C}$  และหัวเผาได้เผาความชื้นภายในหิน, เศษหิน, เศษปูนออกหมด จึงทำการป้อนเชื้อเพลิงเหลว
4. ขั้นตอนการป้อนเชื้อเพลิงเหลว Kerosene โดยปรับเพิ่มปริมาณอากาศล่วงหน้า จากนั้นค่อยๆ เปิดวาล์วน้ำมันพร้อมกับค่อยๆ หรือวาล์วแก๊ส LPG (การเพิ่มปริมาณน้ำมันและลดปริมาณแก๊ส LPG จะต้องทำในสัดส่วนที่เท่ากัน เพื่อรักษาอัตราความร้อนป้อนสู่เตาให้คงที่) หยุดค่าอัตราการป้อนเชื้อเพลิงเหลวและแก๊สไว้ที่ค่าหนึ่ง จากนั้นจึงปรับเงื่อนไขการทดลองโดยทำการทดลองที่  $X_{PB} = -20 \text{ mm}$  เป็นจุดแรก เมื่อระบบเข้าสู่ Steady State โดยสังเกตจากอุณหภูมิที่แสดงทางหน้าจอคอมพิวเตอร์ และปริมาณแก๊ส ไอเสียจากเครื่องวิเคราะห์ ไอเสีย แล้วจึงทำการเก็บค่าอุณหภูมิที่ตำแหน่งต่างๆ ในเตาเผา ด้วยกันทั้งหมด 16 จุดผ่านคอมพิวเตอร์จาก Data Logger, ความดันจาก U-Tube Manometer, และการปลดปล่อย  $\text{CO}$ ,  $\text{CO}_2$ ,  $\text{O}_2$ , และ  $\text{NO}_x$  จากเครื่องวิเคราะห์ ไอเสีย
5. หลังจากนั้นทำการลดระยะ  $X_{PB}$  ครึ่งละ -2 mm แล้วทำการเก็บค่าเมื่อระบบ Steady จนถึง  $X_{PB} = 0 \text{ mm}$  แล้วจึงทำการปรับเงื่อนไขการทดลองมาที่ต้องการ (FR และ  $\Phi$ ) โดยควบคุมจากอัตราการให้ลงน้ำมันและปริมาณ  $O_2$  ส่วนเกินใน ไอเสียจากเครื่องวิเคราะห์ ไอเสีย
6. ปรับจนกระทั่งได้เงื่อนไขที่ต้องการ (FR และ  $\Phi$ ) ที่จะศึกษา เมื่อระบบเข้าสู่ Steady State ที่ทำการเก็บค่า เช่นเดียวกัน

## 4.7 เงื่อนไขการทดลอง

### 4.7.1 กรณี เปลวไฟอิสระ

เชื้อเพลิงแก๊ส LPG

Quantity	Values
Average sphere diameter of PE, $d_p$	10 mm
Equivalence Ratio, $\phi$	0.47
Heat input rate, FR	5 kW
Length of PE	160 mm
Lower Heating Value of LPG, LHV	45,988 kJ/kg
Location of PB surface, $X_{PB}$	-20,-18,-16,-14,-12,-10,-8, -6,-4,-2 ,0,3 และ 6 mm
Location of PE surface, $X_{PE}$	0 mm

เชื้อเพลิงเหลว Kerosene

Quantity	Values
Average sphere diameter of PE, $d_p$	10 mm
Equivalence Ratio, $\phi$	0.47
Heat input rate, FR	5 kW
Length of PE	160 mm
Lower Heating Value of Kerosene, LHV	44,532 kJ/kg
Location of PB surface, $X_{PB}$	-20,-16,-14,-12,-10,-6, -4,0, 3 และ 6 mm
Location of PE surface, $X_{PE}$	0 mm

### ເຂົ້າເພີ້ງຜສມ Kerosene ແລະ LPG

Quantity	Values
Average sphere diameter of PE, $d_p$	10 mm
Equivalence Ratio, $\phi$	0.40-0.59
Heat input rate, FR	Kerosene 2.6 , LPG 2.6 kW
Length of PE	160 mm
Lower Heating Value of Kerosene and LPG, LHV	44,532 ແລະ 45,988 kJ/kg
Location of PB surface, $X_{PB}$	-16,-14,-12,-10,-8, -6,-4,-2 ແລະ 0 mm
Location of PE surface, $X_{PE}$	0 mm

### 4.7.2 ກຮຄື້ວໜ້າວັດຖຸພຽນ

#### ເຂົ້າເພີ້ງແກ້ສ LPG

Quantity	Values
Average sphere diameter of PE, $d_p$	10 mm
Equivalence Ratio, $\phi$	0.39-0.79
Heat input rate, FR	5-9 kW
Length of PE	160 mm
Lower Heating Value of LPG, LHV	45,988 kJ/kg
Location of PB surface, $X_{PB}$	-20,-18,-16,-14,-12,-10,-8, -6,-4,-2 ແລະ 0 mm
Location of PE surface, $X_{PE}$	0 mm

ເຂົ້າພຶກສະຫຼຸງ Kerosene

Quantity	Values
Average sphere diameter of PE, $d_p$	10 mm
Equivalence Ratio, $\phi$	0.34-0.47
Heat input rate, FR	6-10.56 kW
Length of PE	160 mm
Lower Heating Value of Kerosene, LHV	44,532 kJ/kg
Location of PB surface, $X_{PB}$	-23,-20,-17,-15,-13,-11,-9, -7,-5,-3 ແລະ 0 mm
Location of PE surface, $X_{PE}$	0 mm

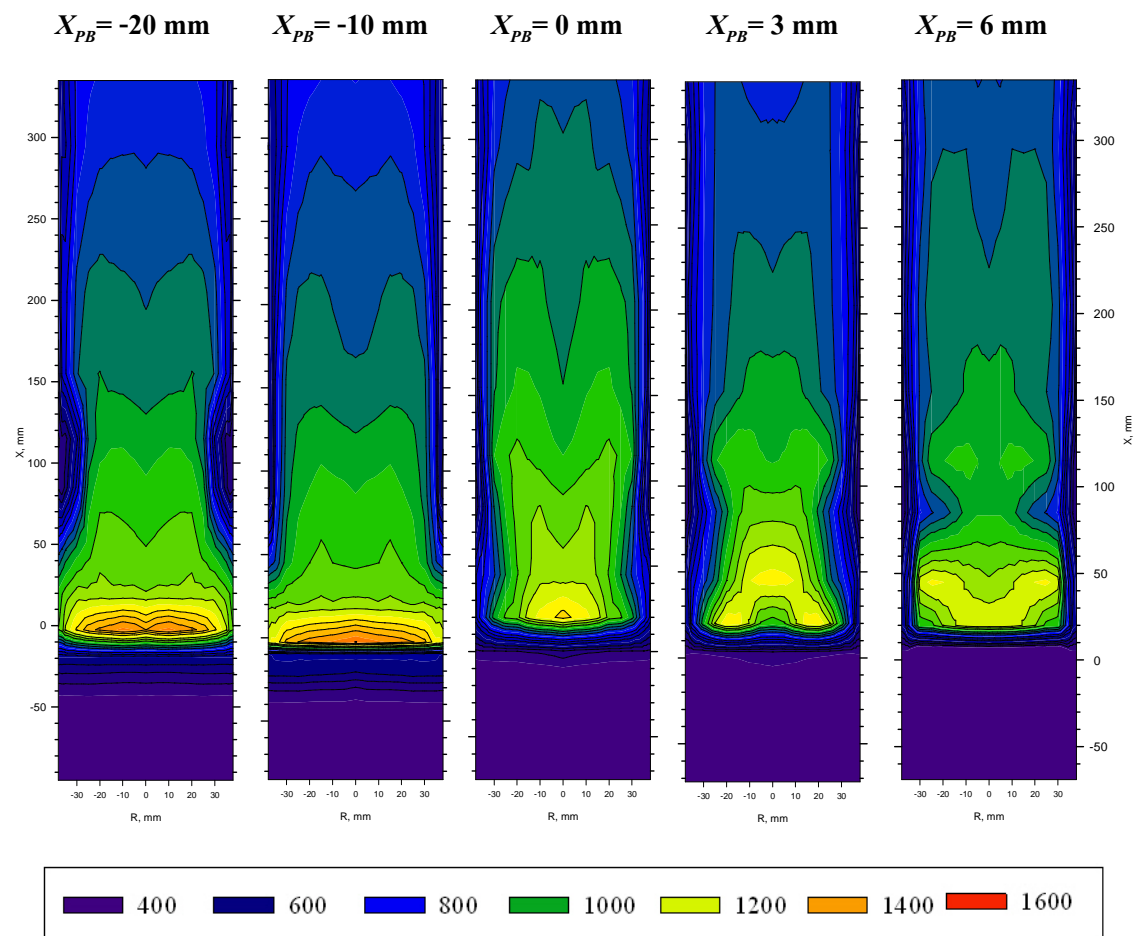
ເຂົ້າພຶກສະຫຼຸງ Kerosene ແລະ LPG

Quantity	Values
Average sphere diameter of PE, $d_p$	10 mm
Equivalence Ratio, $\phi$	0.40-0.59
Heat input rate, FR	Kerosene 2.6 , LPG 2.6 kW
Length of PE	160 mm
Lower Heating Value of Kerosene and LPG, LHV	44,532 ແລະ 45,988 kJ/kg
Location of PB surface, $X_{PB}$	-16,-14,-12,-10,-8, -6,-4,-2 ແລະ 0 mm
Location of PE surface, $X_{PE}$	0 mm

## บทที่ 5 ผลการทดลอง

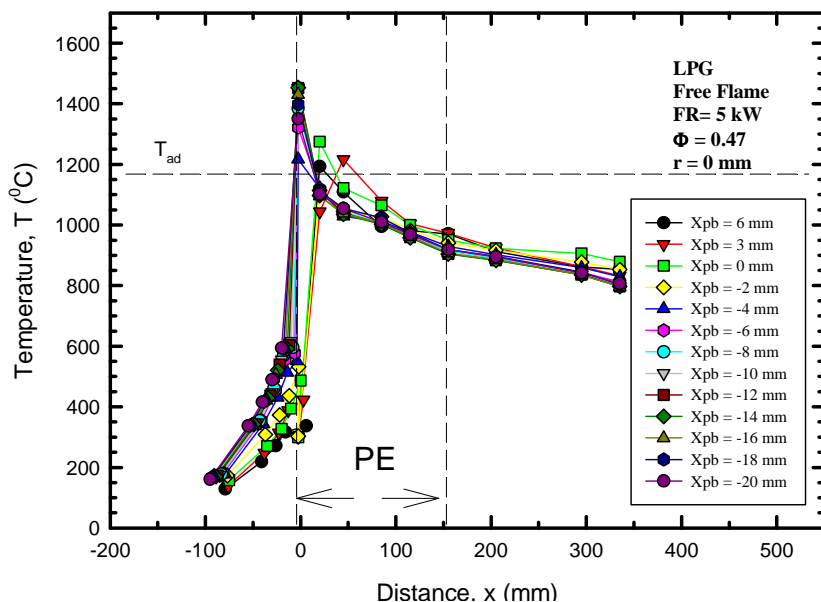
### 5.1 กรณีเปลวไฟอิสระ

#### 5.1.1 อิทธิพลของระยะ $X_{PB}$ ต่อเชื้อเพลิง LPG



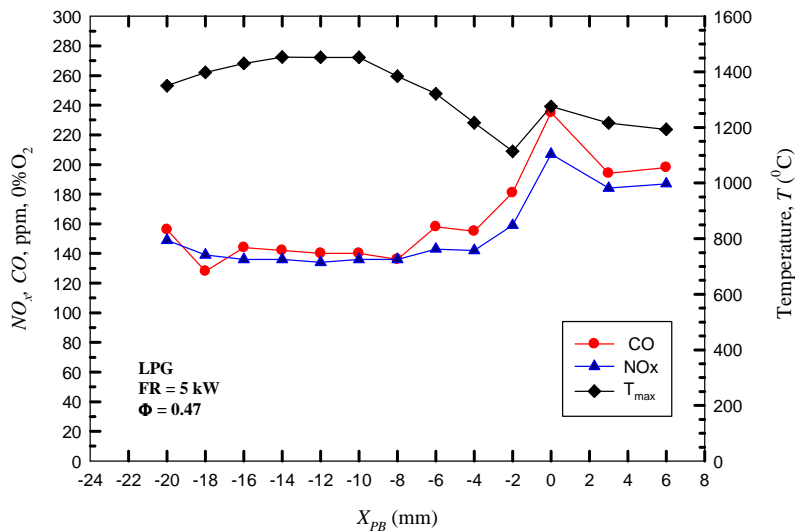
รูปที่ 5.1 แสดงอิทธิพลของระยะ  $X_{PB}$  ต่อ การกระจายอุณหภูมิ ที่  $5 \text{ kW}$  และ  $\Phi = 0.47$  ของเชื้อเพลิง LPG

รูปที่ 5.1 แสดงอิทธิพลของระยะ  $X_{PB}$  ต่อ การกระจายอุณหภูมิ ที่  $FR = 5 \text{ kW}$  และ  $\Phi = 0.47$  ของการเผาไหม้เชื้อเพลิง LPG แบบเปลาไฟอิสระ วิธีวัดการกระจายอุณหภูมิทำได้ด้วยการสแกนซึ่งใช้เทอร์โมคัพเปลือกที่ตำแหน่งในแนวแกนเลื่อนไปตามแนวรัศมี โดยเมื่อปรับระยะ  $X_{PB}$  ซึ่งเป็นผลให้ตำแหน่งการจ่ายอากาศเปลี่ยนไป กรณี  $X_{PB} = -10$  และ  $-20 \text{ มิลิเมตร}$  ตำแหน่งของอากาศที่ป้อนเข้าไปผสมกับเชื้อเพลิง จะเกิดการผสมโดยตรงส่งผลให้สามารถคลุกเคล้ากันเป็นอย่างดีก่อนเกิดการเผาไหม้ซึ่งให้ลักษณะเปลาไฟคล้ายกับแบบผสมมาก่อน โดยลักษณะของ reaction zone มีลักษณะเป็นแผ่นบางๆ และอุณหภูมิสูงสุดในการเผาไหม้ประมาณ 1400 องศาเซลเซียส จะอยู่ทางด้าน upstream ทั้งหมด [19] ขณะที่กรณี  $X_{PB} = 0, 3$  และ  $6 \text{ มิลิเมตร}$  ตำแหน่งของการป้อนอากาศเข้าไปเผาไหม้จะเปลี่ยนไปส่งผลให้อากาศที่ป้อนจะถูกป้อนมาชนกับหัวเผาวัสดุพูน (PB) ก่อนที่ผสมกับเชื้อเพลิง ซึ่งยืนยันได้จากการกระจายตัวของอุณหภูมิที่ได้จากการทดลอง ขณะที่เพิ่มระยะ  $X_{PB}$  ลักษณะเปลาไฟที่เกิดขึ้นจะแสดงพฤติกรรมของ เปลาไฟแบบแพร่ มากขึ้น โดยที่ระยะ  $X_{PB} = 3$  และ  $6 \text{ มิลิเมตร}$  ลักษณะโครงสร้างของเปลาไฟจะเกิด over ventilated และ under ventilated ตามลำดับ ซึ่งเป็นลักษณะเฉพาะที่สามารถเกิดได้ในเปลาไฟแบบแพร่ เท่านั้น[16] ขณะเดียวกัน reaction zone มีแนวโน้มยืดยาวไปด้านท้ายน้ำ มากขึ้น[19] อุณหภูมิสูงสุดในการเผาไหม้มีลดลงตามระยะ  $X_{PB}$  ที่เพิ่มมากขึ้น และยังสังเกตพบว่า สามารถยืนยันได้จากรูปถ่ายเปลาไฟ ดังรูปที่ ค.1 และ ค.2 จากผลการทดลองดังที่ได้กล่าวมา สามารถสรุปได้ว่าระยะ  $X_{PB}$  เป็นตัวแปรสำคัญที่สามารถควบคุมการเผาไหม้ให้เกิดเปลาไฟแบบผสมมาก่อน หรือ เปลาไปแบบแพร่ ได้



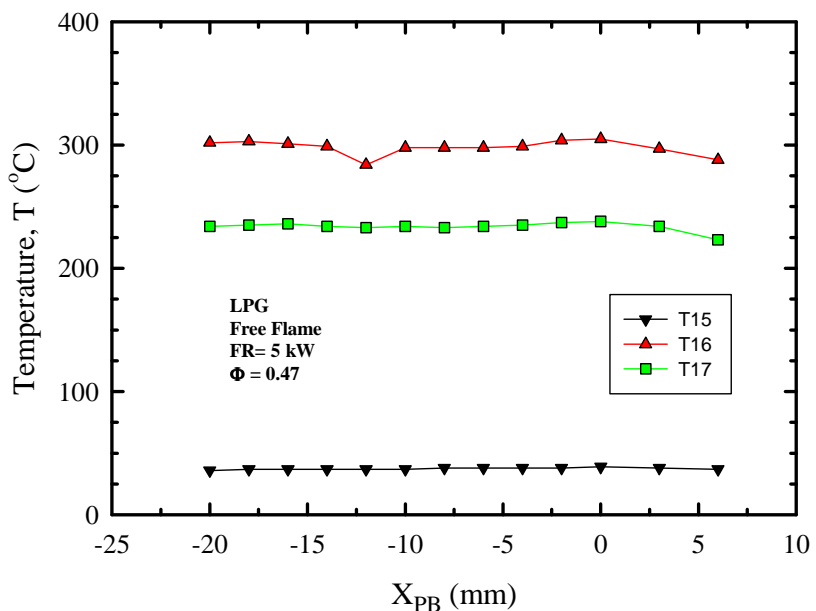
รูปที่ 5.2 แสดงอิทธิพลของระยะ  $X_{PB}$  ต่อโครงสร้างอุณหภูมิการเผาไหม้ ที่  $FR = 5 \text{ kW}$   
และ  $\Phi = 0.47$  ของเชื้อเพลิง LPG ที่ตำแหน่งรัศมี = 0 มิลิเมตร

จากรูปที่ 5.2 แสดงอิทธิพลของระยะ  $X_{PB}$  ต่อโครงสร้างอุณหภูมิการเผาไหม้ ที่  $FR = 5 \text{ kW}$  และ  $\Phi = 0.47$  ที่ตำแหน่งรัศมี  $r = 0$  มิลิเมตร พบว่า ช่วงสอดคล้องกับการกระจายอุณหภูมิคังรูปที่ 5.1 โดยการเพิ่มระยะ  $X_{PB}$  ตั้งแต่ -20 จนถึง 6 มิลิเมตร พบว่าตำแหน่งของเปลวไฟมีแนวโน้มเลื่อนไปเกิดทางด้านท้ายน้ำมากขึ้น สาเหตุเนื่องจากการเพิ่มระยะ  $X_{PB}$  ซึ่งเป็นการขยายตำแหน่งการจ่ายเชื้อเพลิง ในขณะที่ mixing time เท่าเดิม ก็อาจจะส่งผลให้เปลวไฟขยายไปด้านท้ายน้ำมากขึ้นได้ ขณะเดียวกันการขยายของเปลวไฟไปด้านท้ายน้ำก็ส่งผลให้อุณหภูมิการเผาไหม้มีลดลงตามการเพิ่มขึ้นของระยะ  $X_{PB}$  ได้เช่นกัน เนื่องจาก การเกิดสูญเสียความร้อนทางด้านท้ายน้ำ หรืออาจจะเกิดปรากฏการณ์เผาไหม้แบบเป็นขั้นร่วมด้วย ซึ่งจะบังคับให้เชื้อเพลิงอดอากาศมากขึ้นตามระยะ  $X_{PB}$  ที่เพิ่มมากขึ้น โดยคาดว่าจะเกิดการเผาไหม้แบบเป็นขั้นที่สมบูรณ์ที่ระยะ  $X_{PB} = 0,3$  และ 6 มิลิเมตร เนื่องจากเป็นตำแหน่งที่วัสดุพรุน PB จะลงมากกว่าจ่าอากาศ ดังนั้นอากาศที่ป้อนเข้าด้านข้างจะช่วยรอบๆ วัสดุพรุน PB ทำให้เกิดการไหหลักยณะวงแหวน (annular) จากนั้นไหหลอมกับเชื้อเพลิงที่ป้อนเข้ามาในแนวแกนเตาซึ่งอยู่ลึกไปทางด้านท้ายน้ำ โดยอากาศจะหุ้มรอบๆ เชื้อเพลิงตลอดความยาวของห้องเผาไหม้ เพื่อหลีกเลี่ยงการเข้าใกล้สภาวะสตอยคิโอะเมตรี ( $\Phi = 1$ ) ซึ่งเป็นการลดอุณหภูมิสูงสุดในการเผาไหม้โดยจะส่งผลต่อการปลดปล่อยมลพิษต่อไป โดยกรณี  $X_{PB} = -20 \text{ mm}$  จะให้อุณหภูมิในการเผาไหม้สูงสุดที่มีอุณหภูมิประมาณ 1500 องศาเซลเซียส เนื่องจากลักษณะของการเผาไหม้ที่เกิดขึ้นเป็นลักษณะของการเผาไหม้แบบผสมมาก่อน ถึงแม้ว่าการเผาไหม้ที่เกิดขึ้นทุกระยะ  $X_{PB}$  จะเป็นการเผาไหม้แบบเปลวไฟอิสระก็ตาม แต่การเผาไหม้ในทุกระบบจะให้อุณหภูมิสูงสุดสูงกว่า อุณหภูมิการเผาไหม้ทางทฤษฎี สาเหตุเนื่องมาการที่หัวเผานี้มีการอุ่นเชื้อเพลิงและอากาศก่อนเกิดการเผาไหม้



รูปที่ 5.3 แสดงอิทธิพลของระยะ  $X_{PB}$  ต่อการปลดปล่อยมลพิษและอุณหภูมิสูงสุดของการเผาไหม้ที่  $FR = 5 \text{ kW}$  และ  $\Phi = 0.47$  ของ กรณีเปลวไฟอิสระ

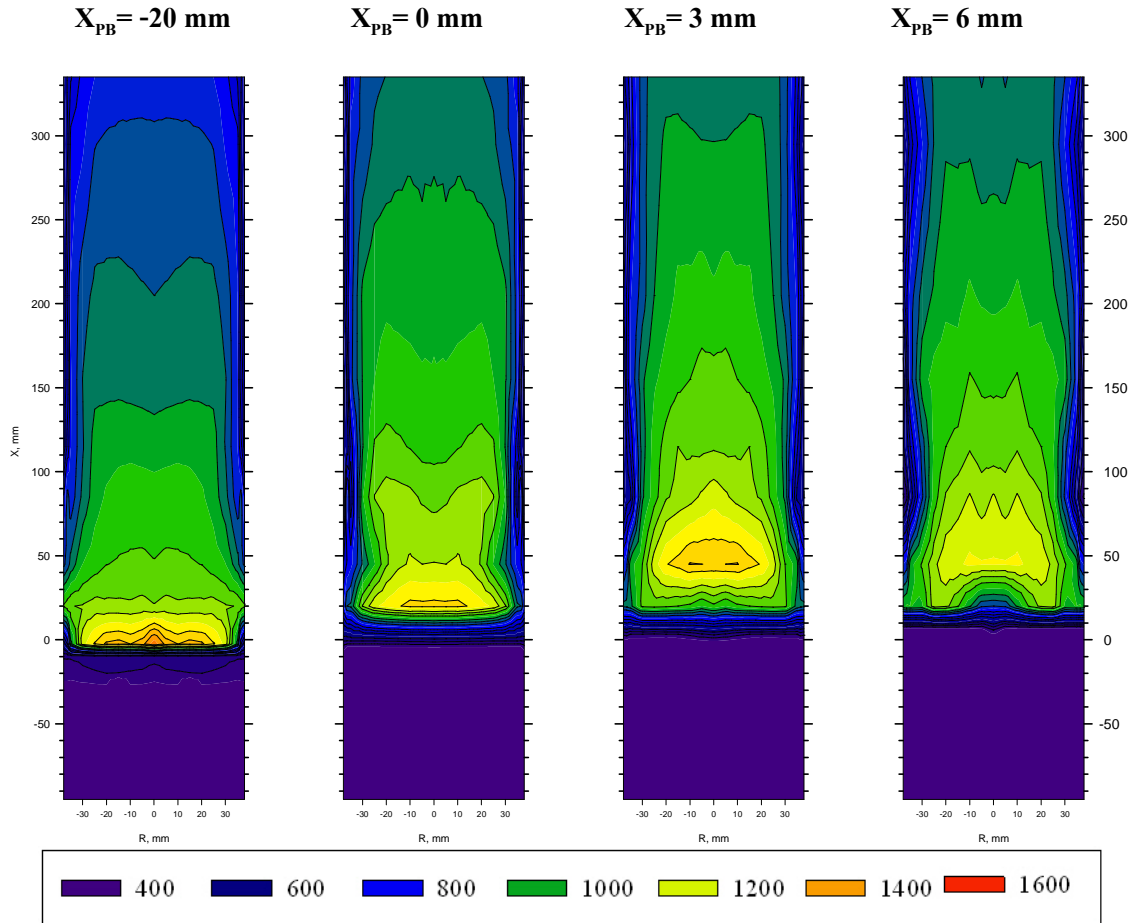
จากรูปที่ 5.3 แสดงอิทธิพลของระยะ  $X_{PB}$  ต่อการปลดปล่อยมลพิษ และอุณหภูมิสูงสุดของการเผาไหม้ซึ่งเป็นตัวแทนของตำแหน่งเปลวไฟ พบว่า เมื่อระยะ  $X_{PB}$  เพิ่มขึ้น ลักษณะการปลดปล่อยมลพิษ แบ่งออกเป็นสามลักษณะตามช่วงของ  $X_{PB}$  ในช่วง  $X_{PB} = -20$  ถึง -6 มิลิเมตร เนื่องจากการเผาไหม้ที่เกิดขึ้น มีลักษณะของการเผาไหม้ในลักษณะผสมมาก่อน ซึ่งการผสมคลุกเคล้าระหว่างเชื้อเพลิงกับอากาศดี ส่งผลการปลดปล่อยมลพิษต่ำทั้ง CO และ NO<sub>x</sub> ประมาณ 130-160 ppm เนื่องจากเกิดการเผาไหม้สมบูรณ์มีผลให้ CO และ prompt NO<sub>x</sub> ตามลำดับ ขณะที่ thermal NO<sub>x</sub> ที่ขึ้นกับอุณหภูมิสูงสุดในการเผาไหม้ไม่เปลี่ยนแปลงมากนัก หลังจากนั้นตั้งแต่  $X_{PB} = 4$  ถึง 0 มิลิเมตร เป็นช่วงการเปลี่ยนรูปแบบการเผาไหม้จากเปลวไฟแบบผสมมาก่อน ไปเป็นเปลวไฟแบบแพร่ หัววัสดุพูน (PB) บางส่วนลงมาวางรูอากาศ ส่งผลให้อากาศถูกแบ่งออกเป็น 2 ส่วน โดยส่วนหนึ่งถูกจ่ายแบบวงแหวน (annular) ส่วนที่เหลือจะถูกจ่ายแบบหมุนวน (swirl) อากาศส่วนนี้จะเข้าไปผสมกับเชื้อเพลิงบริเวณนี้เกิดการเผาไหม้ที่สภาวะไอเดียนา การปลดปล่อยมลพิษทั้ง CO และ NO<sub>x</sub> สูงขึ้นอย่างชัดเจน มีค่าประมาณ 200-240 ppm เนื่องจากการผสมระหว่างเชื้อเพลิงกับอากาศไม่ดี และ ส่งผลให้ prompt NO<sub>x</sub> ตามลำดับ และช่วงสุดท้ายคือตั้งแต่  $X_{PB} = 0$  ถึง 6 มิลิเมตร เป็นการเผาไหม้แบบแพร่ การปลดปล่อยมลพิษลดลงอีกรึ CO ประมาณ 200 ppm เนื่องจากการเผาไหม้ที่มีความหมุนวนตามแนวรัศมีเพิ่มสูงขึ้น [17] ทำให้ไอเดียนาในการเผาไหม้นานขึ้น ส่วนกรณีการปลดปล่อย NO<sub>x</sub> เหลือประมาณ 200 ppm สาเหตุที่ลดลงคาดว่าน่าจะเกิดจากการลดลงของอุณหภูมิสูงสุดในการเผาไหม้ซึ่งเกิดจากการสูญเสียความร้อนและอาจเกิดการเผาไหม้แบบเป็นขั้นร่วมด้วยส่งผลให้ thermal NO<sub>x</sub> ลดลง



รูป 5.4 แสดงอิทธิพลของระยะ  $X_{PB}$  ต่ออุณหภูมิการอุ่นอากาศ ที่  $FR = 5 \text{ kW}$  และ  $\Phi=0.47$

รูปที่ 5.4 แสดงอิทธิพลของระยะ  $X_{PB}$  ต่ออุณหภูมิการอุ่นอากาศ ที่  $FR = 5 \text{ kW}$  และ  $\Phi=0.47$  ของกรณีเปลวไฟอิสระ พบว่า อุณหภูมิก่อนเข้าระบบอุ่นอากาศ ( $T_{15}$ ) ประมาณ  $40^\circ\text{C}$  ซึ่งเป็นอุณหภูมิของสิ่งแวดล้อม เมื่อผ่านระบบอุ่นอากาศโดยได้รับความร้อนจากบริเวณรอบๆ พนังด้านนอกของห้องเพาใหม่ ทำให้ ( $T_{16}$ ) มีอุณหภูมิสูงถึง ประมาณ  $300^\circ\text{C}$  และจะป้อนเข้าห้องเพาใหม่ ( $T_{17}$ ) ด้วยอุณหภูมิประมาณ  $225-250^\circ\text{C}$  เนื่องจากระหว่างไฟล์ผ่านท่อ มีการสูญเสียความร้อนบางส่วนให้กับสิ่งแวดล้อม

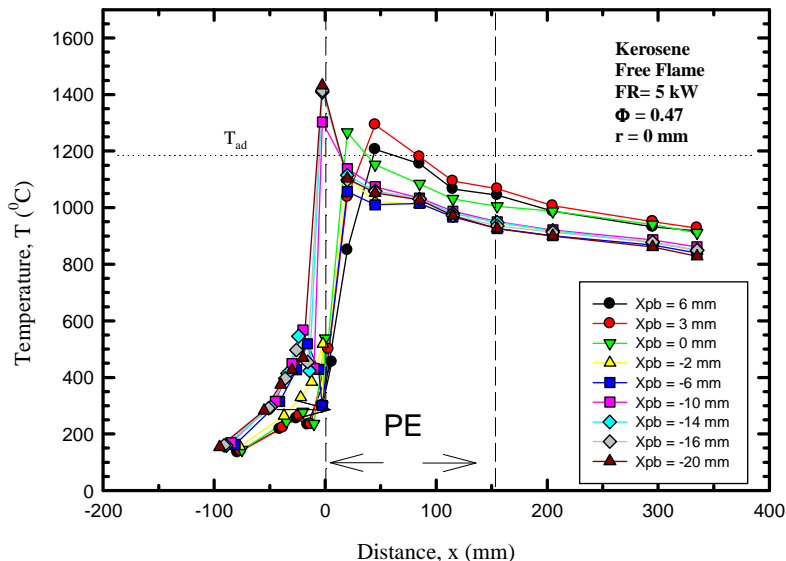
### 5.1.2 อิทธิพลของระยะ $X_{PB}$ เชื้อเพลิง Kerosene



รูปที่ 5.5 แสดงอิทธิพลของระยะ  $X_{PB}$  ต่อการกระจายอุณหภูมิที่  $FR=5 \text{ kW}$  และ  $\Phi=0.47$  ของเชื้อเพลิง kerosene กรณีเปลวไฟอิสระ

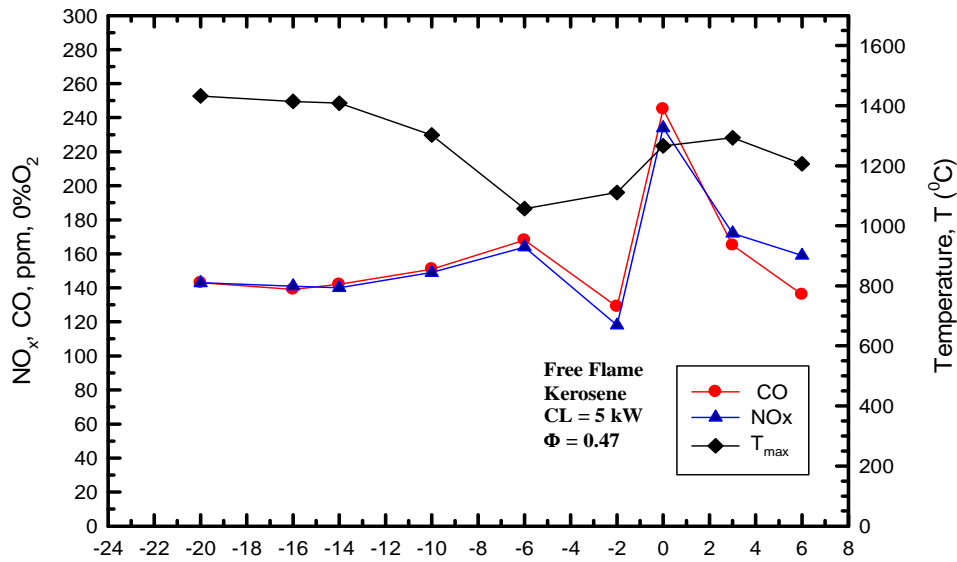
รูปที่ 5.5 แสดงอิทธิพลของระยะ  $X_{PB}$  ต่อการกระจายอุณหภูมิที่  $FR = 5 \text{ kW}$  และ  $\Phi = 0.47$  ของเชื้อเพลิง Kerosene พบว่าผลการทดลองมีแนวโน้มไปทิศทางเดียวกับกรณีการเผาไหม้ด้วยเชื้อเพลิง LPG คือ การปรับเปลี่ยนระยะ  $X_{PB}$  เป็นตัวแปรที่สำคัญที่สามารถควบคุมการเผาไหม้ให้เกิดในลักษณะผสมมาก่อน หรือชนิดแพร่ ได้เช่นเดียวกันคือ ในกรณี  $X_{PB} = -20 \text{ มิลิเมตร}$  ให้ลักษณะเปลวไฟคล้ายกับแบบผสมมาก่อน เนื่องจากบริเวณการเกิดปฏิกิริยามีลักษณะเป็นแผ่นบางๆ อุณหภูมิการเผาไหม้สูงสุด 1450 องศาเซลเซียส ขณะที่กรณี  $X_{PB} = 0, 3$  และ  $6 \text{ มิลิเมตร}$  เปลวไฟมีแนวขึ้นช้าๆ ออกจากไปด้านท้ายมากขึ้น แต่การเผาไหม้เชื้อเพลิง kerosene แตกต่างกับเชื้อเพลิง LPG ที่เชื้อเพลิง kerosene มีบริเวณการเกิดปฏิกิริยาที่กว้างกว่าที่เจื่อน ในการทดลองเดียวกัน และเกิดการเปลี่ยนแปลงรูปแบบการเผาไหม้จาก

แบบผสมมาก่อนเป็นแบบแพร่ซากกว่า สาเหตุเนื่องจากเชื้อเพลิง kerosene มีสัมประสิทธิ์การแพร่ของเชื้อเพลิงในอากาศน้อยกว่าประมาณ 2 เท่า[18]นั่นเอง



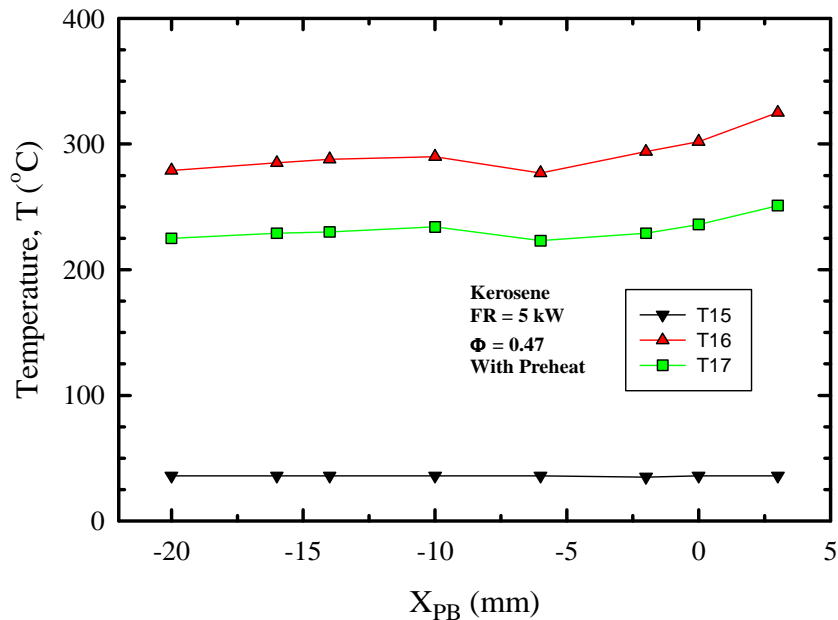
**รูป 5.6** แสดงอิทธิพลของระยะ  $X_{PB}$  ต่อ โครงสร้างอุณหภูมิในห้องเผาไหม้ที่  $FR = 5 \text{ kW}$  และ  $\Phi = 0.47$  กรณีเปลวไฟอิสระ ที่ตำแหน่งรัศมี = 0 มิลิเมตร

จากรูปที่ 5.6 แสดงอิทธิพลของระยะ  $X_{PB}$  ต่อ โครงสร้างอุณหภูมิในห้องเผาไหม้ที่  $FR = 5 \text{ kW}$  และ  $\Phi = 0.47$  กรณีเปลวไฟอิสระ ที่ตำแหน่งรัศมี = 0 มิลิเมตร พบว่า มีแนวโน้มใกล้เคียงกับเชื้อเพลิง LPG ดังรูปที่ 5.2 และสอดคล้องกับการกระจายอุณหภูมิดังรูปที่ 5.5 คือ การเพิ่มระยะ  $X_{PB}$  ตั้งแต่ -20 จนถึง 6 มิลิเมตร พบว่าเกิดการขยายของเปลวไฟไปด้านท้ายมากขึ้น อุณหภูมิการเผาไหม้สูงสุดเกิดในกรณี  $X_{PB} = -20 \text{ มิลิเมตร}$  บริเวณทางออกของเชื้อเพลิง โดยมีอุณหภูมิประมาณ 1450 องศาเซลเซียส ขณะเดียวกันการขยายของเปลวไฟไปด้านท้ายมากขึ้น เช่นเดียวกัน



รูปที่ 5.7 แสดงอิทธิพลของระยะ  $X_{PB}$  ต่อการปลดปล่อยมลพิษ ที่  $FR = 5 \text{ kW}$  และ  $\Phi = 0.47$   
กรณีเปลวไฟอิสระ

จากรูปที่ 5.7 แสดงอิทธิพลของระยะ  $X_{PB}$  ต่อการปลดปล่อยมลพิษ ที่  $FR = 5 \text{ kW}$  และ  $\Phi = 0.47$  ของกรณีการเผาไหม้ kerosene พบว่าผลการทดลองให้แนวโน้มใกล้เคียงกับเชื้อเพลิง LPG ดังรูปที่ 5.3 คือ สามารถแบ่งออกเป็น 3 ช่วง ได้เช่นกัน คือ ช่วงที่ 1 ตั้งแต่  $X_{PB} = -20$  ถึง  $-6$  มิลิเมตร เป็นลักษณะการเผาไหม้แบบสมมาตร ต่อมาการปลดปล่อยมลพิษต่ำที่สุด CO และ  $\text{NO}_x$  ประมาณ 140-150 ppm ขณะที่ช่วงที่ 2 คือตั้งแต่  $X_{PB} = -2$  ถึง  $0$  มิลิเมตร เป็นช่วงการเปลี่ยนรูปแบบการเผาไหม้จากสมมาตรไปเป็นแบบแพร่ การปลดปล่อยมลพิษทั้ง CO และ  $\text{NO}_x$  สูงขึ้นอย่างชัดเจน มีค่าประมาณ 240-250 ppm เนื่องจากการผสมระหว่างเชื้อเพลิงกับอากาศไม่ดี และ ส่วนใหญ่เป็น prompt  $\text{NO}_x$  ตามลำดับ และช่วงที่ 3 คือตั้งแต่  $X_{PB} = 0$  ถึง  $6$  มิลิเมตร เป็นการเผาไหม้แบบแพร่ การปลดปล่อยมลพิษลดลงอีกครั้ง CO ประมาณ 140-170 ppm ส่วนกรณีการปลดปล่อย  $\text{NO}_x$  อยู่ในช่วง 130-160 ppm

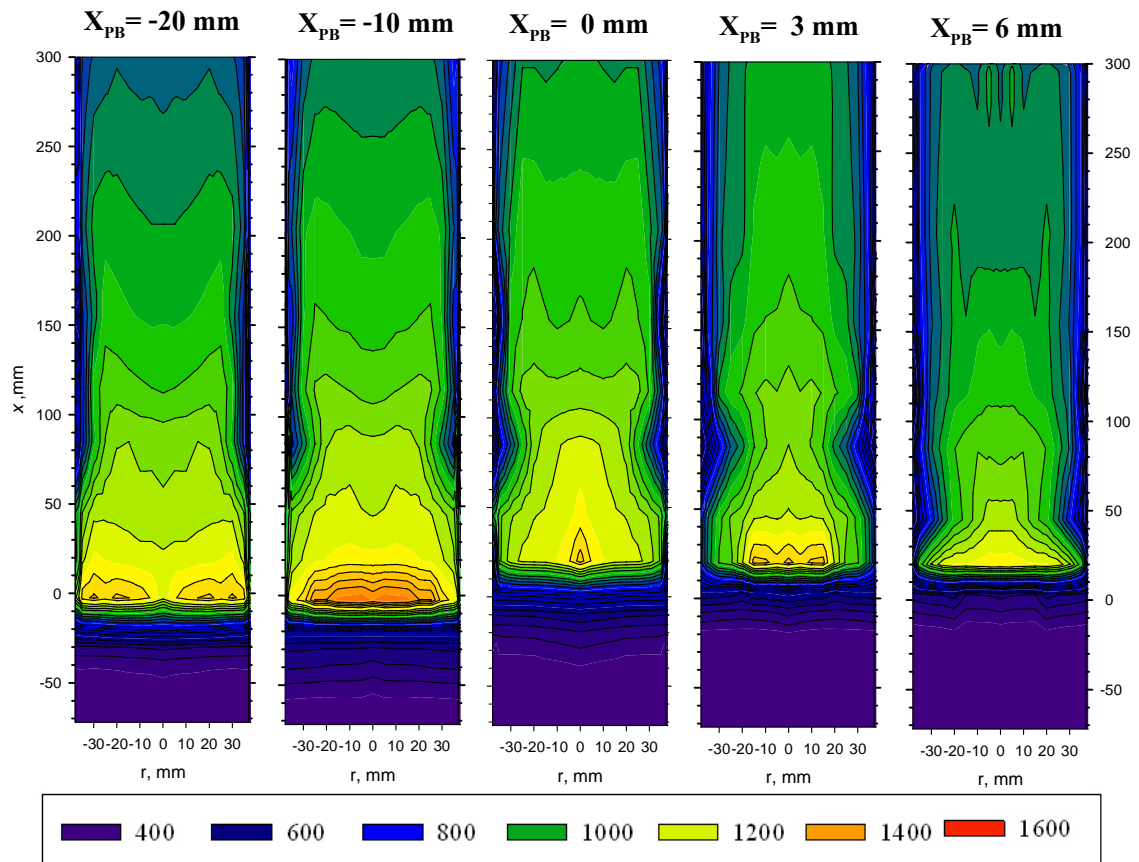


รูป 5.8 แสดงอิทธิพลของระยะ  $X_{PB}$  ต่ออุณหภูมิการอุ่นอากาศ ที่  $FR = 5 \text{ kW}$  และ  $\Phi=0.47$

จากรูปที่ 5.8 แสดงอิทธิพลของระยะ  $X_{PB}$  ต่ออุณหภูมิการอุ่นอากาศ ที่  $FR = 5 \text{ kW}$  และ  $\Phi=0.47$  ของกรณีเปลวไฟอิสรร พนว่า อุณหภูมิก่อนเข้าระบบ preheat (T15) ประมาณ 40 องศาเซลเซียส เมื่อผ่านระบบ preheat แล้ว(T<sub>16</sub>) ได้รับความร้อนจากบริเวณรอบๆ เตา ทำให้ได้อุณหภูมิสูงถึง ประมาณ 300 องศาเซลเซียส และจะป้อนเข้าสู่ห้องเผาไหม้(T<sub>17</sub>) ด้วยอุณหภูมิประมาณ 220 องศาเซลเซียส เนื่องจากระหว่างไฟหลักผ่านท่อ มีการสูญเสียความร้อนบางส่วนให้กับลิ้นแวดล้อม

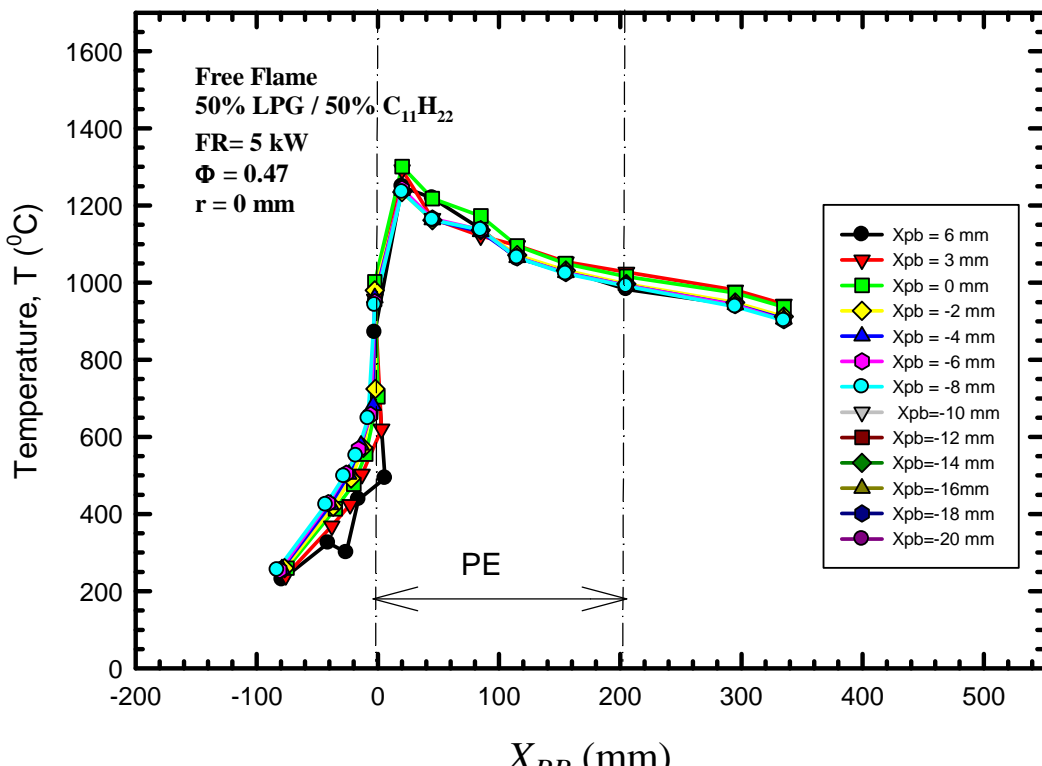
อย่างไรก็ ทำให้เราทราบว่าหัวเผาสามารถทำงาน เชื้อเพลิงเหลวได้โดยไม่ต้องมีการสเปรย์และให้อุณหภูมิสูงสุดในการเผาไหม้ใกล้เคียงกัน

### 5.1.3 อิทธิพลของระยะ $X_{PB}$ เชื้อเพลิงผสม 50% LPG/50% $C_{11}H_{22}$



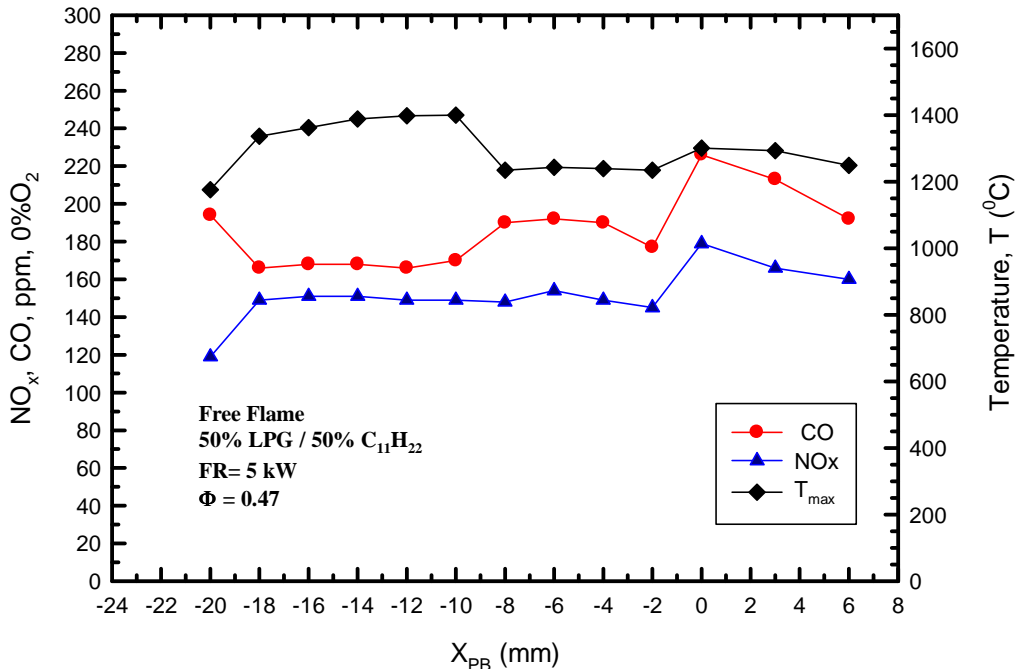
รูปที่ 5.9 แสดงอิทธิพลของระยะ  $X_{PB}$  ต่อ temperature contour = 5 kW และ  $\Phi=0.47$  กรณีเปลวไฟอิสระ ของเชื้อเพลิงเชื้อเพลิงผสมระหว่าง LPG 50% และ Kerosene 50%

จากรูปที่ 5.9 แสดงอิทธิพลของระยะ  $X_{PB}$  ต่อ temperature contour = 5 kW และ  $\Phi=0.47$  กรณีเปลวไฟอิสระ ของเชื้อเพลิงเชื้อเพลิงผสมระหว่าง LPG 50% และ Kerosene 50%พบว่าการเปลี่ยนแปลงระยะ  $X_{PB}$  ในเชื้อเพลิงผสมระหว่าง LPG 50% และ Kerosene 50% พบว่า การปรับเปลี่ยนระยะ  $X_{PB}$  แนวโน้มทำให้เกิดการเผาไหม้ในรูปแบบผสมมาก่อนหรือชนิดแพร่ คล้ายกับเชื้อเพลิง LPG และ Kerosene เช่นกัน คือ ในกรณี  $X_{PB} = -20, 10$  และ  $0$  มิลิเมตร ให้ลักษณะเปลวไฟคล้ายกับแบบ อุณหภูมิ การเผาไหม้สูงสุด 1300 องศาเซลเซียส ขณะที่กรณี  $X_{PB} = 3$  และ  $6$  มิลิเมตร เปลวไฟมีแนวโน้มยืดยาวออกไปด้านท้ายน้ำมากขึ้น แต่ การเผาไหม้เชื้อเพลิงผสมระหว่าง LPG 50% และ Kerosene 50% ให้อุณหภูมิการเผาไหม้ต่ำกว่าเผาไหม้เชื้อเพลิงเพียงชนิดเดียว สาเหตุเนื่องจากค่าสัมประสิทธิ์การแพร่ ของเชื้อเพลิงกับอากาศต่างกันถึง 2 เท่า[18] ทำให้สองเชื้อเพลิงเผาไหม้ไม่พร้อมกัน



รูป 5.10 แสดงอิทธิพลของระยะ  $X_{PB}$  ต่อโครงสร้างอุณหภูมิในห้องเผาไหม้ที่  $FR = 5 \text{ kW}$  และ  $\Phi = 0.47$  ของเชื้อเพลิงผสมระหว่าง LPG 50% และ Kerosene 50%

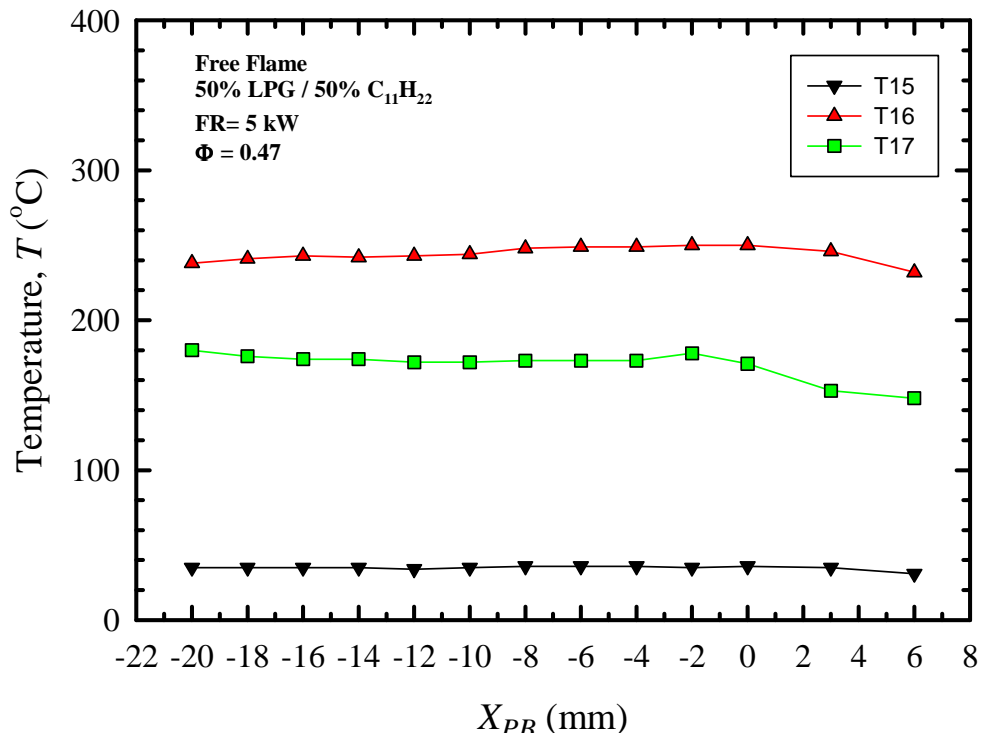
จากรูปที่ 5.10 แสดงอิทธิพลของระยะ  $X_{PB}$  ต่อโครงสร้างอุณหภูมิในห้องเผาไหม้ที่  $FR = 5 \text{ kW}$  และ  $\Phi = 0.47$  กรณีเปลาไฟอิสระ ของเชื้อเพลิง เชื้อเพลิงผสมระหว่าง LPG 50% และ Kerosene 50% พบว่า การเปลี่ยนแปลงระยะ  $X_{PB}$  มีผลทำให้อุณหภูมิสูงสุดในการเผาไหม้ลดลง แต่เปลาไฟแทนจะไม่ย้ายไปทางด้านท้ายน้ำ เช่นเดียวกับเชื้อเพลิง LPG หรือ Kerosene เลย ซึ่งคาดว่าจะเกิดจากอิทธิพลของการผสมกันระหว่างสองเชื้อเพลิง



รูป 5.11 แสดงอิทธิพลของระยะ  $X_{PB}$  ต่อการปลดปล่อยมลพิษ ที่  $\text{FR} = 5 \text{ kW}$  และ  $\Phi=0.47$

จากรูปที่ 5.12 แสดงอิทธิพลของระยะ  $X_{PB}$  ต่อการปลดปล่อยมลพิษ ที่  $\text{FR} = 5 \text{ kW}$  และ  $\Phi=0.47$  พบว่า สามารถแบ่งออกเป็น 3 ช่วง คือ ช่วงที่ 1 ตั้งแต่  $X_{PB} = -20$  ถึง -6 มิลิเมตร เป็นลักษณะการเผาไหม้แบบ พลุมาก่อน การผสมคลุกเคล้าระหว่างเชื้อเพลิงกับอากาศดี ส่งผลการปลดปล่อยมลพิษตั้งแต่ CO ประมาณ 200 ppm และ  $\text{NO}_x$  ประมาณ 160 ppm เนื่องจากเกิดการเผาไหม้สมบูรณ์และ prompt NOx ตั้งตามลำดับ ขณะที่ thermal NOx ที่ขึ้นกับอุณหภูมิสูงสุดในการเผาไหม้ไม่เปลี่ยนแปลงมากนัก ขณะที่ช่วงที่ 2 คือตั้งแต่  $X_{PB} = -4$  ถึง 0 มิลิเมตรเป็นช่วงการเปลี่ยนรูปแบบการเผาไหม้ จากเปลวไฟ ชนิดผสมมาก่อน ไปเป็นเปลวไฟแบบแพร่ หัววัสดุพรุน PB บางส่วนลงมาของอากาศ ส่งผลให้ อากาศถูกแบ่งออกเป็น 2 ส่วน โดยส่วนหนึ่งถูกจ่ายแบบวงแหวน(annular) ส่วนที่เหลือจะถูกจ่ายแบบ หมุนวน (swirl) อากาศส่วนนี้จะเข้าไปผสมกับเชื้อเพลิง บริเวณนี้เกิดการเผาไหม้แบบ rich combustion การปลดปล่อยมลพิษสูงขึ้นอย่างชัดเจน CO มีค่าประมาณ 200 ppm และ  $\text{NO}_x$  มีค่าประมาณ 200 ppm เนื่องจากการผสมระหว่างเชื้อเพลิงกับอากาศไม่ดี และ ส่งผลให้ prompt NOx ตามลำดับ และช่วงที่ 3 คือตั้งแต่  $X_{PB} = 0$  ถึง 6 มิลิเมตร เป็นการเผาไหม้แบบแพร่ การปลดปล่อย มลพิษลดลงอีกรึ CO ประมาณ 220 ppm เนื่องจากการเผาไหม้ที่มีความหมุนมากขึ้น[17] ทำให้ออดีต มีเวลาในการเผาไหม้สูงขึ้น ส่วนกรณีการปลดปล่อย  $\text{NO}_x$  เหลือประมาณ 180 ppm สาเหตุที่ลดลง คาดว่า น่าจะเกิดจากการลดลงของอุณหภูมิสูงสุดในการเผาไหม้ ซึ่งเกิดจากการสูญเสียความร้อนและ

อาจเกิดการเผาไหม้แบบเป็นขั้นร่วมด้วยส่งผลให้ thermal NOx ลดลง เช่นเดียวกับการเผาไหม้เชื้อเพลิง LPG หรือ Kerosene (พิจอย่างเดียว)



รูป 5.12 แสดงอิทธิพลของระยะ  $X_{PB}$  ต่ออุณหภูมิการอุ่นอากาศ ที่  $FR = 5 \text{ kW}$  และ  $\Phi = 0.47$

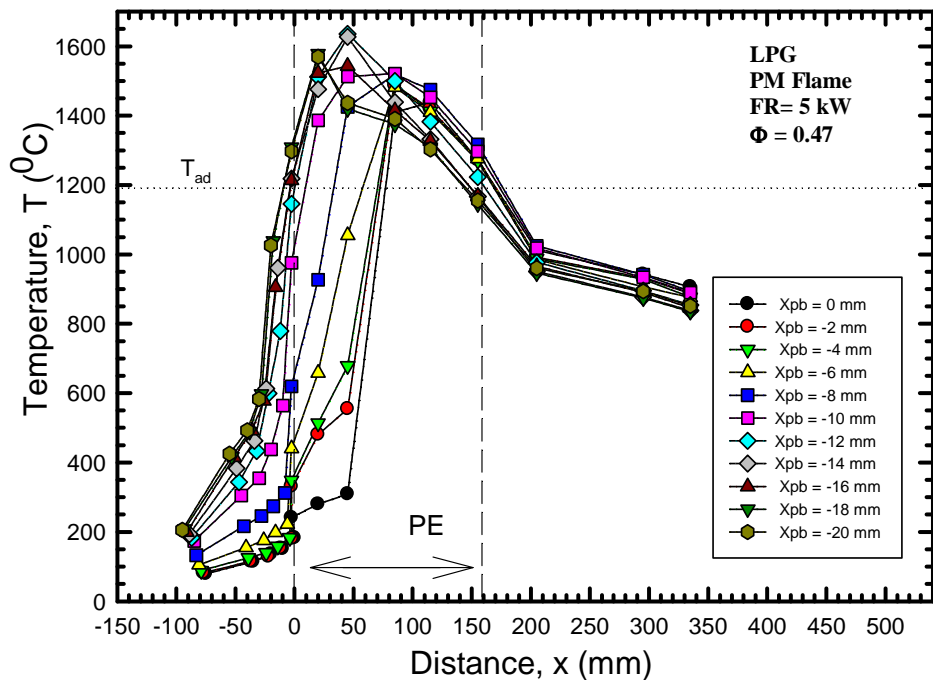
จากรูปที่ 5.12 แสดงอิทธิพลของระยะ  $X_{PB}$  ต่ออุณหภูมิการอุ่นอากาศ ที่  $FR = 5 \text{ kW}$  และ  $\Phi = 0.47$  ของกรณีเปลวไฟอิสรร พนว่า อุณหภูมิก่อนเข้าระบบ preheat (T<sub>15</sub>) ประมาณ  $40 \text{ }^{\circ}\text{C}$  เมื่อผ่านระบบ preheat แล้ว(T<sub>16</sub>) ได้รับความร้อนจากบริเวณรอบๆ เตา ทำให้ได้อุณหภูมิสูงถึง ประมาณ  $240 \text{ }^{\circ}\text{C}$  และจะป้อนเข้าสู่ห้องเผาไหม้(T<sub>17</sub>)ด้วยอุณหภูมิประมาณ  $180 \text{ }^{\circ}\text{C}$  เนื่องจากระหว่างไฟหล่อท่านที่มีการสูญเสียความร้อนบางส่วนให้กับสิ่งแวดล้อม และมีแนวโน้มลดลงตามระยะ  $X_{PB}$  ที่เพิ่มมากขึ้น เนื่องจากตำแหน่งของเปลวไฟขยับไปด้านท้ายมากขึ้น

## 5.2 ผลการทดลองกรณี PM Flame

### 5.2.1 เชื้อเพลิง LPG

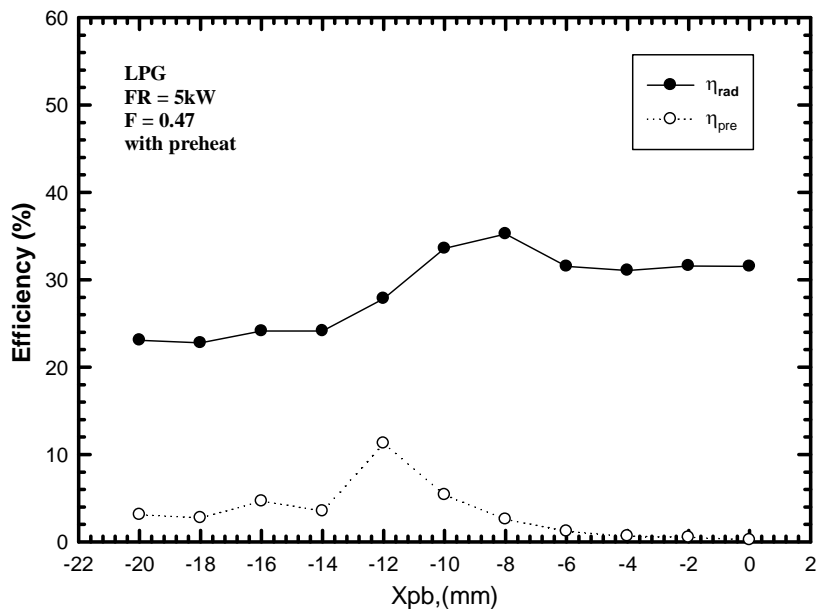
#### 5.2.1.1 อิทธิพลของระยะ $X_{PB}$ ของเชื้อเพลิง LPG

จากการศึกษาที่ผ่านมาในกรณีเปลวไฟอิสระ พบว่า ปรับระยะ  $X_{PB}$  สามารถควบคุมกลไกการเผาไหม้ให้เป็นแบบสมมาร์ก่อน และ เปลาไฟแบบแพร่ ซึ่งมีความยืดหยุ่นสูงเหมาะสมสำหรับการประยุกต์ใช้กับอุตสาหกรรมที่ต้องการใช้ประโยชน์ของความร้อนในรูปแบบการแผ่รังสีความร้อน ซึ่งการเผาไหม้เลวไฟแบบแพร่ ที่เกิดขึ้นนั้นก็คาดว่าอาจจะได้รูปแบบการเผาไหม้แบบปืนขึ้น ตามมาอีกด้วย ซึ่งมีผลในการลดการปลดปล่อยมลพิษ ดังนั้นหากมีการนำวัสดุพูนมาติดตั้งแล้วทำให้เกิดการเผาไหม้ เปลาไฟแบบแพร่ ปืนในวัสดุพูน (Matrix Stabilized flame) ซึ่งต่อไปนี้จะเรียกว่า PM flame ก็คาดว่ากลไกการเผาไหม้ที่เกิดขึ้นนี้ก็น่าจะได้รูปแบบการเผาไหม้แบบปืนขึ้นเหมือนกับกรณี เปลาไฟอิสระ เช่นกัน



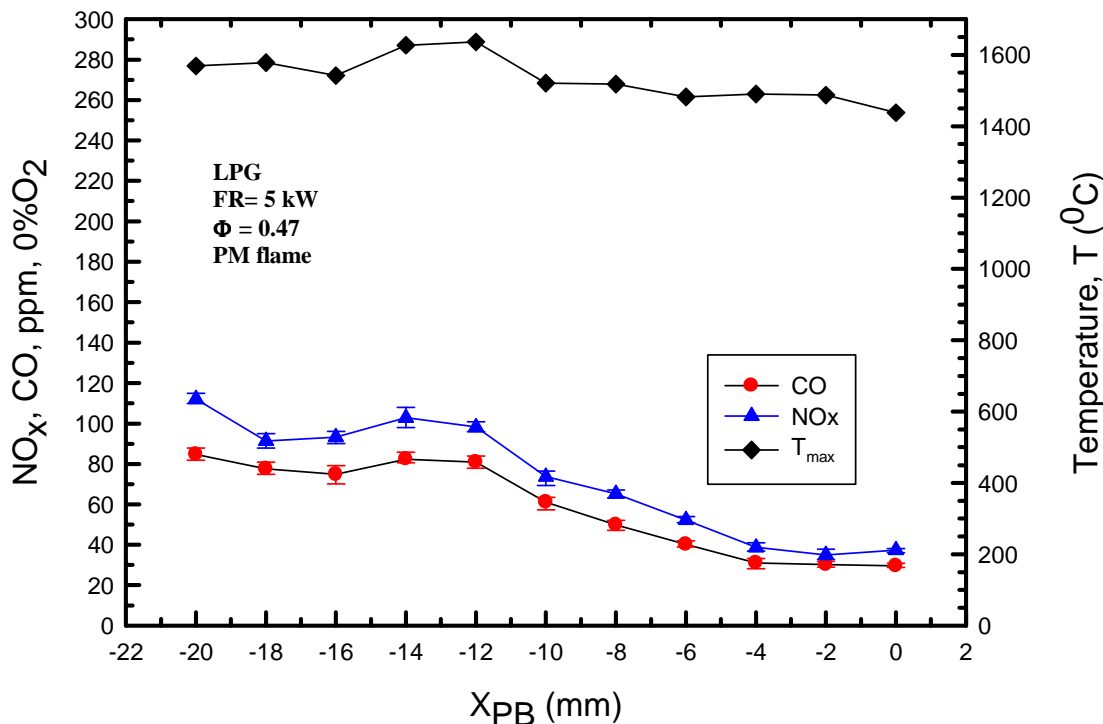
รูปที่ 5.2.1 แสดงอิทธิพลของระยะ  $X_{PB}$  ของอุณหภูมิในห้องเผาไหม้ที่  $FR = 5 \text{ kW}$  และ  $\Phi = 0.47$  ของเชื้อเพลิง LPG

จากรูปที่ 5.2.1 แสดงอิทธิพลของระยะ  $X_{PB}$  ของอุณหภูมิในห้องเผาไหม้ที่  $FR = 5 \text{ kW}$  และ  $\Phi = 0.47$  ของเชื้อเพลิง LPG จากการปรับเปลี่ยนระยะ  $X_{PB}$  จาก  $-20$  จนถึง  $0$  มิลลิเมตร พบว่าโครงสร้าง อุณหภูมิมีแนวโน้มแบบรากมากขึ้น ซึ่งคาดว่าเกิดการเปลี่ยนแปลงรูปแบบการเผาไหม้จากแบบผสม มากก่อนเป็นแบบแพร่ เช่นเดียวกับกรณีเปลวไฟอิสระ ซึ่งอุณหภูมิที่แบบรากมากขึ้นจากการสูญเสีย ความร้อนเพิ่มมากขึ้นเมื่อเปลวไฟอยู่ใกล้ทางออก(ท้ายน้ำ) หรืออาจจะเกิดการเผาไหม้แบบเป็นขั้น ร่วมด้วยก็เป็นได้ ขณะเดียวกันเปลวไฟจะขยายไปทางด้านท้ายน้ำ เพิ่มมากขึ้น ซึ่งโดยปกติของการเผาไหม้จะต้องมีระยะเวลาในการผสมของไอดิ (mixing time) ก่อนเกิดปฏิกิริยาการเผาไหม้ ในขณะที่ mixing time เท่าเดิม ดังนั้นการเพิ่มระยะ  $X_{PB}$  ซึ่งเป็นการขยายตำแหน่งการจ่ายเชื้อเพลิงทำให้เปลวขยาย ตามไปด้วย อย่างไรก็ตามเปลวไฟได้เข้าไปติดในภายในตัวแฟร์ริงสีวัสดุพรุน(PE) ทั้งหมด (matrix stabilize flame) ซึ่งเป็นที่พึงประสงค์ของหัวเผาวัสดุพรุน และเมื่อเปรียบเทียบกับอุณหภูมิการเผาไหม้ ทางทฤษฎี  $1200$  องศาเซลเซียส ถือว่าหัวเผาวัสดุพรุนนี้ให้อุณหภูมิการเผาไหม้สูงกว่ามากทุกกรณี ทั้งนี้เนื่องจากการผลของการมีวัสดุพรุน PE ช่วยในการหุ้นเวียนความร้อนด้าน "ไอเสียม่าสู" ให้อิ่อย่าง ข่องเนื่อง รวมถึงมีการอุ่นอากาศและเชื้อเพลิงก่อนการเผาไหม้อีกด้วย



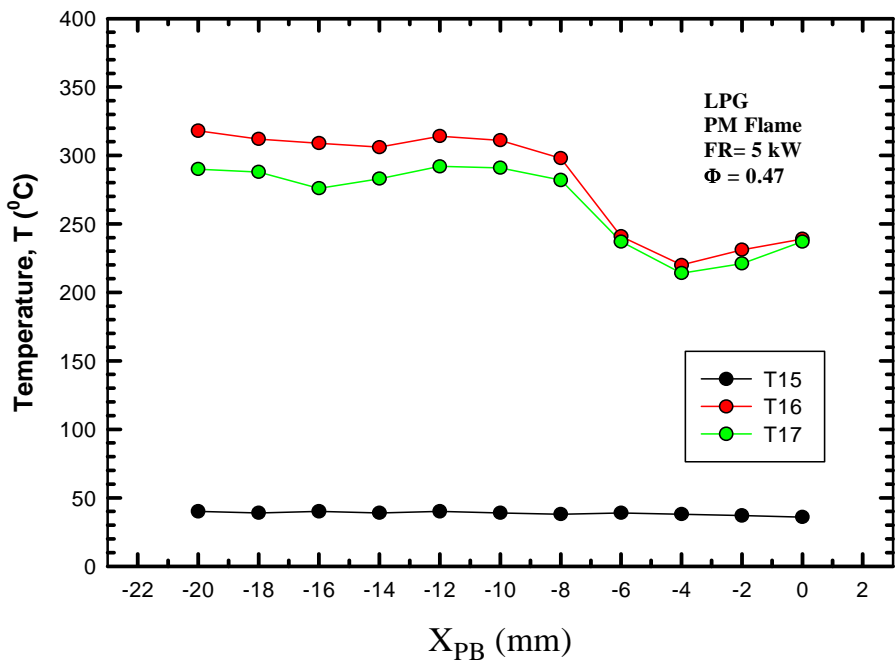
รูปที่ 5.2.2 แสดงอิทธิพลของระยะ  $X_{PB}$  ที่มีต่อประสิทธิภาพในการแผ่รังสีความร้อน และประสิทธิภาพในการอุ่นเชื้อเพลิง ที่  $FR = 5 \text{ kW}$  และ  $\Phi = 0.47$  ของเชื้อเพลิง LPG

จากรูปที่ 5.2.2 แสดงอิทธิพลของระยะ  $X_{PB}$  ที่มีต่อประสิทธิภาพในการแผ่รังสีความร้อน และประสิทธิภาพในการอุ่นเชื้อเพลิง ที่  $FR = 5 \text{ kW}$  และ  $\Phi = 0.47$  ของเชื้อเพลิง LPG ซึ่งประสิทธิภาพ การแผ่รังสีความร้อนก็เป็นอีกหนึ่งปัจจัยที่แสดงถึงสมมรถนะของหัวเผา ในที่นี่  $\eta_{rad}$  คือ อัตราส่วนระหว่างพลังงานความร้อนที่แผ่รังสีออกมายังด้านท้ายน้ำ (เป็นส่วนที่นำไปใช้ประโยชน์ในการให้ความร้อนกับภาระทางความร้อน) กับพลังงานของเชื้อเพลิงที่ป้อนเข้าไป พนักงานเมื่อ  $X_{PB}$  ทำให้ประสิทธิภาพในการแผ่รังสีความร้อน มีแนวโน้มสูงขึ้นตามระยะ  $X_{PB}$  ที่เพิ่มมากขึ้น โดยสูงสุดมีค่า 34% เพราะ เปลาไฟเลื่อนเข้าไปติดในวัสดุพูรุน PE ซึ่งเข้าใกล้บริเวณผิวล่างของ PE มากขึ้นและยังคาดว่าจะเปลี่ยนรูปแบบจากเปลาไฟชนิดผสมมาก่อน เป็นเปลาไฟแบบแพร่ เช่นเดียวกับกรณีเปลาไฟอิสระซึ่งมีคุณสมบัติแผ่รังสีความร้อนได้ดี ในทางตรงกันข้ามขณะที่  $\eta_{pre}$  ซึ่งเป็นอัตราส่วนระหว่าง พลังงานความร้อนที่อุ่นเชื้อเพลิง (คิดที่ผิวล่างของ PB) ของพลังงานของเชื้อเพลิงที่ป้อนเข้า เพื่อนำไปใช้ในการอุ่นเชื้อเพลิงกลับมีค่าลดลงตามระยะ  $X_{PB}$  ที่เพิ่มขึ้น เพราะเปลาไฟถูกบังคับเลื่อนเข้าไปลึกใน PE มากขึ้นนั่นเอง



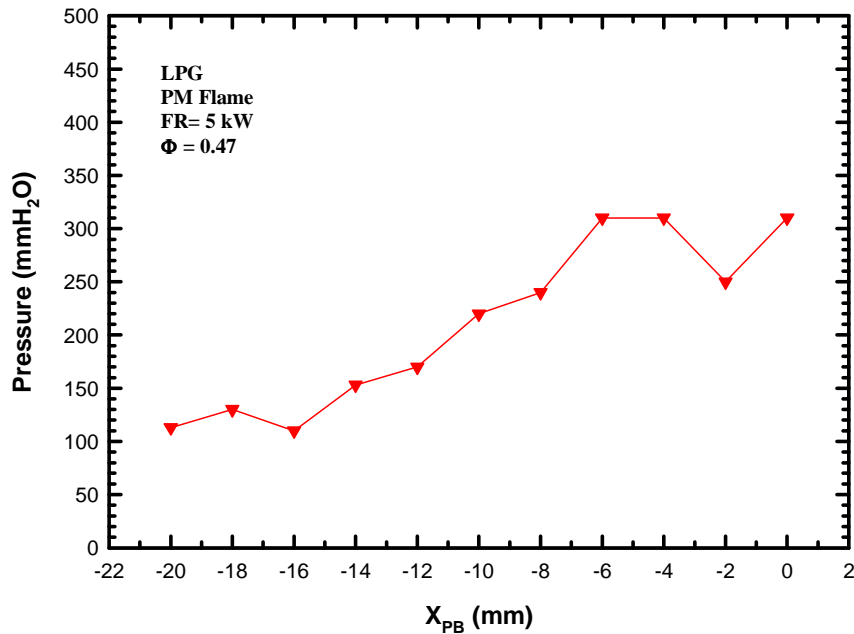
รูปที่ 5.2.3 แสดงอิทธิพลของ  $X_{PB}$  ของการปลดปล่อย CO และ  $NO_x$  ที่  $FR = 5 \text{ kW}$  และ  $\Phi = 0.47$  โดยทำการแก้ไขค่าให้มากอยู่  $0\% O_2$  ของเชื้อเพลิง LPG

จากรูปที่ 5.2.3 แสดงอิทธิพลของ  $X_{PB}$  ของการปลดปล่อยมลพิษ (CO และ  $NO_x$ ) ที่  $FR = 5 \text{ kW}$  และ  $\Phi = 0.47$  โดยทำการแก้ไขค่าให้มากอยู่  $0\% O_2$  พบว่า หัวเผาปลดปล่อยมลพิษสูงสุดที่และการปลดปล่อยมลพิษจะลดลงตาม  $X_{PB}$  ที่เพิ่มมากขึ้น โดยที่  $X_{PB} = 0 \text{ mm}$  ปลดปล่อยมลพิษต่ำที่สุด โดยที่ CO มีค่าประมาณ  $35 \text{ ppm}$  สาเหตุเนื่องจาก การเพิ่มระยะ  $X_{PB}$  ส่งผลให้เกิดการหมุนวนในแนวรัศมีเพิ่มมากขึ้น [17] ไอเดียจึงมีเวลาในการเผาไหม้เพิ่มสูงขึ้นตามไปด้วย และ  $NO_x$  มีค่าต่ำประมาณ  $40 \text{ ppm}$  ลดคล้อยกับอุณหภูมิสูงสุดในการเผาไหม้(peak temperature) สาเหตุเกิดจากตำแหน่งของการสูญเสียความร้อนจากการแพร่รังสีทึ่งสูสีจึงแวดล้อมมากขึ้น หรืออาจจะเกิดเผาไหม้แบบ staged combustion ร่วมด้วย ทำให้ thermal NOx ลดลง และอีกสาเหตุสำคัญน่าจะทำให้ลดการปลดปล่อยมลพิษคือการขับตำแหน่งของเปลวไฟเข้าไปอยู่กึ่งกลางตัวแพร่รังสีวัสดุพูนเพิ่มมากขึ้น



รูปที่ 5.2.4 แสดงอิทธิพลของระยะ  $X_{PB}$  ของอุณหภูมิการอุ่นอากาศ ที่  $FR = 5 \text{ kW}$  และ  $\Phi = 0.47$  ของ กรณี PM flame ของเชื้อเพลิง LPG

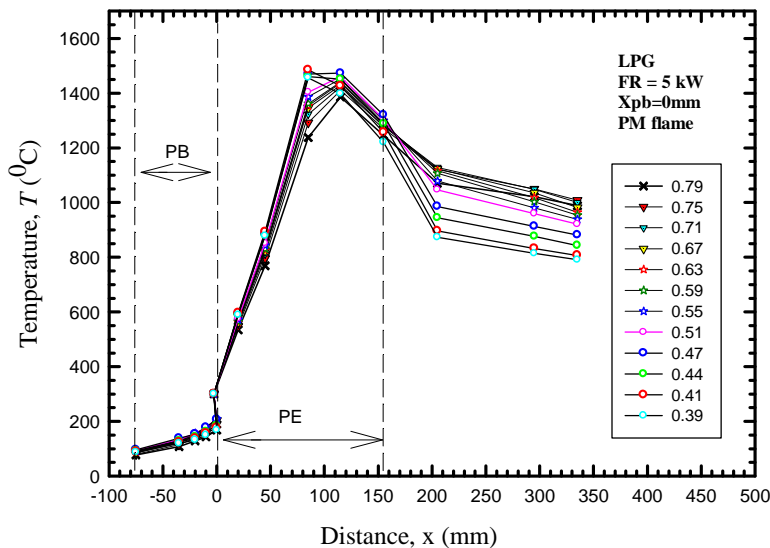
จากรูปที่ 5.2.4 แสดงอิทธิพลของระยะ  $X_{PB}$  ของอุณหภูมิการอุ่นอากาศ ที่  $FR = 5 \text{ kW}$  และ  $\Phi = 0.47$  ของ กรณี PM flame พบว่า ระยะ  $X_{PB}$  จะมีผลของอุณหภูมิการอุ่นอากาศ ที่ตำแหน่ง  $T_{15}$  และ  $T_{16}$  โดย จะลดลงตามระยะ  $X_{PB}$  ทั้งนี้เนื่องจากเข้าใกล้ ระยะ  $X_{PB} = 0$  มิลิเมตร เปลาไฟเลื่อนไปด้าน ท้ายน้ำ มาก ขึ้นซึ่งห่างจากบริเวณอุ่นอากาศ และมีการแผรังสีความร้อนทึ่งสู่สิ่งแวดล้อมมากขึ้น ซึ่งแสดงอุณหภูมิ ในกราฟໂโครงสร้างทางความร้อนข้างต้น



รูปที่ 5.2.5 แสดงอิทธิพลของระยะ  $X_{PB}$  ของความดันในห้องเผาไหม้ ที่  $FR = 5 \text{ kW}$  และ  $\Phi = 0.47$  ของเชื้อเพลิง LPG

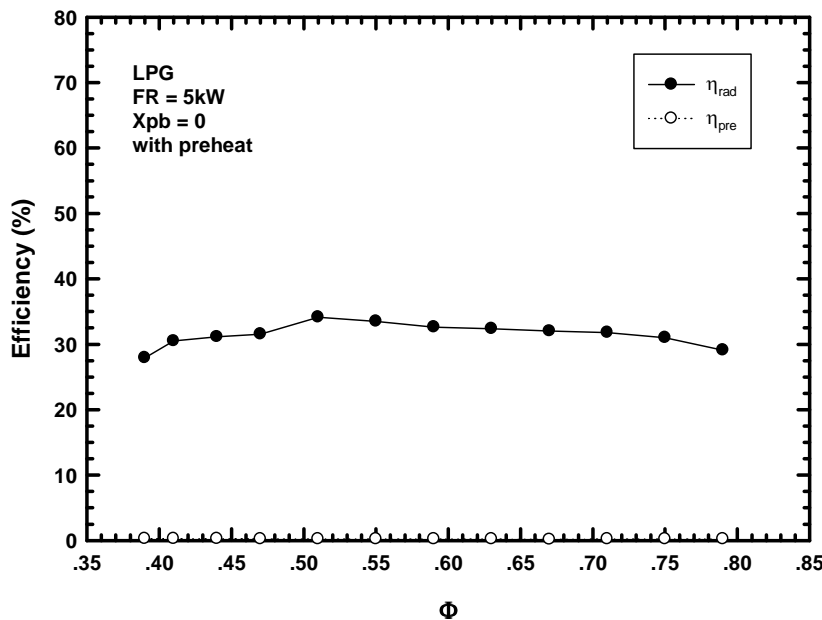
จากรูปที่ 5.2.5 แสดงอิทธิพลของระยะ  $X_{PB}$  ของความดันในห้องเผาไหม้ ที่  $FR = 5 \text{ kW}$  และ  $\Phi = 0.47$  พบว่าพบว่า การเพิ่มระยะ  $X_{PB}$  มีผลของความดันในห้องเผาไหม้ โดยที่ระยะ  $X_{PB} = -20 \text{ mm}$  มีค่า 110 mm H<sub>2</sub>O จนนั้นจะสูงขึ้นตามระยะ  $X_{PB}$  ที่เพิ่มมากขึ้นและสูงสุดที่ระยะ  $X_{PB} = 0 \text{ mm}$  มีค่า 320 mm H<sub>2</sub>O เนื่องจากการเพิ่มระยะ  $X_{PB}$  เป็นการลดปริมาตรของห้องเผาไหม้ลงในขณะที่อัตราการไหลของไอดีเท่าเดิม

### 5.2.1.2 อิทธิพลของค่า Equivalence ratio ( $\Phi$ )



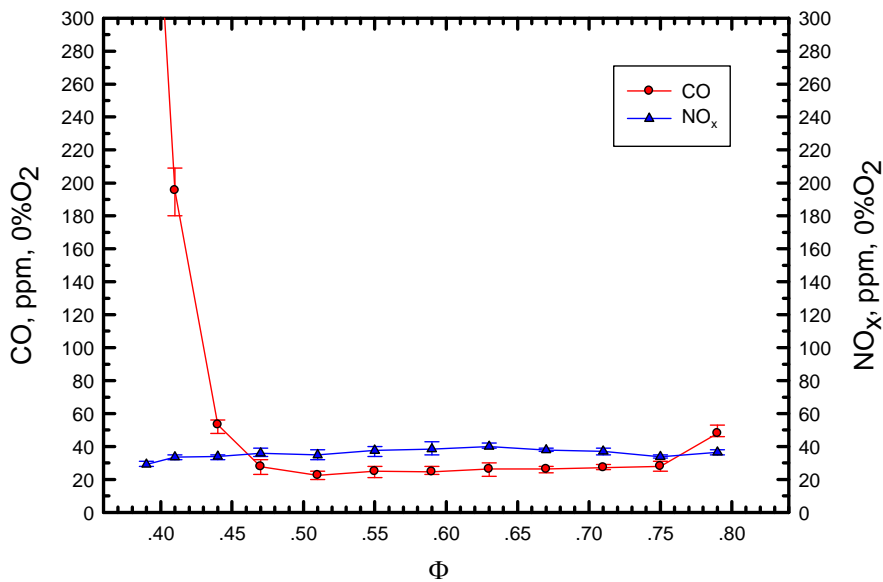
รูปที่ 5.2.6 แสดงอิทธิพล  $\Phi$  ของอุณหภูมิในห้องเผาใหม่ ที่  $\text{FR} = 5 \text{ kW}$  และ  $X_{\text{PB}} = 0 \text{ มิลิเมตร}$  ของเชื้อเพลิง LPG

ความสามารถของหัวเผาว่ามีสมรรถนะเพาใหม่เชื้อเพลิงส่วนผสมได้เข้มข้นหรือเจือจากมากน้อยเพียงใดสามารถทราบได้จากการปรับเปลี่ยนค่า  $\Phi$  จากรูป รูปที่ 5.2.5.2 แสดงอิทธิพล  $\Phi$  ของอุณหภูมิในห้องเผาใหม่ ที่  $\text{FR} = 5 \text{ kW}$  และ  $X_{\text{PB}} = 0 \text{ มิลิเมตร}$  ของเชื้อเพลิง LPG โดยการ ทำให้ด้วยการเพิ่มอัตราการไหลของอากาศ แต่รักษาอัตราการป้อนเชื้อเพลิงให้คงที่ พบร้า การลด  $\Phi$  ทำให้เปลวไฟเดือนเข้าไปติดด้าน upstream มากขึ้น เนื่องจากการผสมระหว่างเชื้อเพลิงกับอากาศดีขึ้นจึงสามารถติดไฟได้เร็วขึ้นด้วย



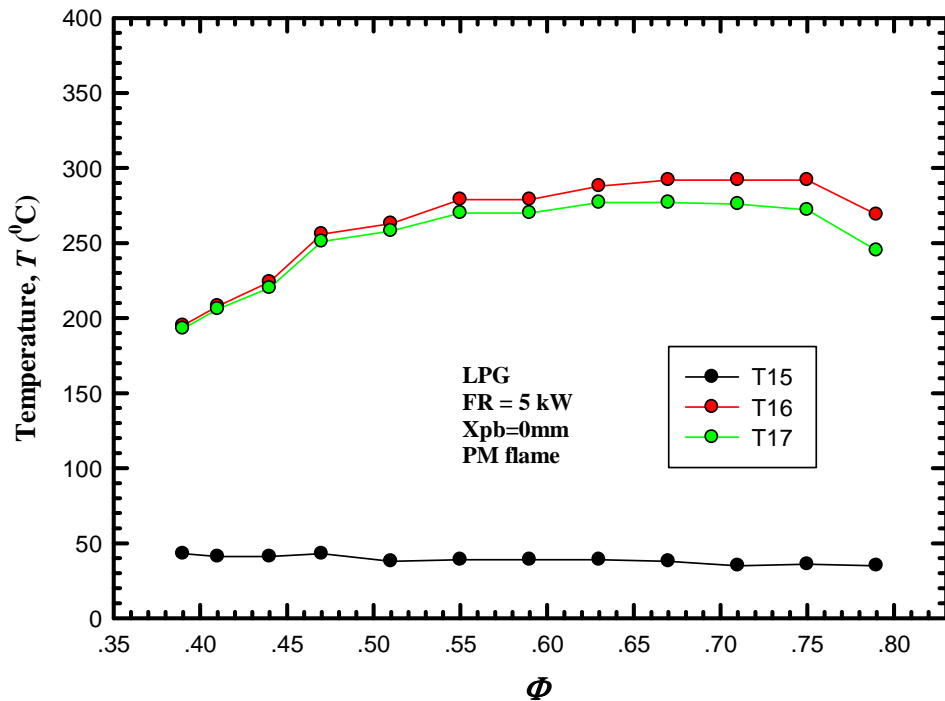
รูปที่ 5.2.6 แสดงอิทธิพล  $\Phi$  ของอุณหภูมิในห้องเผาไหม้ และประสิทธิภาพการอุ่นเชื้อเพลิง ที่  $FR = 5$  kW และ  $X_{PB} = 0$  มิลิเมตร ของเชื้อเพลิง LPG

ประสิทธิภาพการแพร่รังสีความร้อนก็เป็นอีกหนึ่งปัจจัยที่แสดงถึงสมรรถนะของหัวเผา จากรูปที่ 5.2.7 แสดงอิทธิพลของ  $\Phi$  ของ ประสิทธิภาพการแพร่รังสีความร้อน และ ประสิทธิภาพการอุ่นเชื้อเพลิงที่  $FR = 5$  kW และ  $X_{PB} = 0$  มิลิเมตร พบร่วมกันของการเพิ่ม  $\Phi$  ตั้งแต่ 0.39 ส่งผลให้ ประสิทธิภาพการแพร่รังสีความร้อน สูงขึ้นเนื่องจากโครงสร้างอุณหภูมิภายในวัสดุพื้นดังแสดงใน Graf ข้างต้นมีแนวโน้มสูงขึ้นและจะสูงสุดเมื่อ  $\Phi = 0.51$  จากนั้น ประสิทธิภาพการแพร่รังสีความร้อน จะมีแนวโน้มลดลงตามค่า  $\Phi$  ที่เพิ่มมากขึ้นเนื่องจากการผสมระหว่างเชื้อเพลิงกับอากาศเปลี่ยนตามปริมาณอากาศที่ลดน้อยลง ขณะเดียวกันการปรับเปลี่ยนค่า  $\Phi$  ไม่มีผลของประสิทธิภาพการอุ่นเชื้อเพลิงเนื่องจากตำแหน่งเบลาไฟค่อนข้างอยู่กับที่



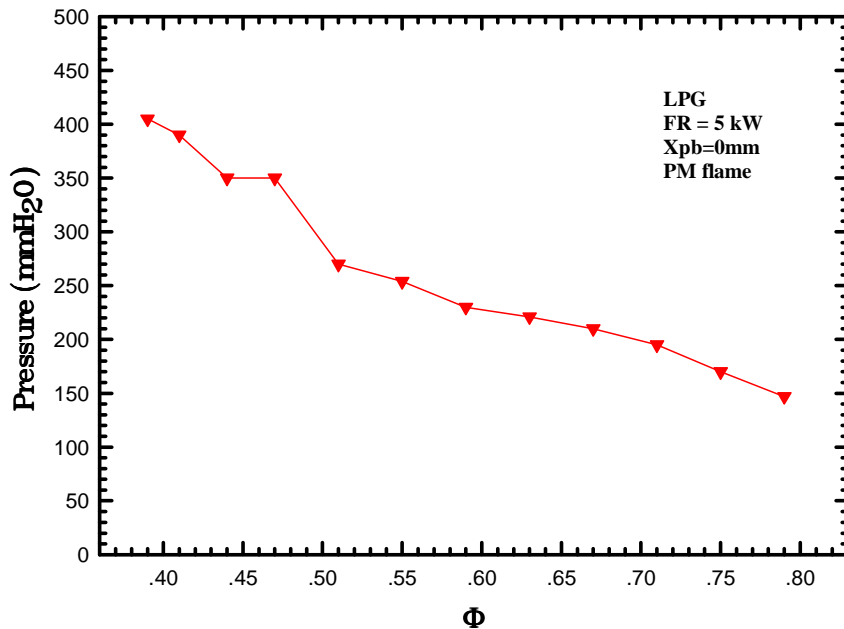
รูปที่ 5.2.8 แสดงอิทธิพล  $\Phi$  ของการปลดปล่อยมลพิษที่  $FR = 5 \text{ kW}$  และ  $X_{PB} = 0 \text{ มิลิเมตร}$  ของเชื้อเพลิง LPG

จากรูปที่ 5.2.8 แสดงอิทธิพลของค่า  $\Phi$  ของ CO และ NO<sub>x</sub> ที่  $FR = 5 \text{ kW}$  ของกรณี  $X_{PB} = 0 \text{ มม}$  พบว่า อัตราการปลดปล่อยมลพิษทั้ง CO และ NO<sub>x</sub> ต่ำมาก และแกว่งตัวอยู่ในช่วงแคบๆ คือ NO<sub>x</sub> อยู่ในช่วง 30-40 ppm และ CO ประมาณ 20-30 ppm เพราะถูกควบคุมให้เกิดการเผาไหม้ที่  $X_{PB} = 0 \text{ มิลิเมตร}$  เกิดการหมุนวนในแนวรัศมีเพิ่มมากขึ้น [17] စอดดึงมีเวลาในการเผาไหม้เพิ่มสูงขึ้นตามไปด้วย รวมถึงผลของการการสูญเสียความร้อนจากการแพร่รังสีทั้งสูงสูงแล้วลดลงมากขึ้น ลดลงกล้องกับอุณหภูมิในการและคาดว่าอาจจะเกิดการเผาไหม้แบบ staged combustion ร่วมด้วย ทำให้ thermal NO<sub>x</sub> ลดลง ขณะย่างไรก็ตามหัวเผานี้ควรหลีกเลี่ยงการทำงานที่  $\Phi < 0.39$  ซึ่งมีค่า 490 ppm และ  $\Phi > 0.79$  ซึ่งมีค่าเพราะสูงกว่า 5,200 ppm เนื่องจากเข้าใกล้ขอบเขตการเผาไหม้เริ่มเผาไหม้ไม่สมบูรณ์ เป็นผลให้ CO มีค่าเพิ่มขึ้นอย่างรวดเร็ว



รูปที่ 5.2.9 แสดงอิทธิพลของค่า  $\Phi$  ของอุณหภูมิการอุ่นอากาศ ที่  $FR = 5 \text{ kW}$  ของกรณี  $X_{PB} = 0$  มิลิเมตรของเชื้อเพลิง LPG

จากรูปที่ รูปที่ 5.2.9 แสดงอิทธิพลของค่า  $\Phi$  ของอุณหภูมิการอุ่นอากาศ ที่  $FR = 5 \text{ kW}$  ของกรณี  $X_{PB} = 0$  มิลิเมตร ของเชื้อเพลิง LPG พบว่า การเพิ่มค่า  $\Phi$  จาก 0.38 จนถึง 0.49 เป็นการลดปริมาณการจ่ายอากาศทำให้อุณหภูมิเพิ่มสูงขึ้น ยกตัวอย่างเช่น  $T_{17}$  สูงขึ้นจาก 200 องศาเซลเซียส เป็นประมาณ 250-270 องศาเซลเซียส ขณะที่อุณหภูมิก่อนเข้าระบบ preheat ( $T_{15}$ ) ประมาณ 40 องศาเซลเซียส เมื่อผ่านระบบ preheat แล้ว ( $T_{16}$ ) ได้รับความร้อนจากการบอุ่นอากาศ ทำให้ได้อุณหภูมิสูงถึง ประมาณ 200-280 องศาเซลเซียส และจะป้อนเข้าห้องเผาใหม่ ( $T_{17}$ ) ด้วยอุณหภูมิประมาณ 200-270 องศาเซลเซียส เนื่องมาจากการสูญเสียความร้อนให้ผิวท่อบางส่วน

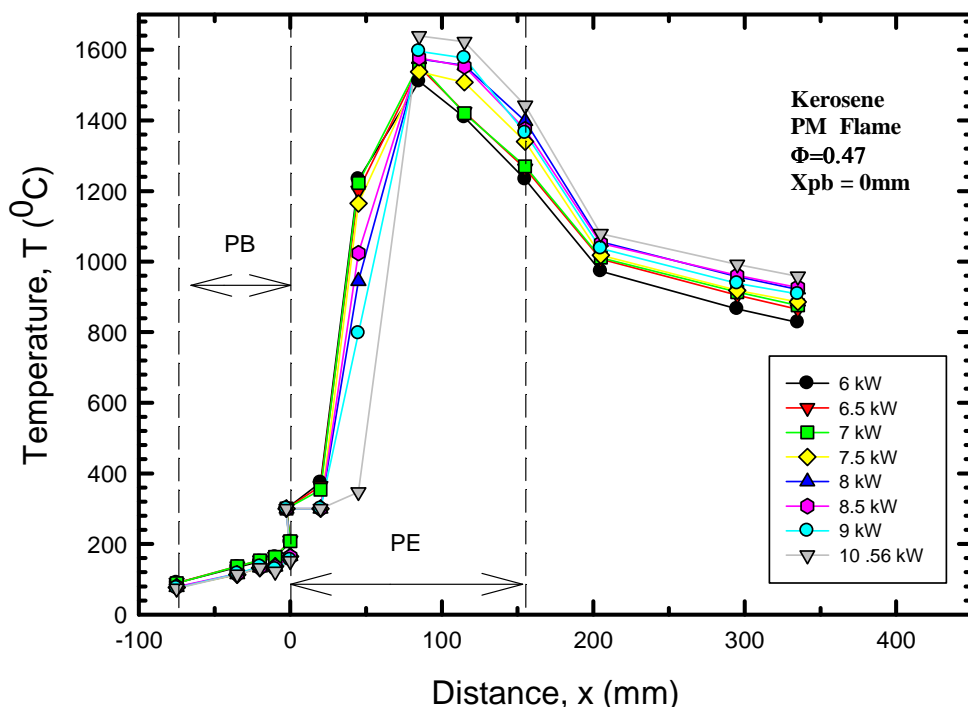


รูปที่ 5.2.10 แสดงอิทธิพลของค่า  $\Phi$  ของความดันในห้องเผาใหม่ ที่  $FR = 5 \text{ kW}$  ของกรณี  $X_{PB} = 0$  มิลิเมตร ของเชื้อเพลิง LPG

จากรูปที่ 5.2.10 แสดงอิทธิพลของค่า  $\Phi$  ของ ความในห้องเผาใหม่ ที่  $FR = 5 \text{ kW}$  ของกรณี  $X_{PB} = 0$  มิลิเมตร พบร่วมกันว่า ความดันในห้องเผาใหม่มีค่าสูงสุดที่ค่า  $\Phi = 0.37$  มีค่า  $400 \text{ mm H}_2\text{O}$  เนื่องจากเป็นกรณีที่มีการจ่ายอากาศเข้าห้องเผาใหม่ปริมาณสูงสุดจากนั้นความดันในห้องเผาใหม่จะลดลงตามปริมาณอากาศที่ป้อนเข้าห้องเผาใหม่ลดลงซึ่งหมายถึงค่า  $\Phi$  ที่ลดลง และต่ำสุดที่  $140 \text{ mm H}_2\text{O}$  ในโดยที่ ปริมาณการจ่ายเชื้อเพลิงเท่ากันทุกกรณี

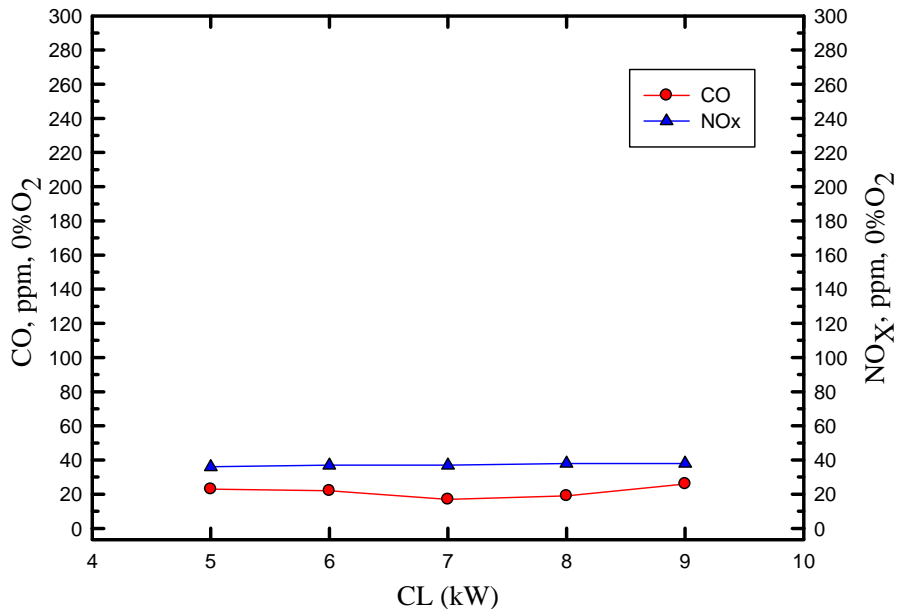
### 5.2.1.3 อิทธิพลของ Firing rate

การบ่งบอกสมรรถนะของหัวเผาอิกรูปแบบหนึ่งที่นิยมให้กันอย่างแพร่หลายว่ามีสมรรถนะสูงเพียงใด นั้น ตัวแปรที่สำคัญอีกด้วยหนึ่งนอกจากที่กล่าวมาข้างต้นแล้ว คือ Turn-down ratio ซึ่งเป็นการแสดงให้เห็นได้โดยการหารหรือเร่งอัตราการป้อนเชื้อเพลิง (FR) ที่สภาวะอัตราส่วนเชื้อเพลิงของอากาศคงที่ โดยหัวเผาจะสามารถทำการเผาไหม้ได้ โดยในการศึกษานี้นิยามบริเวณการเผาไหม้ที่เสถียรว่าเป็นช่วงการทำงานที่มีอัตราส่วนความเข้มข้นของ  $\text{CO}/\text{CO}_2$  มีค่าน้อยกว่า 0.002 โดยที่แก้ไขความเข้มข้นไปที่ 0 %  $\text{O}_2$



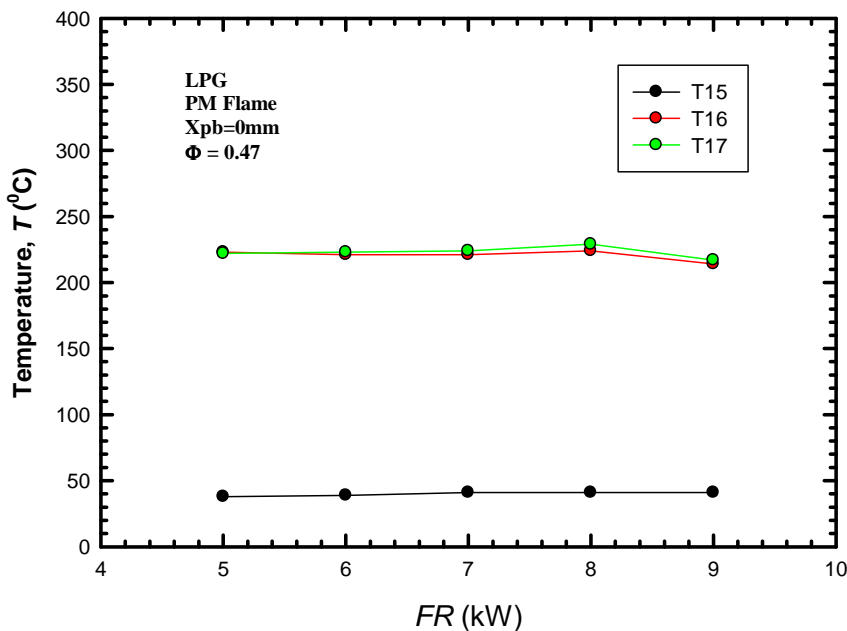
รูปที่ 5.2.11 แสดงอิทธิพลของค่า Firing rate ของ โครงสร้างอุณหภูมิการเผาไหม้ ของ กรณี  $X_{PB} = 0$  มิลิเมตร และ  $\Phi=0.47$

จากรูปที่ 5.2.11 แสดงอิทธิพลของ Firing rate ของ โครงสร้างอุณหภูมิในห้องเผาไหม้ที่  $X_{PB} = 0$  มิลิเมตร และ  $\Phi = 0.47$  ที่  $X_{PB} = 0$  มม พบร่วมกันว่า เมื่อเพิ่มอัตราการป้อนเชื้อเพลิง (FR) จาก 5 จนถึง 9 kW โครงสร้างอุณหภูมิมีแนวโน้มยกตัวสูงขึ้นตามลำดับ ทั้งนี้เป็นเพราะพลังงานที่จ่ายเข้าไปในห้องเผาไหม้เพิ่มมากขึ้น ซึ่งเป็นไปตามทฤษฎี อย่างไรก็ตามการหาค่า Turn-down ratio ที่กล่าวมาข้างต้นนั้น ยังไม่สามารถหาค่าที่แท้จริงได้เนื่องจากมีข้อจำกัดด้านเครื่องมือวัดขณะที่หัวเผาจะสามารถทำงานได้ที่อัตราการป้อนเชื้อเพลิงสูงกว่านี้



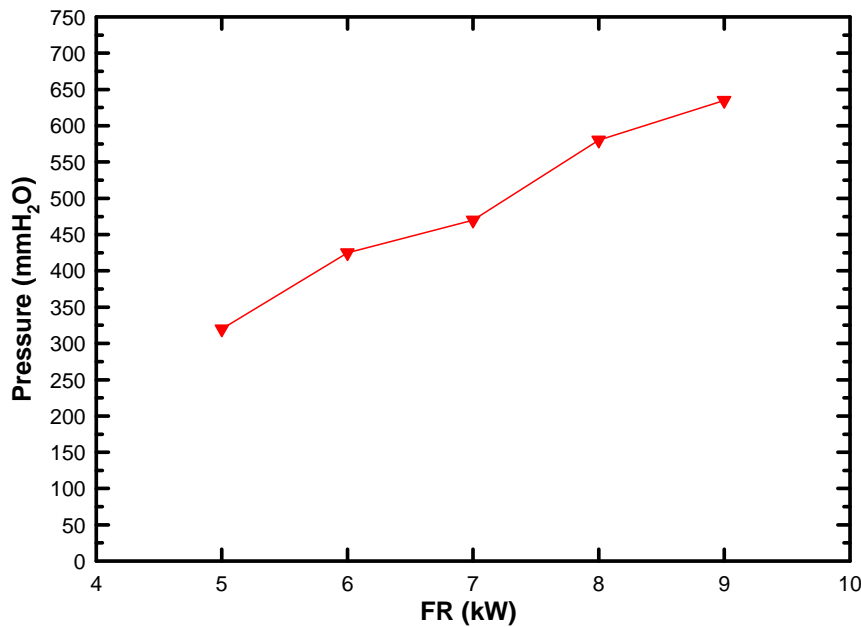
รูปที่ 5.2.12 แสดงอิทธิพลของค่า Firing rate ของ การปลดปล่อยมลพิษ ของกรณี  $X_{PB} = 0$  มิลิเมตร และ  $\Phi = 0.47$

จากรูปที่ 5.2.12 แสดงอิทธิพลของค่า Firing rate ของ การปลดปล่อยมลพิษ ของกรณี  $X_{PB} = 0$  มิลิเมตร และ  $\Phi = 0.47$  พบว่า การปรับเปลี่ยนอัตราการป้อนเชื้อเพลิงผลของการปลดปล่อยมลพิษเพียงเล็กน้อย โดยที่ CO และ NO<sub>x</sub> มีค่าประมาณ 30 ppm ซึ่งถือว่าเป็นหัวเผาที่มีการปลดปล่อยมลพิษต่ำมาก เมื่อเทียบกับอัตราการป้อนเชื้อเพลิงและอุณหภูมิการเผาใหม่ ทั้งนี้เนื่องมาจากการถูกควบคุมให้เกิดการเผาใหม่ที่  $X_{PB} = 0$  มิลิเมตร ซึ่งเป็นปัจจัยสำคัญที่ทำให้เกิดการหมุนวนในแนวรัศมีเพิ่มมากขึ้น [17] စอดคล้องกับอุณหภูมิในการและคาดว่าอาจจะเกิดการเผาใหม่แบบ staged combustion ร่วมด้วย ทำให้ thermal NOx ลดลง เช่นเดียวกับการปรับเปลี่ยนค่า  $\Phi$



รูปที่ 5.2.13 แสดงอิทธิพลของค่า Firing rate ของ อุณหภูมิการอุ่นอากาศ ของกรณี  $X_{PB} = 0$  มิลิเมตร และ  $\Phi=0.47$

จากรูปที่ รูปที่ 5.2.13 แสดงอิทธิพลของค่า  $\Phi$  ของอุณหภูมิการอุ่นอากาศ ที่  $FR = 5 \text{ kW}$  ของกรณี  $X_{PB} = 0$  มิลิเมตร ของเชื้อเพลิง LPG พบว่า การเพิ่ม FR 5 จนถึง 9 kW เป็นการลดปริมาณการจ่ายอากาศ ทำให้อุณหภูมิเพิ่มสูงขึ้น ขณะที่อุณหภูมิก่อนเข้าระบบ preheat ( $T_{15}$ ) ประมาณ 40 องศาเซลเซียส เมื่อผ่านระบบ preheat และ ( $T_{16}$ ) ได้รับความร้อนจากระบบอุ่นอากาศ ทำให้ได้อุณหภูมิสูงถึง ประมาณ 230 องศาเซลเซียส และจะป้อนเข้าห้องเผาใหม่ ( $T_{17}$ ) ด้วยอุณหภูมิประมาณ 230 องศาเซลเซียส

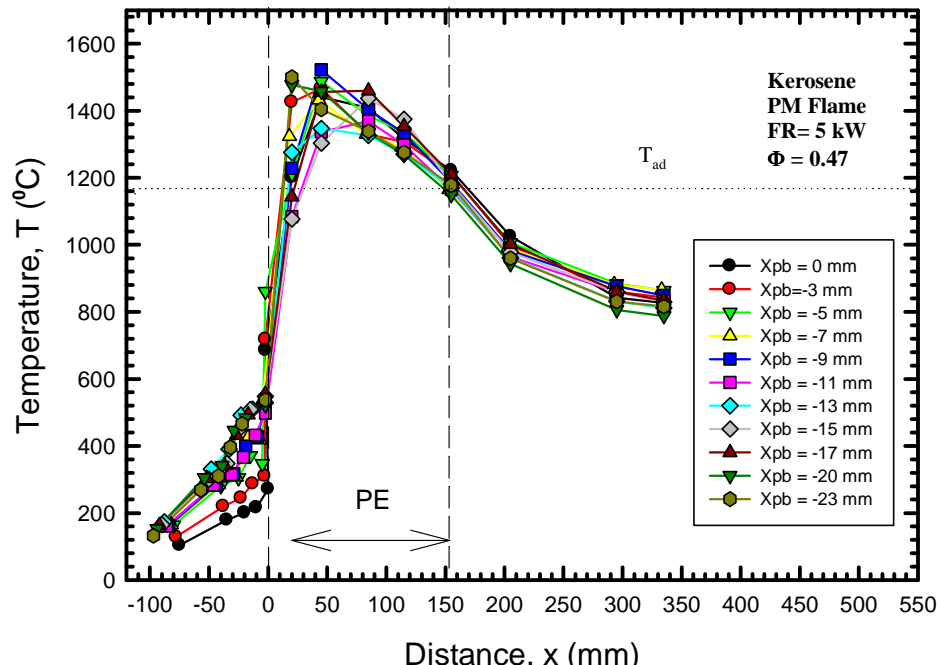


รูปที่ 5.2.14 แสดงอิทธิพลของค่า Firing rate ของความดันในห้องเผาไนมี ของกรณี  $X_{PB} = 0$  มิลิเมตร และ  $\Phi = 0.47$

จากรูปที่ 5.2.14 แสดงอิทธิพลของค่า Firing rate ของความดันในห้องเผาไนมี กรณี  $X_{PB} = 0$  มิลิเมตร และ  $\Phi = 0.47$  เมื่อทำการเพิ่มอัตราการป้อนเชื้อเพลิงจาก 5 จนถึง 9 kW ส่งผลให้ความดันภายในห้องเผาไนมีเพิ่มขึ้นจาก 300 mm H<sub>2</sub>O จนถึง 650 mm H<sub>2</sub>O อย่างรวดเร็วทั้งนี้เนื่องจากการเพิ่มการเพิ่มอัตราการป้อนเชื้อเพลิงเป็นการเพิ่มอัตราการไหลของที่ปริมาตรของห้องเผาไนมีคงที่ รวมถึงความดันที่เพิ่มขึ้นจากการเผาไนมีที่เพิ่มขึ้นด้วย

## 5.2.2 เชื้อเพลิง Kerosene

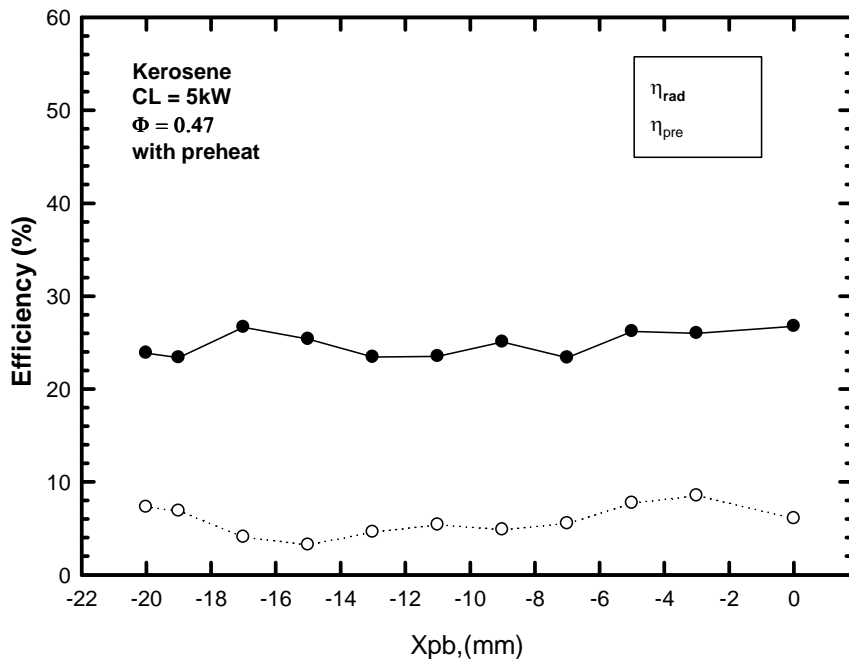
### 5.2.2.1 อิทธิพลของระยะ $X_{PB}$ ของเชื้อเพลิง Kerosene



รูป 5.2.15 แสดงอิทธิพลของระยะ  $X_{PB}$  ของโกรงสร้างอุณหภูมิในห้องเผา ใหม่ที่  $FR = 5 \text{ kW}$  และ  $\Phi = 0.47$  กรณี PM Flame ของเชื้อเพลิง Kerosene

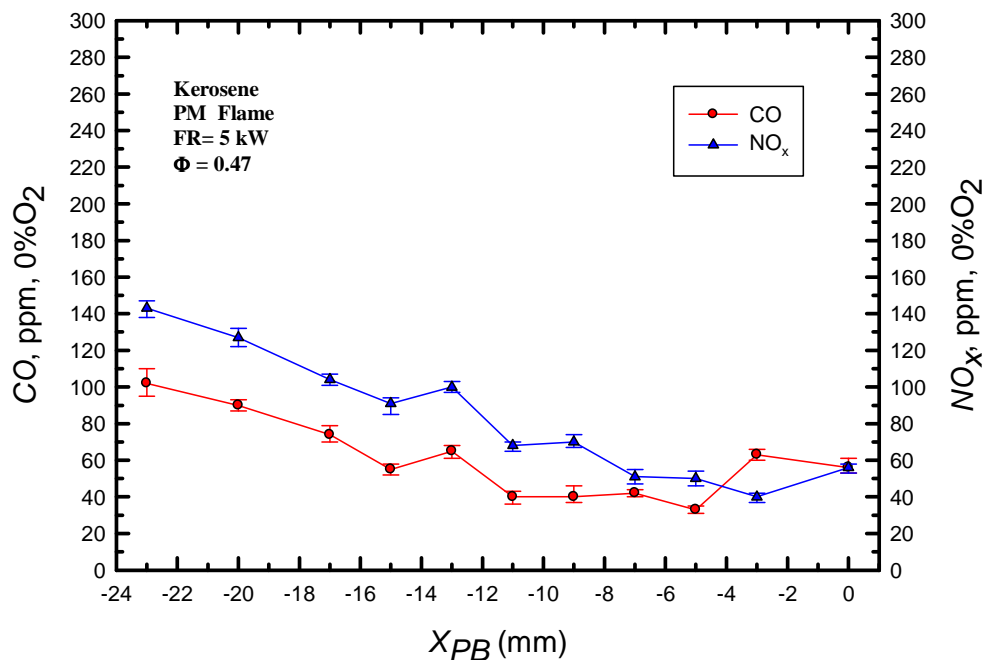
จากรูปที่ 5.2.15 พบร้า จากการเพิ่มระยะ  $X_{PB}$  จาก-20 จนถึง 0 มิลิเมตร พบร้า ในกรณี  $X_{PB} = -20$  มิลิเมตร ตำแหน่งอุณหภูมิการเผาใหม่สูงสุด (peak temperature) ประมาณ 1550 องศาเซลเซียส ที่เป็นตัวแทนตำแหน่งปลายไฟเกิดทางด้าน upstream และอุณหภูมิลดลงตามแนวแกนเตา ส่วนเมื่อเพิ่มระยะ  $X_{PB}$  โกรงสร้างอุณหภูมิมีแนวโน้มแบบรากนากขึ้น ขณะเดียวกันปลายไฟจะย้ายไปทางด้านท้ายน้า เพิ่มมากขึ้น ซึ่งโดยปกติของการเผาใหม่จะต้องมีระยะเวลาในการผสมของไออดี (mixing time) ก่อนเกิดปฏิกิริยาการเผาใหม่ ในขณะที่เวลาการผสมของไออดีเท่าเดิม ดังนั้นการเพิ่มระยะ  $X_{PB}$  ซึ่งเป็นการย้ายตำแหน่งการจ่ายเชื้อเพลิงทำให้ปลายไฟย้ายตามไปด้วย แต่สัมประสิทธิ์การแพร่ของ kerosene ในอากาศมีค่าต่ำ [Yaws] ซึ่งไม่ส่งให้ตำแหน่งของปลายไฟเปลี่ยนแปลงไม่มากนัก อย่างไรก็ตามปลายไฟได้เข้าไปติดในภายในวัสดุพูรุน PE ทั้งหมด (matrix stabilize flame) ซึ่งเป็นที่พึงประสงค์ของหัวเผาวัสดุพูรุน และเมื่อเปรียบเทียบกับอุณหภูมิการเผาใหม่ทั่วทุกภูมิที่ 1200 องศาเซลเซียส ถือว่าหัวเผาวัสดุพูรุนนี้ให้อุณหภูมิการเผาใหม่สูงกว่ามากทุกกรณี ทั้งนี้เนื่องจากการผลของ

การมีวัสดุพื้น PE ช่วยในการหมุนเวียนความร้อนด้านไอเสียมาสู่ไอเดียร์บองเนื่อง รวมถึงมีการอุ่นอากาศและเชื้อเพลิงก่อนการเผาใหม่ เช่นเดียวกับเชื้อเพลิง LPG



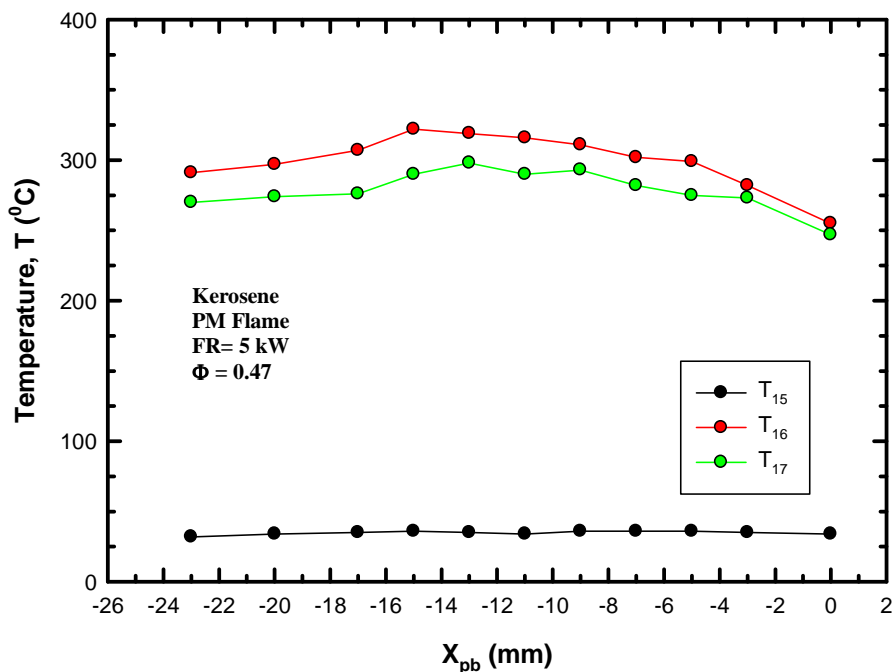
รูปที่ 5.2.16 แสดงอิทธิพลของระยะ  $X_{PB}$  ที่มีของประสิทธิภาพในการแผ่รังสีความร้อน และประสิทธิภาพในการอุ่นเชื้อเพลิง ที่  $FR = 5 \text{ kW}$  และ  $\Phi = 0.47$  ของเชื้อเพลิง Kerosene

จากรูปที่ 5.2.16 แสดงอิทธิพลของระยะ  $X_{PB}$  ที่มีของประสิทธิภาพในการแผ่รังสีความร้อน และประสิทธิภาพในการอุ่นเชื้อเพลิง ที่  $FR = 5 \text{ kW}$  และ  $\Phi = 0.47$  ของเชื้อเพลิง Kerosene โดยประสิทธิภาพในการแผ่รังสีความร้อน เป็นอัตราส่วนระหว่างพลังงานความร้อนที่แผ่รังสีออกมาทางด้าน ท้ายน้ำ (เป็นส่วนที่นำໄปใช้ประโยชน์ในการให้ความร้อนกับภาระทางความร้อน) กับ พลังงานของเชื้อเพลิงที่ป้อนเข้าไป พบว่าเมื่อ  $X_{PB}$  ทำให้ประสิทธิภาพในการแผ่รังสีความร้อนอยู่ในช่วง 24-26% เพราะ ตำแหน่งของเปลาไฟเลื่อนเข้าไปติดในวัสดุพื้น PE ซึ่งเข้าใกล้บริเวณผิวล่างมากขึ้นเพียงเล็กน้อย ขณะที่ ประสิทธิภาพในการอุ่นเชื้อเพลิง ซึ่งเป็นอัตราส่วนระหว่างพลังงานความร้อนที่อุ่นเชื้อเพลิง (คิดที่ผิวล่างของ PB) ของพลังงานของเชื้อเพลิงที่ป้อนเข้า เพื่อนำໄปใช้ในการอุ่นเชื้อเพลิงอยู่ในช่วง 2- 8%



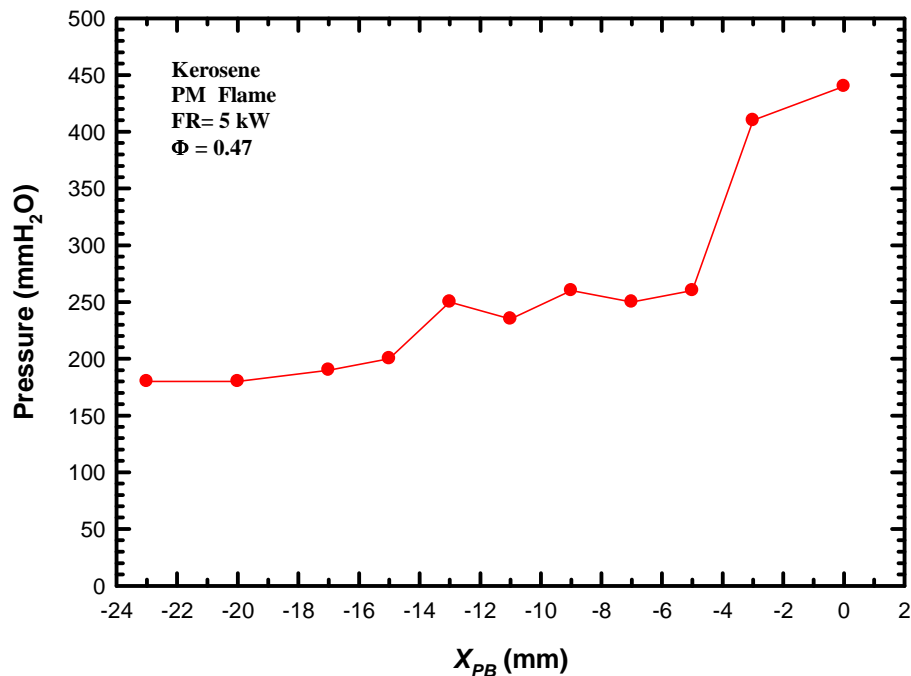
รูปที่ 5.2.17 แสดงอิทธิพลของ  $X_{PB}$  ของการปลดปล่อย CO และ NO<sub>x</sub> ที่  $FR = 5 \text{ kW}$  และ  $\Phi = 0.47$  โดยทำการแก้ไขค่าให้มากย于 0 % O<sub>2</sub> ของเชื้อเพลิง Kerosene

จากรูปที่ 5.2.17 แสดงอิทธิพลของ  $X_{PB}$  ของการปลดปล่อยมลพิษ (องคชาเซลเซียสO และ NO<sub>x</sub>) ที่  $FR = 5 \text{ kW}$  และ  $\Phi = 0.47$  โดยทำการแก้ไขค่าให้มากย于 0 % O<sub>2</sub> พบว่า หัวเผาปลดปล่อยมลพิษสูงสุดที่และ การปลดปล่อยมลพิษจะลดลงตาม  $X_{PB}$  โดยที่  $X_{PB} = 0$  มิลิเมตร ปลดปล่อยมลพิษต่ำที่สุดโดยที่ CO มีค่าประมาณ 40 ppm สาเหตุเนื่องจาก การเพิ่มระยะ  $X_{PB}$  ส่งผลให้เกิดการหมุนวนในแนวรัศมีเพิ่มมากขึ้น [17] ไอเดียจึงมีเวลาในการเผาใหม่เพิ่มสูงขึ้นตามไปด้วย และ NO<sub>x</sub> มีค่าต่ำประมาณ 60 ppm คาดว่า น่าจะเกิดจากอุณหภูมิการเผาใหม่ต่อลงจากการบังคับให้เผาใหม่แบบ staged combustion รวมถึงการสูญเสียความร้อนจากการแผรังสีทึ้งสู่สิ่งแวดล้อมมากขึ้น ทำให้ thermal NO<sub>x</sub> ลดลง



รูปที่ 5.2.18 แสดงอิทธิพลของระยะ  $X_{PB}$  ของอุณหภูมิการอุ่นอากาศ ที่  $FR = 5 \text{ kW}$  และ  $\Phi = 0.47$  ของเชื้อเพลิง Kerosene

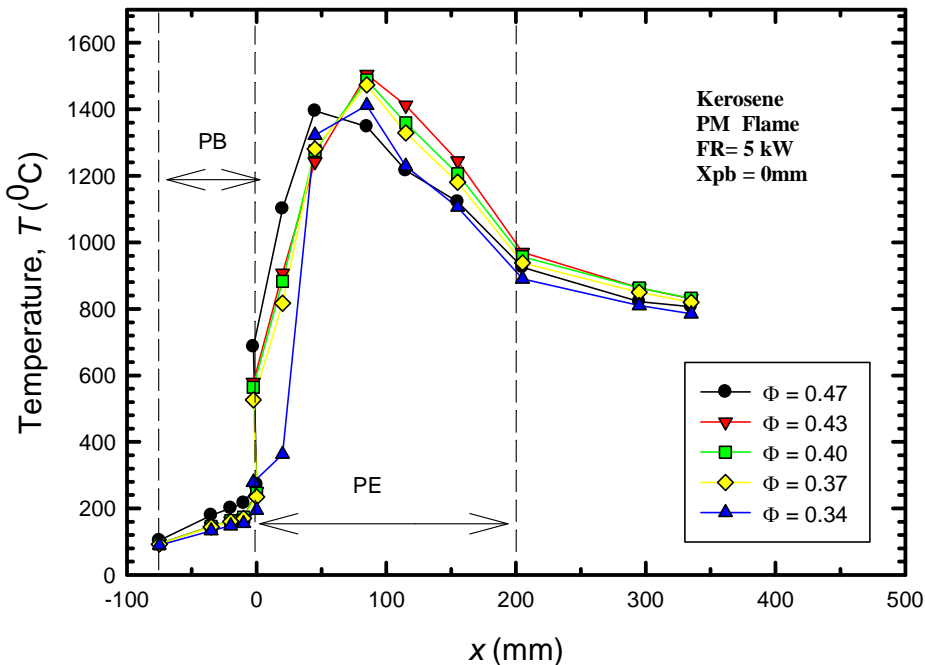
รูปที่ 5.2.18 แสดงอิทธิพลของระยะ  $X_{PB}$  ของอุณหภูมิการอุ่นอากาศ ที่  $FR = 5 \text{ kW}$  และ  $\Phi = 0.47$  ของกรณีเปลวไฟแบบอิสระ พบว่า อุณหภูมิก่อนเข้าระบบ preheat ( $T_{15}$ ) ประมาณ  $40^{\circ}\text{C}$  ของเชลเซียส เมื่อผ่านระบบ preheat แล้ว ( $T_{16}$ ) ได้รับความร้อนจากบริเวณรอบๆ เตา ทำให้ได้อุณหภูมิสูงถึงประมาณ 300 องศาเซลเซียส และจะป้อนเข้าสู่ห้องเผาใหม่ ( $T_{17}$ ) ด้วยอุณหภูมิประมาณ 280 องศาเซลเซียส เนื่องจากเปลวไฟเลื่อนไปด้านท้ายน้ำ เล็กน้อยซึ่งห่างจากบริเวณอุ่นอากาศ และมีการแผ่รังสีความร้อนทิ้งสู่สิ่งแวดล้อมมากขึ้น ซึ่งแสดงอุณหภูมิในกราฟโกรงสร้างทางความร้อนข้างต้น



รูปที่ 5.2.19 แสดงอิทธิพลของระยะ  $X_{PB}$  ของความดันในห้องเผาไหม้ ที่  $FR = 5 \text{ kW}$  และ  $\Phi = 0.47$  ของเชื้อเพลิง Kerosene

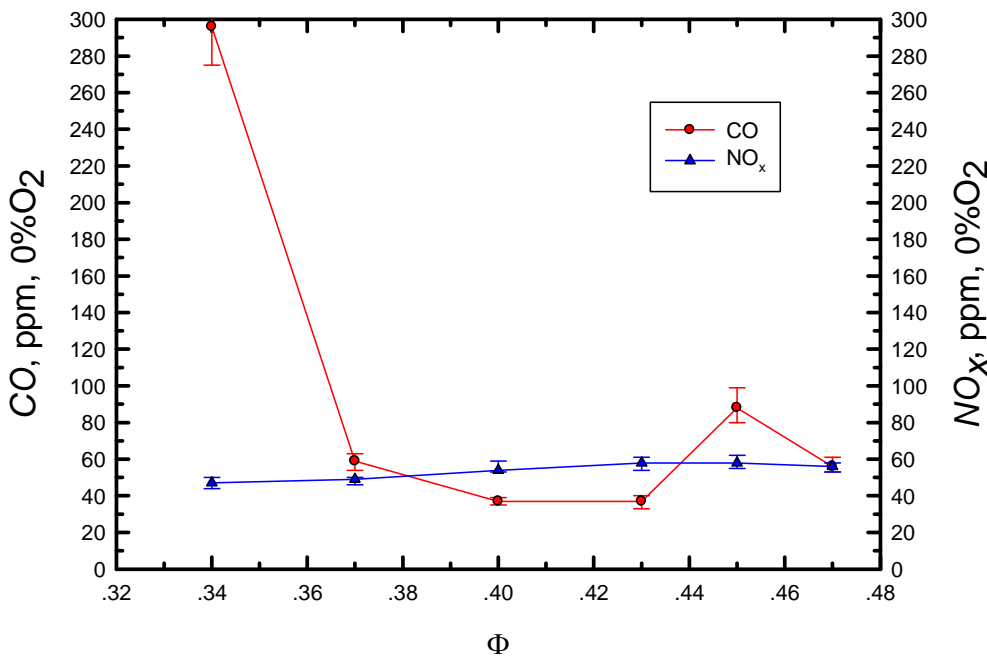
จากรูปที่ 5.2.19 แสดงอิทธิพลของระยะ  $X_{PB}$  ของความดันในห้องเผาไหม้ ที่  $FR = 5 \text{ kW}$  และ  $\Phi = 0.47$  พบว่าพบว่า การเพิ่มระยะ  $X_{PB}$  มีผลของความดันในห้องเผาไหม้ โดยที่ระยะ  $X_{PB} = -20 \text{ มิลิเมตร}$  มีค่า 1 ค. 0 mm H<sub>2</sub>O จากนั้นจะสูงขึ้นตามระยะ  $X_{PB}$  ที่เพิ่มมากขึ้นและสูงสุดที่ระยะ  $X_{PB} = 0 \text{ มิลิเมตร}$  มีค่า 470 mm H<sub>2</sub>O เนื่องจากการเพิ่มระยะ  $X_{PB}$  เป็นการลดปริมาตรของห้องเผาไหม้ลงในขณะที่อัตราการไอล ของไอดีเท่าเดิม

### 5.2.2.2 อิทธิพลของค่า $\Phi$ ของเชื้อเพลิง Kerosene



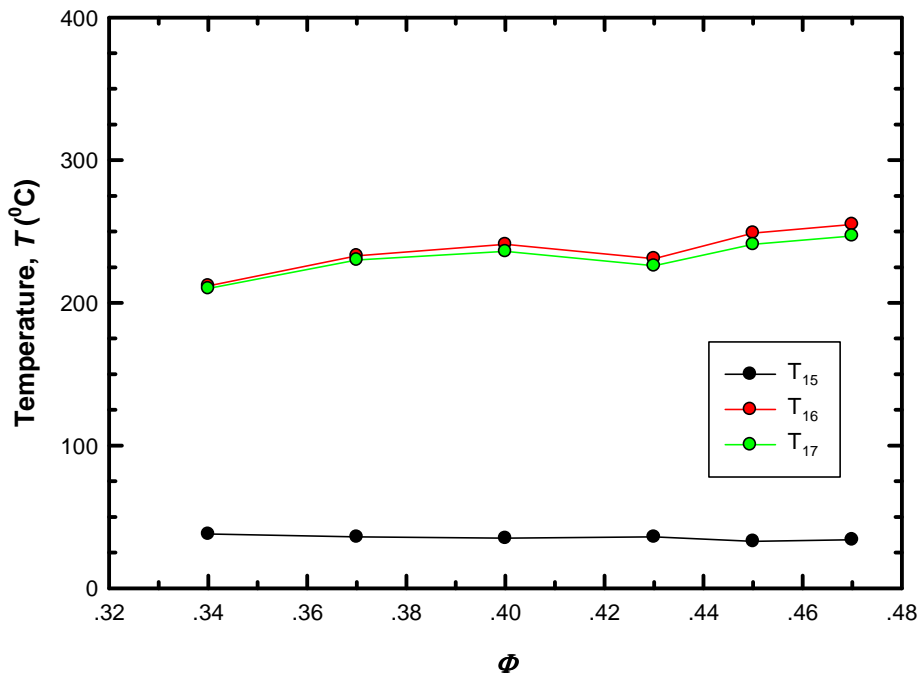
รูปที่ 5.2.20 แสดงอิทธิพล  $\Phi$  ของอุณหภูมิในห้องเผาใหม่ ที่  $FR = 5 \text{ kW}$  และ  $X_{PB} = 0 \text{ มิลิเมตร}$  ของเชื้อเพลิง Kerosene

ความสามารถของหัวเผาว่ามีสมรรถนะเผาไหม้เชื้อเพลิงส่วนผสมได้เข้มข้นหรือเจือจางมากน้อยเพียงใดสามารถได้จากการปรับเปลี่ยนค่า  $\Phi$  จากรูปที่ 5.2.21 แสดงอิทธิพลของ  $\Phi$  ของอุณหภูมิการเผาไหม้ที่  $FR = 5 \text{ kW}$  ของกรณี  $X_{PB} = 0 \text{ mm}$  พบว่า การเพิ่มค่า  $\Phi$  จาก 0.34-0.43 โครงสร้างอุณหภูมิมีแนวโน้มสูงเพิ่มขึ้นตามค่า  $\Phi$  ที่เพิ่มมากขึ้นซึ่งเป็นไปตามทฤษฎี ขณะที่ค่า  $\Phi = 0.47$  อาจจะเป็นช่วงเริ่มเข้าใกล้ขอบเขตการเผาไหม้การผสมระหว่างเชื้อเพลิงกับอากาศเริ่มแยกส่งผลให้อุณหภูมิตำลง



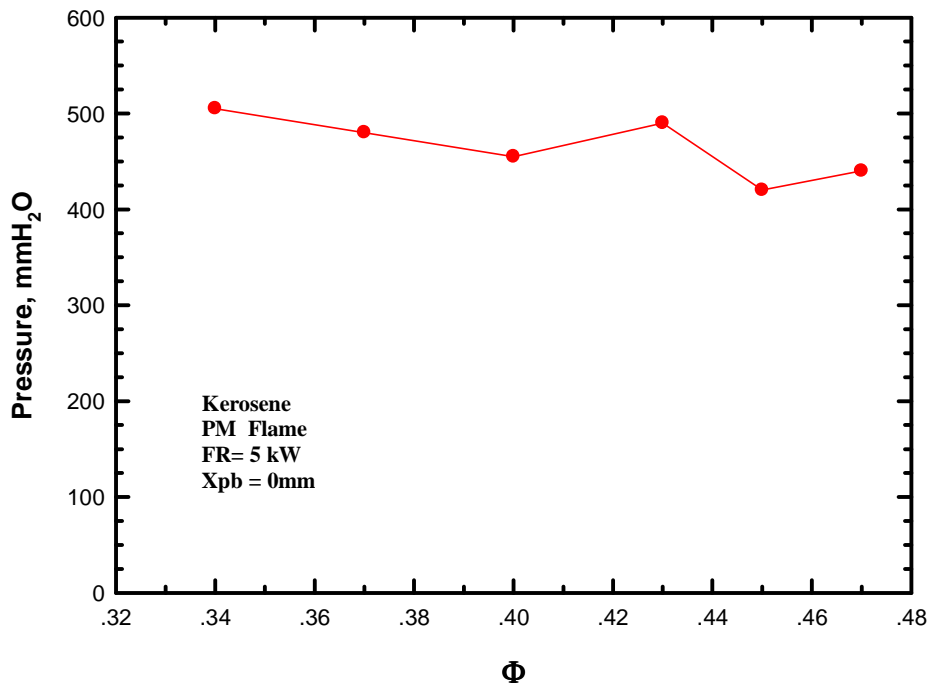
รูปที่ 5.2.21 แสดงอิทธิพล  $\Phi$  ของการปลดปล่อยมลพิษ ที่  $FR = 5 \text{ kW}$  และ  $X_{PB} = 0$  มิลิเมตรของเชื้อเพลิง Kerosene

จากรูปที่ 5.2.21 แสดงอิทธิพลของค่า  $\Phi$  ของ CO และ NO<sub>x</sub> ที่  $FR = 5 \text{ kW}$  ของกรณี  $X_{PB} = 0$  มิลิเมตร พบว่า อัตราการปลดปล่อยมลพิษทั้ง CO และ NO<sub>x</sub> ต่ำมาก และแก่วงตัวอยู่ในช่วงแคบๆ คือ NO<sub>x</sub> อยู่ในช่วง 50-60 ppm และ CO ประมาณ 30-60 ppm เพราะถูกควบคุมให้เกิดการเผาไหม้ที่  $X_{PB} = 0$  มิลิเมตร เกิดการหมุนวนในแนวแกนเพิ่มมากขึ้น [17] ไอเดียจึงมีเวลาในการเผาไหม้เพิ่มมากขึ้นตามไปด้วย รวมถึงผลของการการสูญเสียความร้อนจากการแผ่รังสีทั้งสูงสิ่งแวดล้อมมากขึ้น ตลอดลักษณะของการเผาไหม้แบบ staged combustion ร่วมด้วย ทำให้ thermal NO<sub>x</sub> ลดลง ขณะย่างไรก็ตามหัวเผานี้ควรหลีกเลี่ยงการทำงานที่  $\Phi < 0.34$  ซึ่งมีค่า 490 ppm และ  $\Phi > 0.47$  ซึ่งมีค่าเพิ่มขึ้นอย่างรวดเร็ว เช่นเดียวกับเชื้อเพลิง LPG



รูปที่ 5.2.22 แสดงอิทธิพลของค่า  $\Phi$  ต่ออุณหภูมิการอุ่นอากาศ ที่  $FR = 5 \text{ kW}$  ของกรณี  $X_{PB} = 0$  มิลิเมตร ของเชื้อเพลิง Kerosene

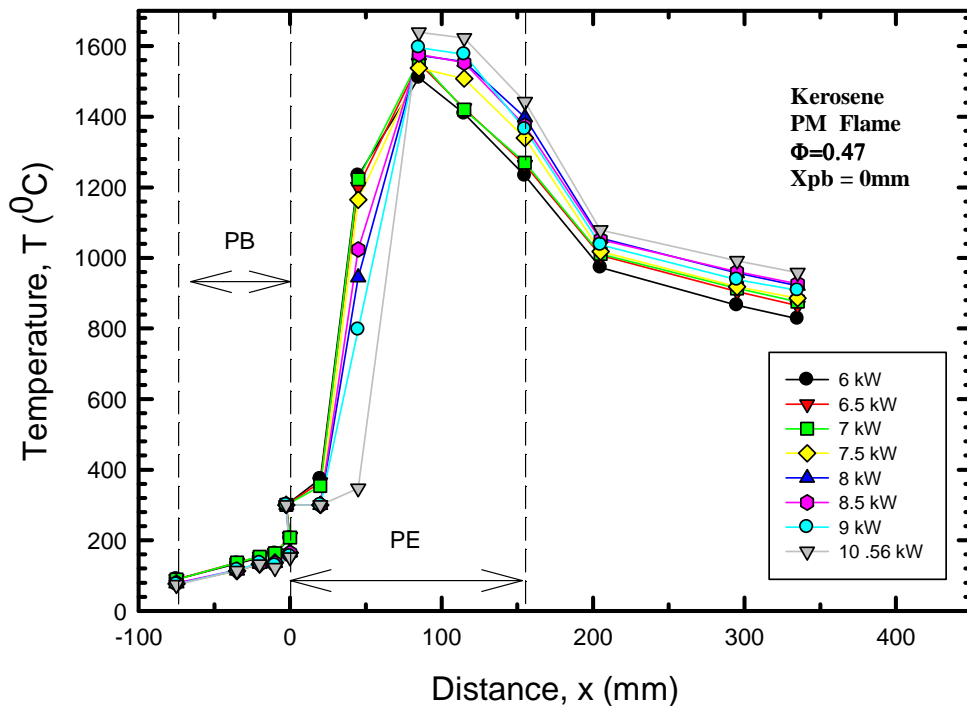
จากรูปที่ รูปที่ 5.2.22 แสดงอิทธิพลของค่า  $\Phi$  ของอุณหภูมิการอุ่นอากาศ ที่  $FR = 5 \text{ kW}$  ของกรณี  $X_{PB} = 0$  มิลิเมตรรูปที่ พนว่า การเพิ่มค่า  $\Phi$  จาก 0.34 จนถึง 0.47 เป็นการลดปริมาณการจ่ายอากาศ ทำให้อุณหภูมิเพิ่มสูงขึ้น ขณะที่อุณหภูมิก่อนเข้าระบบ preheat ( $T_{15}$ ) ประมาณ 35 องศาเซลเซียส เมื่อผ่านระบบ preheat แล้ว( $T_{16}$ ) ได้รับความร้อนจากระบบอุ่นอากาศ ทำให้ได้อุณหภูมิสูงถึง ประมาณ 220 องศาเซลเซียส และจะป้อนเข้าห้องเผาไหม้( $T_{17}$ )ด้วยอุณหภูมิประมาณ 220 องศาเซลเซียส



รูปที่ 5.2.23 แสดงอิทธิพลของค่า  $\Phi$  ของ ความดันในห้องเผาใหม่ ที่  $FR = 5 \text{ kW}$  ของกรณี  $X_{PB} = 0$  มิลิเมตร ของเชื้อเพลิง Kerosene

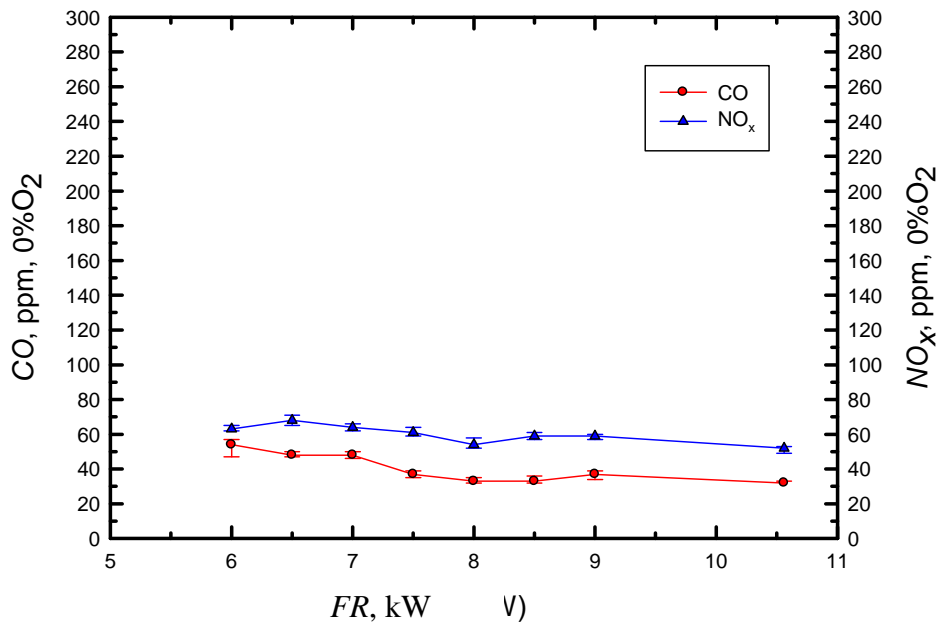
จากรูปที่ 5.2.23 แสดงอิทธิพลของค่า  $\Phi$  ของ ความดันในห้องเผาใหม่ ที่  $FR = 5 \text{ kW}$  ของกรณี  $X_{PB} = 0$  มิลิเมตร พบว่า ความดันในห้องเผาใหม่มีค่าสูงสุดที่ค่า  $\Phi = 0.34$  มีค่า 520 mm H<sub>2</sub>O เนื่องจากเป็นกรณีที่มีการจ่ายอากาศเข้าห้องเผาใหม่ปริมาณสูงสุดจากนั้นความดันในห้องเผาใหม่จะลดลงตามปริมาณอากาศที่ป้อนเข้าห้องเผาใหม่ลดลงซึ่งหมายถึงค่า  $\Phi$  ที่ลดลง และต่ำสุดที่ 460 mmH<sub>2</sub>O ที่  $\Phi = 0.37$  โดยที่ ปริมาณการจ่ายเชื้อเพลิงเท่ากันทุกกรณี

### 5.2.2.3 อิทธิพลของค่า Firing rate ของเชื้อเพลิง Kerosene



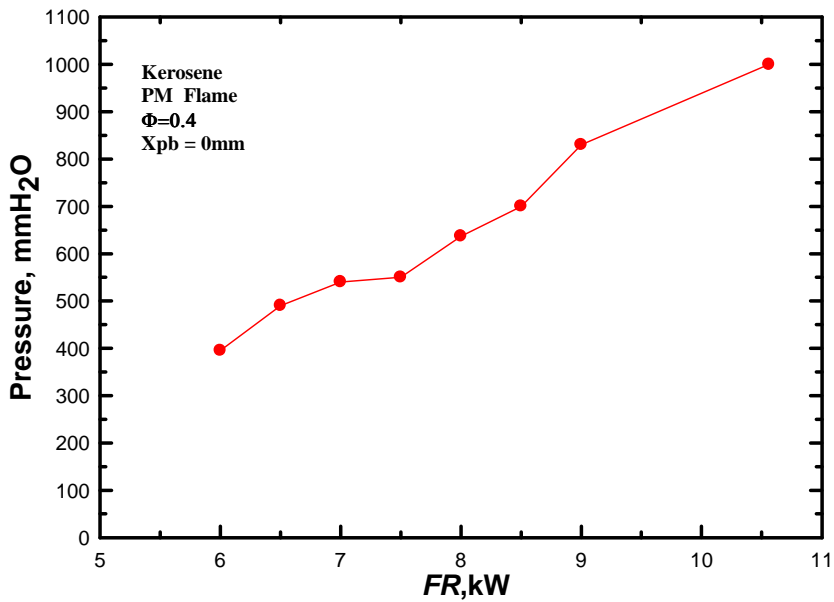
รูปที่ 6.24 แสดงอิทธิพลของ Firing rate ของโครงสร้างอุณหภูมิในห้องเผาไหม์ที่  $X_{PB} = 0$  มิลิเมตร และ  $\Phi = 0.47$  ของเชื้อเพลิง Kerosene

จากรูปที่ 5.2.24 แสดงอิทธิพลของ Firing rate ต่อโครงสร้างอุณหภูมิในห้องเผาไหม์ที่  $X_{PB} = 0$  มิลิเมตร และ  $\Phi = 0.47$  ที่  $X_{PB} = 0$  มิลิเมตร. พบว่า เมื่อเพิ่มอัตราการป้อนเชื้อเพลิง (FR) จาก 5 จนถึง 10.56 kW โครงสร้างอุณหภูมิมีแนวโน้มยกตัวสูงขึ้นตามลำดับ ทั้งนี้เป็นเพราะพลังงานที่จ่ายเข้าไปในห้องเผาไหม์เพิ่มมากขึ้น ซึ่งเป็นไปตามทฤษฎี อย่างไรก็ตามการหาค่า Turn-down ratio ที่กล่าวมา ข้างต้นนั้นยังไม่สามารถหาค่าที่แท้จริงได้เนื่องจากมีข้อจำกัดด้านเครื่องมือวัดขณะที่หัวเผาบังสามารถทำงานได้ที่อัตราการป้อนเชื้อเพลิงสูงกว่านี้ เช่นเดียวกับเชื้อเพลิง LPG



รูปที่ 5.2.25 แสดงอิทธิพลของค่า Firing rate ของการปลดปล่อยมลพิษ ของกรณี  $X_{PB} = 0$  มิลิเมตร และ  $\Phi = 0.47$  ของเชื้อเพลิง Kerosene

จากรูปที่ 5.2.17 แสดงอิทธิพลของค่า Firing rate ของการปลดปล่อยมลพิษ ของกรณี  $X_{PB} = 0$  มิลิเมตร และ  $\Phi = 0.47$  พบว่า การปรับเปลี่ยนอัตราการป้อนเชื้อเพลิงผลของการปลดปล่อยมลพิษเพียงเล็กน้อย โดยที่ CO มีค่าประมาณ 40-60 ppm และ NO<sub>x</sub> มีค่าประมาณ 70 ppm ซึ่งถือว่าเป็นหัวเผาที่มีการปลดปล่อยมลพิษต่ำมาก เมื่อเทียบกับอัตราการป้อนเชื้อเพลิงและอุณหภูมิการเผาใหม่ ทั้งนี้เนื่องมาจากการควบคุมให้เกิดการเผาใหม่ที่  $X_{PB} = 0$  มิลิเมตรซึ่งเป็นปัจจัยสำคัญที่ทำให้เกิดการหมุนวนในแนวรัศมีเพิ่มมากขึ้น [17] ไอเดียจึงมีเวลาในการเผาใหม่เพิ่มมากขึ้นตามไปด้วย รวมถึงผลของการสูญเสียความร้อนจากการแผ่รังสีทิ้งสู่สิ่งแวดล้อมมากขึ้น สอดคล้องกับอุณหภูมิในการและคาดว่าอาจจะเกิดการเผาใหม่แบบ staged combustion ร่วมด้วย ทำให้ thermal NO<sub>x</sub> ลดลง

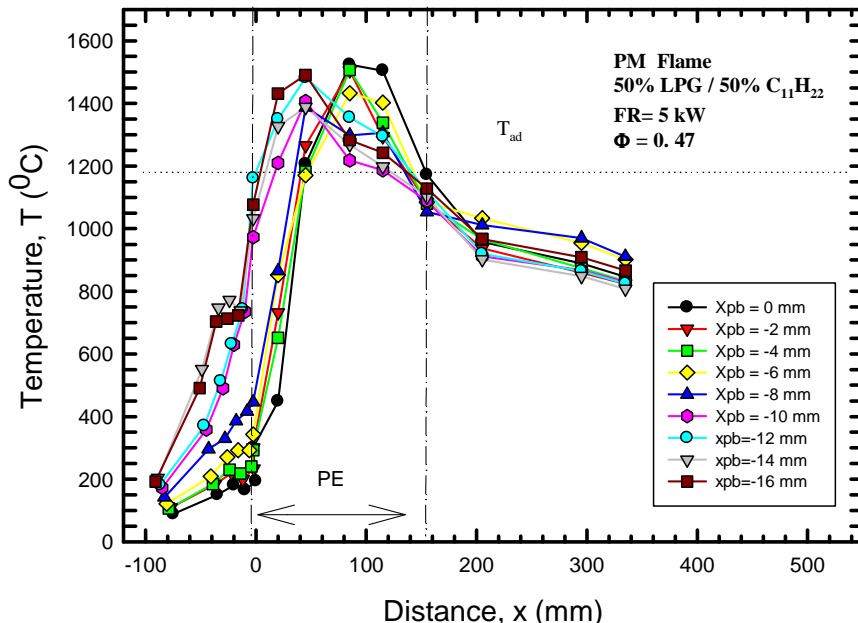


รูปที่ 5.2.26 แสดงอิทธิพลของค่า Firing rate ต่อความดันในห้องเผาไหม์ ของกรณี  $X_{PB} = 0$  มิลิเมตร และ  $\Phi=0.47$  ของเชื้อเพลิง Kerosene

จากรูปที่ 5.2.26 แสดงอิทธิพลของค่า Firing rate ต่อความดันในห้องเผาไหม์ ของกรณี  $X_{PB} = 0$  มิลิเมตร และ  $\Phi=0.47$  เมื่อ ทำการเพิ่มอัตราการป้อนเชื้อเพลิงจาก 5 จนถึง 9 kW ส่งผลให้ความดันภายในห้องเผาไหม์เพิ่มขึ้นจาก 400 mm H<sub>2</sub>O จนถึง 1000 mm H<sub>2</sub>O เนื่องจากเชื้อเพลิงเหลวเวลาเกิดการเผาไหม์จะมีความดันไอเพิ่มมากขึ้นด้วย รวมถึงการขยายตัวของเชื้อเพลิงจากของเหลวเป็นสถานะแก๊สจะมีปริมาตรเพิ่มขึ้นประมาณ 1000 เท่า [20] ขณะที่การเพิ่มอัตราการป้อนเชื้อเพลิงเป็นการเพิ่มอัตราการไหลของห้องเผาไหม์คงที่

### 5.2.3 Mixed Fuel (50% LPG/50% องค์ประกอบเชื้อเพลิง $C_{11}H_{22}$ )

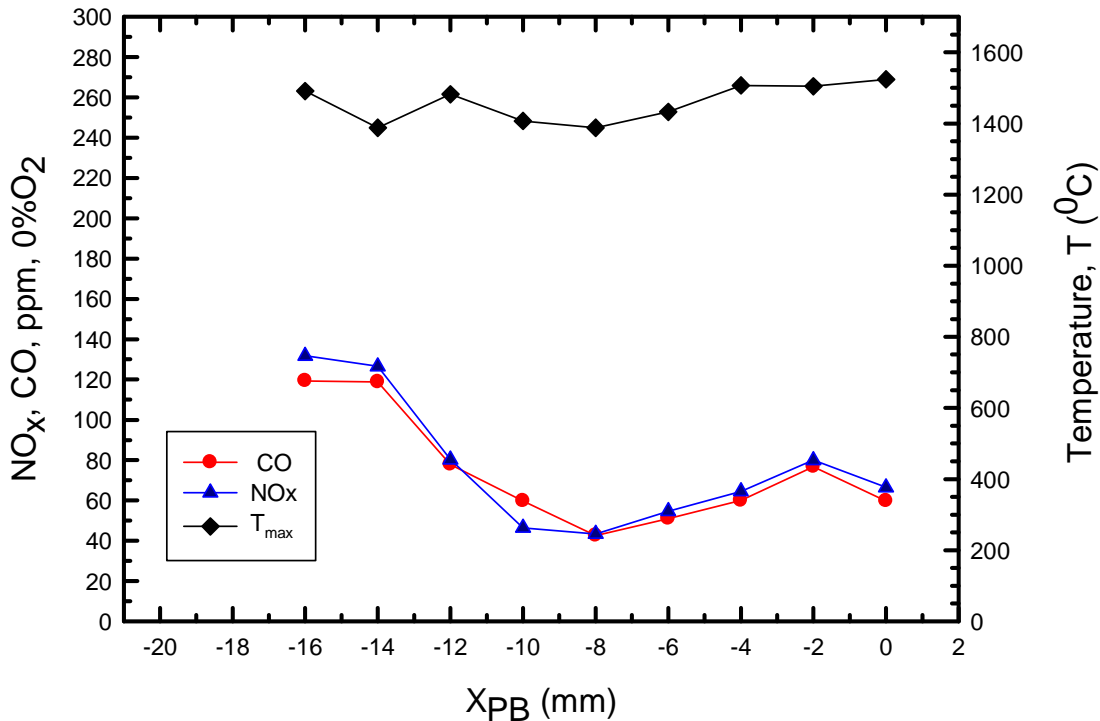
#### 5.2.3.1 อิทธิพลของระดับ $X_{PB}$ ของเชื้อเพลิง Mixed Fuel (50% LPG/50% $C_{11}H_{22}$ )



รูปที่ 5.2.27 แสดงอิทธิพลของระดับ  $X_{PB}$  ของอุณหภูมิในห้องเผาไหม้ที่  $FR = 5 \text{ kW}$  และ  $\Phi = 0.47$  ของเชื้อเพลิง Mixed Fuel (50% LPG/50%  $C_{11}H_{22}$ )

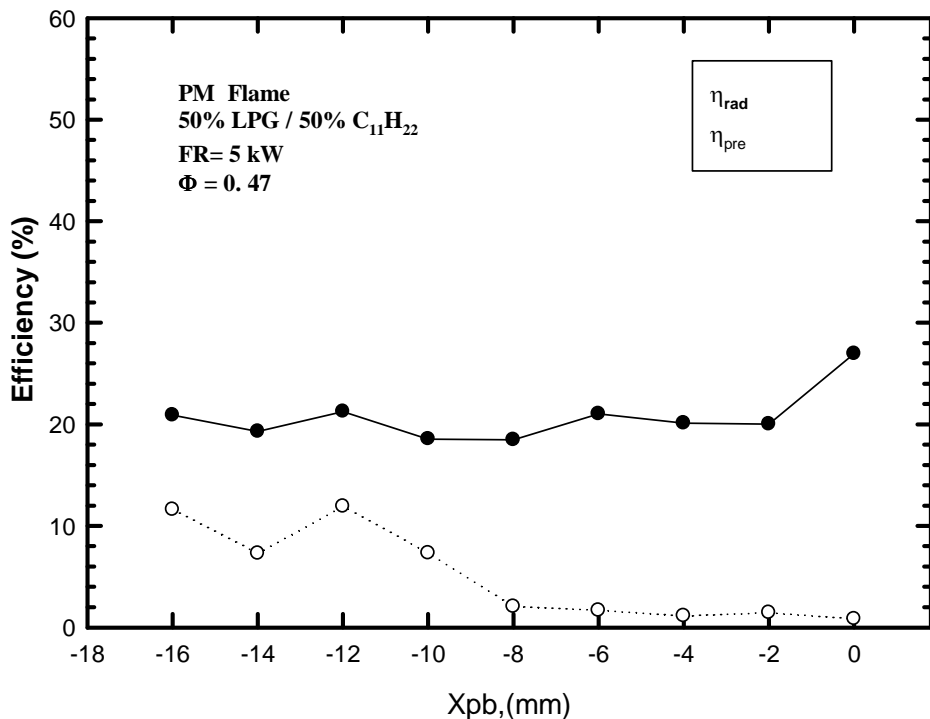
จากรูปที่ 5.2.27 พบร่วมจากการเพิ่มระดับ  $X_{PB}$  จาก 16 จนถึง 0 มิลิเมตร พบว่า สามารถแบ่งโครงสร้างเป็น 2 กลุ่ม กลุ่มแรกคือ  $X_{PB}$  จาก 16 จนถึง -8 มิลิเมตร ตำแหน่งอุณหภูมิการเผาไหม้สูงสุด (peak temperature) ที่เป็นตัวแทนตำแหน่งเป็นไฟเกิด ทางด้าน upstream และอุณหภูมิลดลงตามแนวแกนเตา ส่วนกลุ่มที่ 2 คือ  $X_{PB}$  จาก -4 จนถึง 0 มิลิเมตร เป็นไฟจะย้ายไปทางด้านท้ายเตา เพิ่มมากขึ้น ซึ่งโดยปกติของการเผาไหม้จะต้องมีระยะเวลาในการผสมของไอดี (mixing time) ก่อนเกิดปฏิกิริยาการเผาไหม้ ในขณะที่ mixing time เท่าเดิม ดังนั้นการเพิ่มระดับ  $X_{PB}$  ซึ่งเป็นการย้ายตำแหน่งการจ่ายเชื้อเพลิงทำให้เป็นไฟย้ายตามไปด้วย อย่างไรก็ตามเป็นไฟได้เข้าไปติดในภายในวัสดุพูน PE ทั้งหมด (matrix stabilize flame) ซึ่งเป็นที่พึงประสงค์ของหัวเผาวัสดุพูน และเมื่อเปรียบเทียบกับอุณหภูมิการเผาไหม้ทางทฤษฎี 1200 องศาเซลเซียส ถือว่าหัวเผาวัสดุพูนนี้ให้อุณหภูมิการเผาไหม้สูงกว่ามากทุกรูป ทั้งนี้เนื่องจากการผลของการมีวัสดุพูน PE ช่วยในการ

หมุนเวียนความร้อนด้านไอเดียมากส์ ไอเดียร่างของเนื้องรวมถึงมีการอุ่นาอากาศและเชื้อเพลิงก่อนการเผาไหม้อีกด้วย



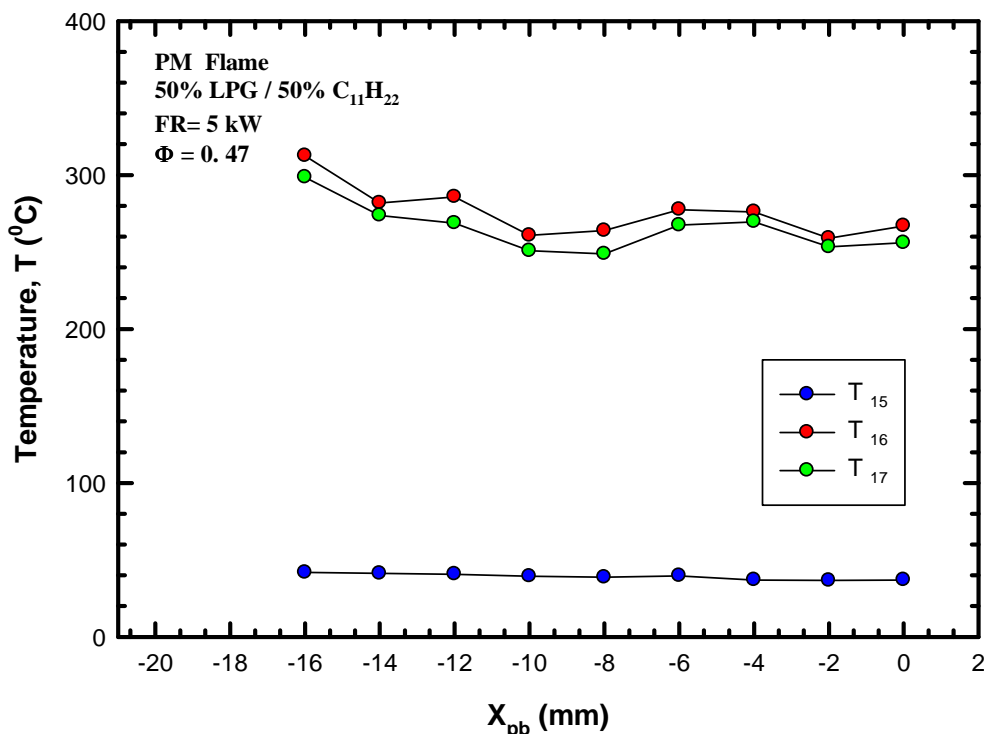
รูปที่ 5.2.28 แสดงอิทธิพลของ  $X_{PB}$  ของการปลดปล่อยมลพิษ ( $\text{CO}$  และ  $\text{NO}_x$ ) ที่  $FR = 5 \text{ kW}$  และ  $\Phi = 0.47$  ของเชื้อเพลิง Mixed Fuel (50% LPG/50% $\text{C}_{11}\text{H}_{22}$ ) โดยทำการแก้ไขค่าให้มากยุ่ง  $0\% \text{ O}_2$

จากรูปที่ 5.2.20 แสดงอิทธิพลของ  $X_{PB}$  ของการปลดปล่อยมลพิษ ( $\text{CO}$  และ  $\text{NO}_x$ ) ที่  $FR = 5 \text{ kW}$  และ  $\Phi = 0.47$  ของเชื้อเพลิง Mixed Fuel (50% LPG/50% $\text{C}_{11}\text{H}_{22}$ ) จากการเพิ่มระดับ  $X_{PB}$  จาก 16 จนถึง 0 มิลิเมตรพบว่า หัวเผามีแนวโน้มปลดปล่อยมลพิษสูงสุดที่และการปลดปล่อยมลพิษจะลดลงตาม  $X_{PB}$  ที่เพิ่มมากขึ้น ที่โดยที่  $X_{PB} = 0$  มิลิเมตร ปลดปล่อยมลพิษต่ำที่สุดโดยที่  $\text{CO}$  มีค่าประมาณ 60 ppm สาเหตุเนื่องจาก การเพิ่มระดับ  $X_{PB}$  ส่งผลให้เกิดการหมุนวนในแนวแกนเพิ่มมากขึ้น [17] ไอเดียจึงมีเวลาในการเผาไหม้เพิ่มมากขึ้นตามไปด้วย และ  $\text{NO}_x$  มีค่าต่ำประมาณ 60 ppm ขณะอุณหภูมิในการเผาไหม้ต่ำสูงสุดแทนไม่เปลี่ยนแปลง



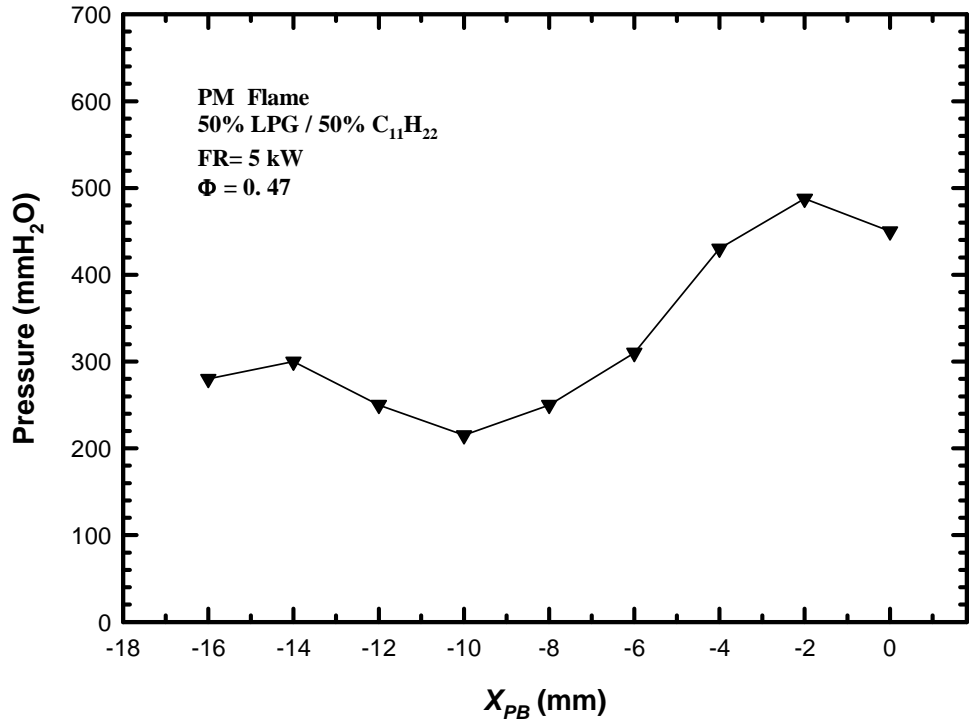
รูปที่ 5.2.29 แสดงอิทธิพลของระบบ  $X_{PB}$  ที่มีของประสิทธิภาพในการแปรรังสีความร้อน และประสิทธิภาพในการอุ่นเชื้อเพลิง ที่  $FR = 5 \text{ kW}$  และ  $\Phi = 0.47$  ของเชื้อเพลิง Mixed Fuel (50% LPG/50%C<sub>11</sub>H<sub>22</sub>)

จากรูปที่ 5.2.29 แสดงอิทธิพลของระบบ  $X_{PB}$  ที่มีของประสิทธิภาพในการแปรรังสีความร้อน และประสิทธิภาพในการอุ่นเชื้อเพลิง ที่  $FR = 5 \text{ kW}$  และ  $\Phi = 0.47$  ของเชื้อเพลิง Mixed Fuel (50% LPG/50%C<sub>11</sub>H<sub>22</sub>) โดย ประสิทธิภาพในการแปรรังสีความร้อน เป็นอัตราส่วนระหว่างพลังงานความร้อนที่แปรรังสีออกมาทางด้าน ท้ายน้ำ (เป็นส่วนที่นำไปใช้ประโยชน์ในการให้ความร้อนกับการทางความร้อน) กับพลังงานของเชื้อเพลิงที่ป้อนเข้าไป พนว่าเมื่อ  $X_{PB}$  ทำให้ ประสิทธิภาพในการแปรรังสีความร้อน มีแนวโน้มสูงขึ้นตามระบบ  $X_{PB}$  ที่เพิ่มมากขึ้น โดยสูงสุดมีค่า 28 % เพราะ เปลาไฟเลื่อนเข้าไปติดในวัสดุพรุน PE ซึ่งเข้าใกล้บริเวณผิวล่างของ วัสดุพรุน PE มากขึ้น ในทางตรงกันข้ามจะมีประสิทธิภาพในการอุ่นเชื้อเพลิง ซึ่งเป็นอัตราส่วนระหว่างพลังงานความร้อนที่อุ่นเชื้อเพลิง (คิดที่ผิวล่างของ PB) ของพลังงานของเชื้อเพลิงที่ป้อนเข้า เพื่อนำไปใช้ในการอุ่นเชื้อเพลิงกลับมีค่าลดลงตามระบบ  $X_{PB}$  ที่เพิ่มขึ้น เพราะเปลาไฟถูกบังคับเลื่อนเข้าไปลึกใน PE มากขึ้นนั่นเอง



รูปที่ 5.2.30 แสดงอิทธิพลของระยะ  $X_{PB}$  ต่ออุณหภูมิการอุ่นอากาศ ที่  $FR = 5 \text{ kW}$  และ  $\Phi = 0.47$  ของเชื้อเพลิง Mixed Fuel (50% LPG/50%C<sub>11</sub>H<sub>22</sub>)

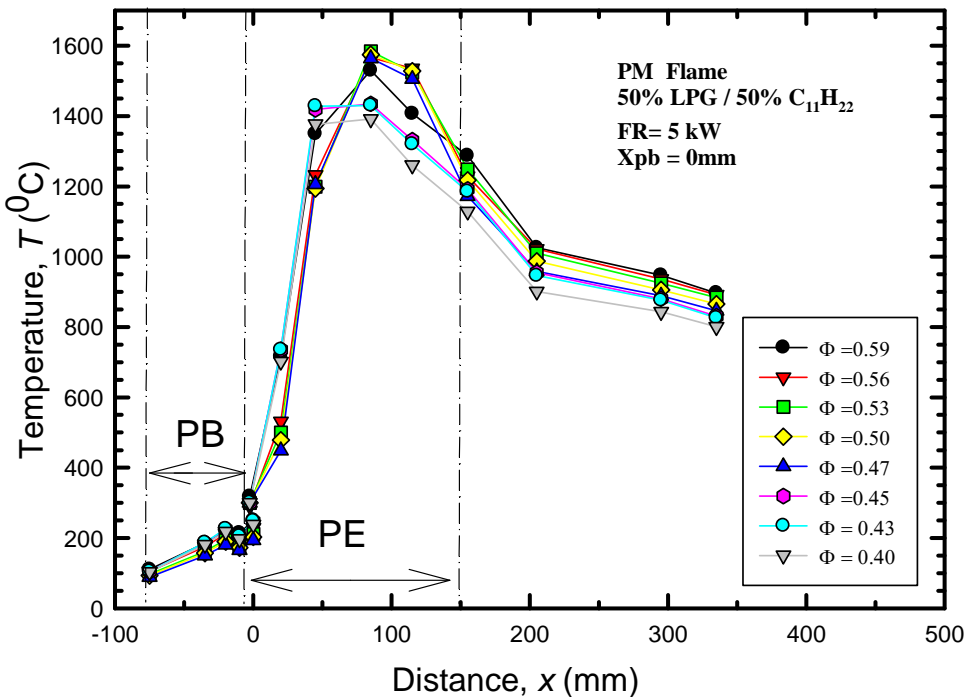
จากรูปที่ 5.2.30 แสดงอิทธิพลของระยะ  $X_{PB}$  ต่ออุณหภูมิการอุ่นอากาศ ที่  $FR = 5 \text{ kW}$  และ  $\Phi = 0.47$  ของ กรณี PM flame พบว่า ระยะ  $X_{PB}$  จะมีผลของอุณหภูมิการอุ่นอากาศ ที่ตำแหน่ง  $T_{15}$  และ  $T_{16}$  โดย จะลดลงตามระยะ  $X_{PB}$  ทั้งนี้เนื่องจากเข้าใกล้ ระยะ  $X_{PB} = 0$  มิลิเมตร เปลาไฟเลื่อนไปด้านท้ายมาก ขึ้นซึ่งห่างจากบริเวณอุ่นอากาศ และมีการแผ่รังสีความร้อนทิ้งสู่สิ่งแวดล้อมมากขึ้น ซึ่งแสดงอุณหภูมิ ในกราฟໂคงสร้างทางความร้อนข้างต้น



รูปที่ 5.2.31 แสดงอิทธิพลของต่ำ Firing rate ต่อความดันในห้องเผาไหม้ ของกรณี  $X_{PB} = 0$  มิลิเมตร และ  $\Phi = 0.47$  ของเชื้อเพลิง Mixed Fuel (50% LPG/50% C<sub>11</sub>H<sub>22</sub>)

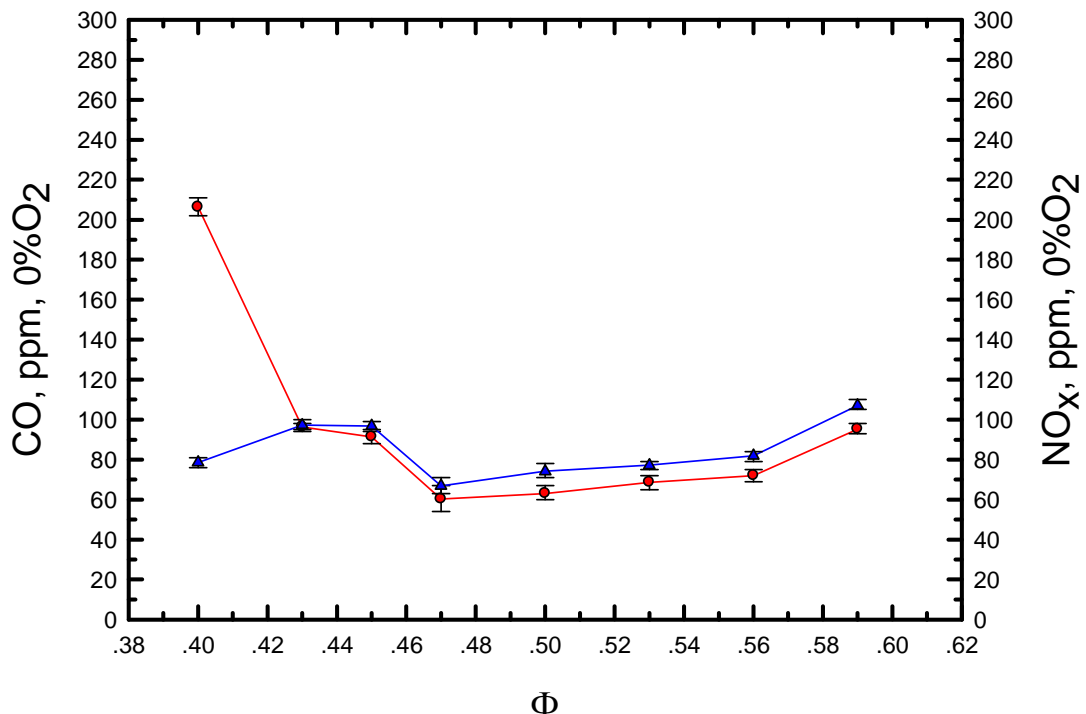
จากรูปที่ 5.2.31 แสดงอิทธิพลของระยะ  $X_{PB}$  ต่อความดันในห้องเผาไหม้ ที่  $FR = 5$  kW และ  $\Phi = 0.47$  พบว่าพบว่า การเพิ่มระยะ  $X_{PB}$  มีผลของความดันในห้องเผาไหม้ โดยที่ระยะ  $X_{PB} = -16$  มิลิเมตร มีค่า 300 mm H<sub>2</sub>O จากนั้นจะสูงขึ้นตามระยะ  $X_{PB}$  ที่เพิ่มมากขึ้นและสูงสุดที่ระยะ  $X_{PB} = 0$  มิลิเมตร มีค่า 500 mm H<sub>2</sub>O เนื่องจากการเพิ่มระยะ  $X_{PB}$  เป็นการลดปริมาตรของห้องเผาไหม้ลงในขณะที่อัตราการไหลดของไอดีเท่าเดิม

### 5.2.3.2 อิทธิพลของ $\Phi$ ของเชื้อเพลิง Mixed Fuel (50% LPG/50%<sub>11</sub>H<sub>22</sub>)



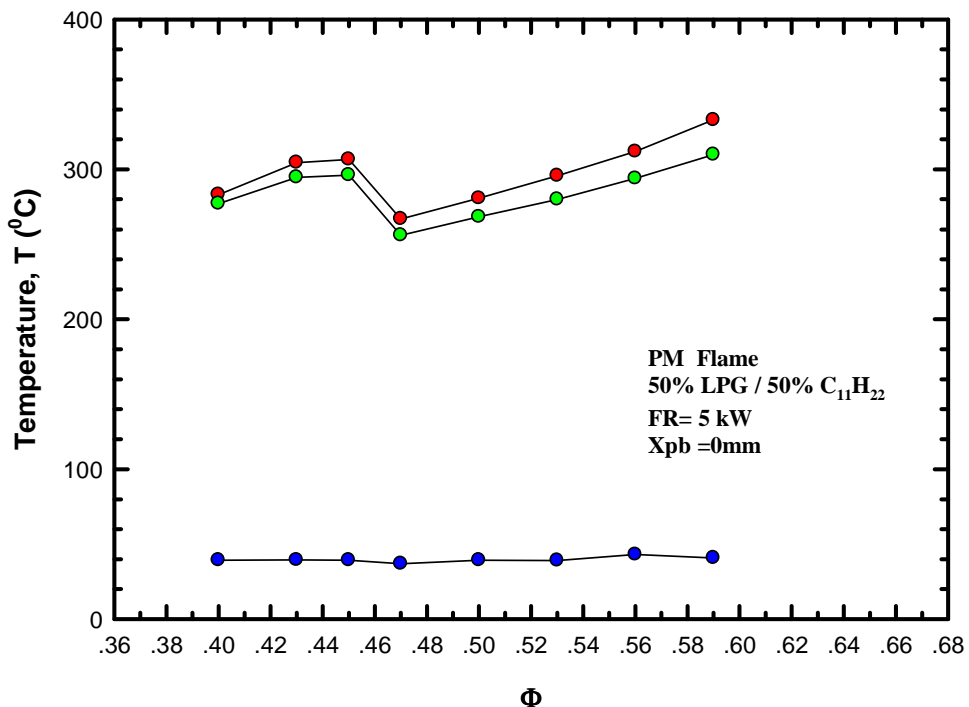
รูปที่ 5.2.32 แสดงอิทธิพล  $\Phi$  ต่ออุณหภูมิในห้องเผาไหม้ ที่  $FR = 5 \text{ kW}$  และ  $X_{PB} = 0 \text{ มิลิเมตร}$  ของเชื้อเพลิง Mixed Fuel (50% LPG/50% $C_{11}H_{22}$ )

ความสามารถของหัวเผาว่ามีสมรรถนะเผาไหม้เชื้อเพลิงส่วนผสมได้เข้มข้นหรือเจือจางมากน้อยเพียงใดสามารถทราบได้จากการปรับเปลี่ยนค่า  $\Phi$  จากรูปที่ 5.2.32 แสดงอิทธิพลของ  $\Phi$  ของ อุณหภูมิ การเผาไหม้ที่  $FR = 5 \text{ kW}$  ของกรณี  $X_{PB} = 0 \text{ มิลิเมตร}$  สามารถแบ่งโครงสร้างอุณหภูมิได้เป็น 2 ช่วง ช่วงที่ 1 คือ  $\Phi$  จาก 0.47-0.59 ให้อุณหภูมิในการเผาไหม้สูงประมาณ 1550 องศาเซลเซียส ขณะที่เมื่อลดค่า  $\Phi$  ลงจนอยู่ในช่วง 0.40-0.45 พบร้า อุณหภูมิการเผาไหม้ลดลงเหลือประมาณ 1400 องศาเซลเซียส ซึ่งคาดว่าอาจจะเป็นช่วงเริ่มเข้าใกล้ขอบเขตการเผาไหม้การทดสอบระหว่างเชื้อเพลิงกับอากาศ เริ่มแยกส่วนๆ ให้อุณหภูมิต่ำลง



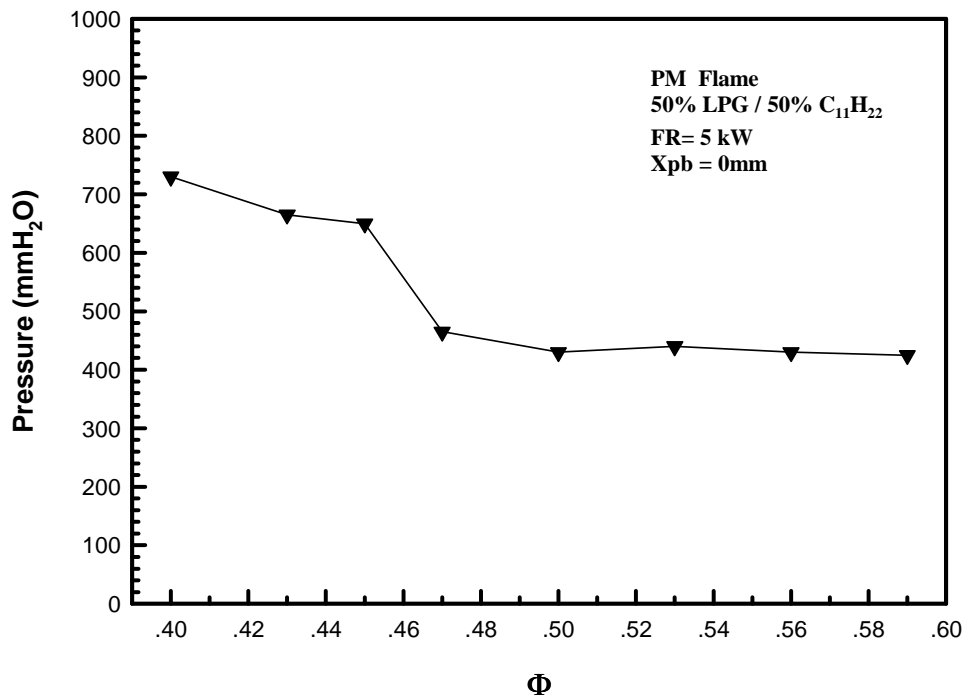
รูปที่ 5.2.33 แสดงอิทธิพลของค่า  $\Phi$  ของ CO และ NO<sub>x</sub> ที่  $FR = 5$  kW ของกรณี  $X_{PB} = 0$  มิลิเมตร  
ของเชื้อเพลิง Mixed Fuel (50% LPG/50%C<sub>11</sub>H<sub>22</sub>)

จากรูปที่ 5.2.33 แสดงอิทธิพลของค่า  $\Phi$  ของ CO และ NO<sub>x</sub> ที่  $FR = 5$  kW ของกรณี  $X_{PB} = 0$  มม  
พบว่า อัตราการปลดปล่อยมลพิษทั้ง CO และ NO<sub>x</sub> ต่ำมาก และแกว่งตัวอยู่ในช่วงแคบๆ คือ NO<sub>x</sub> อยู่  
ในช่วง 30-40 ppm และ CO ประมาณ 20-30 ppm เพราะถูกความคุณให้เกิดการเผาไหม้ที่  $X_{PB} = 0$  มิลิ  
เมตร เกิดการหมุนวนในแนวแกนเพิ่มมากขึ้น [17] ไอดีจึงมีเวลาในการเผาไหม้เพิ่มมากขึ้นตามไปด้วย  
รวมถึงผลของการการสูญเสียความร้อนจากการแผ่รังสีทึ้งสูงสิ่งแวดล้อมมากขึ้น สอดคล้องกับอุณหภูมิ  
ในการและคาดว่าอาจจะเกิดการเผาไหม้แบบ staged combustion ร่วมด้วย ทำให้ thermal NO<sub>x</sub> ลดลง  
ของย่างไรก็ตามหัวเผานี้ควรหลีกเลี่ยงการทำงานที่  $\Phi < 0.39$  ซึ่งมีค่า 490 ppm และ  $\Phi > 0.79$  ซึ่งมี  
ค่าเพียงกว่า 600 ppm เนื่องจากเข้าใกล้ขอบเขตการเผาไหม้ริมเผาไหม้ไม่สมบูรณ์ เป็นผลให้ CO  
มีค่าเพิ่มขึ้นอย่างรวดเร็ว



รูปที่ 5.2. 34 แสดงอิทธิพลของค่า  $\Phi$  ของอุณหภูมิการอุ่นอากาศ ที่  $FR = 5 \text{ kW}$  ของกรณี  $X_{PB} = 0$  มิลิเมตร ของเชื้อเพลิง Mixed Fuel (50% LPG/50%C<sub>11</sub>H<sub>22</sub>)

จากรูปที่ 5.2.34 และแสดงอิทธิพลของค่า  $\Phi$  ของอุณหภูมิการอุ่นอากาศ ที่  $FR = 5 \text{ kW}$  ของกรณี  $X_{PB} = 0$  มิลิเมตร พบว่า การเพิ่มค่า  $\Phi$  จาก 0.40 จนถึง 0.59 เป็นการลดปริมาณการจ่ายอากาศ ทำให้อุณหภูมิเพิ่มสูงขึ้น ยกตัวอย่างเช่น  $T_{17}$  สูงขึ้นจาก 280 องศาเซลเซียสเป็นประมาณ 320 องศาเซลเซียส ขณะที่อุณหภูมิก่อนเข้าระบบ preheat ( $T_{15}$ ) ประมาณ 40 องศาเซลเซียส เมื่อผ่านระบบ preheat แล้ว ( $T_{16}$ ) ได้รับความร้อนจากระบบอุ่นอากาศ ทำให้ได้อุณหภูมิสูงถึง ประมาณ 280-340 องศาเซลเซียส และจะป้อนเข้าห้องเผาใหม่ ( $T_{17}$ ) ด้วยอุณหภูมิประมาณ 270-300 องศาเซลเซียส เนื่องจากการสูญเสียความร้อนให้กับท่อบางส่วน



รูปที่ 5.2.35 แสดงอิทธิพลของค่า  $\Phi$  ของ ความดันในห้องเผาไหม้ ที่  $FR = 5 \text{ kW}$  ของกรณี  $X_{PB} = 0$  มิลิเมตร ของเชื้อเพลิง Mixed Fuel (50% LPG/50%C<sub>11</sub>H<sub>22</sub>)

จากรูปที่ 5.2.35 แสดงอิทธิพลของค่า  $\Phi$  ของ ความดันในห้องเผาไหม้ ที่  $FR = 5 \text{ kW}$  ของกรณี  $X_{PB} = 0$  มิลิเมตร พบร่วมกันว่า ความดันในห้องเผาไหม้มีค่าสูงสุดที่ค่า  $\Phi = 0.40$  มีค่า 740 mm H<sub>2</sub>O เนื่องจากเป็นกรณีที่มีการจ่ายอากาศเข้าห้องเผาไหม้ปริมาณสูงสุดจากนั้นความดันในห้องเผาไหม้จะลดลงตามปริมาณอากาศที่ป้อนเข้าห้องเผาไหม้ลดลงซึ่งหมายถึงค่า  $\Phi$  ที่ลดลง และต่ำสุดที่ 480 mm H<sub>2</sub>O ในโดยที่ ปริมาณการจ่ายเชื้อเพลิงเท่ากันทุกกรณี

## สารบัญที่ 6 สรุปและข้อเสนอแนะ

### 6.1 สรุปผลการศึกษา

การศึกษาการเผาไหม้แบบเป็นขั้นตอนของหัวเผาวัสดุพูนสำหรับเชื้อเพลิงแก๊ส เชื้อเพลิงเหลว และเชื้อเพลิงเชื้อเพลิงผสมระหว่าง LPG 50% และ Kerosene 50% รวมถึงตัวแปรต่าง ๆ ที่มีผลต่อคุณลักษณะการเผาไหม้สามารถสรุป เป็นข้อๆ ได้ดังนี้

- 6.1.1 หัวเผาวัสดุพูนมีความยืดหยุ่นสูงสามารถเผาไหม้ทั้ง รูปแบบ premixed flame และ diffusion flame อีกทั้งสามารถเผาไหม้ได้เชื้อเพลิงทั้งสามชนิด คือ เชื้อเพลิงแก๊ส เชื้อเพลิงเหลว และเชื้อเพลิงเชื้อเพลิงผสมระหว่าง LPG 50% กับ Kerosene 50% ซึ่งทั้งสามชนิดได้ผลการทดลองมีแนวโน้มไปในทิศทางเดียวกัน
- 6.1.2 ระยะ  $X_{PB}$  เป็นตัวแปรสำคัญที่สามารถควบคุมการเผาไหม้ให้เกิดในลักษณะ premixed หรือ diffusion ได้ ซึ่ง กรณี  $X_{PB} = -10$  และ -20 มิลิเมตร จะเกิดเป็นไฟแบบ premixed กรณี  $X_{PB} = 0, 3$  และ 6 มิลิเมตร จะเกิดเป็นไฟแบบ diffusion ขณะที่ กรณี  $X_{PB} = -4$  และ -2 มิลิเมตร อยู่ในช่วงการเปลี่ยนรูปแบบการเผาไหม้จาก premixed ไปเป็น diffusion
- 6.1.3 ระยะ  $x_{PB}$  มีอิทธิพลต่อการลดลงของปริมาณการปลดปล่อยมลพิษและประสิทธิภาพการแผ่รังสีความร้อน ซึ่งจะเห็นผลชัดเจนกับกรณี PM flame จากการปรับเปลี่ยนระยะ  $X_{PB}$  จาก -20 มิลิเมตร เป็น 0 มิลิเมตร สามารถลดการปลดปล่อยมลพิษ ทั้ง CO และ  $NO_x$  ลดลงได้สูงสุด 1.8 และ 2 เท่าตามลำดับ ขณะเดียวกันประสิทธิภาพการแผ่รังสีความร้อนเพิ่มขึ้นสูงสุดถึงร้อยละ 34 %
- 6.1.4 การติดตั้งวัสดุพูนตัวแผ่นสี PE มีผลต่ออุณหภูมิและตำแหน่งการเผาไหม้และคุณลักษณะการเผาไหม้ที่เกิดขึ้นรวมทั้ง การแผ่นสีความร้อนหมุนเวียนสูบที่ตอกกระแทบวัสดุพูน PB โดยการเผาไหม้ที่เกิดในวัสดุพูนจะได้อุณหภูมิการเผาไหม้ที่สูงและปล่อยมลพิษต่ำกว่ากรณี Free flame ทั้ง CO และ  $NO_x$  ของทั้งสามชนิดเชื้อเพลิง

**6.1.5 การเพิ่ม  $\Phi$  และ FR ส่งผลต่อโครงสร้างอุณหภูมิการเผาไหม้ให้สูงขึ้น แต่ผลต่อการปลดปล่อยมลพิษเพียงเล็กน้อยทั้ง CO และ  $NO_x$  อย่างไรก็ตามควรหลีกเลี่ยงทำงานใกล้ขอบเขตการเผาไหม้ซึ่งจะทำให้การปลดปล่อยมลพิษสูงมากขึ้นได้**

## 6.2 ข้อเสนอแนะ

- 6.2.1** จากการทดลองพบว่าสามารถขยายขอบเขตการเผาไหม้ที่เจือจางได้ถึงค่า  $\Phi$  ประมาณ 0.32 ดังนั้นการเปลี่ยนเชื้อเพลิงจากน้ำมันก๊าดเป็นเชื้อเพลิงที่ระเหยยากขึ้น เช่น น้ำมันดีเซล Bio-Fuel Oil
- 6.2.2** เผาไหม้เชื้อเพลิงเหลวเกรดต่ำ อื่นๆ เช่น syngas แก๊สมูลสุกร เพื่อเพิ่มแนวทางในการประยุกต์ใช้งานมีความจำเป็นในการศึกษาต่อในอนาคต แต่ถ้าไม่สามารถเผาไหม้ได้ก็แนะนำให้เผาไหม้ในรูปแบบเชื้อเพลิงผสม
- 6.2.3** เพิ่มภาระการทำงานโดยทำงานโดยเน้นที่รูปแบบ diffusion flame เพื่อให้ได้ประสิทธิภาพการแร้งสีสูงเพื่อให้ประยุกต์ในอุตสาหกรรมต่อไป
- 6.2.4** ออกแบบระบบอุ่นอากาศ และเชื้อเพลิงให้ดีขึ้น พร้อมกับเพิ่มความเร็วของเชื้อเพลิงและอากาศที่ป้อนเข้าสู่ห้องเผาไหม้ เพื่อนำไปสู่การเผาไหม้ในสภาวะไร้เปลวไฟ (flameless combustion) พร้อมกับ scan อุณหภูมิกายในวัสดุพูนเพื่อยืนยันปรากฏการณ์
- 6.2.5** การทำ Modeling ในการคำนวณ  $NO_x$  เพื่อศึกษาให้เข้าใจถึงกลไกการเกิด  $NO_x$  ให้ดีขึ้น
- 6.2.6** การศึกษาในแง่การขยายสเกลเพื่อประยุกต์ใช้งานกับภาคอุตสาหกรรมทดแทนการเผาไหม้โดยการสเปรย์แบบดั้งเดิมยังคงมีความจำเป็นในการศึกษาต่อในอนาคต

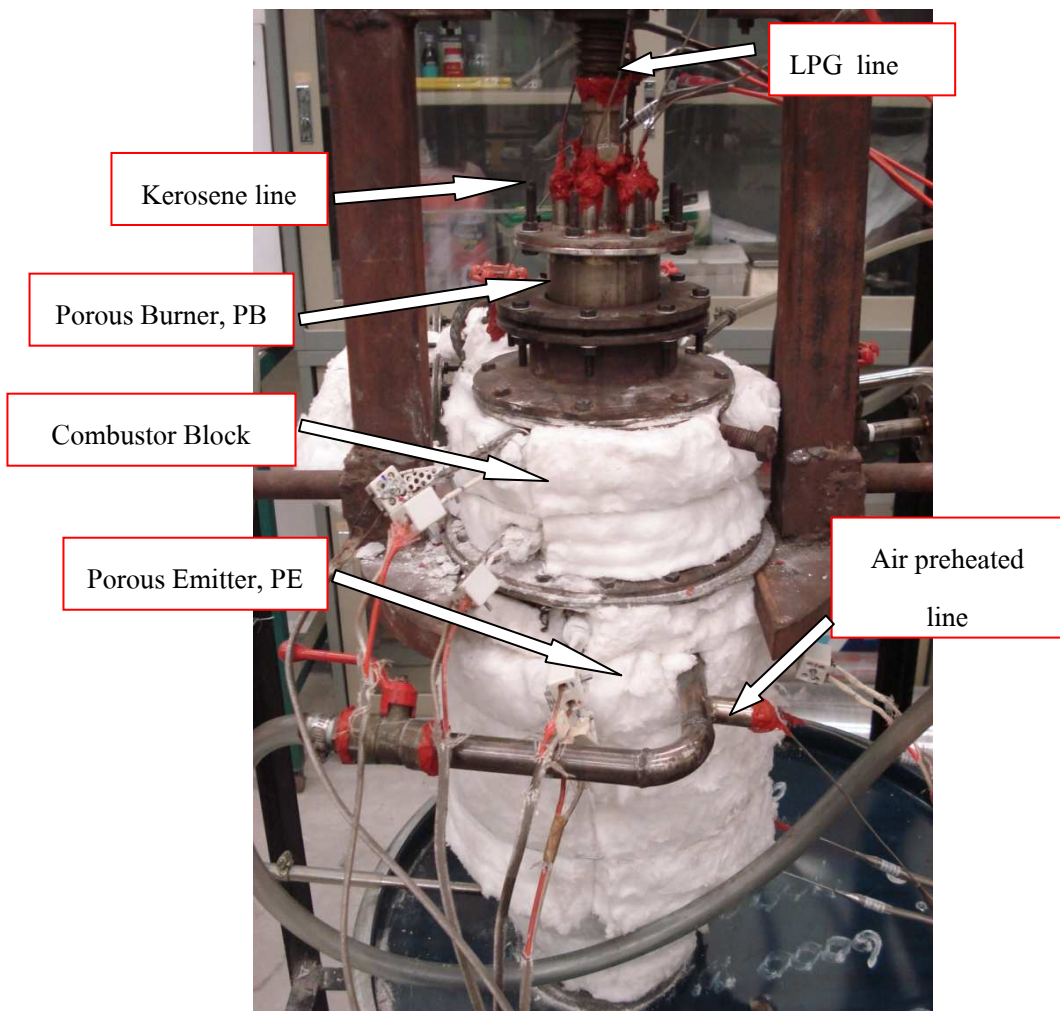
## ເອກສາຣອ້າງອີງ

- [1] Howell, J.R., Hall, M.J. and Ellzey, J.L., 1996, "Combustion Hydrocarbon Fuels within Porous Inert Media", Progress in Energy and Combustion Science, Vol. 22, pp. 121-145.
- [2] Weinberg, F.J., 1986, "Heat-recalculating Burner : Principles and Some Recent Developments", Combustion Science and Technology, Vol. 121, pp. 3-22.
- [3] R. MITAL, J. P. GORE, and R. VISKANTA, 1997 A Study of the Structure of Submerged Reaction Zone in Porous Ceramic Radiant Burners" COMBUSTION AND FLAME, vol 111, pp 175-184
- [4] A.I. Bakry, Stabilized Premixed Combustion within Atmospheric Gas Porous Inert Medium (PIM) Burner, ORGANIZED BY UNIVERSITI TENAGA NASIONAL, BANGI, SELANGOR, MALAYSIA; 28-30 AUGUST 2006, International Conference on Energy and Environment 2006 (ICEE 2006)
- [5] Kaplan, M. and Hall, M.J., 1995, "Combustion of Liquid Fuels within a Porous Media Radiant Burner", Experimental Thermal and Fluid Science, Vol. 11, No. 1, pp. 13-20.
- [6] Tseng, C.J. and Howell, J.R., 1996, "Combustion of Liquid Fuels in Porous Radiant Burner", Combustion Science and Technology, Vol. 112, pp. 141-161.
- [7] Takami, H., Suzuki, T., Itaya, Y. and Hasatani, M., 1998, "Performance of Flammability of Kerosene and NO<sub>x</sub> Emission in Porous Burner", Fuel, Vol. 77, No. 3 , pp. 165-171.
- [8] Jugjai, S., Wongpanit, N., Laoketkan, T. and Nokkaew, S., 2002, "The Combustion of Liquid Fuel using a Porous Medium", Experimental Thermal and Fluid Science, Vol. 25, pp. 15-23.

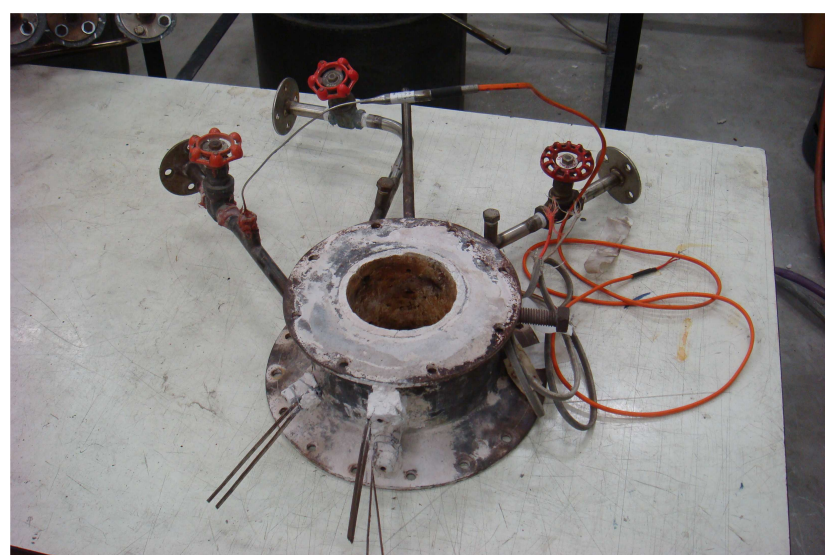
- [9] Jugjai, S. and Polmart, N., 2003, "Enhancement of Evaporation and Combustion of Liquid Fuels Through Porous Media", Experimental Thermal and Fluid Science, Vol. 27, No. 8, pp. 901-909.
- [10] Olaf Pickenäcker, Alfons Kesting, Dimosthenis Trimis, Novel Low NO<sub>x</sub> Burner Designs for Boilers and Furnaces ,by Using Staged Combustion in Inert Porous Media,Europea on conference on industrial furnace and boiler ,Portugal 11-14 april 2000
- [11] M M Kamal and A A Mohamad Combustion in porous media, Proceedings of the Institution of Mechanical Engineers, Proc. IMechE Vol. 220 Part A: J. Power and Energy
- [12] ชุติเดช ผ่องไส, 2547, คุณลักษณะการเผาไหมีและการปล่อยมลพิษของหัวเผาเชื้อเพลิงเหลวแบบวัสดุพูนชนิดไม่มีการแตกตัวเป็นฝอยละออง, วิทยานิพนธ์ปริญญาวิศวกรรมศาสตร์ มหาบัณฑิต สาขาวิชาชีวกรรมเครื่องกล คณะวิศวกรรมศาสตร์ มหาวิทยาลัยเทคโนโลยีพระจอมเกล้าชานนาทนบุรี, หน้า 18-50.
- [13] กิตติศักดิ์ สุวรรณวิจิต, 2548, การศึกษาอย่างต่อเนื่องเกี่ยวกับการพัฒนาการเผาไหมีเชื้อเพลิงเหลวโดยวัสดุพูนชนิดไม่มีการแตกตัวเป็นฝอยละออง, วิทยานิพนธ์ปริญญาวิศวกรรมศาสตร์ มหาบัณฑิต สาขาวิชาชีวกรรมเครื่องกล คณะวิศวกรรมศาสตร์ มหาวิทยาลัยเทคโนโลยีพระจอมเกล้าชานนาทนบุรี, หน้า 18-61.
- [14] mgr ลักษณา, 2548, การพัฒนาหัวเผาวัสดุพูนสมรรถนะสูงเพื่อการเผาไหมีเชื้อเพลิงเหลวชนิดไม่มีการสเปรย์, วิทยานิพนธ์ปริญญาวิศวกรรมศาสตร์มหาบัณฑิต สาขาวิชาชีวกรรมเครื่องกล มหาวิทยาลัยเทคโนโลยีพระจอมเกล้าชานนาทนบุรี, หน้า 14-65.
- [15] พิรุษพัช ทองเต็ม(2009) ,การศึกษาการเผาไหมีแบบเป็นขั้นของหัวเผาวัสดุพูนสำหรับเชื้อเพลิงแก๊สและเชื้อเพลิงเหลว,วิทยานิพนธ์ปริญญาวิศวกรรมศาสตร์มหาบัณฑิตสาขาวิชาชีวกรรมเครื่องกลมหาวิทยาลัยเทคโนโลยีพระจอมเกล้าชานนาทนบุรี
- [16] สำเริง จักรใจ, 2547, การเผาไหมี, สำนักพิมพ์แห่งจุฬาลงกรณ์มหาวิทยาลัย, หน้า 576-621.

- [17] อรรถนพ ประวีณวิสารท์, 2552, การศึกษาการผสมกําในหัวเผาน้ำมันเชื้อเพลิงเหลวสําหรับการใช้ Particle Image Velocimetry , วิทยานิพนธ์ปริญญาวิศวกรรมศาสตรมหาบัณฑิต สาขาวิชาวิศวกรรมเครื่องกล คณะวิศวกรรมศาสตร์ มหาวิทยาลัยเทคโนโลยีพระจอมเกล้าชลบุรี, หน้า 34-66.
- [18] Handbook of transport property data, Gulf Publishing Company ,120-134
- [19] Turn, S.R., 2000, An Introduction to Combustion, 2<sup>nd</sup> ed., McGraw-Hill, New York, pp. 253-319.
- [20] Yunus A. Cengel, Michael A.Boles , “thermodynamics a engineering approach” 4<sup>th</sup> ed, McGraw-Hill, New York
- [21] Andrew T.Harris , Porous burners for lean-burn applications , 2008, Energy and Combustion Science, Vol. 34, No. 5. , pp. 667-684
- [22] A.A Mohamad “non-premixed CH<sub>4</sub> combustion in a porous media”2009, proceeding of the ASME 2009 International Mechanical Engineering congress and Exposition ,November 13-19
- [23] Janet L. Ellzey and Rakesh Goel ,Emission of CO and NO from Two stage Porous Media Burner ,1995,Combust.Sci and Tech.pp81-91
- [24] Sumrerng Jugjai and Chanin Phothiya , Liquid fuels-fired porous combustor-heater, 2006, fuel
- [25] Kanokkarn Wongwatcharaphon ,2011, “numerical simulation high efficiency porous burner for liquid fuel combustion without spray atomization” Thesis of doctor of engineering ,KMUTT

ภาคผนวก ก  
รูปเครื่องมือและอุปกรณ์ที่ใช้ในการทดลอง



รูปที่ ก.1 หัวเผาเชื้อเพลิงแบบวัสดุพูน



รูปที่ ก.2 แสดง Combustor Block และระบบการจ่ายอากาศ



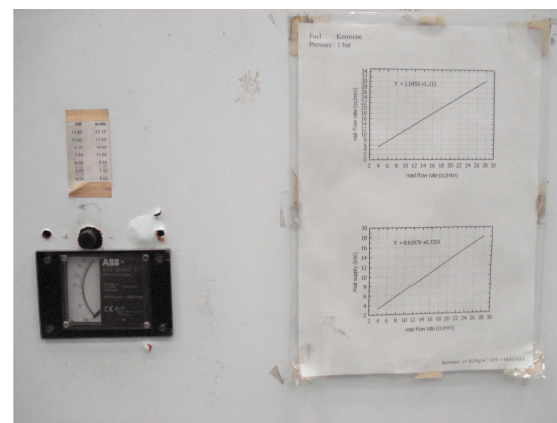
รูปที่ ก.3 ตาข่ายสแตนเลสขนาด 40 mesh/inch (PB)



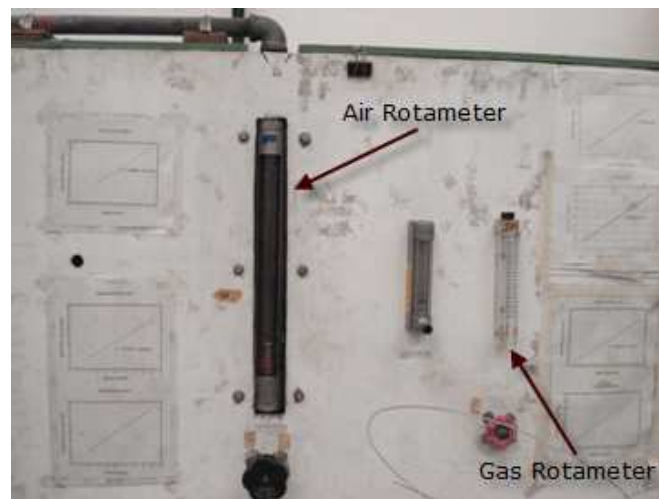
รูปที่ ก.4 ตาข่ายสแตนเลสขนาด 100 mesh/inch (PB)



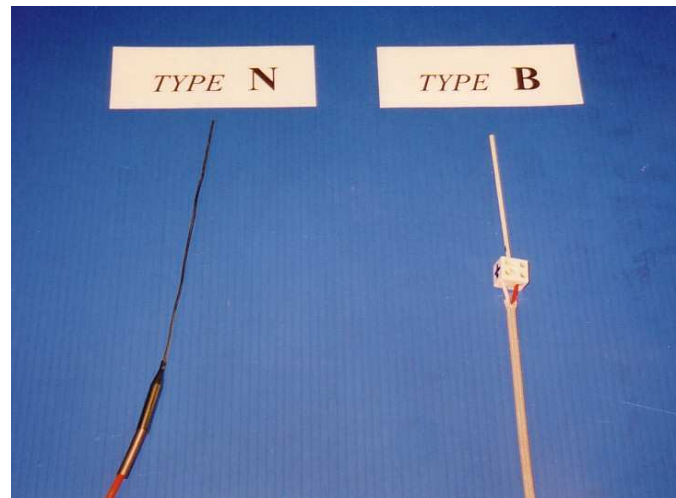
รูปที่ ก.5 เม็ดหินวัสดุพูน (PE)



รูปที่ ก.6 อุปกรณ์วัดอัตราการไหลของน้ำมันเชื้อเพลิง



รูปที่ ก.7 อุปกรณ์วัดอัตราการไหลของอากาศและแก๊ส (LPG)



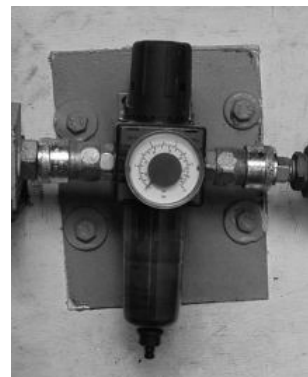
รูปที่ ก.8 อุปกรณ์วัดอุณหภูมิ (Thermocouple)



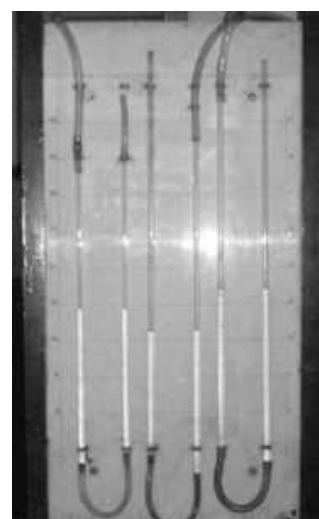
รูปที่ ก.9 อุปกรณ์เก็บบันทึกค่าอุณหภูมิ (Data Logger รุ่น DT600) และคอมพิวเตอร์บันทึกข้อมูล



รูปที่ ก.10 เครื่องวิเคราะห์แก๊สไอเสีย (Exhaust Gas Analyzer)



รูปที่ ก.11 อุปกรณ์ควบคุมความดัน (Pressure Regulator)



รูปที่ ก.12 อุปกรณ์วัดความดัน (U-Tube Manometer)



รูปที่ ก.13 อุปกรณ์จ่ายอากาศ (Compressor)



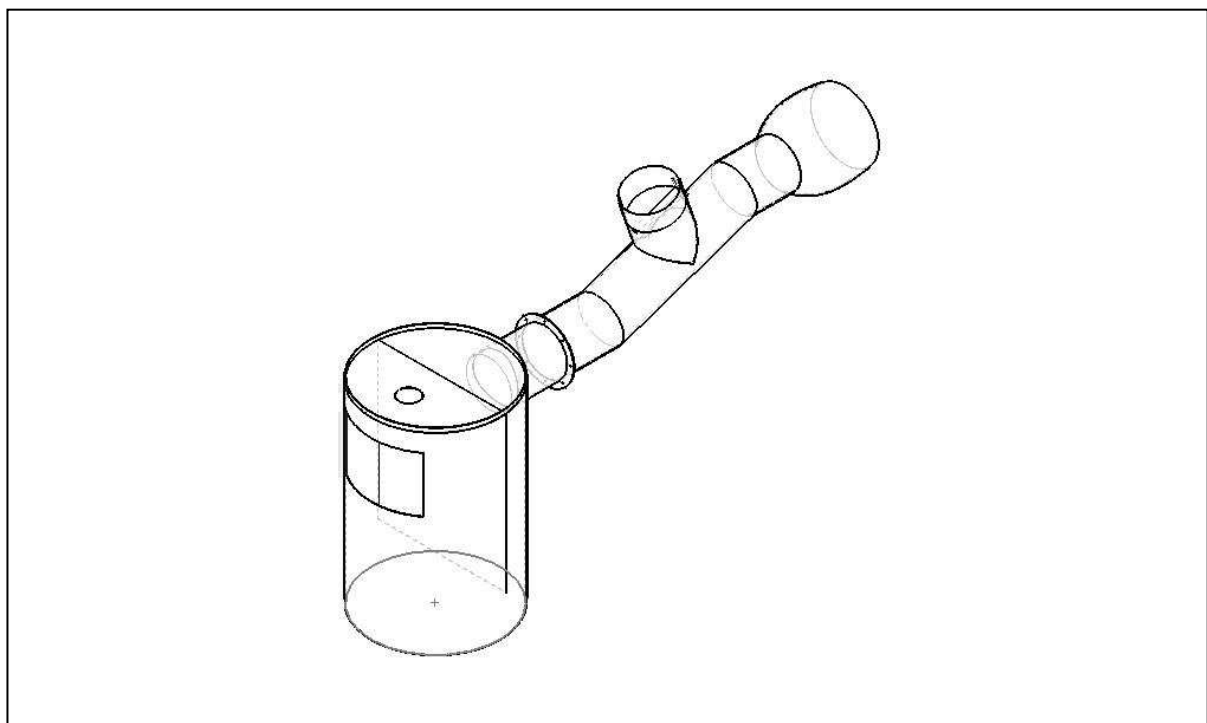
รูปที่ ก.14 ถังพักไออกเสียและท่อสแตนเลส



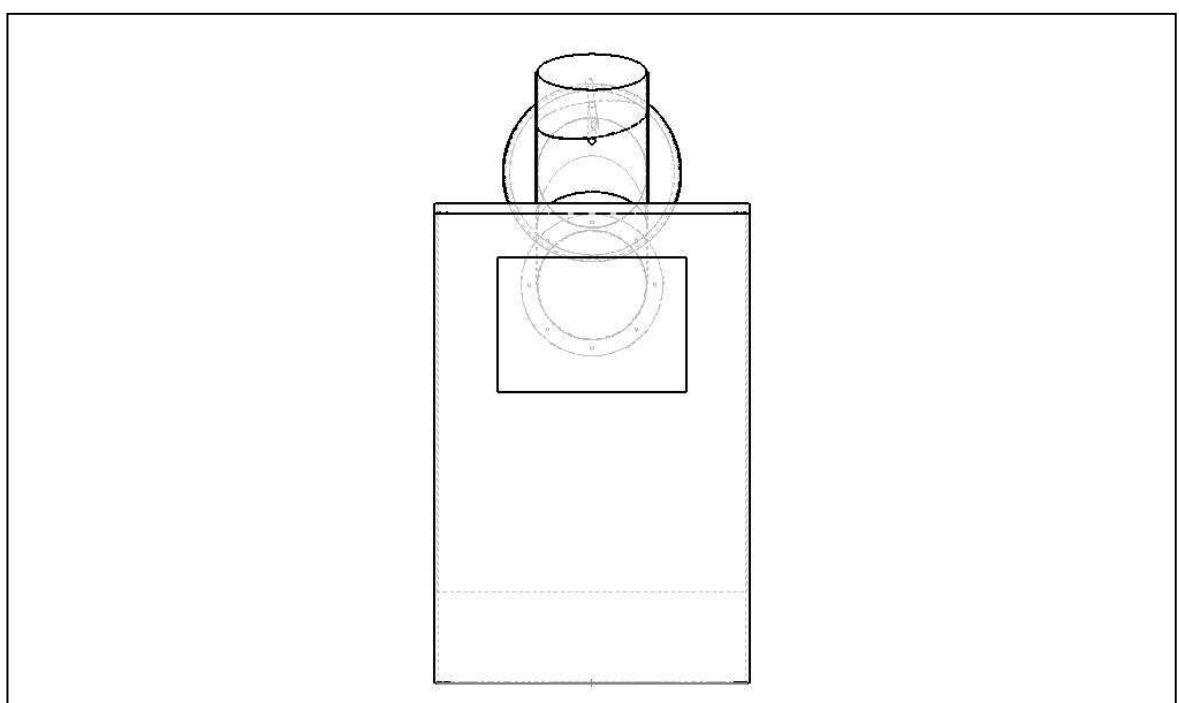
รูปที่ ก.15 ท่อฟรอยอ่อน



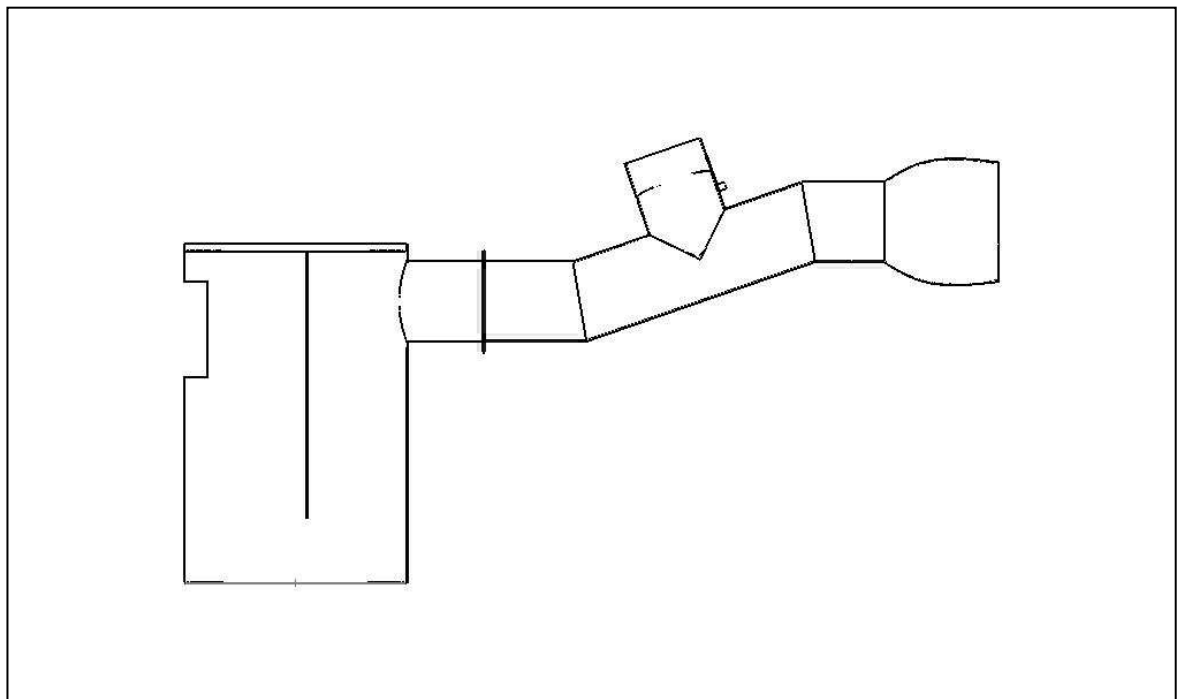
รูปที่ ก.16 พัดลมอุตสาหกรรม



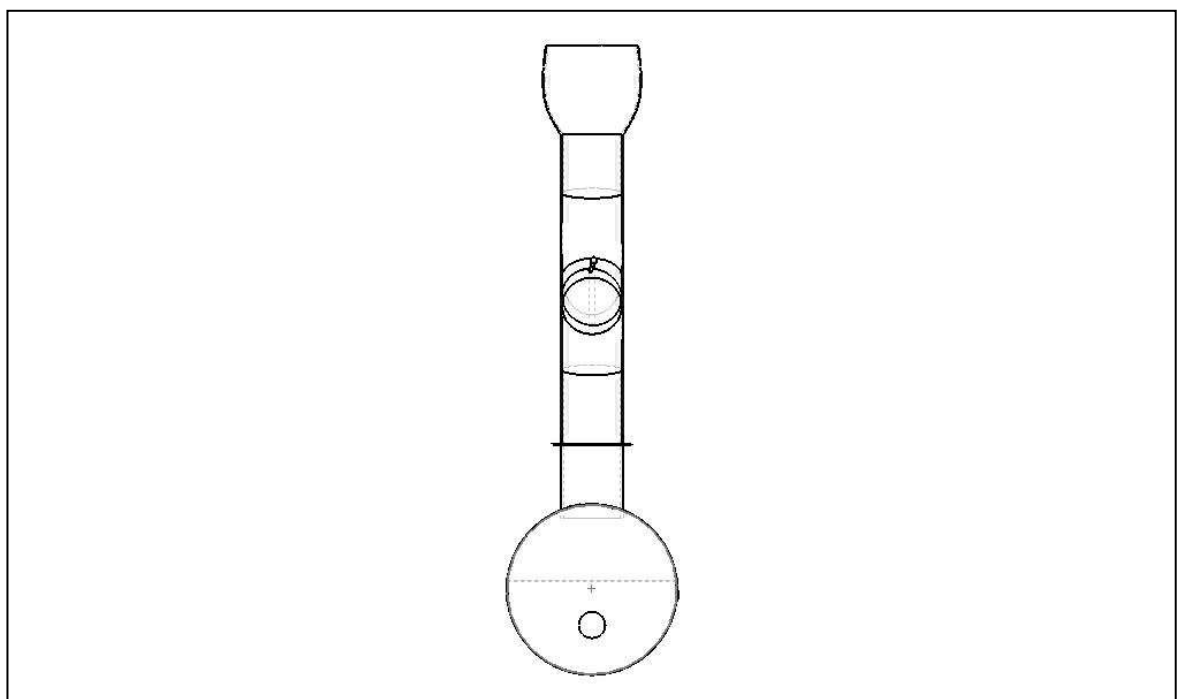
Isometric



Front View



Side View



Top View

รูปที่ ก.17 แบบทางวิศวกรรมของถังพักไอเสียและท่อสแตนเลส

**ภาคผนวก ข**  
ตารางข้อมูลการทดสอบ

## ข.1 กรณี Free Flame

ตารางที่ ข.1.1 ข้อมูลการทดลองเพื่อศึกษาอิทธิพลของ  $X_{PB}$  ที่มีผลต่อ Temperature ในหัวเผา ชนิดเชื้อเพลิง LPG

File	Time	$X_{PB}$	$\Phi$	T1	T2	T3	T4	T5	T6	T7	T8	T9	T10	T11	T12	T13	T14	T15	T16	T17
a01	12.07	-20	0.47	161	337	416	489	594	1350	1102	1054	1010	969	919	895	842	807	36	302	234
b01	14.07	-18	0.47	168	338	417	493	592	1398	1112	1055	1023	975	919	896	845	804	37	303	235
b02	14.28	-16	0.47	172	341	422	506	591	1430	1095	1038	1006	962	907	886	835	796	37	301	236
b03	14.38	-14	0.47	170	342	429	521	591	1453	1097	1035	1002	958	904	884	835	797	37	299	234
b04	14.46	-12	0.47	173	343	437	540	604	1452	1110	1040	1003	960	905	884	836	797	37	284	233
b05	14.52	-10	0.47	175	348	447	555	616	1452	1113	1040	1002	961	906	883	836	798	37	298	234
c01	17.05	-8	0.47	178	354	461	569	595	1384	1113	1043	1008	961	915	889	836	803	38	298	233
c02	17.24	-6	0.47	180	355	456	556	577	1321	1119	1036	1009	966	918	891	844	812	38	298	234
c03	17.34	-4	0.47	178	344	431	513	551	1217	1122	1029	1011	977	929	902	859	829	38	299	235
c04	17.47	-2	0.47	173	309	373	437	532	303	1114	1045	1027	983	941	916	878	853	38	304	237
c05	18.05	0	0.47	158	271	328	394	487	300	1275	1122	1065	1000	951	923	906	879	39	305	238
e01	19.54	3	0.47	139	248	314	388	423	300	1044	1216	1079	1004	973	924	863	832	38	297	234
f01	21.47	6	0.47	129	219	272	317	337	300	1193	1109	995	981	971	912	862	853	37	288	223

ตารางที่ ข.1.2 ข้อมูลการทดลองเพื่อศึกษาอิทธิพลของ  $X_{PB}$  ที่มีผลต่อ Emission ชนิดเชื้อเพลิง LPG

file	CL	$X_{PB}$	Air supply		Emission					P (mmH <sub>2</sub> O)			
	(kW)	(mm)	scale	$\Phi$	%O <sub>2</sub>	%CO <sub>2</sub>	CO(ppm)	CO(0%O <sub>2</sub> )	NO <sub>x</sub> (ppm)	NO <sub>x</sub> (0%O <sub>2</sub> )	P1	P2	P3
A01	5	-20	9.9	0.47	11.2	6.4	72	156	70	149	0.5	0	0
B01	5	-18	9.5	0.47	11.2	6.4	68	128	65	139	0.5	0	0
B02	5	-16	9.9	0.47	11.2	6.4	68	144	63	136	0.5	0	0
B03	5	-14	10	0.47	11.2	6.4	66	142	63	136	0.5	0	0
B04	5	-12	9.9	0.47	11.1	6.4	65	140	63	134	0.5	0	0
C01	5	-10	10	0.47	11.2	6.4	65	140	63	136	0.5	0	0
C02	5	-8	9.8	0.47	11.1	6.4	64	136	64	136	0.5	0	0
C03	5	-6	10	0.47	11.1	6.4	74	158	67	143	0.5	0	0
C04	5	-4	10	0.47	11.2	6.4	71	155	66	142	0.5	0	0
E01	5	-2	9.9	0.47	11.2	6.4	84	181	74	159	0.5	0	0
C05	5	0	9.7	0.47	11.2	6.4	109	235	96	207	0.5	0	0
E01	5	3	10.2	0.47	11.2	6.4	91	194	87	184	0.5	0	0
F01	5	6	9.7	0.47	11.2	6.3	92	198	86	187	0.5	0	0

ตารางที่ ข.1.3 ข้อมูลการทดลองเพื่อศึกษาอิทธิพลของ  $X_{PB}$  ที่มีผลต่อ Temperature ในหัวเผา ชนิดเชื้อเพลิง Kerosene

File	Time	$X_{PB}$	$\Phi$	T1	T2	T3	T4	T5	T6	T7	T8	T9	T10	T11	T12	T13	T14	T15	T16	T17
G01	00.13	-20	0.47	154	283	374	426	469	1432	1103	1052	1027	972	926	900	861	828	36	279	225
H01	02.02	-16	0.47	159	291	396	497	454	1414	1097	1058	1031	972	936	913	878	849	36	285	229
H03	02.18	-14	0.47	159	295	414	546	423	1408	1114	1059	1031	980	948	919	877	850	36	288	230
H05	02.54	-10	0.47	169	315	449	567	431	1302	1138	1074	1034	987	950	921	886	861	36	290	234
H07	04.29	-6	0.47	163	315	427	519	428	300	1057	1010	1015	967	927	901	868	839	36	277	223
H09	04.42	-4	0.47	156	264	329	384	518	300	1111	1022	1011	981	948	915	877	847	35	294	229
I01	05.04	0	0.47	144	245	279	236	538	300	1266	1152	1084	1031	1005	987	940	911	36	302	236
J02	06.33	3	0.47	139	223	264	235	500	300	1037	1293	1180	1094	1067	1007	951	928	36	325	251
K01	08.10	6	0.47	135	217	255	233	455	300	850	1206	1155	1066	1044	987	932	917	36	279	225

ตารางที่ ข.1.4 ข้อมูลการทดลองเพื่อศึกษาอิทธิพลของ  $X_{PB}$  ที่มีผลต่อ Emission ชนิดเชื้อเพลิง Kerosene

file	CL	$X_{PB}$	Air supply		Emission						P (mmH <sub>2</sub> O)		
	(kW)	(mm)	scale	$\Phi$	%O <sub>2</sub>	%CO <sub>2</sub>	CO(ppm)	CO(0%O <sub>2</sub> )	NO <sub>x</sub> (ppm)	NO <sub>x</sub> (0%O <sub>2</sub> )	P1	P2	P3
G01	5	-20	11.1	0.47	11.1	7.1	67	143	6	143	0	0	0
H01	5	-16	11.2	0.47	11.2	7	66	139	66	141	0	0	0
H03	5	-14	11.0	0.47	11.1	7.1	66	142	65	140	0	0	0
H05	5	-10	11.5	0.47	11.1	7.1	71	151	70	149	0	0	0
H07	5	-6	11.3	0.47	11.2	7	78	168	76	164	0	0	0
H09	5	-2	10.2	0.47	11.1	7.2	61	129	56	118	0	0	0
I01	5	0	10.3	0.47	11.1	7.1	116	245	111	234	0	0	0
J01	5	3	9.9	0.47	11.2	6.7	79	165	82	172	0	0	0
K01	5	6	10	0.47	11.2	7	65	136	74	159	0	0	0

ตารางที่ ข.1.5 ข้อมูลการทดลองเพื่อศึกษาอิทธิพลของ  $X_{PB}$  ที่มีผลต่อ Temperature ในหัวเผา ชนิดเชื้อเพลิงผสมระหว่าง LPG 50% และ Kerosene 50%

File	Time	$X_{PB}$	$\Phi$	T1	T2	T3	T4	T5	T6	T7	T8	T9	T10	T11	T12	T13	T14	T15	T16	T17
A01	15.49	-20	0.47	146	278	321	393	632	1076	1067	1028	1006	933	896	861	803	767	35	238	73
A11	17.37	-18	0.47	138	254	307	369	567	1236	1100	1049	1020	950	908	877	825	791	35	241	67
A12	17.48	-16	0.47	139	259	320	378	556	1262	1106	1054	1025	958	913	881	828	715	35	243	74
A13	17.54	-14	0.47	141	266	338	385	531	1288	1114	1060	1032	964	920	888	835	799	35	242	74
A14	17.59	-12	0.47	142	276	349	395	522	1298	1123	1070	1041	974	929	896	843	806	34	243	72
A19	18.06	-10	0.47	146	299	364	407	534	1300	1113	1059	1029	963	921	890	838	801	35	244	74
B01	19.31	-8	0.47	155	324	398	451	548	842	1135	1063	1037	965	923	891	838	802	36	248	73
B02	19.40	-6	0.47	155	328	405	468	557	850	1143	1066	1037	966	925	893	842	803	36	249	73
B03	19.47	-4	0.47	158	325	403	479	582	861	1139	1063	1032	965	926	893	843	806	36	249	73
B04	19.58	-2	0.47	160	319	392	472	625	880	1135	1062	1036	971	932	897	849	812	35	250	78
B05	20.04	0	0.47	160	314	377	456	604	902	1201	1118	1073	995	949	916	874	837	36	250	71
C01	21.27	3	0.47	141	269	325	403	520	857	1193	1066	1021	996	954	927	881	844	35	246	53
E01	00.21	6	0.47	130	225	200	338	393	771	1149	1119	1040	962	933	883	843	810	31	232	48

ตารางที่ ข.1.6 ข้อมูลการทดลองเพื่อศึกษาอิทธิพลของ  $X_{PB}$  ที่มีผลต่อ Emission ชนิดเชื้อเพลิงผสมระหว่าง LPG 50% และ Kerosene 50%

file	CL	$X_{PB}$	Air supply		Emission						P (mmH <sub>2</sub> O)		
	(kW)	(mm)	scale	$\Phi$	%O <sub>2</sub>	%CO <sub>2</sub>	CO(ppm)	CO(0%O <sub>2</sub> )	NO <sub>x</sub> (ppm)	NO <sub>x</sub> (0%O <sub>2</sub> )	P1	P2	P3
A00	5	-20	10.5	0.47	11.2	6.4	106	224	88	149	1	0	0
A10	5	-18	10	0.47	11.2	6.4	92	196	84	179	1	0	0
A11	5	-16	10.2	0.47	11.1	6.4	93	198	85	181	1	0	0
A12	55	-14	10	0.47	11.2	6.4	93	198	85	181	1	0	0
A13	5	-12	10.1	0.47	11.1	6.5	93	196	85	179	1	0	0
A14	5	-10	10	0.47	11.2	6.3	92	200	83	179	1	0	0
B01	5	-8	9.8	0.47	11.1	6.4	102	220	82	178	1	0	0
B02	5	-6	10	0.47	11.2	6.4	105	222	87	184	1	0	0
B03	5	-4	10	0.47	11.2	6.4	102	220	84	179	1	0	0
B04	5	-2	9.9	0.47	11.1	6.4	97	207	82	175	1	0	0
B05	5	0	10	0.47	11.2	6.4	112	256	93	209	1	0	0
B06	5	3	10.2	0.47	11.2	6.4	107	224	88	149	1	0	0
B07	5	6	10	0.47	11.1	6.4	93	196	84	179	1	0	0

ตารางที่ ๔.1.7 ข้อมูลการทดลองเพื่อศึกษาอิทธิพลของ  $\Phi$  ที่มีผลต่อ Temperature ในหัวเผานิดเรือเพลิงผสมระหว่าง LPG 50% และ Kerosene 50%

File	Time	$X_{PB}$	$\Phi$	T1	T2	T3	T4	T5	T6	T7	T8	T9	T10	T11	T12	T13	T14	T15	T16	T17
F09	03.10	0	0.66	170	339	419	511	583	972	1361	1188	1121	1057	1008	978	920	880	35	271	66
F08	02.57	0	0.61	166	327	406	498	568	951	1334	1171	1097	1031	987	952	900	862	34	259	62
F07	02.52	0	0.59	164	324	402	494	564	935	1306	1150	1083	1017	973	941	889	854	34	256	64
F06	02.41	0	0.55	161	315	392	483	552	917	1282	1133	1062	994	955	920	876	842	34	249	62
F05	02.30	0	0.53	158	307	383	475	545	914	1283	1132	1054	985	941	907	866	834	34	242	60
F04	02.22	0	0.51	154	300	376	468	542	917	1293	1139	1049	979	932	893	857	828	34	236	59
F03	02.14	0	0.49	150	291	367	460	534	917	1300	1128	1038	967	916	878	842	814	34	232	60
F02	02.07	0	0.47	145	278	354	450	521	917	1313	1120	1029	954	905	869	836	808	34	230	58
F01	03.42	0	0.45	172	331	406	498	542	867.5	1193	1064	1014	953	914	887	847	821	33	263	66
F10	03.50	0	0.43	170	325	397	489	531	847.5	1164	1040	991	932	893	867	829	845	33	253	66
F11	03.56	0	0.41	169	319	391	482	521	828	1135	1018	968	911	873	849	815	791	34	245	64
F12	04.02	0	0.38	166	313	382	472	507	795.5	1084	988	938	884	850	825	796	774	34	237	63
F13	04.07	0	0.36	164	306	374	463	496	775.5	1055	965	917	867	830	819	781	761	33	229	63
F14	04.15	0	0.34	161	296	361	450	481	748	1015	933	885	838	802	782	759	740	33	216	67
F15	04.20	0	0.32	158	288	352	440	468	722.5	977	907	857	813	780	762	740	722	33	208	62

ตารางที่ ๘.๑.๘ ข้อมูลการทดลองเพื่อศึกษาอิทธิพลของ  $\Phi$  ที่มีผลต่อ Emission ในหัวเผาชนิดเชื้อเพลิงผสมระหว่าง LPG 50% และ Kerosene 50%

file	$CL$	$X_{PB}$	Air supply		Emission					$P$ (mmH <sub>2</sub> O)			
	(kW)	(mm)	scale	$\Phi$	%O <sub>2</sub>	%CO <sub>2</sub>	CO(ppm)	CO(0%O <sub>2</sub> )	NO <sub>x</sub> (ppm)	NO <sub>x</sub> (0%O <sub>2</sub> )	P1	P2	P3
F08	5	0	7.6	0.66	7.2	8.7	160	247	145	221	1	0	0
F07	5	0	7.0	0.61	6.7	9	12	219	120	199	1	0	0
F06	5	0	7.1	0.59	8.8	8	120	209	112	192	1	0	0
F05	5	0	7.5	0.55	9.5	7.5	106	194	98	180	1	0	0
F04	5	0	7.8	0.53	10	6.8	99	194	76	155	1	0	0
F03	5	0	8	0.51	10.8	7.1	93	178	82	159	1	0	0
F02	5	0	8.5	0.49	11.2	6.8	79	163	76	156	1	0	0
F01	5	0	8.8	0.47	11.6	6.4	75	160	70	149	1	0	0
F09	5	0	9	0.45	12	6.1	69	155	71	160	1	0	0
F10	5	0	9.3	0.43	12.4	5.8	62	146	63	148	1	0	0
F11	5	0	9.6	0.41	13.1	5.6	56	138	58	143	1	0	0
F12	5	0	10.4	0.38	13.4	5.1	46	123	48	129	1	0	0
F13	5	0	10.8	0.36	13.9	4.9	40	111	44	123	1	0	0
F14	5	0	11.4	0.34	14.3	4.6	34	101	36	107	1	0	0
F15	5	0	11.8	0.32	4.3	4.3	30	95	31	98	1	0	0

ตารางที่ ข.1.9 ข้อมูลการทดลองเพื่อศึกษาอิทธิพลของอัตราการป้อนเชื้อเพลิงที่มีผลต่อ Temperature ในหัวเผาชนิดเชื้อเพลิงผสมระหว่าง LPG 50% และ Kerosene 50%

File	Time	X <sub>PB</sub>	CL	T1	T2	T3	T4	T5	T6	T7	T8	T9	T10	T11	T12	T13	T14	T15	T16	T17
G02	05.03	0	5	152	285	358	448	497	854.5	1212	1062	1010	940	897	867	830	806	33	224	66
G03	06.46	0	6	168	326	403	491	557	860	1163	1087	1062	1003	963	933	897	865	33	260	67
G04	07.20	0	7	161	301	374	450	513	856.5	1200	1127	1101	1043	1006	978	947	918	34	242	66
G05	07.35	0	8	158	298	372	449	500	858	1216	1147	1119	1065	1032	1004	973	945	33	246	65
G06	07.52	0	9	155	287	358	438	474	826.5	1179	1116	1093	1043	1011	986	958	932	34	231	70
G07	08.17	0	10	151	284	352	429	495	868.5	1242	1174	1143	1092	1058	1033	1001	969	33	231	66
G08	08.42	0	11	150	283	350	426	502	884	1266	1194	1156	1115	1081	1052	1018	985	34	136	59

ตารางที่ ข.1.8 ข้อมูลการทดลองเพื่อศึกษาอิทธิพลของอัตราการป้อนเชื้อเพลิงที่มีผลต่อ Emission ในหัวเผาชนิดเชื้อเพลิงผสมระหว่าง LPG 50% และ Kerosene 50%

file	CL	$X_{PB}$	Air supply		Emission						P (mmH <sub>2</sub> O)		
	(kW)	(mm)	scale	$\Phi$	%O <sub>2</sub>	%CO <sub>2</sub>	CO(ppm)	CO(0%O <sub>2</sub> )	NO <sub>x</sub> (ppm)	NO <sub>x</sub> (0%O <sub>2</sub> )	P1	P2	P3
G02	5	0	11.5	0.47	11.2	6.2	69	153	366	147	0	0	0
G03	6	0	12.5	0.47	11.1	6.2	108	243	97	213	0	0	0
G04	7	0	13	0.47	11.3	6.2	100	218	94	202	0	0	0
G05	8	0	14.5	0.47	11.2	6.3	96	209	90	196	1	0	0
G06	9	0	15.5	0.47	11.2	6.3	77	175	89	195	2	0	0
G07	10	0	16.5	0.47	11.2	6.2	96	213	91	200	2	0	0
G08	11	0	17.5	0.47	11.1	6.2	98	218	9	207	2	0	0

## ข.2 กรณี PM Flame

ตารางที่ ข.2.1 ข้อมูลการทดลองเพื่อศึกษาอิทธิพลของ  $X_{PB}$  ที่มีผลต่อ Temperature ในหัวเผา ชนิดเชื้อเพลิง LPG

File	Time	$X_{PB}$	$\Phi$	T1	T2	T3	T4	T5	T6	T7	T8	T9	T10	T11	T12	T13	T14	T15	T16	T17
b01	15.59.10	-20	0.47	205	425	492	582	1025	644	1521	1436	1390	1302	1155	960	893	851	40	318	290
b02	16.31.48	-18	0.47	209	426	497	614	1070	624	1569	1488	1372	1290	1131	930	862	826	39	312	288
b03	17.05.02	-16	0.47	200	416	492	577	902	608	1532	1541	1415	1327	1169	965	890	846	40	309	276
b04	17.35.08	-14	0.47	193	383	463	613	961	1219	947	1627	1439	1332	1167	951	877	838	39	306	283
b05	18.19.51	-12	0.47	183	344	433	599	779	984	1512	1636	1500	1383	1223	977	895	854	40	314	292
b06	18.48.20	-10	0.47	166	291	337	413	543	465	1351	1512	1521	1448	1283	1007	926	881	39	311	291
b07	19.15.59	-8	0.47	134	218	247	276	313	316	928	1427	1519	1474	1317	1025	942	893	38	298	282
b08	19.56.15	-6	0.47	104	154	175	197	221	300	651	1050	1441	1352	1268	951	872	834	39	241	237
b09	20.40.30	-4	0.47	87	123	138	156	182	300	300	665	1437	1317	1237	920	858	824	38	220	214
b10	21.09.30	-2	0.47	81	115	129	153	181	300	300	545	1477	1368	1271	965	896	853	37	231	221
b11	22.01.50	0	0.47	79	115	137	159	187	300	300	300	1457	1418	1275	973	904	870	36	239	237

ตารางที่ ๖.๒.๒ ข้อมูลการทดลองเพื่อศึกษาอิทธิพลของ  $X_{PB}$  ที่มีผลต่อ Emission ชนิดเชื้อเพลิง LPG

file	CL	$X_{PB}$	Air supply		Emission						P (mmH <sub>2</sub> O)			CO/CO <sub>2</sub>
	(kW)	(mm)	scale	$\Phi$	%O <sub>2</sub>	%CO <sub>2</sub>	CO(ppm)	CO(0%O <sub>2</sub> )	NO <sub>x</sub> (ppm)	NO <sub>x</sub> (0%O <sub>2</sub> )	P1	P2	P3	
b01	5.00	-20	7.2	0.47	11.2	6.4	39	85	52	114	113	1	-5	0.00022125
b02	5.00	-18	8	0.47	11.1	6.6	36	75	45	94	130	1	-5	0.00019123
b03	5.00	-16	7	0.47	11.1	6.6	34	70	41	90	110	1	-5	0.00017849
b04	5.00	-14	8.3	0.47	11.2	6.3	38	80	44	100	153	1	-5	0.00021154
b05	5.00	-12	8.4	0.47	11.2	6.3	34	77	47	99	170	1	-5	0.00020361
b06	5.00	-10	9.2	0.47	11.2	6.4	26	58	35	76	220	1	-5	0.00015097
b07	5.00	-8	9.6	0.47	11.2	6.4	24	52	30	65	240	1	-5	0.00013535
b08	5.00	-6	12.5	0.47	11.1	6.5	19	40	25	53	310	1	-5	0.00010356
b09	5.00	-4	11.8	0.47	11.2	6	14	31	18	40	310	1	-5	0.00008607
b10	5.00	-2	10.25	0.47	11.1	6.4	12	26	16	34	250	1	-5	0.00006837
b11	5.00	0	11.2	0.47	11.2	6.4	11	30	17	36	310	1	-5	0.00007809

ตารางที่ ข.2.3 ข้อมูลการทดลองเพื่อศึกษาอิทธิพลของ  $\Phi$  ที่มีผลต่อ Emission ชนิดเชื้อเพลิง LPG

File	Time	$\Phi$	X <sub>PB</sub>	T1	T2	T3	T4	T5	T6	T7	T8	T9	T10	T11	T12	T13	T14	T15	T16	T17
c01	23.05.55	0.79	0	78	108	129	144	170	300	300	300	1239	1387	1248	1072	1022	989	35	269	245
c02	23.30.20	0.75	0	80	115	139	158	190	300	300	294	1293	1410	1270	1121	1051	1009	36	292	272
c04	23.44.20	0.71	0	84	122	146	166	199	300	300	316	1322	1422	1279	1128	1048	1000	35	292	276
c05	23.55.20	0.67	0	86	126	150	170	204	300	300	326	1346	1429	1281	1123	1036	982	38	292	277
c06	00.03.40	0.63	0	88	128	152	174	207	300	300	343	1356	1438	1287	1115	1016	963	39	288	277
c07	00.15.40	0.59	0	91	131	155	176	208	300	300	349	1362	1441	1289	1108	1003	954	39	279	270
c08	00.27.20	0.55	0	92	132	156	178	209	300	300	343	1387	1452	1299	1078	980	938	39	279	270
c09	00.58.50	0.51	0	93	133	155	176	205	300	300	319	1400	1460	1304	1050	961	922	38	263	258
c10	01.25.55	0.47	0	96	138	154	178	207	300	300	302	1470	1473	1320	986	913	881	43	256	251
c11	02.04.10	0.44	0	93	129	144	163	185	300	300	300	1461	1450	1288	944	876	842	41	224	220
c12	02.36.40	0.41	0	89	123	137	156	177	300	300	300	1484	1426	1257	896	833	807	41	208	206
c13	02.57.55	0.39	0	87	119	132	149	168	300	300	300	1456	1398	1220	873	815	791	43	195	193

ตารางที่ ข.2.4 ข้อมูลการทดลองเพื่อศึกษาอิทธิพลของ  $\Phi$  ที่มีผลต่อ Emission ชนิดเชื้อเพลิง LPG

file	<i>CL</i>	$X_{PB}$	Air supply		Emission						P (mmH <sub>2</sub> O)			CO/CO <sub>2</sub>
	(kW)	(mm)	scale	$\Phi$	%O <sub>2</sub>	%CO <sub>2</sub>	CO(ppm)	CO(0%O <sub>2</sub> )	NO <sub>x</sub> (ppm)	NO <sub>x</sub> (0%O <sub>2</sub> )	P1	P2	P3	
c01	5	0	6.75	0.79	4.5	10.6	29	50	28	37	147	1	-5	0.0001
c03	5	0	7.1	0.75	5.2	10.2	22	29	25	33	170	1	-5	0.0001
c04	5	0	7.7	0.71	6.1	9.7	19	27	26	36	195	1	-5	0.0001
c05	5	0	8	0.67	7	9.1	17	25	25	37	210	1	-5	0.0001
c06	5	0	8.5	0.63	7.7	8.7	16	25	25	40	221	1	-5	0.0001
c07	5	0	8.6	0.59	8.7	8	14	21	23	39	230	1	-5	0.0001
c08	5	0	9.2	0.55	9.5	7.5	13	24	21	38	254	1	-5	0.0001
c09	5	0	9.6	0.51	10.2	7.1	10	20	18	35	270	1	-5	0.0001
c10	5	0	11.2	0.47	11.2	6.3	13	28	16	35	350	1	-5	0.0001
c11	5	0	11.5	0.44	11.7	6	23	53	15	34	350	1	-5	0.0001
c12	5	0	12.7	0.41	12.3	5.7	84	204	14	34	390	1	-5	0.001
c13	5	0	13.3	0.39	12.9	5.2	181	486	11	29	405	1	-5	0.001

ตารางที่ ข.2.5 ข้อมูลการทดลองเพื่อศึกษาอิทธิพลของ FR ที่มีผลต่อ Temperature ในหัวเผา ชนิดเชื้อเพลิง LPG

File	Time	CL	X <sub>PB</sub>	T1	T2	T3	T4	T5	T6	T7	T8	T9	T10	T11	T12	T13	T14	T15	T16	T17
d01	03.46.08	5	0	80	113	134	152	176	300	300	300	1460	1457	1305	962	890	860	38	223	222
d02	04.04.10	6	0	82	114	135	154	181	300	300	300	1493	1513	1369	993	913	885	39	221	223
d03	04.20.40	7	0	82	114	133	152	182	300	300	300	1483	1562	1405	1030	948	916	41	221	224
d04	04.38.59	8	0	83	114	132	152	187	300	300	300	1494	1596	1427	1051	963	936	41	224	229
d05	05.03.30	9	0	83	111	128	146	181	300	300	300	1413	1615	1453	1068	989	960	41	214	217

ตารางที่ ข.2.6 ข้อมูลการทดลองเพื่อศึกษาอิทธิพลของ FR ที่มีผลต่อ Emission ชนิดเชื้อเพลิง LPG

file	CL	X <sub>PB</sub>	Air supply		Emission						P (mmH <sub>2</sub> O)		CO/CO <sub>2</sub>	
	(kW)	(mm)	scale	Φ	%O <sub>2</sub>	%CO <sub>2</sub>	CO(ppm)	CO(0%O <sub>2</sub> )	NO <sub>x</sub> (ppm)	NO <sub>x</sub> (0%O <sub>2</sub> )	P1	P2	P3	
d01	5	0	11.1	0.47	11.1	6.5	10	23	17	36	320	1	-5	0.00006
d02	6	0	12.6	0.47	11.1	6.4	10	22	17	37	425	1	-5	0.00006
d03	7	0	13.5	0.47	11.1	6.4	8	17	18	37	470	1	-5	0.00004
d04	8	0	14.5	0.47	11.2	6.4	9	19	20	38	580	1	-5	0.00005
d05	9	0	15.3	0.47	11.1	6.4	12	26	18	38	635	1	-5	0.00007

ตารางที่ ๔.๒.๗ ข้อมูลการทดลองเพื่อศึกษาอิทธิพลของ  $X_{PB}$  ที่มีผลต่อ Temperature ในหัวเผา ชนิดเชื้อเพลิง Kerosene

File	Time	$X_{PB}$	$\Phi$	T1	T2	T3	T4	T5	T6	T7	T8	T9	T10	T11	T12	T13	T14	T15	T16	T17
c02	11.47	-23	0.47	132	269	310	396	326	537	1500	1404	1339	1276	1178	960	831	816	32	291	270
c03	12.14	-20	0.47	153	305	341	446	378	522	1477	1458	1335	1269	1149	943	806	788	34	297	274
c04	12.37	-17	0.47	163	303	342	432	380	555	1143	1456	1460	1354	1210	1002	861	833	35	307	276
c05	13.04	-15	0.47	165	300	347	448	386	570	1077	1303	1447	1375	1229	1000	859	830	36	322	290
c06	13.36	-13	0.47	174	331	391	492	470	529	1276	1347	1326	1271	1170	962	832	811	35	319	298
c07	14.25	-11	0.47	161	283	314	366	383	498	1084	1337	1369	1298	1165	964	859	832	34	316	290
c08	15.06	-9	0.47	162	284	317	399	427	531	1228	1522	1403	1333	1186	983	877	849	36	311	293
c09	15.35	-7	0.47	165	285	308	426	418	537	1323	1432	1330	1292	1165	991	882	866	36	302	282
c10	15.56	-5	0.47	164	281	305	371	510	433	1212	1487	1385	1336	1207	1006	884	864	36	299	275
c11	17.07	-3	0.47	129	220	245	317	510	332	1426	1467	1329	1236	1146	958	860	843	35	282	273
d01	19.01	0	0.47	104	179	201	216	272	300	1101	1395	1348	1216	1122	925	822	807	34	255	247

**ตารางที่ ๔.๒.๘ ข้อมูลการทดสอบเพื่อศึกษาอิทธิพลของ  $X_{PB}$  ที่มีผลต่อ Emission ชนิดเชื้อเพลิง Kerosene**

file	CL	$X_{PB}$	Air supply		Emission						P (mmH <sub>2</sub> O)			CO/CO <sub>2</sub>
	(kW)	(mm)	scale	$\Phi$	%O <sub>2</sub>	%CO <sub>2</sub>	CO(ppm)	CO(0%O <sub>2</sub> )	NO <sub>x</sub> (ppm)	NO <sub>x</sub> (0%O <sub>2</sub> )	P1	P2	P3	
c02-2	5	-23	9	0.47	11.1	8	50	106	67	142	180	1	-5	0.000625
c03	5	-20	8.5	0.47	11.1	7.1	41	87	60	127	180	1	-5	0.000577
c04	5	-17	7.5	0.47	11.1	6.4	32	68	44	93	190	1	-5	0.0005
c04	5	-15	7.5	0.47	11.1	6.8	24	51	40	85	200	1	-5	0.000353
c06	5	-13	9	0.47	11.1	6.9	28	59	44	93	250	1	-5	0.000406
c07	5	-11	8.25	0.47	11.1	6.9	19	40	30	64	235	1	-5	0.000275
c08	5	-9	9.5	0.47	11.1	6.4	18	38	30	64	260	1	-5	0.000281
c09	5	-7	9.5	0.47	11.1	6.9	20	42	23	49	250	1	-5	0.00029
c10	5	-5	8.5	0.47	11.1	6.6	15	32	23	49	260	1	-5	0.000227
c11	5	-3	11	0.47	11.1	6.4	17	36	27	57	410	1	-5	0.000266
d01	5	0	11.5	0.47	11.1	6.9	25	53	26	55	440	1	-5	0.000362

ตารางที่ ๔.๒.๙ ข้อมูลการทดลองเพื่อศึกษาอิทธิพลของ  $\Phi$  ที่มีผลต่อ Temperature ในหัวเผา ชนิดเชื้อเพลิง Kerosene

File	Time	$\Phi$	X <sub>PB</sub>	T1	T2	T3	T4	T5	T6	T7	T8	T9	T10	T11	T12	T13	T14	T15	T16	T17
d01	19.01	0.47	0	104	179	201	216	272	300	1101	1395	1348	1216	1122	925	822	807	34	255	247
d02	19.45	0.45	0	101	177	197	205	265	300	1143	1167	1294	1170	1083	916	815	799	33	249	241
d03	20.22	0.43	0	101	158	173	180	268	300	973	1390	1500	1382	1226	942	840	814	36	231	226
d05	21.04	0.4	0	94	146	163	174	246	300	883	1275	1488	1359	1206	957	863	832	35	241	236
d06	21.21	0.37	0	93	144	161	170	235	300	817	1281	1474	1329	1181	939	850	820	36	233	230
d07	21.56	0.34	0	90	133	148	155	195	300	363	1322	1412	1229	1106	890	810	785	38	212	210

ตารางที่ ข.2.10 ข้อมูลการทดลองเพื่อศึกษาอิทธิพลของ  $\Phi$  ที่มีผลต่อ Emission ชนิดเชื้อเพลิง Kerosene

file	CL	$X_{PB}$	Air supply		Emission					P (mmH <sub>2</sub> O)		CO/CO <sub>2</sub>		
	(kW)	(mm)	scale	$\Phi$	%O <sub>2</sub>	%CO <sub>2</sub>	CO(ppm)	CO(0%O <sub>2</sub> )	NO <sub>x</sub> (ppm)	NO <sub>x</sub> (0%O <sub>2</sub> )	P1	P2		
d01	5	0	11.5	0.47	11.1	6.9	25	53	26	55	440	1	-5	0.000362
d02	5	0	12	0.45	11.5	6.8	35	77	24	53	420	1	-5	0.000515
d03	5	0	12.5	0.43	12	6.2	15	35	23	54	490	1	-5	0.000242
d04	5	0	11.6	0.43	12	6.4	14	33	24	56	420	1	-5	0.000219
d05	5	0	12	0.40	12.7	5.9	14	35	21	53	455	1	-5	0.000237
d06	5	0	12	0.37	13.2	5.5	21	57	17	46	480	1	-5	0.000382
d07	5	0	13.5	0.34	13.9	5.1	96	284	16	47	505	1	-5	0.001882

ตารางที่ ๘.๒.๑๑ ข้อมูลการทดลองเพื่อศึกษาอิทธิพลของ FR ที่มีผลต่อ Temperature ในหัวเผา ชนิดเชื้อเพลิง Kerosene

File	Time	CL	$\Phi$	T1	T2	T3	T4	T5	T6	T7	T8	T9	T10	T11	T12	T13	T14	T15	T16	T17
e01	23.16	6	0.4	90	134	150	162	206	300	374	1233	1510	1409	1233	973	866	828	37	241	235
e02	23.46	6.5	0.4	90	137	154	164	210	300	364	1201	1552	1424	1264	1007	905	865	37	249	244
e03	0.03	7	0.4	89	137	154	164	208	300	354	1223	1560	1420	1270	1011	914	876	37	248	244
e05	3.01	7.5	0.4	77	113	132	137	165	300	300	1165	1538	1508	1340	1018	918	886	39	217	215
e06	3.17	8	0.4	78	114	133	136	166	300	300	945	1574	1556	1398	1056	957	921	39	220	219
e07	3.46	8.5	0.4	79	116	134	135	164	300	300	1024	1577	1553	1375	1052	961	927	39	215	214
e08	5.19	9	0.4	75	116	136	129	155	300	300	797	1596	1577	1365	1037	939	908	35	200	203
e09	5.35	10.56	0.4	74	114	132	122	152	300	300	347	1639	1623	1442	1079	992	958	35	195	198

ตารางที่ ข.2.12 ข้อมูลการทดลองเพื่อศึกษาอิทธิพลของ FR ที่มีผลต่อ Emission ชนิดเชื้อเพลิง Kerosene

file	CL	X <sub>PB</sub>	Air supply		Emission						P (mmH <sub>2</sub> O)			CO/CO <sub>2</sub>
	(kW)	(mm)	scale	Φ	%O <sub>2</sub>	%CO <sub>2</sub>	CO(ppm)	CO(0%O <sub>2</sub> )	NO <sub>x</sub> (ppm)	NO <sub>x</sub> (0%O <sub>2</sub> )	P1	P2	P3	
e01-2	6	0	11.5	0.47	11.1	6.1	22	54	25	62	395	1	-5	0.000361
e02	6.5	0	12.5	0.47	11.2	5.8	19	48	26	66	490	1	-5	0.000328
e03	7	0	13	0.47	11.1	6.1	19	47	26	64	540	1	-5	0.000311
e05	7.5	0	14.5	0.47	11.1	5.8	14	35	24	60	550	1	-5	0.000241
e06	8	0	15.5	0.47	11.1	6	13	32	23	57	637	1	-5	0.000217
e07	8.5	0	16.5	0.47	11.2	6.1	13	32	24	59	700	1	-5	0.000213
e08	9	0	17.5	0.47	11.2	5.9	15	37	24	59	830	1	-5	0.000254
e09	10.56	0	19.5	0.47	11.2	6.1	13	32	21	52	1000	1	-5	0.000213

ตารางที่ บ.2.13 ข้อมูลการทดลองเพื่อศึกษาอิทธิพลของ  $X_{PB}$  ที่มีผลต่อ Temperature ในหัวเผาชนิดเชื้อเพลิงผสมระหว่าง LPG 50% และ Kerosene 50%

File	Time	$X_{PB}$	$\Phi$	T1	T2	T3	T4	T5	T6	T7	T8	T9	T10	T11	T12	T13	T14	T15	T16	T17
a03_0	14.18.10	-16	0.47	193	492	705	717	723	547	1424	1494	1385	1344	1169	966	908	866	42	312	298
a04_0	15.04.40	-14	0.47	204	553	748	773	737	456	1322	1382	1268	1194	1098	900	846	805	41	281	273
a05	16.14.10	-12	0.47	182	441	629	669	742	528	1350	1482	1354	1297	1119	920	864	824	41	286	269
a06_0	19.06.20	-10	0.47	172	359	491	629	735	550	1209	1304	1217	1186	889	913	871	830	39	261	251
a07_0	20.17.20	-8	0.47	142	296	470	536	509	610	865	1145	1145	1205	990	1010	967	909	39	264	249
a08_0	21.16.30	-6	0.47	120	207	268	289	291	341	853	1166	1434	1401	1084	1036	957	907	40	276	266
a09_0	22.35.00	-4	0.47	106	184	231	218	240	293	653	1190	1505	1332	1076	959	872	835	37	275	269
a10_0	01.26.08	-2	0.47	108	182	218	198	232	300	727	1299	1511	1292	1085	933	855	821	37	258	252
a11_0	03.13.40	0	0.47	89	150	181	166	194	300	449	1206	1564	1505	1172	958	885	846	37	267	256

ตารางที่ ข.2.14 ข้อมูลการทดลองเพื่อศึกษาอิทธิพลของ  $X_{PB}$  ที่มีผลต่อ Emission ในหัวเผาชนิดเชื้อเพลิงผสมระหว่าง LPG 50% และ Kerosene 50%

file	CL	$X_{PB}$	Air supply		Emission						P (mmH <sub>2</sub> O)		
	(kW)	(mm)	scale	$\Phi$	%O <sub>2</sub>	%CO <sub>2</sub>	CO(ppm)	CO(0%O <sub>2</sub> )	NO <sub>x</sub> (ppm)	NO <sub>x</sub> (0%O <sub>2</sub> )	P1	P2	P3
a03-0	5.20	-16	9.9	0.47	11.1	6.3	55	120	59	129	280	1	-7
a04-0	5.20	-14	11	0.47	11.1	6.5	56	118	61	130	300	1	-7
a05-0	5.20	-12	8.7	0.47	11.1	6.4	37	79	37	78	240	1	-7
a06-0	5.20	-10	9.7	0.47	11.1	6	42	92	21	45	225	1	-7
a07-0	5.20	-8	8.6	0.47	11.1	6.4	21	46	20	43	235	1	-7
a08-0	5.20	-6	10	0.47	11.1	6.4	24	51	26	55	310	1	-7
a09-0	5.20	-4	11.1	0.47	11.1	6.6	29	61	30	60	450	1	-7
a10-0	5.20	-2	11.6	0.47	11.1	6.4	37	80	38	84	485	1	-7
a11-1	5.20	0	10.5	0.47	11.1	6.4	26	55	31	65	465	1	-7

ตารางที่ ข.2.15 ข้อมูลการทดลองเพื่อศึกษาอิทธิพลของ  $\Phi$  ที่มีผลต่อ Temperature ในหัวเผาชนิดเชื้อเพลิงผสมระหว่าง LPG 50% และ Kerosene 50%

File	Time	$\Phi$	X <sub>PB</sub>	T1	T2	T3	T4	T5	T6	T7	T8	T9	T10	T11	T12	T13	T14	T15	T16	T17
a11_0	03.13.40	0.47	0	89	150	181	166	194	300	449	1206	1564	1505	1172	958	885	846	37	267	256
b01	03.47.10	0.5	0	93	157	190	173	203	300	478	1194	1575	1527	1218	987	906	866	39	281	269
b02	04.36.00	0.53	0	101	170	205	184	224	300	531	1289	1628	1487	1201	998	918	877	42	306	292
b03	05.03.50	0.56	0	105	176	212	190	230	291	531	1252	1573	1515	1233	1019	935	890	43	313	295
b04	06.09.55	0.59	0	110	187	227	214	252	320	718	1357	1540	1410	1283	1021	943	894	42	334	311
b05	10.09.59	0.45	0	105	185	225	205	245	300	730	1406	1425	1330	1193	957	882	834	39	307	297
b06	10.31.45	0.43	0	105	187	226	205	249	300	736	1427	1428	1319	1184	946	876	826	39	304	295
b07	11.06.30	0.4	0	104	181	218	197	238	300	702	1376	1393	1260	1128	900	842	800	39	283	277

ตารางที่ ข.2.16 ข้อมูลการทดลองเพื่อศึกษาอิทธิพลของ  $\Phi$  ที่มีผลต่อ Emission ในหัวเผาชนิดเชื้อเพลิงผสมระหว่าง LPG 50% และ Kerosene 50%

file	$CL$	$X_{PB}$	Air supply		Emission						P (mmH <sub>2</sub> O)		
	(kW)	(mm)	scale	$\Phi$	%O <sub>2</sub>	%CO <sub>2</sub>	CO(ppm)	CO(0%O <sub>2</sub> )	NO <sub>x</sub> (ppm)	NO <sub>x</sub> (0%O <sub>2</sub> )	P1	P2	P3
b01	5.2	0	9.6	0.50	10.5	6.8	30	60	36	72	430	1	-7
b02	5.2	0	9.2	0.53	9.9	7.1	39	75	45	87	440	1	-7
b03	5.2	0	8.9	0.56	9.2	7.7	41	73	47	83	430	1	-7
b04	5.2	0	8.3	0.59	8.6	8.1	56	97	63	108	425	1	-7
b05	5.2	0	10.25	0.45	11.5	6.2	42	94	43	96	650	1	-7
b06	5.2	0	10.3	0.43	12	5.8	42	98	42	99	665	1	-7
b07	5.2	0	11.3	0.40	12.5	5.5	79	197	31	77	730	1	-7

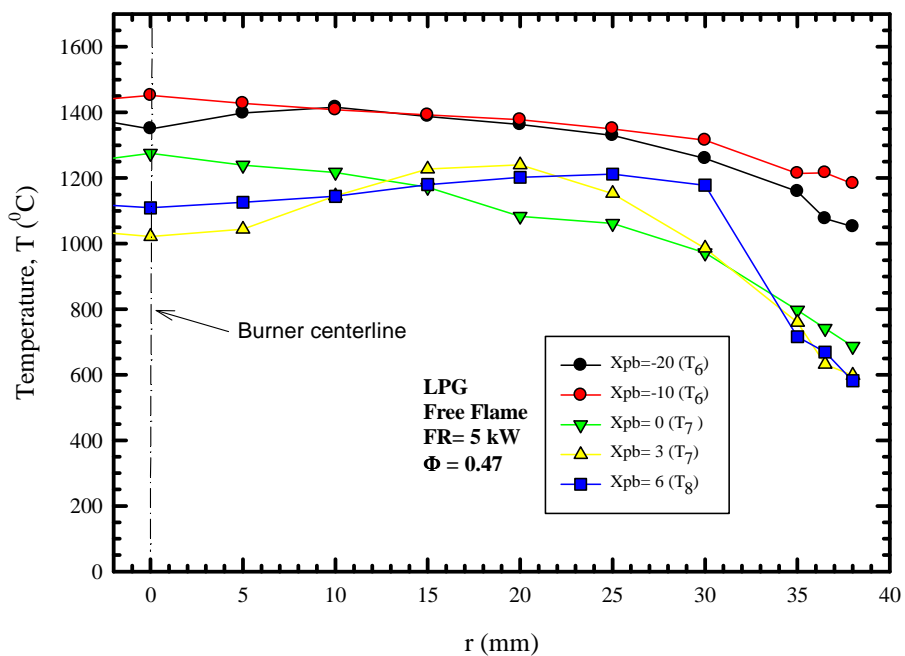
ภาคผนวก ค  
กราฟผลการทดลอง



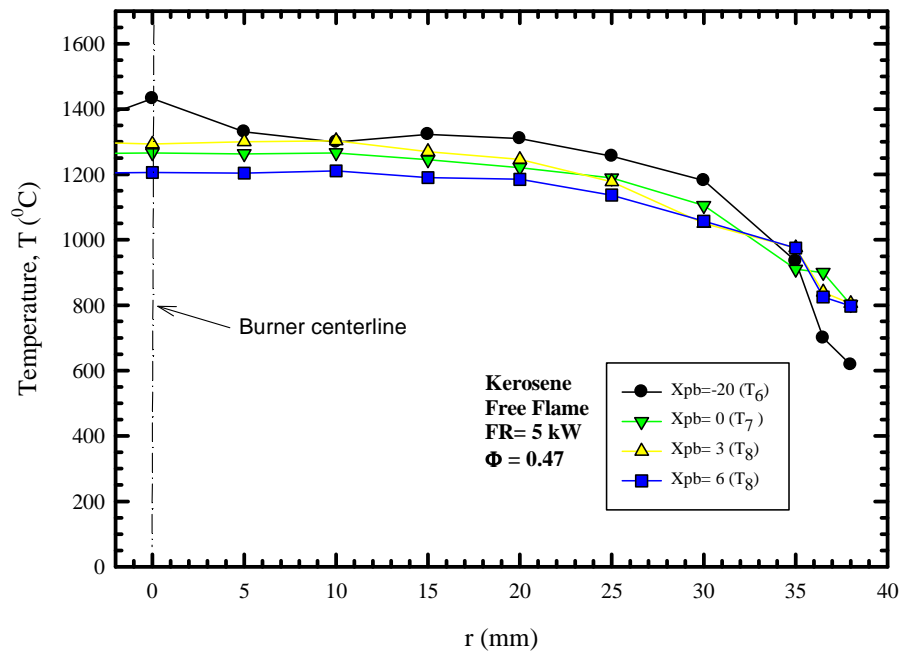
รูปที่ ก.1 แสดงเปลวไฟการเผาไหม้แบบ free flame กรณี  $X_{PB} = -20$  มิลิเมตร



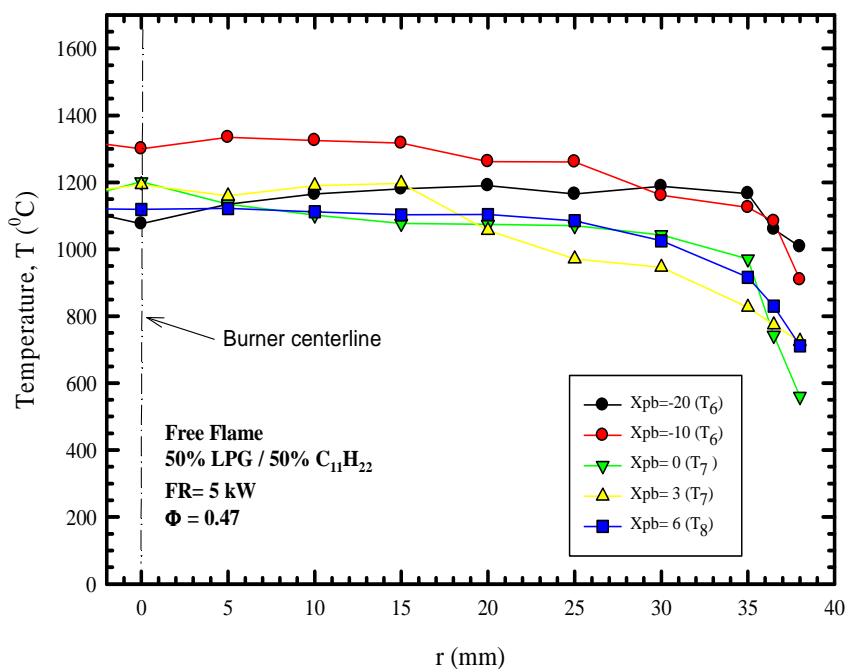
รูปที่ ก.2 แสดงเปลวไฟการเผาไหม้แบบ free flame กรณี  $X_{PB} = 0$  มิลิเมตร



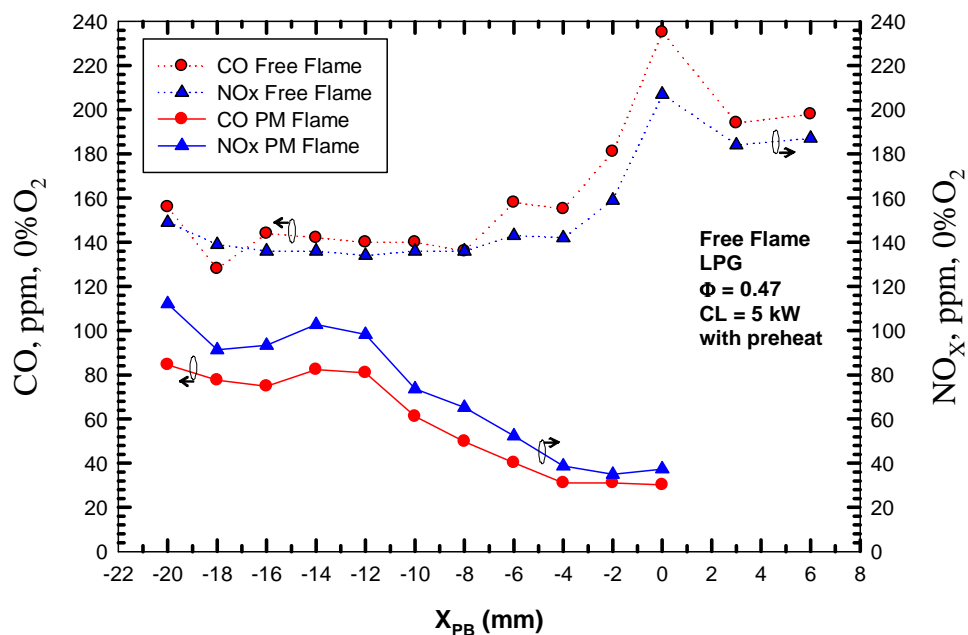
รูปที่ ค.3 แสดงอิทธิพลของระดับ  $X_{PB}$  ต่อโกรงสร้างอุณหภูมิในห้องเผาไหม์ตามแนวรัศมี



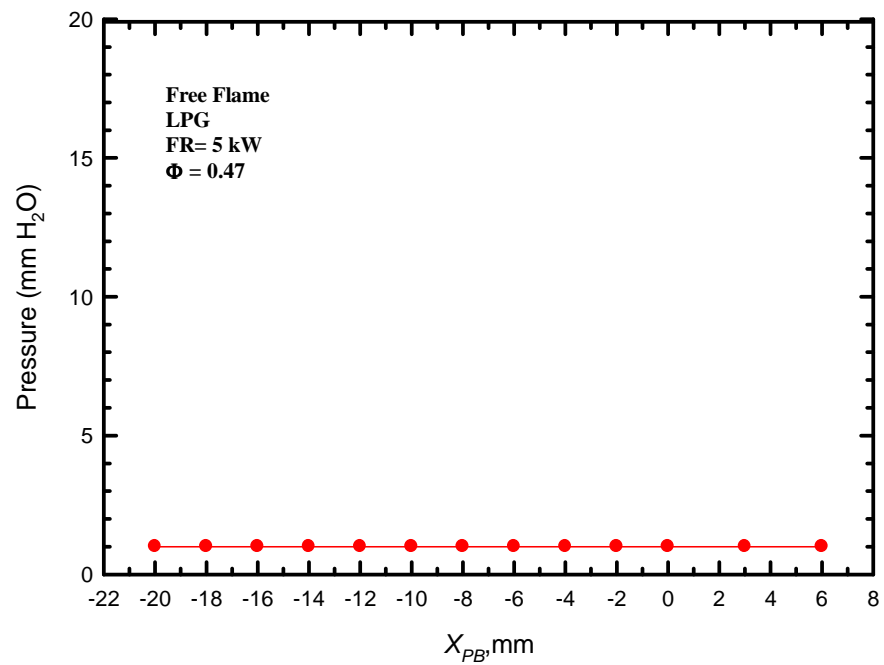
รูปที่ ค.4 แสดงอิทธิพลของระดับ  $X_{PB}$  ต่อโกรงสร้างอุณหภูมิในห้องเผาไหม์ตามแนวรัศมี



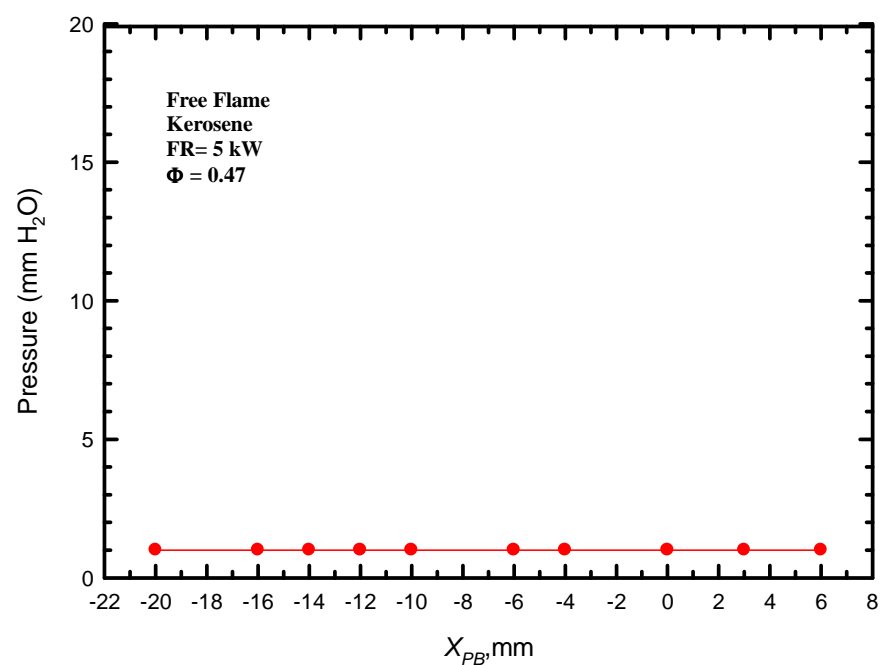
รูปที่ ค.5 แสดงอิทธิพลของระยีด  $X_{PB}$  ต่อโครงสร้างอุณหภูมิในห้องเผาไฟหม้อน้ำร้อนมี



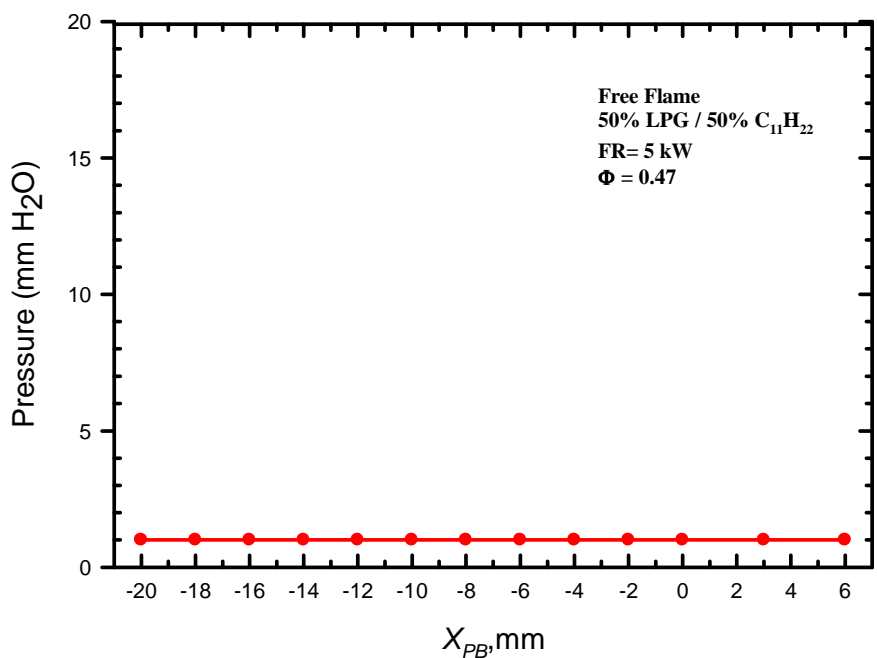
รูปที่ ค.6 แสดงอิทธิพลของระยีด  $X_{PB}$  ต่อ emission



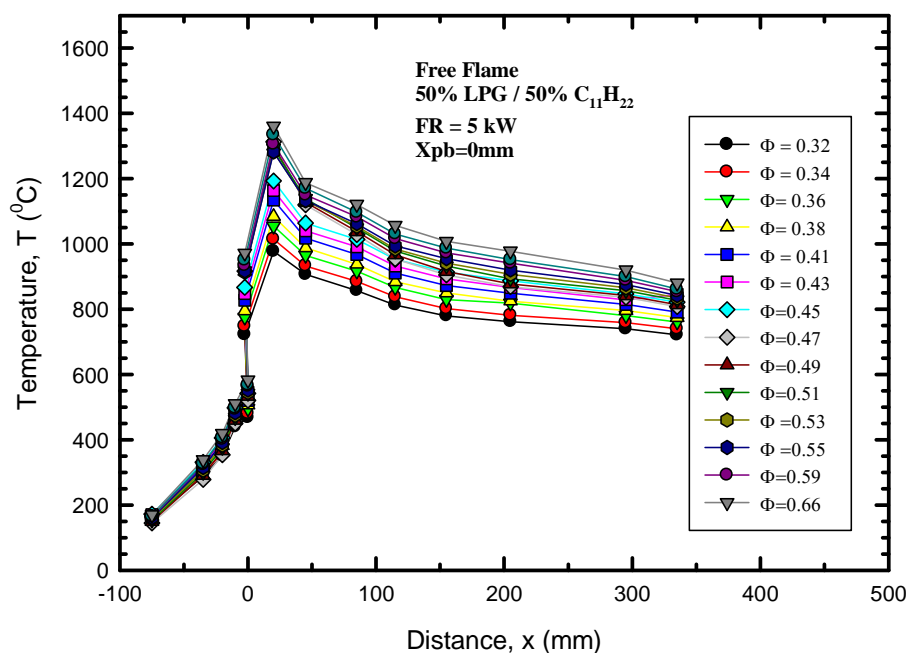
รูป ค.7 แสดงอิทธิพลของระยะ  $X_{PB}$  ต่อความดันในห้องเผาไหม้



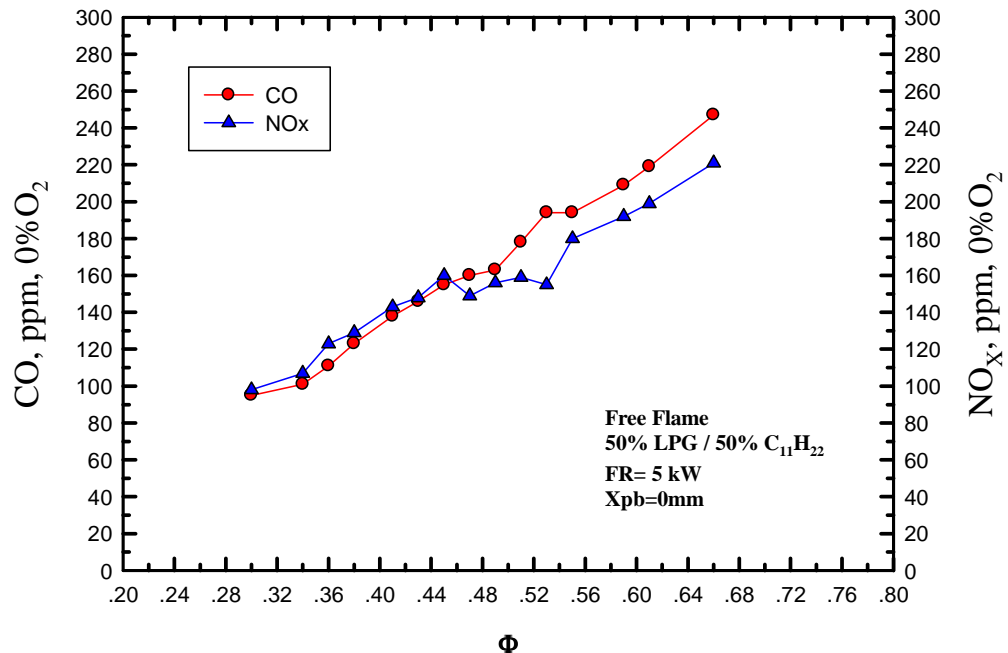
รูป ค.8 แสดงอิทธิพลของระยะ  $X_{PB}$  ต่อความดันในห้องเผาไหม้



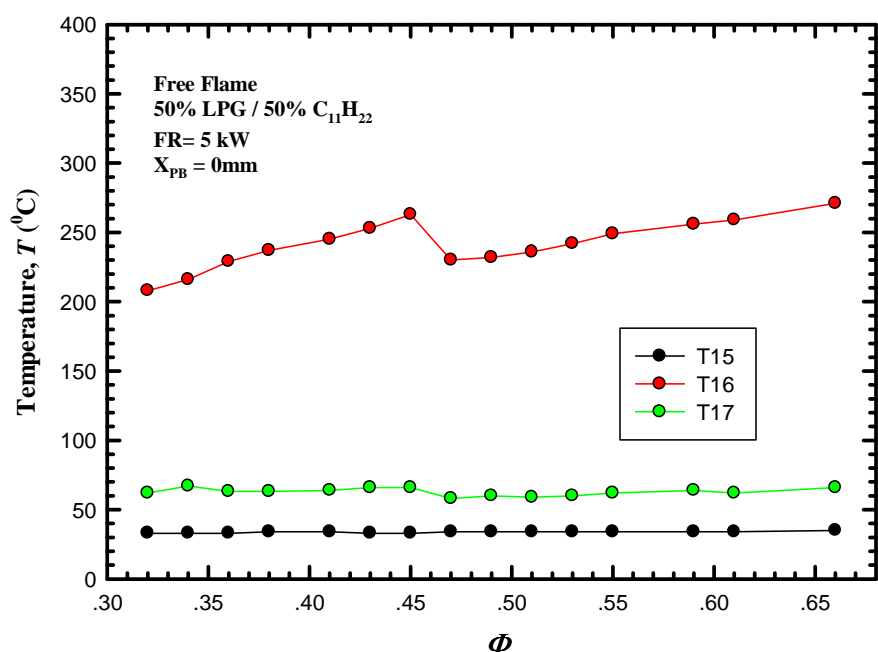
รูปที่ ค.9 แสดงอิทธิพลของระยะ  $X_{PB}$  ต่อความดันในห้องเผาใหม่



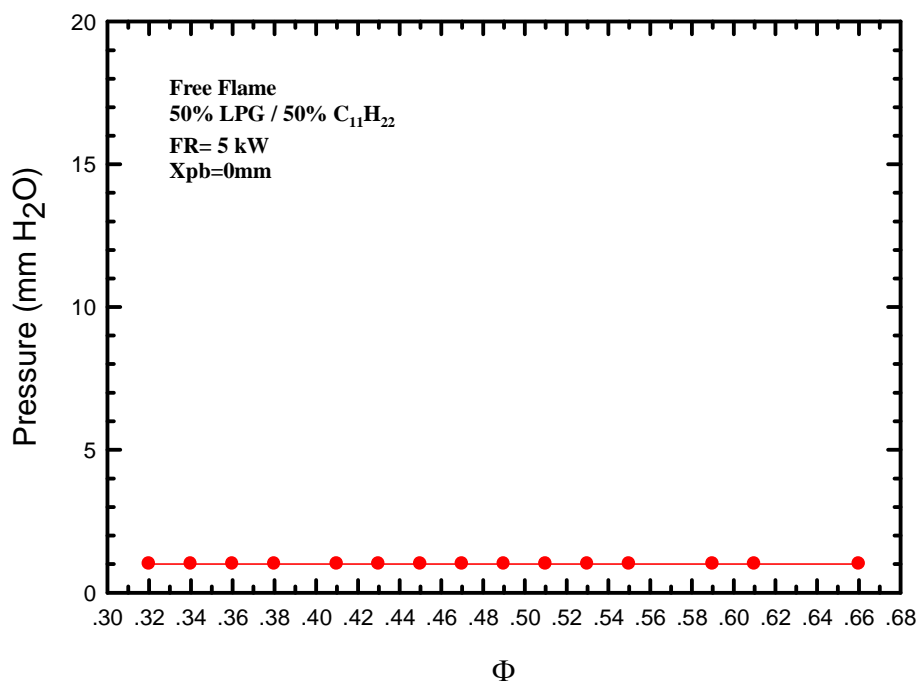
รูป ค.10 แสดงอิทธิพลของระยะ  $\Phi$  ต่อโครงสร้างอุณหภูมิในห้องเผาใหม่ที่ เชื้อเพลิงผสมระหว่าง LPG 50% และ Kerosene 50%



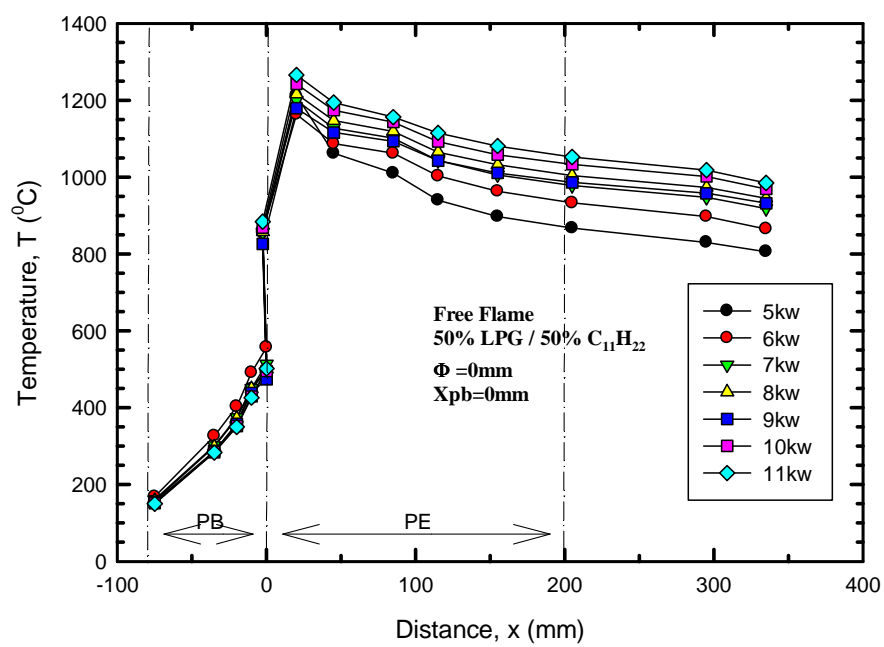
รูป ค.11 แสดงอิทธิพลของระดับ  $\Phi$  ต่อการปลดปล่อยมลพิษ ที่ CL = 5 kW และ X<sub>PB</sub> = 0 mm



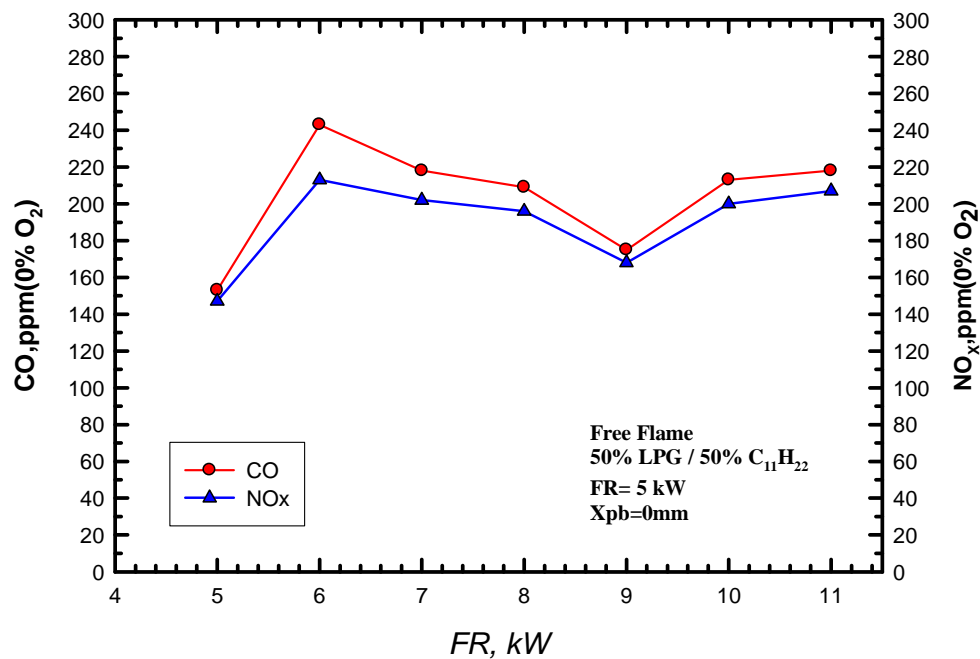
รูป ค.12 แสดงอิทธิพลของระดับ  $\Phi$  ต่อ อุณหภูมิการอุ่นอากาศ เชื้อเพลิงผสมระหว่าง LPG 50% และ Kerosene 50%



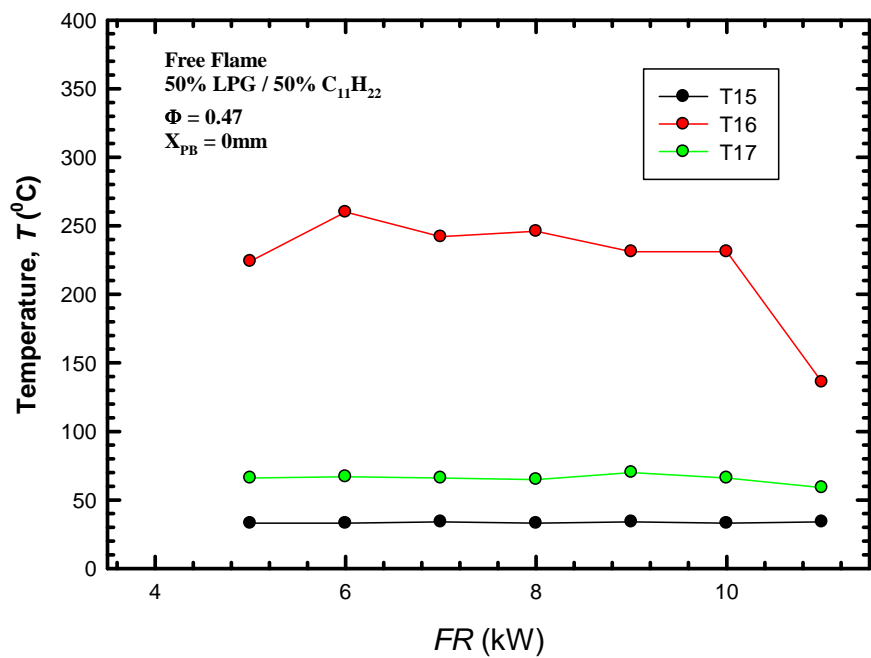
รูปที่ ค.13 แสดงอิทธิพลของระยะ  $X_{PB}$  ต่อความดันในห้องเผาใหม่



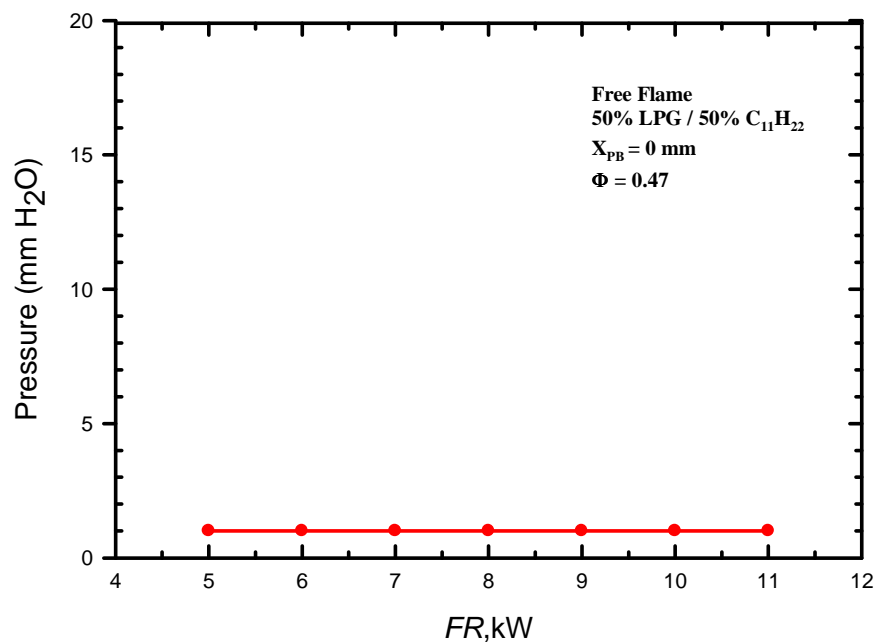
รูป ค.14 แสดงอิทธิพลของระยะ FR ต่อโครงสร้างอุณหภูมิในห้องเผาใหม่ที่ เชื้อเพลิงผสมระหว่าง LPG 50% และ Kerosene 50%



รูป ค.15 แสดงอิทธิพลของระยะ FR ต่อการปลดปล่อยมลพิษ ที่ CL = 5 kW และ X<sub>PB</sub> = 0 mm



รูป ค.16 แสดงอิทธิพลของระยะ  $\Phi$  ต่อ อุณหภูมิการอุ่นอากาศ เชื้อเพลิงสมรรถห่วง LPG 50% และ Kerosene 50%



รูปที่ ค.17 แสดงอิทธิพลของระยะ  $X_{PB}$  ต่อความดันในห้องเผา ใหม่มีเชื้อเพลิงผสมระหว่าง LPG 50% และ Kerosene 50%

ภาคผนวก ๔  
การคำนวณค่าที่ใช้ในการทดสอบ

## 1. การคำนวณอัตราการป้อนเชื้อเพลิง (CL)

### -Kerosene

อัตราการไหหลีเชื้อเพลิงเชิงปริมาตรวัดได้เท่ากับ 30 cm/30 sec

จากตารางสมบัติของเชื้อเพลิง ได้ค่า Low Heating Value และ Density [Kerosene สูตรที่ใช้คือ C<sub>11</sub>H<sub>24</sub>] มีค่าเท่ากับ 44,532 kJ/kg และ 740 kg/m<sup>3</sup> ตามลำดับ

$$\begin{aligned} \dot{m} &= \rho A V \\ &= (740 \frac{\text{kg}}{\text{m}^3}) \times (\pi \times \frac{(0.003)^2}{4} \text{m}^2) \times (\frac{30\text{cm}}{30\text{s}} \times \frac{1\text{m}}{100\text{cm}}) \\ &= 5.41 \times 10^{-5} \frac{\text{kg}}{\text{s}} \end{aligned} \quad (1.1)$$

$$\begin{aligned} CL &= \dot{m} \cdot LHV \\ &= (5.41 \times 10^{-5} \frac{\text{kg}}{\text{s}}) \times (44,532 \frac{\text{kJ}}{\text{kg}}) \\ &= 2.41 \text{kW} \end{aligned} \quad (1.2)$$

### -LPG

อัตราการไหหลีเชื้อเพลิงเชิงมวลวัดได้เท่ากับ 6 × 10<sup>-5</sup> kg / s

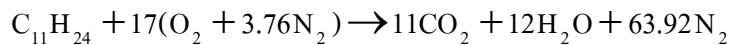
จากตารางสมบัติของเชื้อเพลิง ได้ค่า Low Heating Value (LPG สูตรที่ใช้คือ [0.6 C<sub>4</sub>H<sub>10</sub> + 0.4 C<sub>3</sub>H<sub>8</sub>]) มีค่าเท่ากับ 45,988 kJ/kg

$$CL = (6 \times 10^{-5} \frac{\text{kg}}{\text{s}}) \times (45,988 \frac{\text{kJ}}{\text{kg}})$$

$$CL = 2.76 \text{kW}$$

## 2. การคำนวณค่าอัตราส่วนสมมูล (Fuel Equivalence Ratio, $\Phi$ )

สมการ Stoichiometry ของเชื้อเพลิง Kerosene [ C<sub>11</sub>H<sub>24</sub> ]

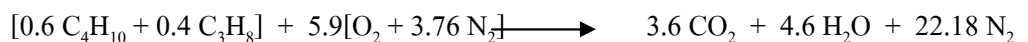


$$(A/F)_{stoi} = \frac{\dot{m}_{Air used}}{\dot{m}_{Fuel used}} \quad (4.3)$$

$$(A/F)_{stoi} = \frac{(17 \times 4.76 \times 29)}{(11 \times 12) + (24 \times 1)}$$

$$= 15.0428$$

สมการ Stoichiometry ของเชื้อเพลิง LPG [ 60% C<sub>4</sub>H<sub>10</sub>, 40% C<sub>3</sub>H<sub>8</sub> ]



$$(A/F)_{stoi} = \frac{(5.9 \times 4.76 \times 29)}{0.6[(4 \times 12) + (24 \times 1)] + 0.4[(3 \times 12) + (8 \times 1)]}$$

$$= 13.395$$

การที่จะบอกว่าสภาพการเผาไหม้มีใช้อากาศมากน้อยจากทฤษฎีแค่ไหนจะบอกด้วยค่า Fuel

Equivalence Ratio,  $\Phi_{fuel}$

$$\Phi_{fuel} = \frac{(A/F)_{stoi}}{(A/F)_{actual}} \quad (4.4)$$

ถ้า  $\Phi_{fuel} = 1$  แสดงว่าการเผาไหม้มีสัดส่วนพอดตามทฤษฎี (Stoichiometry)

ถ้า  $\Phi_{fuel} > 1$  แสดงว่าการเผาไหม้มีอากาศในส่วนผสมน้อยกว่าทฤษฎี (Rich-mixture)

ถ้า  $\Phi_{fuel} < 1$  แสดงว่ามีอากาศในส่วนผสมมากกว่าทฤษฎี (Lean-mixture)

แต่ในทางปฏิบัติ  $\Phi_{fuel}$  จะขึ้นกับ %O<sub>2</sub> ในไอเสีย ดังนั้นจึงคำนวณ  $\Phi_{fuel}$  จากสมการ

$$\Phi_{fuel} = \frac{21 - \% \text{O}_2}{21} \quad (4.5)$$

โดยที่ %O<sub>2</sub> นี้ได้จากเครื่องวิเคราะห์ไอเสีย

เมื่อ %O<sub>2</sub> ได้จากเครื่องวิเคราะห์ไอเสียแล้ว ได้เท่ากับ 11%

$$\Phi_{fuel} = \frac{21 - 11}{21}$$

$$= 0.47$$

### 3. การคำนวณหาค่าสัมประสิทธิ์การดูดกลืนการแผ่รังสี (Absorption Coefficient, $\kappa$ ) และค่าความหนาเชิงแสง (Optical Thickness, $\tau$ )

กรณีที่กำหนดให้วัสดุพูนเมื่อเป็นของแข็งทรงกลมเล็ก ๆ กระจายอยู่ในหนึ่งหน่วยปริมาตรสามารถคำนวณหาค่า Absorption coefficient,  $\kappa$  จาก

$$\kappa = \xi n_p \pi \left( \frac{d_p}{2} \right)^2 \quad (4.5)$$

เมื่อ  $\kappa$  คือ Absorption coefficient

$\xi$  คือค่า Emissivity ของวัสดุพูน

$n_p$  คือ Number density, particles/m<sup>3</sup>

$d_p$  คือ Diameter of particle sphere, m

ในกรณีที่วัสดุพูนเป็นตาข่ายสแตนเลส สามารถหาค่า Absorption coefficient จาก

$$\kappa = \xi A_{\text{proj.}} \quad (4.6)$$

$A_{\text{proj}}$  คือ Projected area per unit volume, m<sup>2</sup>/m<sup>3</sup>

และทั้งสองกรณีสามารถหาค่า Optical thickness  $\tau$  จาก

$$\tau = \kappa x_{\text{PB}} \quad (4.7)$$

โดยที่  $x_{\text{PB}}$  คือ ความหนาของวัสดุพูน

วัสดุพูนเม็ดหินมีค่า  $\xi$  เท่ากับ 0.75 (ใช้สมบัติของ Brick เป็นตัวแทน)

Absorption coefficient,  $\kappa_{\text{PE}} = 71 \text{ l/m}$  [ 25 ]

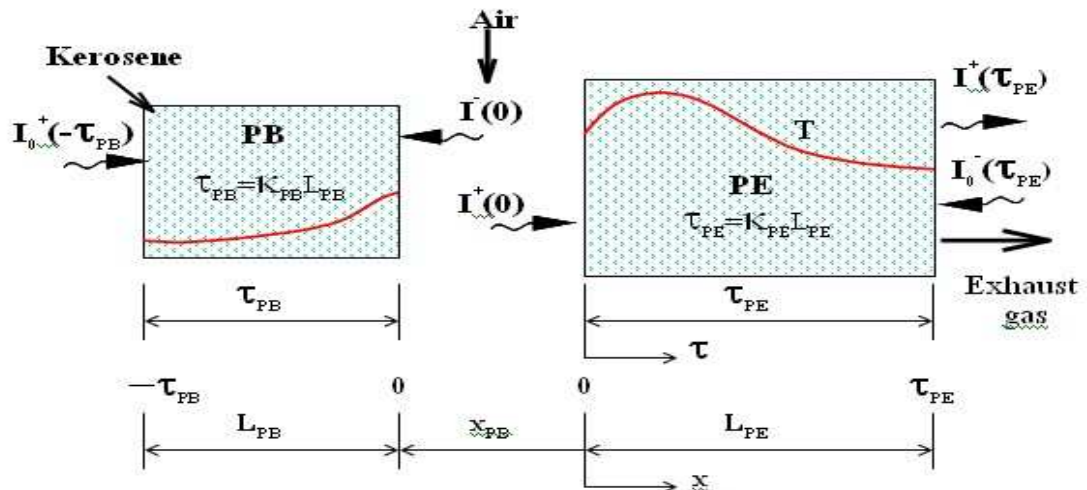
กรณีความหนาของชั้นวัสดุพูน PE เท่ากับ 160 mm

Optical thicknessของวัสดุพูน PE,  $\tau_{\text{PE}} = \kappa_{\text{PE}} x_{\text{PE}}$

$$= 13.48 \times 0.160$$

$$= 11.31429$$

#### 4. ตัวอย่างผลการคำนวณฟลักซ์การแพร่รังสีความร้อน



รูปที่ 4.1 แบบจำลองของระบบเพื่อคำนวณฟลักซ์การแพร่รังสีความร้อน

การประเมินหาค่าฟลักซ์การแพร่รังสีความร้อนเพื่อทราบถึงปริมาณความร้อนจากการแพร่รังสีที่หมุนเวียนช่วยในการระเหยของเชื้อเพลิงเหลวใน PB รูปที่ 4.2 แสดงแบบจำลองของระบบที่พิจารณาประกอบด้วยวัสดุพื้นฐาน PB และ PE มีการแพร่รังสีระหว่างวัสดุพื้นฐานทั้งสอง ภายใน PB และ PE มีโครงสร้างของอุณหภูมิซึ่งได้จากการวัดในการทดลอง โดยมีสมมติฐานในการพิจารณาที่สำคัญดังนี้คือ

1. พิจารณาเฉพาะการแพร่รังสีความร้อนที่เกิดขึ้นระหว่างวัสดุพื้นฐานแบบ 1 มิติ
2. ระบบที่พิจารณาในแต่ละจุดให้มีอุณหภูมิในสภาวะ Local Thermal Equilibrium
3. ไม่คิดการแพร่รังสีความร้อนและการคูดซับความร้อนของแก๊สเนื้องจากมีค่าน้อยมากเมื่อเทียบกับของแข็ง
4. ให้สมมติใช้ฟลักซ์ของของแข็งมีค่าคงที่ไม่ขึ้นกับอุณหภูมิโดยใช้ค่าที่อุณหภูมิเฉลี่ย

ที่  $\tau = 0$  ได้

$$q_r^n(0) = q_r^+(0) - q_r^-(0)$$

หรือ

$$q_r^n(0) = 2\pi[I^+(0) - I^-(0)] \quad (4.18)$$

เมื่อ

$$2\pi[I^+(0)] = 2\pi \left[ I_0^+(-\tau_{PB})E_3(\tau_{PB}) + \int_{-\tau_{PB}}^0 I_b[T(-\tau')]E_2(-\tau')d\tau' \right] \quad (4.19)$$

$$2\pi[I^-(0)] = 2\pi \left[ I_0^-(\tau_{PE})E_3(\tau_{PE}) + \int_0^{\tau_{PE}} I_b[T(\tau')]E_2(\tau_{PE} - \tau')d\tau' \right] \quad (4.20)$$

โดยที่  $\tau'$  คือ Dummy Variable of Integration,  $E_n(\tau)$  คือ Exponential Integral Function

$$I_0^+(-\tau_{PB}) = I_0^-(\tau_{PE}) = \frac{\sigma T_\infty^4}{\pi}$$

จากสมการที่ (5.2) และ (5.3) พบว่าสามารถคำนวณหาค่า  $I^+(0)$  และ  $I^-(0)$  ได้ทันทีจากอุณหภูมิที่วัด ได้จากการทดลอง เพราะ  $I_b = \frac{\sigma T_\infty^4}{\pi}$  เมื่อ  $T$  คือ  $T$  ที่วัด ได้จากการทดลองและนำไปทำเป็น Continuous Function เพื่อใช้ในการคำนวณ

เพื่อความสะดวกในการแก้สมการในการหาค่าตอบจึงจัดสมการให้อยู่ในเทอม ไว้หน่วย โดยกำหนดกลุ่มตัวแปรไว้หน่วยดังนี้คือ

$$\theta_s = \frac{T_s}{T_\infty}$$

$$J = \frac{\pi I_0}{\sigma T_\infty^4}$$

$$H = \frac{q_r}{4\sigma T_\infty^4}$$

ดังนั้นสมการ (4.19) และ (4.20) จึงเขียนให้อยู่ในเทอม ไว้หน่วย ได้ดัง (4.21) และ (4.22)

$$H^+(0) = \frac{1}{2} \left[ J^+(-\tau_{PB})E_3(\tau_{PB}) + \int_{-\tau_{PB}}^0 \theta_s^4(\tau')E_2(\tau')d\tau' \right] \quad (4.21)$$

$$H^-(0) = \frac{1}{2} \left[ J^-(\tau_{PE})E_3(\tau_{PE}) + \int_0^{\tau_{PE}} \theta_s^4(\tau')E_2(\tau_{PE} - \tau')d\tau' \right] \quad (4.22)$$

ในการองค์ขากัน เมื่อพิจารณาค่าพลักซ์การแผ่รังสีความร้อนสุทธิ (Net-Radiative Heat Flux) ที่ผ่าน PE (ณ ตำแหน่ง  $\tau_{PE}$ )

ที่  $\tau = \tau_{PE}$  ได้

$$q_r^n(\tau_{PE}) = q_r^+(\tau_{PE}) - q_r^-(\tau_{PE})$$

$$= 2\pi[I^+(\tau_{PE}) - I^-(\tau_{PE})] \quad (4.23)$$

สามารถเขียนใหม่ให้อยู่ในรูปความเข้มของการแผ่รังสีได้ดังสมการ

$$\begin{aligned} 2\pi[I^+(\tau_{PE})] &= 2\pi \left[ [I_0^+(-\tau_{PB})E_3(\tau_{PB}) + \int_{-\tau_{PB}}^0 I_b[T(\tau')]E_2(\tau')d\tau']E_3(\tau_{PE}) \right. \\ &\quad \left. + \int_0^{\tau_{PE}} I_b[T(\tau')]E_2(\tau_{PE} - \tau')d\tau' \right] \end{aligned} \quad (4.24)$$

$$2\pi[I_0^-(\tau_{PE})] = 2\pi[I_0^+(-\tau_{PB})] = 2\pi \left[ \frac{\sigma T_\infty^4}{\pi} \right] \quad (4.25)$$

สามารถขัดสมการ (4.24) และ (4.25) ให้อยู่ในเทอมไร้ได้ดังสมการ (4.26) และ (4.27)

$$H^+(\tau_{PE}) = \frac{1}{2} \left[ [J^+(-\tau_{PB})E_3(\tau_{PB}) + \int_{-\tau_{PB}}^0 \Theta_s^4(\tau')E_2(\tau')d\tau']E_3(\tau_{PE}) \right. \quad (4.26)$$

$$\left. + \int_0^{\tau_{PE}} \Theta_s^4(\tau')E_2(\tau_{PE} - \tau')d\tau' \right] \quad (4.26)$$

$$H^-(\tau_{PE}) = J^-(\tau_{PE}) \quad (4.27)$$

และจากผลลัพธ์การแผ่รังสีความร้อนสุทธิสามารถนำไปคำนวณประสิทธิภาพของการแผ่รังสีได้ เช่นกัน โดยสมการ (5.11) เป็นการทำประสิทธิภาพของการแผ่รังสีกลับมาของวัสดุพูน PB ( $\eta_{pre}$ ) และ สมการ (5.12) เป็นการทำประสิทธิภาพของการแผ่รังสีของวัสดุพูน PE ( $\eta_{rad}$ )

$$\eta_{pre} = \frac{Q_r^n(0)}{CL} \times 100 \quad (4.28)$$

$$\eta_{rad} = \frac{Q_r^n(\tau_{PE})}{CL} \times 100 \quad (4.29)$$

เมื่อ

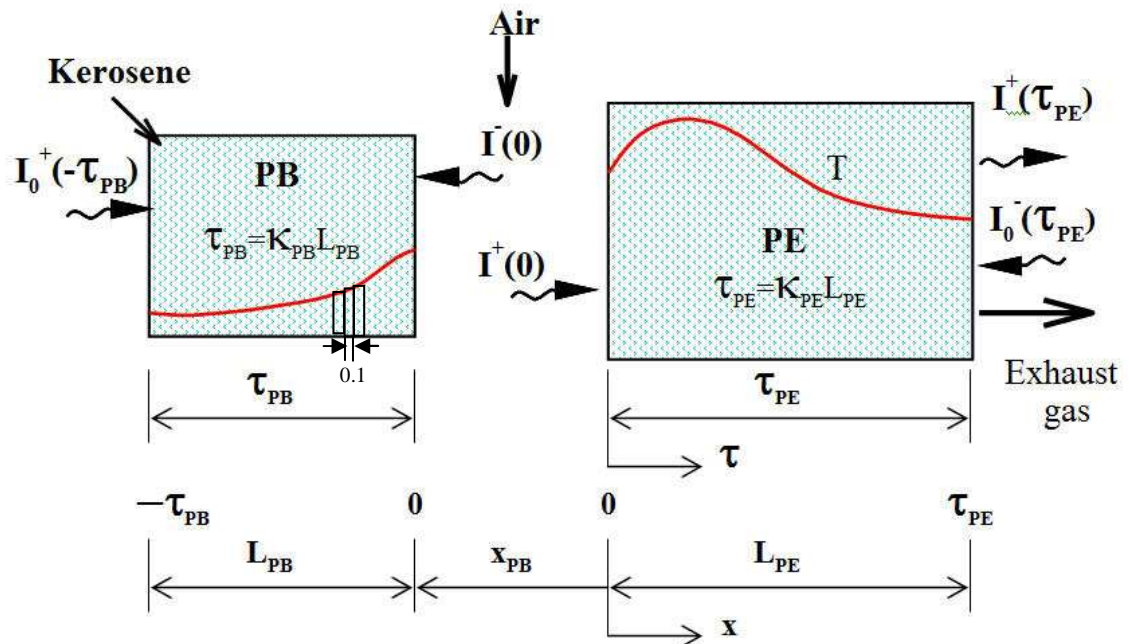
$$Q_r^n(0) = |q_r^n(0)|A_{PB} \quad (4.30)$$

$$Q_r^n(\tau_{PE}) = |q_r^n(\tau_{PE})|A_{PE} \quad (4.31)$$

โดยที่  $A_{PB}$  และ  $A_{PE}$  คือพื้นที่หน้าตัดของ PB และ PE ตามลำดับ

เมื่อกำหนดให้  $\Delta\tau$  เท่ากับ 0.1

ที่เงื่อนไขการทดลอง  $\theta = 0^\circ$ ,  $CL = 5.00 \text{ kW}$ ,  $\Phi = 0.33$ ,  $x_{PB} = x_{PE} = 0 \text{ mm}$  ได้ผลดังนี้  
 $\hat{\tau} = 0$



รูปที่ ๔.๒ แบบจำลองของระบบเพื่อคำนวณฟลักซ์การแพร่รังสีความร้อน

ตารางที่ ๔.๓ ตัวอย่างค่าที่ได้จากการคำนวณ

Quantity	Values
$J^+(-\tau_{PB})$	1.0
$E_3(\tau_{PB})$	$4.13 \times 10^{-60}$
$\int_{-\tau_{PB}}^0 \theta_s^4(\tau') E_2(\tau') d\tau'$	29.22109092
$J^-(\tau_{PE})$	1.0
$E_3(\tau_{PE})$	0.007297
$\int_{\tau_{PE}}^{\tau_0} \theta_s^4(\tau') E_2(\tau - \tau') d\tau'$	205.9253

แทนค่าในสมการที่ (๔.๒๑), (๔.๒๒) และจาก (๔.๑๘) จะได้

$$H^+(0) = \frac{1}{2}[(1.0)(4.13 \times 10^{-60}) + 29.22109092]$$

$$= 14.610557$$

$$H^-(0) = \frac{1}{2}[(1.0)(0.007297) + 205.9253]$$

$$= 102.96631$$

$$H''(0) = |14.610557 - 102.96631|$$

$$= 88.35576$$

$$q_r^n(0) = 4\sigma T_\infty^4 H^n(0)$$

$$= (4) \times (5.6699 \times 10^{-8} \frac{W}{m^2 \cdot K^4}) (300^4 K^4) (88.35576)$$

$$= 162313.740603$$

$$\frac{W}{m^2}$$

$$\text{ຄົດເປັນປິຣິມາຜົນກວາມຮ້ອນ } Q_r'' = (162313.740603 \frac{W}{m^2}) \times ((2.37 \times 10^{-3} m^2) = 384.68 \text{ W}$$

$$q_r^+(0) = 4\sigma T_\infty^4 H^+(0)$$

$$= (4) \times (5.6699 \times 10^{-8} \frac{W}{m^2 \cdot K^4}) \times (300^4 K^4) \times (14.61055)$$

$$= 26840.26747$$

$$\frac{W}{m^2}$$

$$\text{ຄົດເປັນປິຣິມາຜົນກວາມຮ້ອນ } Q_r^+ = (26840.26747 \frac{W}{m^2}) \times (2.37 \times 10^{-3} m^2) = 63.61 \text{ W}$$

$$q_r^-(0) = 4\sigma T_\infty^4 H^-(0)$$

$$= (4) \times (5.6699 \times 10^{-8} \frac{W}{m^2 \cdot K^4}) \times (300^4 K^4) \times (102.96631)$$

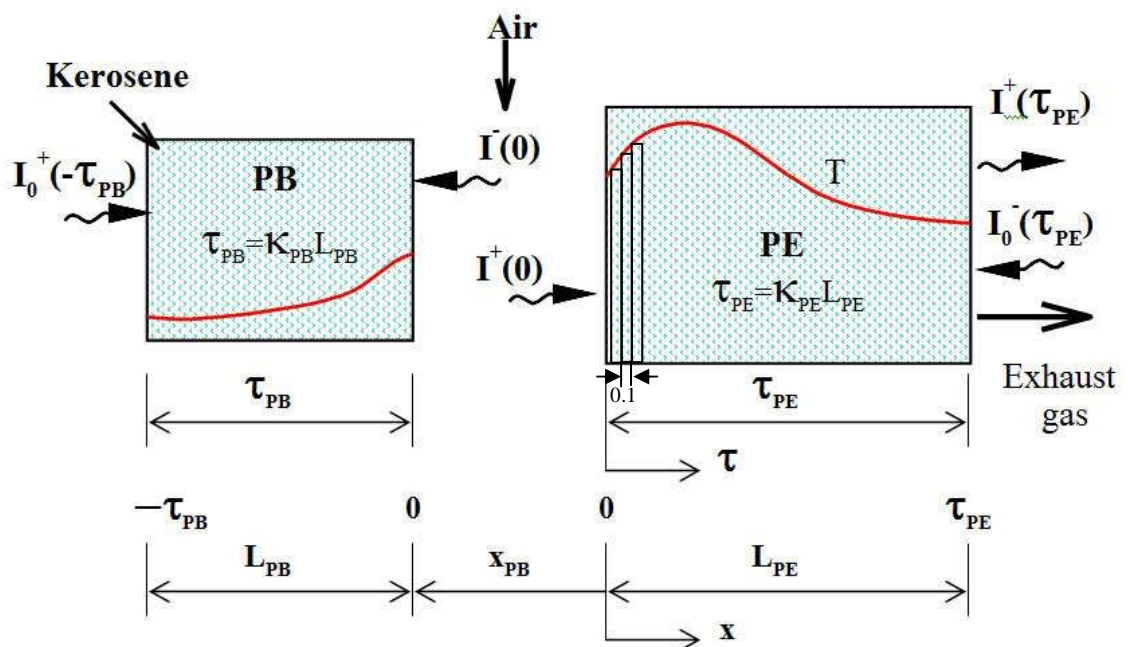
$$= 189154.00807$$

$$\frac{W}{m^2}$$

$$\text{ຄົດເປັນປິຣິມາຜົນກວາມຮ້ອນ } Q_r^- = (189154.00807 \frac{W}{m^2}) \times (2.37 \times 10^{-3} m^2) = 448.29 \text{ W}$$

เมื่อกำหนดให้  $\Delta\tau$  เท่ากับ 0.1

ที่เงื่อนไขการทดลอง  $\theta = 0^\circ$ ,  $CL = 5.00 \text{ kW}$ ,  $\Phi = 0.33$ ,  $x_{PB} = x_{PE} = 0 \text{ mm}$  ได้ผลดังนี้  
ที่  $\tau = \tau_{PE}$  ได้



รูปที่ ๔.๓ แบบจำลองของระบบเพื่อคำนวณฟลักซ์การแพร่รังสีความร้อน

ตารางที่ ๔.๔ ตัวอย่างค่าที่ได้จากการคำนวณ

Quantity	Values
$J^+(-\tau_{PB})$	1.0
$E_3(\tau_{PB})$	$4.13 \times 10^{-60}$
$\int_{-\tau_{PB}}^0 \theta_s^4(\tau') E_2(\tau') d\tau'$	29.22109092
$J^-(\tau_{PE})$	1.0

$E_3(\tau_{PE})$	0.007297
$\int_{\tau_o}^{\tau_{PE}} \theta_s^4(\tau') E_2(\tau_{PE} - \tau') d\tau'$	190.8398168

แทนค่าในสมการที่ (5.9), (5.10) และจาก (5.1) จะได้

$$H^+(\tau_{PE}) = \frac{1}{2}[(1.0)(4.13 \times 10^{-60}) + \frac{1}{2}[(4.13 \times 10^{-60}) + 29.22109092] + \frac{1}{2}[(0.007297) + 190.8398168]] \\ = 95.5265$$

$$H^-(\tau_{PE}) = 1.0$$

$$H''(\tau_{PE}) = |75.1473 - 1.0|$$

$$= 94.5265$$

$$q_r''(\tau_{PE}) = 4\sigma T_\infty^4 H''(\tau_{PE})$$

$$= (4)(5.6699 \times 10^{-8}) \frac{W}{m^2 \cdot K^4} (300^4 K^4) (94.5265)$$

$$= 175486.8$$

$$\frac{W}{m^2}$$

$$\text{คิดเป็นปริมาณความร้อน } Q_r'' = (175486.8 \frac{W}{m^2}) \times (4.41 \times 10^{-3} m^2) = 765.7954 \text{ W}$$

$$q_r^+(\tau_{PE}) = 4\sigma T_\infty^4 H^+(\tau_{PE})$$

$$= (4) \times (5.6699 \times 10^{-8}) \frac{W}{m^2 \cdot K^4} \times (300^4 K^4) \times (95.5265)$$

$$= 175486.8 \frac{W}{m^2}$$

$$\text{คิดเป็นปริมาณความร้อน } Q_r^+ = (175486.8 \frac{W}{m^2}) \times (4.41 \times 10^{-3} m^2) = 773.4971 \text{ W}$$

$$q_r^-(\tau_{PE}) = 4\sigma T_\infty^4 H^-(\tau_{PE})$$

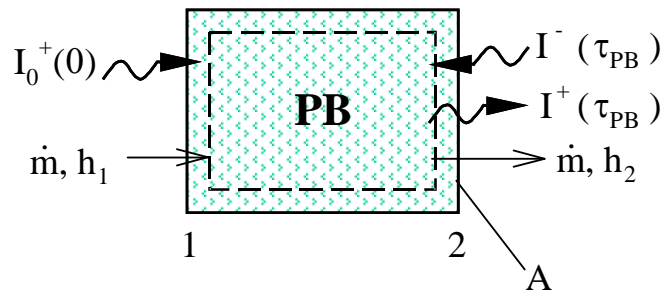
$$= (4) \times (5.6699 \times 10^{-8}) \frac{W}{m^2 \cdot K^4} \times (300^4 K^4) \times (1.0)$$

$$= 1837.048 \frac{W}{m^2}$$

$$\text{คิดเป็นปริมาณความร้อน } Q_r = (1837.048 \frac{W}{m^2}) \times (4.41 \times 10^{-3} m^2) = 8.103832 \text{ W}$$

#### 4.1 ตัวอย่างการคำนวณสมดุลพลังงานความร้อนของ PB

ในการสอบความถูกต้องของแบบจำลองที่คำนวณจะพิจารณาสมดุลพลังงานความร้อนของ PB ซึ่งมีความร้อนถ่ายเทเข้าและออกดังรูปที่ 4.5



รูปที่ 4.5 สมดุลพลังงานของ PB

พิจารณา PB ที่สภาวะ Steady State จากกฎข้อที่หนึ่งทางเทอร์โมไดนามิกส์จะได้ว่า

$$Q_{in} = 2\pi I_0^+(0)A + 2\pi I^-(\tau_{PB})A \quad (4.32)$$

$$Q_{out} = \dot{m}(h_2 - h_1) + 2\pi I^+(\tau_{PB})A \quad (4.33)$$

สมดุลพลังงานความร้อนที่ถ่ายเทเข้าและที่ออกจากระบบจะได้

$$Q_{in} - Q_{out} = 0 \quad (4.34)$$

สำหรับความคลาดเคลื่อนจากการคำนวณสามารถหาจาก

$$\%error = \left| \frac{Q_{in} - Q_{out}}{Q_{in}} \right| \times 100 \quad (4.35)$$

จากสมการ (4.32) และ (4.33) สามารถหาค่าแต่ละเทอมได้ดังนี้

ผลักด้วยแรงสีความร้อนจากสิ่งแวดล้อม

$$2\pi I_0^+ (\tau_{PB}) A_{PB} = \frac{2\pi \sigma T_\infty^4}{\pi} A_{PB}$$

$$= (2) \times (5.6699 \times 10^{-8} \frac{\text{W}}{\text{m}^2 \cdot \text{K}^4}) \times (300^4 \text{ K}^4) \times (2.37 \times 10^{-3} \text{ m}^2)$$

$$= 2.176 \text{ W}$$

ผลักด้วยแรงสีความร้อนจาก PE

$$2\pi I^- (\tau_{PB}) A_{PB} = q_r^- (\tau_{PB}) A_{PB}$$

$$= 448.29 \text{ W}$$

ปริมาณความร้อนที่ PB ได้รับจาก การแผ่นค่าในสมการ (ง.34)

$$Q_{in} = 2.176 + 448.29 = 450.446 \text{ W}$$

พิจารณาเอนทอลปีที่ต่ำแห่ง 2 จากรูปที่ ง.3

$$\dot{m}_{fuel} h_2 = \dot{m}_{fuel} c_{pg} (T_5 - T_\infty)$$

$$= (4.234 \times 10^{-4} \frac{\text{kg}}{\text{s}}) (1674.4 \frac{\text{J}}{\text{kg} \cdot \text{K}}) (839.00 - 300) \text{ K}$$

$$= 382.0507 \text{ W}$$

พิจารณาเอนทอลปีที่ต่ำแห่ง 1 จากรูปที่ ง.3

$$\dot{m}_{fuel} h_1 = \dot{m}_{fuel} c_{pl} (T_1 - T_\infty)$$

$$= (4.234 \times 10^{-4} \frac{\text{kg}}{\text{s}}) (1925.56 \frac{\text{J}}{\text{kg} \cdot \text{K}}) (383.00 - 300) \text{ K}$$

$$= 67.66841 \text{ W}$$

การเปลี่ยนแปลงเอนทอลปี (2-1)

$$\dot{m}_{fuel} (h_2 - h_1) = 382.0507 - 67.66841$$

$$= 314.3823 \text{ W}$$

ผลักด้วยแรงสีความร้อนที่ออกจากรถ PE ที่ต่ำแห่ง 2

$$2\pi l^+(\tau_{PB})A = q_r^+(\tau_{PB})A \\ = 63.61 \quad W$$

ปริมาณความร้อนที่ออกจากร่อง PE จากการแทนค่าในสมการ (1.34)

$$Q_{out} = 314.3823 + 63.61 \\ = 377.9923 \quad W$$

ความคลาดเคลื่อนจากการคำนวณห่างจากการแทนค่าในสมการ (1.35)

$$\%error = \left| \frac{450.446 - 377.9923}{450.446} \right| \times 100 \\ = 16.0886\%$$

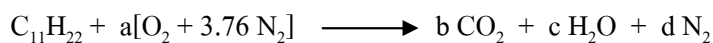
จากการคำนวณพบว่าความคลาดเคลื่อนจากการพิจารณาสมดุลพลังงานความร้อนของ PB มีค่าเท่ากับ 16.0886 % ทั้งนี้สาเหตุส่วนหนึ่งมาจากการ

- อุณหภูมิ  $T_5$  ที่ใช้ในการคำนวณเป็นอุณหภูมิของแข็งซึ่งไม่มีการแก้ค่าเนื่องจากการแพร่รังสีและการนำความร้อนของเทอร์โมคัปเปลี่ยนให้เป็นอุณหภูมิที่แท้จริงของไอ ซึ่งมีค่าสูงกว่าอุณหภูมิที่วัด ( $T_s$ ) ในการคำนวณฟักซ์การแพร่รังสีความร้อน
- ในการพิจารณาสมดุลพลังงานความร้อนของ PB ยังไม่มีการคิดถึงความร้อนที่สูญเสียออกจาก PB (Heat loss) ดังนั้นจึงส่งผลต่อปริมาณ  $Q_{out}$  ที่ประเมินมีค่ามากกว่าความเป็นจริง

#### 4. การคำนวณอัตราการไหลของไอเสีย

เมื่อใช้ Kerosene เป็นเชื้อเพลิง ;  $C_{11}H_{22}$

##### สมการการเผาไหม้



$$\text{ดูสมการ; } C : 11 \times 1 = b \quad \therefore b = 11$$

$$H : 22 = 2c \quad \therefore c = 11$$

$$O_2 : (b \times 2) + c = 2a \quad \therefore a = 16.5$$

$$\text{N}_2 : 3.76a = d \quad \therefore d = 62.04$$

สมการการเผาไหม้ที่ Stoichiometry



- หาอัตราการไฟลของ Fuel ( $m_f$ )

$$\text{จากสูตร} \quad Q_f = m_f (LHV_{Kerosene})$$

$$LHV_{Kerosene} = 44,532 \text{ kJ / kg} \quad [10]$$

เมื่อในการทดลอง ค่า Combustion Load (CL) สูงสุดของการทดลองด้วยเชื้อเพลิงเหลว เป็น 11 kW

$$11\text{W} = m_f (44,532 \text{ kJ / kg})$$

$$m_f = 0.000247 \text{ kg / s}$$

- หา  $AF_{stoi}$  ของ Kerosene

$$AF_{stoi} = \frac{A_{stoi}}{F_{stoi}}$$

$$\text{เมื่อ} \quad A_{stoi} = (16.5 \times 16 \times 2) + (62.04 \times 14 \times 2)$$

$$A_{stoi} = 2265.12 \text{ g}$$

$$\text{และ} \quad F_{stoi} = (12 \times 11) + (1 \times 22)$$

$$F_{stoi} = 154 \text{ g}$$

$$\text{แทนค่า} \quad AF_{stoi} = \frac{A_{stoi}}{F_{stoi}} = \frac{2265.12 \text{ g}}{154 \text{ g}}$$

$$AF_{stoi} = 14.708$$

จากสูตร

$$\varphi = \frac{AF_{stoi}}{AF_{act}} = \frac{AF_{stoi}}{\frac{(m_{air})_{act}}{(m_{fuel})_{act}}}$$

เมื่อในการทดลอง ค่าอัตราส่วนสมมูลย์ ( $\phi$ ) ที่มีค่าน้อยที่สุดเมื่อให้อัตราการป้อนเชื้อเพลิงคงที่ และปรับค่าอัตราการไหลดของอากาศ เป็น 0.24

$$\text{แทนค่า} \quad 0.24 = \frac{14.708}{\frac{(m_{air})_{act}}{0.000247 \text{ kg/s}}}$$

$$\text{ได้ว่า} \quad (m_{air})_{act} = \frac{14.708 \times 0.000247 \text{ kg/s}}{0.24} = 0.0151$$

$$m_{total} = (m_{air})_{act} + (m_{fuel})_{act}$$

$$m_{total} = (0.0151 + 0.000247) = 0.015347 \text{ kg/s}$$

$$\text{จากสูตร} \quad Q = \frac{m}{\rho}$$

เมื่อ  $\rho_{air@25^\circ C}$  มีค่าเป็น  $1.184 \text{ kg/m}^3$

$$\text{แทนค่า} \quad Q = \frac{0.015347 \text{ kg/s}}{1.184 \text{ kg/m}^3} = 0.01296 \text{ m}^3/\text{s}$$

$$\text{ได้ว่า} \quad 0.01296 \text{ m}^3/\text{s} \times 3600 \text{ s/hr} = 46.656 \text{ m}^3/\text{hr}$$

Ans

เมื่อใช้ LPG เป็นเชื้อเพลิง ; โดยมีส่วนผสม [ 60%  $C_4H_{10}$ , 40%  $C_3H_8$  ]

สมการการเผาไหม้



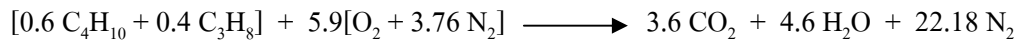
$$\text{ดูสมการ; } C : (4 \times 0.6) + (0.4 \times 3) = b \quad \therefore b = 3.6$$

$$H : (0.6 \times 10) + (0.4 \times 8) = 2c \quad \therefore c = 4.6$$

$$O_2 : a = b + c/2 \quad \therefore a = 5.9$$

$$N_2 : 3.76a = d \quad \therefore d = 22.18$$

### สมการการเผาไหม้ที่ Stoichiometry



- หาอัตราการไฟลของ Fuel ( $m_f$ )

$$\text{จากสูตร} \quad Q_f = m_f (LHV_{LPG})$$

$$C_4H_{10} = 45,742 \text{ kJ/kg} [10] \text{ และ } C_3H_8 = 46,357 \text{ kJ/kg} [10]$$

$$LHV_{LPG} = (45,742 \times 0.6) + (46,357 \times 0.4)$$

$$LHV_{LPG} = 45,988$$

$$LHV_{LPG} \text{ มีค่าเท่ากับ } 45,988 \text{ kJ/kg}$$

เมื่อในการทดลอง ค่า Combustion Load (CL) สูงสุดของการทดลองด้วยแก๊ส LPG เป็น 11 kW

$$11kW = m_f (45,988 \text{ kJ/kg})$$

$$m_f = 0.00024 \text{ kg/s}$$

- หา  $AF_{stoi}$  ของ LPG

$$AF_{stoi} = \frac{A_{stoi}}{F_{stoi}}$$

$$\text{เมื่อ} \quad A_{stoi} = (5.9 \times 16 \times 2) + (22.18 \times 14 \times 2)$$

$$A_{stoi} = 809.84 \text{ g}$$

$$\text{และ} \quad F_{stoi} = (0.6 \times [(12 \times 4) + 10]) + (0.4 \times [(12 \times 3) + 8])$$

$$F_{stoi} = 52.4 \text{ g}$$

$$\text{แทนค่า} \quad AF_{stoi} = \frac{A_{stoi}}{F_{stoi}} = \frac{809.84 \text{ g}}{52.4 \text{ g}}$$

$$AF_{stoi} = 15.46$$

$$\text{จากสูตร} \quad \varphi = \frac{AF_{stoi}}{AF_{act}} = \frac{\underline{AF_{stoi}}}{\frac{\underline{(m_{air})_{act}}}{(m_{fuel})_{act}}}$$

เมื่อในการทดลอง ค่าอัตราส่วนสมมูลย์ ( $\varphi$ ) ที่มีค่าน้อยที่สุดเมื่อให้อัตราการป้อนเชื้อเพลิงคงที่ และปรับค่าอัตราการไหลดของอากาศ เป็น 0.4

$$\begin{aligned} \text{แทนค่า} \quad 0.4 &= \frac{15.46}{\frac{(m_{air})_{act}}{0.00024kg / s}} \\ \text{ได้ว่า} \quad (m_{air})_{act} &= \frac{15.46 \times 0.00024kg / s}{0.4} = 0.009276 \end{aligned}$$

$$m_{total} = (m_{air})_{act} + (m_{fuel})_{act}$$

$$m_{total} = (0.009276 + 0.00024) = 0.009516kg / s$$

$$\begin{aligned} \text{จากสูตร} \quad Q &= \frac{m}{\rho} \\ \text{เมื่อ } \rho_{air@25^\circ C} \text{ มีค่าเป็น } 1.184kg / m^3 \\ \text{แทนค่า} \quad Q &= \frac{0.009516kg / s}{1.184kg / m^3} = 0.00804m^3 / s \\ \text{ได้ว่า} \quad 0.00804m^3 / s \times 3600s / hr &= 28.944m^3 / hr \quad \underline{\text{Ans}} \end{aligned}$$

ในการทดลองงานวิจัยนี้ จำเป็นจะต้องคิดตั้งระบบกำจัดไอลีบและความร้อนจากการเผาใหม่ ซึ่งจะใช้ค่าอัตราการไหลดของไอลีบที่ได้จากการคำนวณไปเลือกพัดลมอุตสาหกรรมที่ใช้ในระบบกำจัดไอลีบ แต่จะต้องเลือกขนาดของพัดลมที่ทำค่าอัตราการไหลดได้สูงกว่ามาก เพื่อดูดอากาศภายในออกปล่องระบายน้ำไอลีบเข้าไปผสมกับไอลีบภายในได้มาก จะทำให้อุณหภูมิของไอลีบลดลงก่อนที่จะผ่าน ใบพัดลม เพื่อไม่ให้เกิดความเสียหายแก่อุปกรณ์ระบบกำจัดไอลีบ โดยเลือกพัดลมอุตสาหกรรมที่มีอัตราการไหลด  $60 \text{ m}^3/\text{min}$

## ประวัติผู้วิจัย

ชื่อ-สกุล

นายพีระพงษ์ โอดลิน

วัน เดือน ปีเกิด

10 ตุลาคม 2528

### ประวัติการศึกษา

ระดับมัธยมศึกษา

มัธยมศึกษาตอนปลาย

โรงเรียน กปร.ราชวิทยาลัย

ระดับปริญญาตรี

วิศวกรรมศาสตรบัณฑิต สาขาวิชาวิศวกรรมเครื่องกล

มหาวิทยาลัยเทคโนโลยีมหานคร พ.ศ. 2550

ระดับปริญญาโท

วิศวกรรมศาสตรมหาบัณฑิต สาขาวิชาวิศวกรรมเครื่องกล

มหาวิทยาลัยเทคโนโลยีพระจอมเกล้าธนบุรี พ.ศ. 2554

ทุนการศึกษา หรือทุนวิจัย

ทุนอุดหนุนสนับสนุนการวิจัยระดับบัณฑิตศึกษา

ทบวงมหาวิทยาลัย พ.ศ. 2551

ผลงานการเผยแพร่วิทยานิพนธ์ พีระพงษ์ โอดลิน, สำเร็จ จ.กร. ใจ, 2554, หัวเรวสคุพรุนชนิดเพา  
ไหหมีเชื้อเพลิงได้ทั้งแบบ non-premixed และ premixed  
การประชุมวิชาการเครือข่ายวิศวกรรมเครื่องกลแห่งประเทศไทย  
ครั้งที่ 24, อุบลราชธานี